



OFICINA ESPAÑOLA DE PATENTES Y MARCAS

ESPAÑA



11) Número de publicación: 2 703 943

51 Int. Cl.:

G01N 33/50 (2006.01) **G01N 33/574** (2006.01)

(12)

TRADUCCIÓN DE PATENTE EUROPEA

T3

(86) Fecha de presentación y número de la solicitud internacional: 24.11.2014 PCT/EP2014/075424

(87) Fecha y número de publicación internacional: 28.05.2015 WO15075240

(96) Fecha de presentación y número de la solicitud europea: 24.11.2014 E 14802443 (3)

(97) Fecha y número de publicación de la concesión europea: 03.10.2018 EP 3071972

54 Título: Método para el diagnóstico y pronóstico in vitro de recaída de cáncer de mama triple negativo

(30) Prioridad:

22.11.2013 EP 13306603

(45) Fecha de publicación y mención en BOPI de la traducción de la patente: 13.03.2019

(73) Titular/es:

INSTITUT DE CANCÉROLOGIE DE L'OUEST (33.3%) 2 rue Moll 49000 Angers, FR; UNIVERSITÉ D'ANGERS (33.3%) y INSTITUT NATIONAL DE LA SANTÉ ET DE LA RECHERCHE MÉDICALE (INSERM) (33.3%)

(72) Inventor/es:

GUETTE, CATHERINE; CAMPONE, MARIO; COQUERET, OLIVIER y BARRE, BENJAMIN

74 Agente/Representante:

CURELL AGUILÁ, Mireia

DESCRIPCIÓN

Método para el diagnóstico y pronóstico in vitro de recaída de cáncer de mama triple negativo.

- La presente invención se encuentra en el campo técnico de la gestión del cáncer de mama, y más particularmente se refiere al diagnóstico y/o pronóstico de cáncer de mama triple negativo (TNBC). La invención se basa más particularmente en el hallazgo de que se expresan biomarcadores específicos de manera aberrante en pacientes que padecen una recaída de cáncer de mama triple negativo, y están sumamente relacionados con la agresividad de esta enfermedad, y por tanto con la supervivencia de dicho paciente.
 - Con más de 1.3 millones de casos de cánceres de mama invasivos diagnosticados anualmente, y más de 450.000 muertes notificadas al año, el cáncer de mama es el tumor maligno más común diagnosticado en mujeres y una de las causas principales de muerte relacionada con cáncer en mujeres.
- El cáncer de mama representa una enfermedad heterogénea, ya que abarca una plétora de subtipos tumorales que no sólo presentan características morfológicas distintas sino también comportamientos clínicos. Estos subtipos presentan por tanto diferentes implicaciones en el pronóstico y la respuesta a la terapia. La determinación de estado del receptor hormonal (receptor de estrógenos (ER) y progesterona (PR)) se ha convertido en una práctica convencional en la gestión de cánceres de mama invasivos: la positividad para ER puede predecir la respuesta a la terapia endocrina tal como administración de antiestrógenos o supresión ovárica, mientras que la positividad para el receptor de factor de crecimiento epitelial humano 2 (HER2, c-erbB-2) es útil para seleccionar la terapia dirigida con el anticuerpo monoclonal contra HER2.
- A pesar de la disminución de la incidencia y mortalidad vinculadas a esta patología debido al examen y la terapia mejorada, el cáncer de mama sigue siendo no obstante una causa principal de muerte. Por tanto, se ha vuelto crucial diagnosticar de manera más precisa los subtipos de cáncer de mama, y seleccionar tratamientos apropiados, no sólo para los pacientes, sino también por motivos económicos de salud.
- Entre los subtipos de cáncer de mama, el cáncer de mama triple negativo (TNBC) es responsable de una 30 proporción relativamente grande de muertes, debido notablemente a su desenlace clínico generalmente agresivo. El cáncer de mama triple negativo se define por una falta de expresión de receptores de estrógenos, progesterona y HER2/neu, lo que representa de aproximadamente el 10 al 15% de todos los cánceres de mama. El término "cáncer de mama triple negativo" se describió por primera vez en 2005 (Brenton et al., 2005), y ha aparecido desde entonces en más de 1000 publicaciones. Aunque se presume frecuentemente que afecta a mujeres jóvenes predominantemente (es decir, por debajo de 50 años de edad), su distribución es realmente 35 similar en todos los grupos de edad (Hudis et al., 2011). Este subtipo de cáncer es habitualmente más frecuente en mujeres afroamericanas, se presenta como cánceres de intervalo, es altamente quimiosensible y muestra una débil asociación entre tamaño tumoral y metástasis de ganglios linfáticos. De la manera más importante, está asociado, tal como se mencionó anteriormente, con un fenotipo agresivo, y presenta generalmente un mal 40 desenlace en comparación con otros subtipos de cáncer de mama. Desafortunadamente, debido a su negatividad para los tres marcadores moleculares ER, PR y HER2/neu, el cáncer de mama triple negativo no es sensible a la terapia endocrina habitual o terapia dirigida al receptor de factor de crecimiento epidérmico humano de tipo 2 (HER2). Además, el cáncer de mama triple negativo presenta un patrón de recidiva muy particular que difiere de cánceres de mama positivos para hormonas, ya que aproximadamente el 30% de los pacientes experimentan recidiva en los primeros 3 a 5 años. El riesgo de recidiva disminuye no obstante tras 45 aproximadamente 5 años desde el diagnóstico inicial.
 - Debido a la ausencia de directrices de tratamiento específicas para pacientes afectados por este cáncer particular, los cánceres de mama triples negativos están gestionándose actualmente con quimioterapia adyuvante adicional. Sin embargo, tal tratamiento es menos eficaz que para otros subtipos de cáncer de mama y sigue estando asociado con una alta tasa de recidiva local y sistémica. Por tanto, es crítico identificar pacientes con recidiva tan pronto como sea posible, con el fin de adaptar su tratamiento según corresponda.

50

- La mayoría de los estudios descritos en la bibliografía se realizaron para identificar biomarcadores que caracterizan al cáncer de mama triple negativo, sin discriminar pacientes con recidiva de aquellos sin recidiva. Además, estos estudios se centraron principalmente en correlaciones genotípicas-fenotípicas, tales como polimorfismos genéticos o variaciones de la expresión génica, pero no en las entidades funcionales reales, las proteínas, que se expresan de manera diferencial en células de cáncer de mama. Sin embargo, el comportamiento de estas entidades funcionales no puede predecirse a partir de sus genes codificantes. Una vez transcritos, la expresión de proteínas puede, de hecho, estar regulada todavía al nivel de la traducción, y pueden someterse las proteínas correspondientes a modificaciones postraduccionales, variación de las semividas y compartimentalización.
- Un único estudio, el documento WO 2009/114862, da a conocer métodos de determinación del riesgo de desarrollar TNBC o una recaída basándose en el nivel de dos o más marcadores, al menos uno de los cuales se selecciona particularmente de entre proteínas de reparación del ADN.

Dado que el diagnóstico y pronóstico de cáncer de mama triple negativo y la terapia dirigida están actualmente mal definidos, existe una necesidad urgente de identificar y caracterizar biomarcadores fiables que permitan identificar de manera precisa los diferentes subconjuntos de pacientes con TNBC, especialmente los que desarrollan una recaída del cáncer local o distante, con el fin de diseñar y adaptar su terapia según corresponda.

Esta necesidad se aborda mediante la presente divulgación, que notifica en la presente memoria los resultados de una investigación realizada sobre una cohorte grande de pacientes con cáncer de mama triple negativo con recidiva y sin recidiva, mediante un enfoque proteómico cuantitativo utilizando marcaje con iTRAQ, fraccionamiento de péptido OFFGEL y análisis de espectrometría de masas (Ernoult *et al.*, 2008 y 2010). En contraposición a los biomarcadores genómicos, los biomarcadores proteómicos son de hecho particularmente ventajosos ya que reflejan mejor el microentorno tumoral y pueden experimentar modificaciones postraduccionales específicas de cáncer. Por lo que conoce el solicitante, este es el primer estudio que investiga biomarcadores proteómicos en un panel exhaustivo de pacientes con cáncer de mama para diagnosticar y pronosticar la recaída de TNBC.

Combinando tanto un análisis multivariante como uno univariante, los inventores han identificado biomarcadores clave de la recaída y ausencia de recaída de cáncer de mama triple negativo. En particular, los inventores han identificado, por un lado, desmoplaquina, proteína 1 activante de Rho GTPasa, epiplaquina, glucosa-6-fosfato 1-deshidrogenasa, isocitrato deshidrogenasa [NADP], queratina de tipo I del citoesqueleto 19, queratina de tipo I del citoesqueleto 8, proteína 3 relacionada con dihidropirimidinasa y/o trombospondina-1 como biomarcadores asociados con recaída de TNBC y un mal desenlace clínico, y, por otro lado, hexocinasa-1, proteína de choque térmico de 10 kDa, región de cadena C de Ig gamma-1, proteína 1 que contiene dominio SAM y dominio HD, y/o triptofanil-ARNt sintetasa como biomarcadores asociados con ausencia de recaída de TNBC y un buen desenlace clínico. Aunque se ha mostrado que la desmoplaquina y otros marcadores tales como isocitrato deshidrogenasa 2 [NADP] se expresan de manera diferencial en cáncer de mama (véanse los documentos WO 03/070979 y WO 2004/063355), su asociación con TNBC y recaída de TNBC se describe en la presente memoria por primera vez.

- Todos los biomarcadores dados a conocer en la presente memoria pueden utilizarse, por tanto, para monitorizar la progresión o regresión de la enfermedad, para evaluar la susceptibilidad o la predicción de la respuesta al tratamiento, pero también para evaluar la eficacia de un tratamiento. También pueden utilizarse como dianas terapéuticas para diseñar fármacos nuevos.
- Por tanto, basándose en los hallazgos dados a conocer en la presente memoria, se proporcionan por primera vez en la presente memoria métodos de diagnóstico, pronóstico y terapéuticos precisos y fiables para la recaída de cáncer de mama triple negativo, que se basan, al menos en parte, en la determinación del nivel de expresión de los biomarcadores mencionados anteriormente. También se proporcionan en la presente memoria un método de examen para identificar fármacos, un método para determinar un fenotipo que responde o no responde a los fármacos, así como un método para diseñar o adaptar un régimen de tratamiento. También se proporcionan en la presente memoria kits y microalineamientos de proteínas para llevar a cabo dichos métodos.

Sumario de la invención

5

10

15

20

25

65

45 La invención se define en las reivindicaciones adjuntas y cualquier otro aspecto o realización expuesto en la presente memoria es sólo para información.

Descripción detallada de la invención

- A menos que se establezca otra cosa, los términos científicos y técnicos utilizados en relación con la presente invención presentarán los significados que entienden comúnmente los expertos habituales en la materia. Además, a menos que el contexto requiera otra cosa, las nomenclaturas utilizadas en la presente memoria, y las técnicas de biología molecular y cultivo celular son las bien conocidas y comúnmente utilizadas en la materia.
- No obstante, con respecto a la utilización de diferentes términos a lo largo de toda la memoria descriptiva actual, las siguientes definiciones se aplican más particularmente.
- Según los diferentes aspectos y realizaciones de la invención, el término "que comprende" o "que contiene" significa la inclusión del referente y no excluye la presencia de cualquier otro elemento. En contraposición con el término "que comprende," el término "que consiste de" significa la única inclusión del referente y por tanto excluye la presencia de cualquier otro elemento.
 - Por "cáncer de mama triple negativo" o "TNBC" quiere decirse en la presente memoria, tal como se indicó anteriormente, cualquier cáncer de mama que no exprese el receptor de estrógenos (ER), el receptor de progesterona (PR) y Her2/neu (HER2). Un cáncer de mama triple negativo puede denominarse por tanto alternativamente cáncer de mama negativo para receptor de estrógenos (ER), negativo para receptor de

progesterona (PR) y negativo para Her2/neu (HER2). El cáncer de mama triple negativo (TNBC) abarca varios subtipos histológicos comunes, incluyendo notablemente carcinomas medulares, metaplásicos, secretores, mioepiteliales y adenoides quísticos, así como subtipos histológicos menos comunes tales como carcinoma apocrino, carcinoma lobular pleomórfico y cáncer ductal-lobular. Puede encontrarse información adicional sobre cáncer de mama triple negativo (TNBC) en Rakha *et al.* (2008).

5

10

15

35

50

55

60

65

Por "recaída", "con recaída", "recidiva" o "con recidiva", quiere decirse en la presente memoria, en el contexto de posibles desenlaces clínicos del cáncer y tal como define el National Cancer Institute, que el cáncer ha experimentado recaída (ha regresado), habitualmente después de un periodo de tiempo durante el cual no pudo detectarse el cáncer. Un cáncer con recaída puede referirse a un cáncer que regresa al mismo lugar que el tumor original (primario) o a otro lugar en el cuerpo (también conocido como metástasis).

En cambio, el término "sin recaída", "sin recidiva", "ausencia de recaída", "ausencia de recaída", significa que el cáncer no ha experimentado recaída (es decir, no ha regresado), habitualmente después de un periodo de tiempo durante el cual no pudo detectarse el cáncer.

El término "sujeto" o "paciente" se utiliza en la presente memoria para describir cualquier miembro del reino animal, preferiblemente un ser humano, más preferiblemente una mujer.

20 El término "diagnosticar" o "diagnóstico", tal como se utiliza en el contexto de la presente invención, incluye el acto o proceso de identificar la existencia (o no existencia) y/o el tipo de enfermedad que puede estar padeciendo un individuo.

El término "pronóstico", "pronosticar" o "desenlace clínico", tal como se utiliza en la presente memoria se refiere al probable desenlace o transcurso de una enfermedad; la posibilidad de recuperación o no recuperación. Un pronóstico puede indicar si un paciente con cáncer presentará probablemente una progresión o muerte atribuible al cáncer, y/o una supervivencia a corto plazo o largo plazo. Un desenlace clínico puede evaluarse, por ejemplo, en el contexto del desenlace de un individuo en relación con un desenlace de una población de pacientes que presentan un diagnóstico clínico comparable, utilizando diversos criterios de valoración bien conocidos en la materia, tales como supervivencia global (OS), supervivencia libre de enfermedad (DFS), razones de riesgo (HR) y similares. Tales parámetros los conoce bien el experto, que puede hacer referencia a las definiciones proporcionadas por el National Cancer Institute en los National Institutes of Health (http://www.cancer.gov).

El término "desenlace clínico positivo" o "buen pronóstico" significa un desenlace clínico deseado. En el contexto de la presente invención, un desenlace clínico positivo puede ser una expectativa o baja probabilidad de progresión o muerte atribuible a TNBC. Preferiblemente, un desenlace clínico positivo significa que dicho sujeto corre un riesgo de progresión o muerte atribuible a TNBC inferior al 25%, en el plazo de 5 años desde el diagnóstico inicial de cáncer de mama triple negativo.

40 En cambio, los términos "desenlace clínico negativo" o "mal pronóstico" se utilizan en la presente memoria de manera intercambiable queriendo decir un desenlace clínico no deseado. En el contexto de la presente invención, un desenlace clínico negativo puede ser una expectativa o alta probabilidad de progresión o muerte atribuible a TNBC. Preferiblemente, un desenlace clínico negativo significa que dicho sujeto corre un riesgo de progresión o muerte atribuible a TNBC superior al 75%, en el plazo de 5 años desde el diagnóstico inicial de cáncer de mama triple negativo.

Una "muestra biológica" tal como se utiliza en la presente memoria puede ser cualquier muestra que puede aislarse de un sujeto, incluyendo, sin limitación, un líquido biológico tal como sangre o un componente fraccional de la misma (suero, plasma, extracto celular), linfa, líquido intersticial tumoral, saliva, moco, esputos, sudor, orina, así como una biopsia de tejido tal como una biopsia tumoral. Además, en el caso de una recaída del cáncer local o distante, una muestra biológica puede incluir además células tumorales circulantes (CTC) que pueden aislarse de un líquido biológico tal como se definió anteriormente, preferiblemente a partir de sangre, mediante técnicas bien conocidas en la materia. Un ejemplo de una técnica que permite el aislamiento de células tumorales circulantes (CTC) es el fraccionamiento de flujo de Dean (DFF), tal como establecieron Hou et al., 2013. Más preferiblemente, la muestra biológica según la invención es una biopsia tumoral, tal como la biopsia de un tumor de mama o de una metástasis del mismo.

El término "biomarcador" tal como se utiliza en la presente memoria se refiere preferiblemente a un polipéptido o proteína, fragmento del mismo o epítopo que está presente de manera diferencial en un sujeto en comparación con sujeto sanos, incluyendo biomarcadores modificados (por ejemplo glicosilados de manera diferencial) y/o expresados de manera diferencial. Se enumeran ejemplos de biomarcadores en las tablas 1, 2, 6A y 8A, y pueden denominarse en la presente memoria "biomarcadores de la divulgación". Debe indicarse que el término "biomarcador" incluye biomarcadores solubles, es decir biomarcadores que se escinden, secretan, liberan o desprenden de manera diferencial a partir de una célula tumoral en un sujeto, y por tanto pueden detectarse en un líquido biológico tal como se definió anteriormente. Por ejemplo, en el presente contexto, una forma soluble de la proteína de la membrana plasmática desmoplaquina, tal como se describe adicionalmente a continuación,

puede detectarse a partir de una mera muestra de sangre o un componente fraccional de la misma (Lopez-Farré et al., 2012). Pueden liberarse "biomarcadores solubles" a un líquido biológico a través de varios posibles mecanismos, tales como destrucción de tejido local durante la progresión de la enfermedad. Por ejemplo, pueden liberarse biomarcadores solubles a la circulación sanguínea a través de desprendimiento y secreción aberrantes a partir de células tumorales o a través de la destrucción de la arquitectura tisular y angiogénesis a medida que el tumor invade. También pueden escindirse proteínas de la superficie extracelular de células tumorales por proteasas y posteriormente se abren camino a la circulación sanguínea. En vista de lo anterior, un experto en la materia entendería fácilmente que, si el nivel de expresión de un biomarcador soluble de interés va a evaluarse a partir de una muestra biológica, dicha muestra se selecciona preferiblemente a partir de al menos uno de los líquidos biológicos descritos anteriormente, impidiendo de ese modo cualquier acto invasivo en el paciente. Un biomarcador soluble sigue siendo no obstante detectable dentro de su sitio de expresión, es decir dentro de un tumor de mama o una metástasis del mismo.

El término "nivel de expresión", tal como se aplica a un biomarcador tal como una proteína, se refiere en la presente memoria a la cantidad o nivel de un biomarcador de interés expresado en una célula, tejido, líquido biológico u órgano(s). El término "nivel" tal como se utiliza en la presente memoria se refiere a una cantidad (por ejemplo cantidad relativa o concentración) de un biomarcador que puede detectarse o medirse en una muestra. Por ejemplo, el nivel puede ser una concentración tal como µg/l o una cantidad relativa en comparación con un nivel de expresión de referencia. El acto de "determinar el nivel de expresión" realmente de un biomarcador en una muestra biológica se refiere al acto de detectar activamente si un biomarcador se expresa en dicha muestra o no, y permite notablemente la detección de si la expresión del biomarcador está regulada por incremento, regulada por disminución o sustancialmente sin cambios en comparación con un nivel de expresión de referencia.

Por "nivel de expresión de referencia" o "nivel de expresión de control" de un biomarcador, quiere decirse un nivel de expresión predeterminado de dicho biomarcador, que puede utilizarse como referencia en cualquier método descrito en la presente memoria. Por ejemplo, un nivel de expresión de referencia puede ser el nivel de expresión de un biomarcador en una muestra biológica de un sujeto sano, o la mediana o el promedio de nivel de expresión en una muestra biológica de una población de sujetos sanos.

Se proporcionan definiciones adicionales a lo largo de toda la memoria descriptiva.

La presente invención puede entenderse más fácilmente mediante referencia a la siguiente descripción detallada, que incluye realizaciones preferidas de la invención, y los ejemplos incluidos en la presente memoria.

Los inventores han descubierto sorprendentemente biomarcadores clave asociados con recaída y ausencia de recaída de cáncer de mama triple negativo (TNBC). En particular, los inventores han descubierto que el nivel de expresión de biomarcadores específicos se correlaciona con el estado y progresión de la enfermedad. Estos biomarcadores específicos pueden permitir, por tanto, una detección rápida y fiable de una recaída de TNBC, y proporcionan una buena indicación del desenlace clínico.

Por consiguiente, en un primer aspecto, se describe en la presente memoria un método *in vitro* para diagnosticar y/o pronosticar una recaída o ausencia de recaída de cáncer de mama triple negativo (TNBC) en un sujeto, que comprende las etapas de:

- a) determinar a partir de una muestra biológica de un sujeto el nivel de expresión de al menos dos biomarcadores seleccionados del grupo que consiste en desmoplaquina, proteína 1 activante de Rho GTPasa, epiplaquina, glucosa-6-fosfato 1-deshidrogenasa, isocitrato deshidrogenasa [NADP], queratina de tipo I del citoesqueleto 19, queratina de tipo I del citoesqueleto 8, proteína 3 relacionada con dihidropirimidinasa y trombospondina-1; y
- b) comparar dicho nivel de expresión con un nivel de expresión de referencia de dichos biomarcadores.
 - El método anterior puede comprender además opcionalmente la etapa c) de determinar si dicho sujeto padece o no una recaída de cáncer de mama triple negativo (TNBC), y/o determinar o predecir el desenlace clínico en dicho sujeto, basándose en la comparación en la etapa b).

Debe entenderse que dicho sujeto ha padecido previamente un cáncer de mama triple negativo (TNBC) primario, y puede habérsele diagnosticado el mismo y/o haberse tratado para el mismo.

Tal como se ilustra en los resultados experimentales de la presente solicitud, los inventores han descubierto que los biomarcadores mencionados anteriormente están asociados con recaída de TNBC, así como con un mal pronóstico.

En la siguiente tabla 1 se enumeran biomarcadores particularmente preferidos asociados con recaída de TNBC.

5

40

30

35

5

10

45

50

55

60

Tabla 1. Biomarcadores de recaída de TNBC

15

Símbolo	Nombre completo	Número de registro de UniprotKB/Swiss-Prot (SEC ID número)
DSP o DP	Desmoplaquina: Isoformas 1 y 2 Nombre(s) alternativo(s): Antígeno de pénfigo paraneoplásico de 250/210 kDA	P15924-1 (isoforma 1: SEC ID NO: 1) P15924-2 (isoforma 2: SEC ID NO: 2)
ARHGAP1	Proteína 1 activante de Rho GTPasa Nombre(s) alternativo(s): Proteína activante de CDC42 GTPasa (CDC42GAP) Proteína activante de GTPasa rhoOGAP Activador de proteína GTPasa pequeña relacionada con Rho Proteína 1 activante de GTPasa relacionada con Rho (RHOGAP1) p50-RhoGAP	Q07960 (SEC ID NO: 3)
EPPK1	Epiplaquina Nombre(s) alternativo(s): Antígeno epidérmico de 450 kDa	P58107 (SEC ID NO: 4)
G6PD	Glucosa-6-fosfato deshidrogenasa (enzima EC 1.1.1.49): Isoforma corta, isoforma larga e isoforma 3	P11413-1 (isoforma corta: SEC ID NO: 5) P11413-2 (isoforma larga: SEC ID NO:6) P11413-3 (isoforma 3: SEC ID NO: 7)
IDH2	Isocitrato deshidrogenasa [NADP] (enzima EC 1.1.1.42) Nombre(s) alternativo(s): ICD-M IDP ICDH específica de NADP(+) Oxalosuccinato descarboxilasa	P48735 (SEC ID NO: 8)
KRT19	Queratina de tipo I del citoesqueleto 19 Nombre(s) alternativo(s): Citoqueratina-19 (CK-19) Queratina-19 (K19)	P08727 (SEC ID NO: 9)
KRT8	Queratina de tipo II del citoesqueleto 8:	P05787-1 (isoforma 1: SEC ID NO: 10) P05787-2 (isoforma 2: SEC ID NO: 11)
DPYSL3	Proteína 3 relacionada con dihidropirimidinasa: isoforma 1 e isoforma LCRMP-4 Nombre(s) alternativo(s): Proteína 4 mediadora de la respuesta de colapsina 4 (CRMP-4) Fosfoproteína 1 similar a Unc-33 (ULIP-1)	Q14195-1 (isoforma 1: SEC ID NO: 12) Q14195-2 (isoforma LCRMP-4: SEC ID NO: 13)
THBS1	Trombospondina-1	P07996 (SEC ID NO: 14)

Como ejemplo, un nivel de expresión de dichos al menos dos biomarcadores asociados con recaída de TNBC tal como se describió anteriormente, superior a un nivel de expresión de referencia obtenido a partir de una muestra biológica de al menos un sujeto sano, es indicativo de que el sujeto padece una recaída de cáncer de mama triple negativo (TNBC), y/o es indicativo de un desenlace clínico negativo.

Por superior a un nivel de expresión de referencia, quiere decirse preferiblemente que la razón entre el nivel de expresión de dichos biomarcadores y el nivel de expresión de referencia está por encima de 1.

Notablemente, con respecto al desenlace clínico, los inventores han descubierto que una expresión superior de dichos biomarcadores, en comparación con un nivel de expresión de referencia, se correlaciona con una baja tasa de supervivencia libre de enfermedad (DSF), una baja tasa de supervivencia global (OS), un riesgo aumentado de muerte y/o un riesgo aumentado de progresión de la enfermedad, tal como se demuestra en los resultados experimentales.

Según un ejemplo adicional, el método anterior comprende además la etapa de determinar a partir de la muestra

biológica de dicho sujeto el nivel de expresión de al menos dos biomarcadores seleccionados del grupo que consiste en hexocinasa-1, proteína de choque térmico de 10 kDa, región de cadena C de lg gamma-1, proteína 1 que contiene dominio SAM y dominio HD y triptofanil-ARNt sintetasa. Un experto en la materia comprenderá fácilmente que también se lleva a cabo una comparación del nivel de expresión de dichos biomarcadores con un nivel de expresión de referencia de dichos biomarcadores.

Tal como se ilustra en los resultados experimentales de la presente solicitud, los inventores han descubierto de hecho que los biomarcadores mencionados anteriormente están asociados con ausencia de recaída de TNBC, así como con un buen pronóstico.

En la siguiente tabla 2 se enumeran biomarcadores particularmente preferidos asociados con ausencia de recaída de TNBC.

Tabla 2. Biomarcadores de ausencia de recaída de TNBC

5

10

15

20

25

35

Símbolo	Nombre completo	Número de registro de UniprotKB/Swiss- Prot (SEC ID número)
WARS	Triptofanil-ARNt sintetasa (enzima EC 6.1.1.2): Isoformas 1 y 2 Nombre(s) alternativo(s): Proteína 53 inducida por interferón (IFP53) Triptofanil-ARNt ligasa, citoplasmática	P23381-1 (isoforma 1: SEC ID NO: 15) P23381-2 (isoforma 2: SEC ID NO: 16)
SAMHD1	Proteína 1 que contiene dominio SAM y dominio HD (enzima EC 3.1.4): Isoformas 1 y 2 Nombre(s) alternativo(s): Proteína inducida por IFNG derivada de células dendríticas (DCIP) Proteína 5 de monocitos(MOP-5)	Q9Y3Z3-1 (isoforma 1: SEC ID NO:17) Q9Y3Z3-2 (isoforma 1: SEC ID NO:18)
HSPE1	Proteína de choque térmico de 10 kDa, mitocondrial Nombre(s) alternativo(s): Chaperonina de 10 kDa Chaperonina 10 (CPN10) Factor de embarazo temprano (EPF)	P61604 (SEC ID NO: 19)
IGHG1	Región de cadena C de Ig gamma-1	P01857 (SEC ID NO: 20)
HK1	Hexocinasa-1 (enzima EC 2.7.1.1): Isoformas 1, 2, 3 y 4 Nombre(s) alternativo(s): Hexocinasa de forma cerebral Hexocinasa tipo I (HK I)	P19367-1 (SEC ID NO: 21) P19367-2 (SEC ID NO: 22) P19367-3 (SEC ID NO: 23) P19367-4 (SEC ID NO: 24)

Como ejemplo, un nivel de expresión de dichos al menos dos biomarcadores seleccionados del grupo que consiste en:

- hexocinasa-1, proteína de choque térmico de 10 kDa, proteína 1 que contiene dominio SAM y dominio HD
 y triptofanil-ARNt sintetasa, superior a un nivel de expresión de referencia obtenido a partir de una
 muestra biológica de al menos un sujeto sano, y
- región de cadena C de lg gamma-1, inferior a un nivel de expresión de referencia obtenido a partir de una muestra biológica de al menos un sujeto sano,

es indicativo de que el sujeto no padece una recaía de cáncer de mama triple negativo (TNBC), y/o es indicativo de un desenlace clínico positivo.

- Por inferior a un nivel de expresión de referencia, quiere decirse preferiblemente que la razón entre el nivel de expresión de dichos biomarcadores y el nivel de expresión de referencia está por debajo de 1.
 - En particular, con respecto al desenlace clínico, los inventores han descubierto que una expresión superior de hexocinasa-1, proteína de choque térmico de 10 kDa, proteína 1 que contiene dominio SAM y dominio HD, y/o triptofanil-ARNt sintetasa, y/o una expresión inferior de región de cadena C de lg gamma-1, en comparación con un nivel de expresión de referencia, se correlaciona con una alta tasa de supervivencia libre de enfermedad (DSF), una alta tasa de supervivencia global (OS), un bajo riesgo de muerte y/o un bajo riesgo de progresión de la enfermedad.
- 40 El experto en la materia comprenderá fácilmente que pueden combinarse más de dos biomarcadores de recaída

7

o ausencia de recaída de TNBC como un panel de biomarcadores, cada uno de los cuales contribuye al diagnóstico y/o pronóstico final descrito en la presente memoria. Está dentro de la experiencia del experto habitual en la materia seleccionar los biomarcadores que van a combinarse en el presente método, así como en otros métodos descritos en la presente memoria. Lo más preferiblemente, el experto combinará los nueve biomarcadores asociados con recaída de TNBC y/o los cinco biomarcadores asociados con ausencia de recaída de TNBC tal como se describió anteriormente.

5

10

15

20

25

30

35

40

45

50

55

60

65

Aun cuando los biomarcadores enumerados anteriormente son suficientes para llevar a cabo un diagnóstico y/o un pronóstico, se entenderá que la información obtenida utilizando los métodos descritos en la presente memoria pueden utilizarse en combinación con otra información, tal como, pero sin limitarse a, los niveles de expresión de biomarcadores adicionales que pueden ser biomarcadores convencionales, parámetros químicos clínicos, parámetros histopatológicos, o la edad, el género y/o el peso del sujeto.

Por tanto, como ejemplo, el método anterior comprende además la etapa de determinar a partir de la muestra biológica de dicho sujeto el nivel de expresión de al menos un biomarcador adicional de las tablas 7A y/o 8A tal como se describe más adelante, y cualquier combinación de los mismos. Un experto en la materia entendería fácilmente a partir de los datos proporcionados en la presente memoria que los biomarcadores enumerados en las tablas 7A y/o 8A pueden ayudar en el diagnóstico y/o pronóstico del método descrito en la presente memoria. Además, debe indicarse que los valores numéricos indicados en esas tablas se proporcionan como ejemplo representativo del nivel de expresión de cada biomarcador; esos valores no son por tanto limitativos, y no excluyen valores ligeramente mayores y/o ligeramente menores. Está dentro de la experiencia del experto habitual en la materia seleccionar los biomarcadores de las tablas 7A y/o 8A que van a combinarse en el presente método, así como en otros métodos descritos en la presente memoria.

En el contexto de la presente invención, el nivel de expresión se mide preferiblemente al nivel de proteína. Se conocen bien en la materia métodos para medir los niveles de expresión de proteínas y se revisan de manera notable por Reeves et al. (2000) y Schena (2005). Esos métodos implican generalmente poner en contacto una muestra biológica de interés con uno o más reactivos detectables que son adecuados para medir el nivel de expresión de proteínas, tales como un anticuerpo, y posteriormente determinar el nivel de expresión de proteínas basándose en el nivel de reactivo detectado, preferiblemente tras normalización. Los ejemplos de métodos que implican generalmente la utilización de un anticuerpo incluyen, sin limitación, inmunotransferencia de tipo Western, inmunotransferencia, ensayo de inmunoabsorción ligado a enzimas (ELISA), Immunospot ligado a enzimas (ELISPOT), radioinmunoensayo (RIA), inmunohistoquímica e inmunoprecipitación. Pueden utilizarse otros métodos adecuados para medir un nivel de expresión de proteínas, que no implican necesariamente la utilización de un anticuerpo, incluyendo, sin limitación, clasificación celular activada por fluorescencia (FACS), microscopía tal como microscopía de fuerza atómica, citometría de flujo, microcitometría, ensayo de unión de proteínas, ensavo de unión de ligandos, microalineamiento, electroforesis en gel de poliacrilamida tales como SDS-PAGE, resonancia de plasmón superficial (SPR), transferencia de energía por resonancia Forster (FRET), transferencia de energía por resonancia de bioluminiscencia (BRET), quimioluminiscencia, polarización fluorescente, fosforescencia, espectrometría de masas tal como espectrometría de masas con cromatografía de líquidos (CL-EM) o cromatografía de líquidos/espectrometría de masas/espectrometría de masas (CL-EM-EM), desorción/ionización por láser asistida por matriz-tiempo de vuelo (MALDI-TOF), desorción/ionización por láser potenciada por superficie-tiempo de vuelo (SELDI-TOF) y obtención de imágenes por resonancia magnética

Según los diferentes aspectos y ejemplos descritos en la presente memoria, la etapa de determinar el nivel de expresión de un biomarcador de interés comprende además preferiblemente una subetapa de normalizar el nivel de expresión de dicho biomarcador. El método para normalizar el nivel de expresión puede seleccionarse basándose en el método utilizado para medir el nivel de expresión. Por ejemplo, si se realiza una inmunotransferencia de tipo Western, el nivel de expresión de un biomarcador de interés en una muestra biológica puede normalizarse evaluando en paralelo en dicha muestra el nivel de expresión de una proteína que se expresa habitualmente de manera constitutiva en cualquier célula de un organismo vivo, preferiblemente al mismo nivel de expresión ya esté la célula sana o no (por ejemplo, ya sea cancerosa o no). Un ejemplo de una proteína expresada de manera constitutiva es una proteína de mantenimiento, que puede seleccionarse, sin limitación, entre actina, beta-tubulina y gliceraldehído 3-fosfato deshidrogenasa (GAPDH), por nombrar unas cuantas. Alternativamente, si se realiza un ELISA, que implica por ejemplo un método de detección colorimétrico, el nivel de expresión de proteína puede normalizarse mediante el número de células total. Aún, todavía alternativamente, si se realiza un microalineamiento, el nivel de expresión de proteína puede normalizarse, por ejemplo, mediante regresión de Loess. Para una revisión detallada de métodos de normalización del nivel de expresión de proteína en un microalineamiento de anticuerpos, un experto en la materia puede remitirse a Hamelinck et al. (2005).

Todos estos métodos para medir y normalizar el nivel de expresión de proteína los conoce bien el experto, y por tanto no es necesario detallarlos adicionalmente en la presente memoria. Si el experto desea utilizar cualquiera de los métodos anteriores que implican la utilización de un anticuerpo para medir el nivel de expresión de proteínas biomarcadoras, puede utilizarse cualquier anticuerpo comercial apropiado específico para dicho

biomarcador. Alternativamente, basándose en el conocimiento de la secuencia de aminoácidos de un biomarcador de interés, resulta fácil para el experto diseñar reactivo(s) adecuado(s) para medir el nivel de expresión en cualquier muestra biológica. Por ejemplo, un anticuerpo dirigido contra un biomarcador específico puede prepararse mediante cualquier método convencional, por ejemplo inmunizando un animal, tal como un ratón, con una forma inmunogénica de dicho biomarcador que provoca una respuesta de anticuerpos en dicho animal. Se describen bien en la bibliografía métodos para producir anticuerpos monoclonales y policlonales (véanse notablemente Kohler y Milstein, 1975; Kozbor et al., 1983; Roder et al., 1986; y Huse et al., 1986), y por tanto no es necesario detallarlos adicionalmente en la presente memoria.

La comparación de un nivel de expresión determinado o sometido a prueba con un nivel de expresión de referencia puede realizarse simplemente calculando la razón entre el nivel de expresión de un biomarcador de interés en la muestra biológica sometida a prueba y en al menos una muestra de referencia, preferiblemente tras normalización tal como se describió anteriormente. Por consiguiente, una razón por encima de 1 es indicativa de que el biomarcador está sobreexpresado, mientras que una razón por debajo de 1 es indicativa de que el biomarcador está subexpresado (es decir, regulado por disminución).

En otro aspecto, los biomarcadores dados a conocer en la presente memoria pueden utilizarse para determinar si un paciente responderá o no a la terapia contra el cáncer. La asociación de la respuesta de un paciente con el tratamiento con tal(es) biomarcador(es) puede dilucidar de hecho nuevas oportunidades para el tratamiento en pacientes que no responden o indicar un tratamiento con respecto a otras opciones de tratamiento.

20

25

30

35

40

45

55

Por tanto, se proporciona adicionalmente en la presente memoria un método *in vitro* para determinar un fenotipo de respuesta o ausencia de respuesta a fármaco en un sujeto que padece una recaída de cáncer de mama triple negativo, que comprende las etapas de:

- a) determinar a partir de una muestra biológica de dicho sujeto el nivel de expresión de al menos dos biomarcadores seleccionados del grupo que consiste en desmoplaquina, proteína 1 activante de Rho GTPasa, epiplaquina, glucosa-6-fosfato 1-deshidrogenasa, isocitrato deshidrogenasa [NADP], queratina de tipo I del citoesqueleto 19, queratina de tipo I del citoesqueleto 8, proteína 3 relacionada con dihidropirimidinasa y trombospondina-1;
- b) comparar el nivel de expresión en la etapa a) con un nivel de expresión de referencia de dichos biomarcadores; y
- c) determinar a partir de dicha comparación el fenotipo de respuesta a fármaco o ausencia de respuesta a fármaco.

Según la presente invención, un "fenotipo de respuesta a fármaco" se refiere a un estado de respuesta de un sujeto a la administración de un fármaco. Un "estado de respuesta" significa que dicho sujeto responde al tratamiento, es decir que dicho tratamiento es eficaz en dicho sujeto. Un fenotipo de respuesta se caracteriza por tanto por una mejora en los signos clínicos, es decir en el presente contexto, un fenotipo de respuesta se caracteriza por ejemplo por una regresión o desaparición de células de cáncer de mama triple negativo y metástasis del mismo, si las hay. Una regresión o desaparición de células cancerosas puede evaluarse principalmente determinando un volumen tumoral, tal como mediante obtención de imágenes por tomografía computarizada (CT) u obtención de imágenes por resonancia magnética (MRI). En cambio, un "fenotipo de ausencia de respuesta a fármaco" se refiere a la ausencia en dicho sujeto de un estado de respuesta, lo que significa que dicho sujeto es resistente al tratamiento.

Como ejemplo, el método tal como se describió anteriormente comprende además la etapa de determinar a partir de dicha muestra el nivel de expresión de al menos dos biomarcadores asociados con ausencia de recaída de TNBC tal como se describió anteriormente.

El experto entendería que pueden utilizarse más de dos de los biomarcadores mencionados anteriormente como panel de biomarcadores, con el fin de contribuir a la determinación de un fenotipo de respuesta o ausencia de respuesta a fármaco según el método descrito en la presente memoria.

- El experto entendería también a partir de los datos proporcionados en la presente memoria que los biomarcadores enumerados en las tablas 7A y/u 8A pueden ayudar adicionalmente en esta determinación.
- Por consiguiente, como ejemplo, el método tal como se describió anteriormente comprende además la etapa de determinar a partir de dicha muestra el nivel de expresión de al menos un biomarcador adicional de las tablas 7A y/u 8A, tal como se describe más adelante.
- En un aspecto adicional, los biomarcadores dados a conocer en la presente memoria pueden utilizarse para diseñar o adaptar un tratamiento contra una recaída de cáncer de mama triple negativo (TNBC). En particular, tal tratamiento puede diseñarse o adaptarse una vez que se le ha diagnosticado a un sujeto que presenta una

recaída de TNBC, según el método descrito en la presente memoria.

5

10

15

20

25

50

55

Por consiguiente, se proporciona en la presente memoria un método para diseñar o adaptar un régimen de tratamiento para un sujeto que padece una recaída de cáncer de mama triple negativo (TNBC), que comprende las etapas de:

- a) determinar a partir de una muestra biológica de dicho sujeto un fenotipo de respuesta o ausencia de respuesta a fármaco, según el método descrito anteriormente; y
- b) diseñar o adaptar un régimen de tratamiento para dicho sujeto basándose en dicho fenotipo de respuesta o ausencia de respuesta.

El presente método es particularmente útil para ofrecer una terapia adaptada a cada paciente afectado por una recaída de TNBC.

El término "régimen de tratamiento" se refiere en la presente memoria a un plan de tratamiento que especifica el tipo de tratamiento (es decir, el tipo de fármaco o combinación de fármacos y el modo de administración de dicho(s) fármaco(s)), la dosificación, el programa y/o la duración de un tratamiento proporcionado a un sujeto que lo necesita. La dosificación, programa y/o duración del tratamiento pueden variar, dependiendo de la progresión de la enfermedad y el tipo de tratamiento seleccionado. En este sentido, además de los fármacos que pueden identificarse según el método de examen descrito en la presente memoria, los agentes terapéuticos que pueden utilizarse en el régimen de tratamiento descrito en la presente memoria incluyen, sin limitación, agentes quimioterápicos, inhibidores del factor de crecimiento endotelial vascular (VEGFR) tales como bevacizumab, inhibidores del receptor de factor de crecimiento epidérmico (EGFR) tales como cetuximab y panitumumab, inhibidores de tirosina cinasa, inhibidores de poli (ADP-ribosa) polimerasa (PARP), inhibidores de la glicoproteína transmembrana NMB (GPNMB) tales como glembatumumab vedotin (CDX-011), y cualquier combinación de los mismos.

Los fármacos quimioterápicos convencionales para tratar cáncer de mama incluyen, sin limitación, agentes basados en platino tales como oxaliplatino, cisplatino, carboplatino, espiroplatino, iproplatino y satraplatino; agentes alquilantes tales como ciclofosfamida, ifosfamida, clorambucilo, busulfano, melfalán, mecloretamina, uramustina, tiotepa y nitrosoureas; antimetabolitos tales como 5-fluorouracilo, azatioprina, 6-mercaptopurina, metotrexato, leucovorina, capecitabina, citarabina, floxuridina, fludarabina, gemcitabina, pemetrexed o raltitrexed; alcaloides vegetales tales como vincristina, vinblastina, vinorelbina, vindesina, podofilotoxina o taxanos tales como paclitaxel y docetaxel; inhibidores de topoisomerasa tales como irinotecán, topotecán, amsacrina, etopósido (VP16), fosfato de etopósido o tenipósido; antibióticos antitumorales tales como antraciclinas (por ejemplo, doxorubicia, daunorubicia, epirubicia, mitoxantrona), actinomicina, bleomicina, mitomicina o plicamicina; y cualquier combinación de los mismos.

40 Los ejemplos de inhibidores de tirosina cinasa que pueden utilizarse en el régimen de tratamiento descrito en la presente memoria incluyen, sin limitación, dasatinib, gefitinib, sunitinib, erlotinib, lapatinib, canertinib, semaxinib, vatalanib, sorafenib, mesilato de imatinib, leflunomida, vandetanib, pelitinib, CP-654577, CP-724714, HKI-272, PKI-166, AEE788, BMS-599626, HKI-357, BIBW 2992, ARRY-334543, JNJ-26483327, JNJ-26483327, y cualquier combinación de los mismos.

Los ejemplos de inhibidores de poli (ADP-ribosa) polimerasa (PARP) que pueden utilizarse en el régimen de tratamiento descrito en la presente memoria incluyen, sin limitación, olaparid (AZD-2281), iniparib (BSI-201), rucaparib (AG014699, PF-01367338), veliparib (ABT-888), CEP 9722, MK 4827, BMN-673, 3-aminobenzamida, y cualquier combinación de los mismos.

Un régimen de tratamiento particularmente preferido descrito en la presente memoria consiste en la combinación de tres agentes ("terapia triple" o "régimen de tratamiento triple"). Por ejemplo, pueden combinarse tres agentes terapéuticos de distintas categorías, seleccionándose dichos agentes de un agente quimioterápico, un inhibidor de receptor de factor de crecimiento endotelial vascular (VEGFR), un inhibidor de receptor de factor de crecimiento epidérmico (EGFR), un inhibidor de tirosina cinasa, un inhibidor de poli (ADP-ribosa) polimerasa (PARP) y/o un inhibidor de glicoproteína transmembrana NMB (GPNMB), tal como se definió anteriormente. Otro ejemplo de una terapia triple puede incluir un inhibidor de un biomarcador asociado con recaída de TNBC junto con dos agentes terapéuticos de distintas categorías tal como se describió anteriormente.

En el método anterior, el régimen de tratamiento que se diseña o adapta y opcionalmente se administra al sujeto depende del fenotipo de respuesta o ausencia de respuesta. En particular, un régimen de tratamiento puede seleccionarse por primera vez, continuarse, ajustarse o detenerse basándose en dicho fenotipo. Por ejemplo, un régimen de tratamiento puede ajustarse aumentando la dosis que va a administrarse, o detenerse y cambiarse a un régimen de tratamiento alternativo, si el sujeto no responde. Todavía, alternativamente, un régimen de tratamiento puede seleccionarse por primera vez o continuarse si un sujeto responde. Un experto en la materia diseñaría o ajustaría no obstante fácilmente el tipo de tratamiento con la dosificación, el programa y la duración

del tratamiento, dependiendo del fenotipo del sujeto.

10

15

20

25

30

35

45

50

55

60

Además, basándose en dicho fenotipo, el régimen de tratamiento seleccionado puede ser uno agresivo que se espera que dé como resultado el mejor desenlace clínico (por ejemplo, regresión y/o desaparición de las células de cáncer de mama triple negativo y metástasis del mismo, si las hay) y que puede estar asociado con alguna molestia para el sujeto o efectos secundarios adversos (por ejemplo, daño para el tejido o las células sanas). Un ejemplo de un régimen de tratamiento agresivo incluye un régimen de tratamiento tal como se describió anteriormente combinado con intervención quirúrgica para eliminar células tumorales, tejido u órganos y/o una exposición a radioterapia. Un régimen de tratamiento agresivo puede incluir también una dosificación superior del/de los agente(s) terapéutico(s), una administración más frecuente de dicho(s) agente(s) y/o una duración más prolongada del tratamiento.

Por tanto, una vez que se ha determinado un régimen de tratamiento según las enseñanzas dadas a conocer en la presente memoria, el sujeto puede recibir el tratamiento apropiado.

Por tanto, en otro aspecto, se proporciona en la presente memoria un método para tratar una recaída de cáncer de mama triple negativo en un sujeto que lo necesita, que comprende las etapas de:

- a) determinar a partir de una muestra biológica de dicho sujeto un fenotipo de respuesta o ausencia de respuesta a fármaco, según el método descrito anteriormente; y
- b) administrar a dicho sujeto dicho fármaco si el fenotipo es un fenotipo de respuesta.

El término "administrar" tal como se utiliza en la presente memoria significa que el/los fármaco(s) de interés se suministran o dispensan a un sujeto por vía oral, o por vía parenteral tal como mediante inyección subcutánea, intravenosa, intramuscular, intratecal o intraperitoneal.

En otro aspecto, los biomarcadores dados a conocer en la presente memoria pueden utilizarse para fines de examen de fármacos. En particular, pueden proporcionarse ensayos de fármacos nuevos, que identifican productos terapéuticos que interfieren eficazmente con la proliferación de células de cáncer de mama triple negativo que expresan de manera aberrante esos biomarcadores. El tratamiento actual de cáncer de mama triple negativo (TNBC) se basa principalmente en quimioterapia y/o fármacos antiangiogénicos, que pueden combinarse, si es necesario, con cirugía. Sin embargo, con quimioterapia sola, el riesgo residual de recaída sigue siendo alto, de entre el 30 y el 40%. Además, tal como se indicó anteriormente, la terapia endocrina y anti-HER2 habitualmente no están indicadas para pacientes con TNBC, ya que son negativos para el receptor de estrógenos (ER), receptor de progesterona (PR) y receptor de factor de crecimiento epidérmico 2 humano (HER2). Se proporciona por tanto en la presente memoria un ensayo de examen nuevo para identificar fármacos candidatos que se dirigen a la recaída de cáncer de mama triple negativo.

- 40 En este aspecto, se proporciona más particularmente en la presente memoria un método de examen para identificar un fármaco o combinación de fármacos adecuados para tratar una recaída de cáncer de mama triple negativo, que comprende las etapas de:
 - a) poner en contacto células o una línea celular de cáncer de mama aisladas que presentan un fenotipo de recaída de cáncer de mama triple negativo con un fármaco candidato o combinación de fármacos candidatos:
 - b) determinar, a partir de dichas células o línea celular en contacto con dicho fármaco o combinación de fármacos, el nivel de expresión de al menos dos biomarcadores seleccionados del grupo que consiste en desmoplaquina, proteína 1 activante de Rho GTPasa, epiplaquina, glucosa-6-fosfato 1-deshidrogenasa, isocitrato deshidrogenasa [NADP], queratina de tipo I del citoesqueleto 19, queratina de tipo I del citoesqueleto 8, proteína 3 relacionada con dihidropirimidinasa y trombospondina-1; y
 - c) comparar el nivel de expresión de dichos biomarcadores en la etapa b) con su nivel de expresión en ausencia de dicho fármaco o combinación de fármacos.

Por "fármaco" o "agente" quiere decirse en la presente memoria un compuesto tal como una molécula química o biológica que puede administrarse o someterse a prueba tal como se describe en la presente memoria. Un compuesto químico puede ser de cualquier composición tal como inorgánica u orgánica. Una molécula biológica puede ser una molécula de cualquier origen biológico que puede encontrarse o producirse por, al menos en parte, una célula, tal como, sin limitación, péptidos o proteínas tales como anticuerpos o Affibodies, lípidos, ácidos nucleicos tales como iARN o aptámeros, hidratos de carbono, y cualquier combinación de los mismos.

Por "fármaco adecuado para tratar una recaída de TNBC", quiere decirse en la presente memoria un fármaco que puede ralentizar o detener el crecimiento de células de cáncer de mama triple negativo y metástasis del mismo, si las hay, o bien destruyendo dichas células, o bien ralentizando o deteniendo su división incontrolada.

Además, se entenderá que por "células o línea celular de cáncer de mama que presentan un fenotipo de recaída de TNBC" según la invención, quiere decirse células o línea celular de cáncer mama que presenta(n) el mismo perfil de expresión del/de los biomarcador(es) asociado(s) con recaída de cáncer de mama triple negativo como el descrito anteriormente, tal como el perfil de expresión descrito en la tabla 7A. Preferiblemente, las células o línea celular utilizadas en el presente método de examen son células o línea celular de cáncer de mama aisladas de un sujeto que padece una recaída de cáncer de mama triple negativo.

- El método de examen descrito anteriormente es preferiblemente un método de examen *in vitro*. Por ejemplo, las células o línea celular utilizadas en el presente método pueden cultivarse en un sistema de cultivo tridimensional (3D), para imitar el microentorno tumoral de un TNBC. Para hacer esto, dichas células pueden incrustarse en una matriz extracelular (ECM) tal como describen Weigelt *et al.* (2008), Kenny *et al.* (2007) y Li *et al.* (2010).
- Con el fin de evaluar la eficacia del agente anticancerígeno candidato, dichas células o línea celular, como alternativa o como prueba de validación, pueden injertarse en un animal, tal como un ratón. Este procedimiento, también conocido como xenoinjerto, se ha utilizado satisfactoriamente para evaluar la eficacia de metformina sobre xenoinjertos en ratón de TNBC (Liu et al., 2009). Si se lleva a cabo un xenoinjerto de este tipo, el método de examen descrito anteriormente comprende además preferiblemente la etapa de matar a dicho animal.
- Como ejemplo del método anterior, un nivel de expresión de dichos biomarcadores en la etapa b) inferior a su nivel de expresión en ausencia de dicho fármaco o combinación de fármacos es indicativo de que dicho fármaco o combinación de fármacos es adecuado para tratar una recaída de TNBC.
- Preferiblemente, un nivel de expresión de los nueve biomarcadores en la etapa b) inferior a su nivel de expresión en ausencia de dicho fármaco o combinación de fármacos es indicativo de que dicho fármaco o combinación de fármacos es adecuado para tratar una recaída de TNBC.
 - Aún, como ejemplo, el método de examen descrito en la presente memoria comprende además la etapa de determinar, a partir de dichas células o línea celular, el nivel de expresión de al menos un biomarcador adicional de la tabla 7A tal como se describe más adelante. Un experto en la materia entendería fácilmente a partir de los datos proporcionados en la presente memoria que los biomarcadores enumerados en la tabla 7A pueden ayudar en la identificación de un fármaco o combinación de fármacos adecuados para tratar una recaída de TNBC.
- En otro aspecto, se proporcionan kits en la presente memoria que pueden emplearse en los métodos descritos en la presente memoria. En este sentido, se describe en la presente memoria un kit para su utilización en cualquier método descrito anteriormente, que comprende o consiste en:
 - a) un reactivo que puede determinar específicamente el nivel de expresión de al menos dos biomarcadores seleccionados del grupo que consiste en desmoplaquina, proteína 1 activante de Rho GTPasa, epiplaquina, glucosa-6-fosfato 1-deshidrogenasa, isocitrato deshidrogenasa [NADP], queratina de tipo I del citoesqueleto 19, queratina de tipo I del citoesqueleto 8, proteína 3 relacionada con dihidropirimidinasa y trombospondina-1; y
 - b) instrucciones para realizar dicho método.

30

40

45

50

55

60

- Tal como se utiliza en la presente memoria, el término "instrucciones" se refiere a una publicación, una grabación, un diagrama o cualquier otro medio que pueda utilizarse para comunicar cómo realizar un método descrito en la presente memoria. Dichas instrucciones, por ejemplo, pueden fijarse a un recipiente que contiene dicho kit. Preferiblemente, las instrucciones para utilizar dicho kit incluyen un nivel de expresión de referencia de dichos biomarcadores.
- El término "reactivo que puede determinar específicamente el nivel de expresión" designa un reactivo o un conjunto de reactivos que reconoce específicamente dicho(s) biomarcador(es) y permite la cuantificación del nivel de expresión de dicho(s) biomarcador(es). Estos reactivos pueden ser por ejemplo anticuerpos, aptámeros o Affibodies que reconocen específicamente un biomarcador. En el presente contexto, se dice que un reactivo de este tipo es "específico" para su diana (es decir, biomarcador) o "reconoce específicamente" su diana si 1) presenta un nivel umbral de actividad de unión, y/o 2) no reacciona significativamente de manera cruzada con moléculas diana que se sabe que están relacionadas con el biomarcador de interés. La afinidad de unión de un reactivo de este tipo puede determinarla fácilmente un experto en la materia, por ejemplo, mediante análisis de Scatchard. La reactividad cruzada de un reactivo también puede determinarla fácilmente un experto en la materia, y por tanto no es necesario detallarlo adicionalmente en la presente memoria. Los ejemplos de reactivos que pueden determinar específicamente el nivel de expresión de un biomarcador incluyen, sin limitación, anticuerpos.
- 65 Como ejemplo particular, el kit puede comprender además:

- c) un reactivo que puede determinar específicamente el nivel de expresión de al menos dos biomarcadores asociados con ausencia de recaída de TNBC tal como se describió anteriormente.
- Aún, en un ejemplo adicional, el kit descrito en la presente memoria comprende además un reactivo que puede determinar específicamente el nivel de expresión de al menos un biomarcador adicional de la tabla 7A y/o 8A, tal como se describe adicionalmente más adelante, y cualquier combinación de los mismos.

Con el fin de normalizar el nivel de expresión de proteína, el kit descrito en la presente memoria puede comprender también opcionalmente un reactivo que puede determinar específicamente el nivel de expresión de una proteína de mantenimiento, tal como actina, beta-tubulina o gliceraldehído 3-fosfato deshidrogenasa (GAPDH).

10

15

20

25

30

35

40

50

55

En aún otro aspecto, los métodos descritos en la presente memoria pueden ponerse en práctica utilizando un microalineamiento, para determinar notablemente el nivel de expresión de biomarcadores de interés descritos en la presente memoria.

El término "microalineamiento" se refiere en la presente memoria a una colección espacialmente definida y diferenciada de moléculas biológicas individuales que se inmovilizan sobre una superficie sólida, y a los que se unen específicamente uno o varios biomarcadores de interés. Estas moléculas biológicas permiten la determinación del nivel de expresión de dicho(s) biomarcador(es), y pueden ser anticuerpos, Affibodies o aptámeros si el microalineamiento es un microalineamiento de proteínas, que es un tipo preferido de microalineamiento descrito en la presente memoria. El experto conoce bien tecnologías de microalineamientos de proteínas, y se describen notablemente en Mitchell (2002), Haab (2005) y Eckel-Passow et al. (2005), y en las patentes US n.ºs 6.087.102, 6.139.831 y 6.087.103. Para la determinación del nivel de expresión de proteína de uno o varios biomarcadores utilizando tal alineamiento, pueden utilizarse normalmente dos tecnologías: 1) marcaje directo y 2) marcaje indirecto, tal como describen por ejemplo Kingsmore et al. (2006). En el método de "marcaje directo", la proteína de interés (es decir, el biomarcador descrito en la presente memoria, o diana) obtenida a partir de una muestra, tal como una muestra biológica, se marca con un marcador específico (por ejemplo un marcador fluorescente o de radioisótopo), y posteriormente se hibrida con el microalineamiento uniéndose específicamente a un reactivo que reconoce a dicho biomarcador, estando dicho reactivo conjugado con la superficie del microalineamiento de proteínas. Si va a evaluarse el nivel de expresión de varios biomarcadores, cada biomarcador se marca con un marcador distinto. En el método de "marcaje indirecto", la muestra que contiene el biomarcador de interés se hibrida con el microalineamiento uniéndose específicamente a un reactivo no marcado que reconoce a dicho biomarcador, estando dicho reactivo conjugado con la superficie del microalineamiento de proteínas, y entonces se añade un reactivo marcado secundario, que reconoce también específicamente a dicho biomarcador. La especificidad y sensibilidad de un método de marcaje indirecto de este tipo puede potenciarse además utilizando un tercer reactivo marcado, que reconoce al reactivo secundario (ensayo de tipo sándwich). De manera similar, si va a evaluarse el nivel de expresión de varios biomarcadores en el método de marcaje indirecto, cada reactivo secundario o terciario se marca con un marcador distinto. Pueden utilizarse también sistemas libre de marcador para determinar el nivel de expresión de un biomarcador en un microalineamiento de proteínas; en un sistema de este tipo, la detección del biomarcador, y por tanto de su nivel de expresión, puede realizarse mediante resonancia de plasmón superficial (SPR), biodetección de microviga, SELDI-TOF-EM o microscopía de fuerza atómica (Chandra et al., 2011).

- 45 Por tanto, se describe en la presente memoria un microalineamiento de proteínas para su utilización en cualquier método descrito anteriormente, que comprende o consiste en:
 - a) un reactivo que puede determinar específicamente el nivel de expresión de al menos dos biomarcadores seleccionados del grupo que consiste en desmoplaquina, proteína 1 activante de Rho GTPasa, epiplaquina, glucosa-6-fosfato 1-deshidrogenasa, isocitrato deshidrogenasa [NADP], queratina de tipo I del citoesqueleto 19, queratina de tipo I del citoesqueleto 8, proteína 3 relacionada con dihidropirimidinasa y trombospondina-1.

Por ejemplo, el microalineamiento de proteínas descrito en la presente memoria puede comprender además:

- b) un reactivo que puede determinar específicamente el nivel de expresión de al menos dos biomarcadores asociados con ausencia de recaída de cáncer de mama triple negativo (TNBC) tal como se describió anteriormente.
- Aún, en un ejemplo adicional, el microalineamiento descrito en la presente memoria comprende además un reactivo que puede determinar específicamente el nivel de expresión de al menos un biomarcador adicional de la tabla 7A y/o 8A, tal como se describe adicionalmente más adelante, y cualquier combinación de los mismos.
- Con el fin de normalizar el nivel de expresión de proteínas, el microalineamiento descrito en la presente memoria puede comprender también opcionalmente un reactivo que puede determinar específicamente el nivel de expresión de una proteína de mantenimiento, tal como actina, beta-tubulina o gliceraldehído 3-fosfato

deshidrogenasa (GAPDH).

La presente invención se entenderá mejor en vista de la siguiente descripción detallada de experimentos, que incluye ejemplos.

5

15

25

30

35

Breve descripción de los dibujos

- Figura 1. Flujo de trabajo esquemático del diseño experimental y análisis de datos.
- Figura 2. Clasificación tumoral mediante análisis de mínimos cuadrados parciales ortogonal (OPLS) en el análisis global.
 - Figura 3. Análisis de inmunotransferencia de la expresión de los biomarcadores WARS y THBS1 en sujetos con recidiva y sin recidiva. Se sometieron a inmunotransferencia seis o siete tumores "con recidiva" y seis u ocho tumores "sin recidiva". Se utilizó HSC70 como control.
 - Figura 4. Estimaciones de Kaplan-Meier de la supervivencia libre de enfermedad para la expresión de WARS (A), HSPE1 (B), SAMHD1 (C), HK1 (D) e IGHG1 (E).
- Figura 5. Estimaciones de Kaplan-Meier de la supervivencia global para la expresión de WARS (A), HSPE1 (B) e IGHG1 (C).
 - Figura 6. Estimaciones de Kaplan-Meier de la supervivencia libre de enfermedad para la expresión de DSP (A), THBS1 (B), G6PD (C), IDH2 (D), KRT19 (E), KRT8 (F), EPPK1 (G), ARHGAP1 (H) y DPYSL3 (I).
 - Figura 7. Estimaciones de Kaplan-Meier de la supervivencia global para la expresión de DSP (A), THBS1 (B), G6PD (C) e IDH2 (D).
 - Figura 8. Curvas de Kaplan-Meier para los biomarcadores DSP (A,B), THBS1 (C,D) e IGHG1 (E,F) (supervivencia libre de enfermedad a la izquierda (A,C,E) y supervivencia global a la derecha (B,D,F)).
 - Figura 9. Validación de DSP en las muestras de suero de una cohorte de cáncer de mama triple negativo.

Ejemplos

_,-...

Materiales y métodos Colección de muestras

Los inventores seleccionaron casos de tumores de mama triples negativos (TNBC) que se extirparon quirúrgicamente con intención curativa en el banco de tumores del West Cancer Institute. Todos los pacientes proporcionaron su consentimiento informado para la participación y este proyecto lo aprobó el Comité de revisión institucional. Todas las muestras se recogieron inmediatamente después de la cirugía, se congelaron instantáneamente y se almacenaron en nitrógeno líquido hasta el momento de análisis. También se seleccionaron 4 zonas macroscópicamente normales para el conjunto de control. Se cortaron secciones congeladas (12 μm de grosor) de o bien TNBC o bien zonas normales con un crisostato (Bright Instrument Co Ltd, St Margarets Way, RU). Se tiñeron secciones específicas con azul de toluidina para referencia visual y patólogos experimentados evaluaron cada sección de tejido de todas las muestras para la determinación de la proporción de células. Se eliminaron muestras que contenían menos del 80% de células tumorales. En la tabla 3 a continuación se resumen las características de candidatos tisulares.

Tabla 3. Características clinicopatológicas de pacientes para estudios de proteómica tisular

		Total (n=80)	Sin recaída (n=45)	Recaída (n=35)
Edad Mediana (intervalo)		56 (28-78)	55 (28-78)	58 (37-76)
Grado	1	1	0	1
	2	6	6	0
	3	73	39	34
рТ	08-11	6	5	1
	12-15	23	16	7
	16-19	11	7	4
	20-23	15	10	5
	24-27	6	4	2

28-31	5	2	3
32-35	6	4	2
36-70	7	3	4
Quimioterapia adyuvante	3	2	1
Radioterapia	77	49	28

1.2. Extracción de proteína a partir de tejidos congelados

5

10

15

20

25

30

35

40

45

Se cortaron secciones congeladas (12 µm de grosor) de TNBC o zona de mama normal con un criostato (Bright Instrument Co Ltd, St Margarets Way, RU). Se tiñeron secciones específicas con azul de toluidina para referencia visual. Se lisaron diez secciones congeladas por tumor en un tampón que consistía en Tris-HCI 0.1 M, pH 8.0, DTT 0.1 M y SDS al 4% a 95°C durante 90 min. Se eliminó el detergente de los lisados y se digirieron las proteínas con tripsina utilizando el protocolo de FASP (Wisniewski et al., 2009) utilizando unidades de ultrafiltración por centrifugación de corte de peso molecular nominal de 30000. A unidades de filtro YM-30 Microcon (n.º de cat. MRCF0R030, Millipore) que contenían concentrados de proteína, se le añadieron 200 μl de urea 8 M en Tris/HCl 0.1 M, pH 8.5 (UA), y se centrifugaron las muestras a 14000 g a 20°C durante 8 min. Se realizó esta etapa tres veces. Entonces se añadieron 6 µl de MMTS 200 mM en urea 8 M a los filtros y se incubaron las muestras durante 20 min. Se lavaron los filtros tres veces con 200 µl de UA 8 M seguido por seis lavados con 100 ul de TEAB 0.5 M. Finalmente, se añadió tripsina (AB sciex) en 100 ul de TEAB 0.5 M a cada filtro. La razón de proteína con respecto a enzima era de 100:1. Se incubaron las muestras durante la noche a 37°C y se recogieron los péptidos liberados mediante centrifugación. Entonces se secaron las muestras completamente utilizando un instrumento Speed-Vac y se resuspendieron en 100 µl de ácido trifluoroacético (TFA) al 0.5% en acetonitrilo al 5%, y se desalaron por medio de columnas de centrifugación PepClean C-18 (Pierce Biotechnology, Rockford, IL). Se determinó el contenido en péptido utilizando el kit de ensayo de proteínas Micro BCA (Pierce-Thermo Scientific, Rockford, IL).

1.3. Marcaje de péptidos con reactivos iTRAQ

Se marcó cada disolución de péptido a temperatura ambiente durante 2 h con un vial de reactivo iTRAQ previamente reconstituido con 70 μl de etanol para reactivo iTRAQ 4plex y reconstituido con 50 μl de isopropanol para reactivo iTRAQ 8plex. Se analizó una mezcla que contenía pequeñas alícuotas de cada muestra marcada mediante EM/EM para determinar una razón de mezclado apropiada para corregir la irregularidad en el rendimiento de péptido a partir de procedimientos de tejidos líquidos. Entonces se mezclaron los péptidos marcados en una razón 1:1:1:1 (o 1:1:1:1:1:1:1). Entonces se secó completamente la mezcla de péptidos utilizando un instrumento Speed-Vac.

1.4. Fraccionamiento OFFGEL de péptidos

Para la separación de péptidos basada en pl, los inventores utilizaron el fraccionador 3100 OFFGEL (Agilent Technologies, Böblingen, Alemania) con una configuración de 24 pocillos según el protocolo descrito por Ernoult et al. (2008). Brevemente, antes del electroenfoque, se desalaron las muestras en un cartucho Sep-Pak C18 (Waters). Para la configuración de 24 pocillos, se diluyeron muestras de péptido hasta un volumen final de respectivamente 3,6 ml utilizando una disolución de muestra de péptido OFFGEL. Para comenzar, se rehidrató la tira de gel IPG de 24 cm de largo (GE Healthcare, Múnich, Alemania) con un intervalo de pH lineal de 3-10 con la disolución de rehidratación de tira IPG de péptido según el protocolo del fabricante durante 15 min. Entonces, se cargaron 150 μl de muestra en cada pocillo. Se realizó el electroenfoque de los péptidos a 20°C y 50 □ A hasta que se alcanzó el nivel de 50 kVh. Tras el enfoque, se extrajeron 24 fracciones de péptido y se lavaron los pocillos con 200 μl de una disolución de agua/metanol/ácido fórmico (49/50/1). Tras 15 min, se agruparon las disoluciones de lavado con su correspondiente fracción de péptido. Se evaporaron todas las fracciones mediante centrifugación a vacío y se mantuvieron a -20°C. Justo antes de la nano-CL, se resuspendieron las fracciones en 20 μl de H₂O con TFA al 0.1% (v/v).

1.5. Separación por CL capilar

Se separaron las muestras en un sistema de nano-CL Ultimate 3.000 (Dionex, Sunnyvale, EE.UU.) utilizando una columna C18 (PepMap100, 3 μm, 100A, d.i. de 75 μm x 15 cm, Dionex) a una velocidad de flujo de 300 nl/min. El tampón A era ACN al 2% en agua con TFA al 0.05% y el tampón B era ACN al 80% en agua con TFA al 0.04%. Se desalaron los péptidos durante 3 min utilizando sólo tampón A en la precolumna, seguido por una separación durante 105 min utilizando el siguiente gradiente: del 0 al 20% de B en 10 min, del 20% al 45% de B en 85 min y del 45% al 100% de B en 10 min. Se registraron los cromatogramas a la longitud de onda de 214 nm. Se recogieron fracciones de péptido utilizando un colector de microfracciones Probot (Dionex). Se utilizó CHCA (LaserBioLabs, Sophia-Antipolis, Francia) como matriz de MALDI. Se añadió de manera continua la matriz (concentración de 2 mg/ml en ACN al 70% en agua con TFA al 0.1%) al efluente de la columna por medio de una pieza de mezclado de micro "T" a una velocidad de flujo de 1.2 μl/min. Tras 12 min de ejecución, se envió una señal de inicio al Probot para iniciar el fraccionamiento. Se recogieron fracciones durante 10 s y se dispusieron

en puntos sobre una placa de muestra de MALDI (1.664 puntos por placa, Applied Biosystems, Foster City, CA).

1.6. MALDI-EM/EM

30

55

65

Se realizaron análisis de EM y EM/EM de muestras de péptidos en puntos fuera de línea utilizando el analizador de MALDI-TOF/TOF 5800 (ABsciex) y el software 4000 Series Explorer, versión 4.0. Se hizo funcionar el instrumento en un modo de ión positivo y se calibró externamente utilizando un kit convencional de calibración de masas (ABsciex). La potencia del láser se fijó entre 2800 y 3400 para la adquisición de EM y entre 3600 y 4200 para la de EM/EM. Tras el examen de todas las posiciones de muestra de CL-MALDI en modo de reflector positivo para EM utilizando 1500 disparos de láser, se realizó la fragmentación de precursores seleccionados automáticamente a una energía de colisión de 1 kV utilizando aire como gas de colisión (presión de ~ 2 x 10⁻⁶ Torr) con una acumulación de 2000 disparos para cada espectro. Se adquirieron los espectros de EM entre m/z 1000 y 4000. Para la calibración interna, se utilizó el ión original de Glu1-fibrinopéptido a m/z 1570.677 diluido en la matriz (30 femtomoles por punto). Se seleccionaron hasta 12 de las señales iónicas más intensas por posición de punto que presentaban una S/N > 12 como precursores para la adquisición de EM/EM. Se realizó la identificación de péptidos y proteínas mediante el software ProteinPilot™ V 4.0 (AB Sciex) utilizando el algoritmo Paragon como motor de búsqueda (Shilov et al., 2007).

Se buscó cada espectro de EM/EM para la especie *Homo sapiens* frente a la base de datos Uniprot/swissprot (Uni-ProtKB/Sprot 20110208 versión 01, con 525997 entradas de secuencia). Se ejecutaron las búsquedas utilizando la modificación fija de cisteína marcada con metilmetanotiosulfato permitida. Otros parámetros tales como especificidad de escisión tríptica, precisión de masa de ión precursor y presión de masa de ión de fragmento son funciones incorporadas en MALDI 5800 del software ProteinPilot. El umbral de proteína detectada (Protscore no utilizada (confianza)) en el software se fijó a 1.3 para lograr el 95% de confianza, y se agruparon las proteínas identificadas mediante el algoritmo ProGroup (ABsciex) para minimizar la redundancia. Se ejecutó la opción de corrección del sesgo.

Se utilizó también una estrategia de búsqueda en base de datos señuelo para estimar la tasa de descubrimiento falso (FDR), definida como el porcentaje de proteínas señuelo identificadas frente a la identificación de proteínas totales. Se calculó la FDR buscando el espectro frente a la base de datos señuelo de *Homo sapiens* Uniprot. La baja FDR estimada del 0.9% indicó una alta fiabilidad de las proteínas identificadas.

1.7. Cuantificación de la expresión de proteína relativa.

35 Los inventores emplearon un paquete de software adaptado, iQuantitator (Schwacke et al., 2009; Grant et al., 2009; y Besson et al., 2011) para inferir la magnitud del cambio en la expresión de proteína. El software infiere cambios dependientes del tratamiento en la expresión utilizando métodos estadísticos bayesianos. Básicamente. se utilizó este enfoque para generar medias, medianas e intervalos plausibles del 95% (superior e inferior) para cada cambio dependiente del tratamiento en la expresión de proteína utilizando datos de nivel de péptidos para 40 cada péptido componente, e integrando los datos a través de los dos experimentos. Para proteínas cuyas razones de iTRAQ estaban reguladas por disminución en tejidos, se consideró el grado de regulación por disminución adicionalmente si el límite superior del intervalo plausible presentaba un valor inferior a 1. A la inversa, para proteínas cuyas razones de iTRAQ estaban reguladas por incremento en tumores, se consideró el grado de regulación por incremento adicionalmente si el límite inferior del intervalo plausible presentaba un valor mayor de 1. La anchura de estos intervalos plausibles depende de los datos disponibles para una proteína dada. 45 Puesto que el número de péptidos observados y el número de espectros utilizados para cuantificar el cambio en la expresión para una proteína dada se toman en consideración, es posible detectar cambios pequeños pero significativos en la regulación por incremento o disminución cuando están disponibles muchos péptidos. Para cada proteína y cada péptido asociados con una proteína dada, se calcularon la media, la mediana e intervalos 50 plausibles del 95% para cada uno de los efectos de tratamiento al nivel de proteína y péptido.

Los criterios de selección de péptidos para la cuantificación relativa se realizaron tal como sigue. Sólo se consideraron péptidos únicos para una proteína dada para la cuantificación relativa, excluyendo los comunes para otras isoformas o proteínas de la misma familia. Se identificaron proteínas basándose en que presentaran al menos un péptido con una puntuación iónica por encima de la confianza del 95%. Se estimó la cobertura de secuencia de proteína (95%) para proteínas específicas mediante el porcentaje de aminoácidos coincidentes a partir de los péptidos identificados que presentaban una confianza mayor o igual al 95% dividido entre el número total de aminoácidos en la secuencia.

60 1.8. Anotación funcional y análisis de red

Se extrajeron términos de ontología génica (GO) para las proteínas identificadas, y se determinaron categorías funcionales sobrerrepresentadas para proteínas abundantes de manera diferencial mediante la herramienta GOMiner de alto rendimiento (National Cancer Institute, http://discover.nci.nih.gov.gate2.inist.fr/gominer/) (Zeeberg *et al.*, 2005). Todas las proteínas que se sometieron al análisis de iQuantitator sirvieron como liga de antecedentes, y se utilizaron los términos de GO con al menos cinco proteínas para los cálculos estadísticos. Se

calculó un valor de p para cada término por medio de la prueba exacta de Fisher unilateral, y se estimó la FDR mediante análisis de permutación utilizando 1000 conjuntos seleccionados aleatoriamente de proteínas muestreadas a partir de la lista de antecedentes. Se agruparon términos de GO estadísticamente significativos (FDR <25%) basándose en la correlación de proteínas asociadas para minimizar la posible redundancia en términos de GO significativos.

1.9. Análisis de inmunotransferencia de tipo Western de proteínas en TNBC

Se montaron tumores congelados en OCT y se cortaron con un criostato (Starlet 2212). Entonces se lisaron secciones de 12 μm en tampón FASP (SDS al 4%, Tris 0.1 M) durante 90 min a 95°C, se sonicaron 3 veces y se centrifugaron 10 min a TA a 13200 rpm. Se evaluó la concentración de proteína utilizando el kit de ensayo de proteínas Pierce BCA (Thermo scientific, n.º 23225). Se realizó inmunotransferencia de tipo Western sobre lisados tumorales tal como se describió previamente (Besson et al., 2011). Brevemente, se cargaron 50 μg de lisados tumorales en gel de poliacrilamida al 12% y luego se transfirieron sobre una membrana de PVDF. Tras bloquear con BSA al 5% en TBS (0.1 M, pH 7.4), se incubaron las inmunotransferencias con los respectivos anticuerpos primarios a 4°C durante la noche (trombospondina-1: Abcam Ab1823 1/500, proteína de choque térmico de 10 kDa: Abcam Ab108600 1/10000, triptofanil-ARNt sintetasa: Abcam Ab 92733 1/10000). Se utilizó la abundancia de proteína de Hsc70 como control para la carga de proteína y se determinó con anticuerpo de ratón anti-Hsc de Santa Cruz sc-7278 1/500 2 h a temperatura ambiente. Se incubaron las membranas con el anticuerpo secundario respectivo, anticuerpo de conejo anti-IgG conjugado con peroxidasa del rábano (anticuerpo de cabra anti-IgG de conejo-HRP sc-2004, 1:4000; Santa Cruz Biotechnology Inc.) o anticuerpo de ratón anti-IgG conjugado con peroxidasa del rábano (anticuerpo de cabra anti-IgG de ratón-HRP, sc-2005, 1:4000; Santa Cruz Biotechnology Inc.), durante 45 min a temperatura ambiente. Tras cada etapa, se lavaron las inmunotransferencias tres veces con Tween al 0.05%, TBS. Se exploró la membrana con los anticuerpos indicados y se reveló con el ECL en un sistema Chemidoc (Bio-Rad).

1.10. ELISA (ensayo de inmunoabsorción ligado a enzimas)

Se utilizaron kits de ELISA disponibles comercialmente de USCN Life Science Inc. o R&D para someter a ensayo las concentraciones de decorina, asporina y trombospondina-1. Los kits consistían en placas de microtitulación de 96 pocillos recubiertas con anticuerpo específico para cada tipo de molécula, anticuerpos de detección para identificar el anticuerpo-proteína en la placa mediante marcaje con estreptavidina-biotina y sustrato TMB que generó producto coloreado. Se añadió la muestra y se realizó el ensayo según las instrucciones del fabricante. Se cuantificó la absorbancia del producto coloreado revelado al final del ensayo a una longitud de onda de 450 nm en el lector de ELISA (Tecan Magellan Sunrise). Las diluciones de los sueros se indican en la tabla 4 a continuación. 2.

Tabla 4

5

10

15

20

25

30

35

40

Proteínas	Proveedor	Referencia	Dilución en suero
DECORINA	USCN Life Science Inc.	E92127Hu	1/5 en PBS
ASPORINA	USCN Life Science Inc.	E92321Hu	1/5 en PBS
TROMBOSPONDINA-1	R&D Systems	Quantikine DTSP10	1/100 en RD5-33 1X (suministrado por el fabricante)

2. Resultados

2.1. Identificación de proteínas expresadas: cobertura proteómica de 80 tumores de mama triples negativos

Utilizando los softwares Protein Pilot e iQuantitator, los inventores identificaron y cuantificaron un total de 2805 proteínas no redundantes con al menos 2 péptidos, según el flujo de trabajo esquemático del diseño experimental de la figura 1. Teniendo en consideración tanto los números de péptidos como de espectros, este enfoque permitió detectar cambios de expresión pequeños pero significativos, siempre que se detectaran varios péptidos (datos no mostrados). Utilizando este análisis, los inventores pudieron obtener una lista de proteínas cuantificadas a partir de los veinte experimentos de iTRAQ. Examinando estas proteínas con la función "enriquecimiento de función proteica" de Metacore (tabla 5A), los inventores caracterizaron entre todas las proteínas, 690 enzimas, 58 fosfatasas, 122 proteasas, 105 cinasas, 73 ligandos, 82 factores de transcripción y 83 receptores. Este análisis mostró que la mejor puntuación de enriquecimiento y valor de p se asignaron al proceso de GO "proceso metabólico" (tabla 5B) y a los mapas de rutas "remodelación del citoesqueleto" (tabla 5C).

55

Tabla 5A. Enriquecimiento mediante función proteica

									F	Porcentaje	
Clase de proteína	Real	u	Ж	Z	Esperado	Razón	Valor de p	Puntuación z	En conjunto de datos	En función proteica	Función proteica en base de datos
Enzimas	690	3099	2724	23844	354	1,949	8,622E-78	20,34	22.27%	25.33%	11.42%
Fosfatasas	58	3099	230	23844	29,89	1,94	3,724E-07	5,538	1.87%	25.22%	0.96%
Proteasas	122	3099	559	23844	72,65	1,679	3,748E-09	6,281	3.94%	21.82%	2.34%
Cinasas	105	3099	654	23844	85	1,235	1,234E-02	2,358	3.39%	16.06%	2.74%
Ligandos	73	3099	514	23844	66,8	1,093	2,230E-01	0,8215	2.36%	14.20%	2.16%
Factores de transcripción	82	3099	959	23844	124,6	0,6579	7,007E-06	-4,18	2.65%	8.55%	4.02%
Receptores	83	3099	1565	23844	203,4	0,4081	2,446E-25	-9,363	2.68%	5.30%	6.56%
Otro	1891	3099	16691	23844	2169	0,8717	1,285E-30	-11,7	61.02%	11.33%	70.00%

Las columnas presentan los siguientes significados:

5

Clase de proteína: una función proteica ampliamente definida;

<u>real</u>: número de objetos de red a partir del/de los conjunto(s) de datos activado(s) para una clase de proteína dada:

10

n: número de objetos de red en el/los conjunto(s) de datos activado(s);

 \underline{R} : número de objetos de red de una clase de proteína dada en la lista de antecedentes o base de datos completa;

15

N: número total de objetos de red en la lista de antecedentes o base de datos completa;

esperado: valor medio para la distribución hipergeométrica (n*R/N);

20 <u>razón</u>: razón de conectividad (real/esperada);

puntuación z: puntuación z ((real-esperada)/sqrt(varianza));

valor de p: probabilidad de presentar el valor dado de real o superior (o inferior para puntuación z negativa);

25

en conjunto de datos: fracción de objetos de red con una función seleccionada en el conjunto de datos activados;

30

<u>en función proteica</u>: fracción de red con una función seleccionada en el conjunto de datos activados entre; objetos de red con esta función en la lista de antecedentes o base de datos completa;

<u>función proteica en base de datos</u>: fracción de objetos de red con una función seleccionada en la lista de antecedentes o base de datos completa.

35 Tabla 5B. Mapas de rutas

	Mapas de rutas	Valor de p	Razón
1	Remodelación del citoesqueleto_Remodelación del citoesqueleto	1.008e-20	55/102
2	Remodelación del citoesqueleto_Filamentos de queratina	5.196e-16	27/36
3	LRRK2 en neuronas en enfermedad de Parkinson	4.337e-15	25/33
4	Remodelación del citoesqueleto_TGF, WNT y remodelación del citoesqueleto	8.787e-15	50/111
5	Remodelación del citoesqueleto_Regulación del citoesqueleto de actina por Rho GTPasas	1.902e-14	20/23
6	Adhesión celular_Adhesión celular mediada por integrinas y migración	2.581e-12	28/48
7	Adhesión celular_Quimiocinas y adhesión	9.170e-11	41/100
8	Apoptosis y supervivencia_Señalización de granzima A	1.152e-10	20/30

9	Transporte_Ciclo de vesículas recubiertas con clatrina	1.174e-10	33/71
10	Respuesta inmunitaria Ruta del complemento alternativa	1.760e-10	23/39

Tabla 5C. Proceso de ontología génica (GO)

	Procesos	Valor de p	Razón
1	proceso metabólico	7.084e-193	2305/10691
2	proceso metabólico celular	4.692e-171	2079/9418
3	proceso metabólico primario	1.426e-158	2081/9619
4	proceso celular	6.761e-152	2875/15962
5	proceso catabólico	5.562e-151	790/2270
6	proceso metabólico de moléculas pequeñas	1.146e-145	910/2880
7	proceso catabólico celular	2.285e-142	695/1910
8	organización de componentes celulares o biogénesis	1.902e-139	1255/4755
9	organización de componentes celulares o biogénesis a nivel celular	1.762e-131	1090/3947
10	organización de componentes celulares	2.660e-129	1204/4596

Entre estas 2805 proteínas, 219 proteínas cumplieron la definición de los inventores para expresión diferencial en una comparación entre tejidos tumorales y normales: 126 estaban sobreexpresadas y 93 estaban subexpresadas (tabla 6A). Los inventores sometieron las 219 proteínas identificadas que se expresaban de manera diferencial en tumores de mama triples negativos a análisis de Metacore y las clasificaron, inicialmente, según la función molecular y el proceso biológico. Cuando los inventores analizaron las proteínas desreguladas para determinar la función molecular, encontraron que la mejor puntuación de enriquecimiento y valor de p se asignaron a los términos de GO unión a proteína, actividad de receptor de CMH de clase I y actividad GTPasa (p= 2.0 10⁻¹³), que incluía 7 miembros de la familia de oncogén RAS (tabla 6B). Cuando los inventores agruparon las proteínas desreguladas basándose en procesos biológicos, encontraron que la mejor puntuación de términos de GO se obtuvo con organización del citoesqueleto (p= 9.2 10⁻¹⁶) (tabla 6C). Finalmente, cuando los inventores analizaron el enriquecimiento de función proteíca de estas proteínas desreguladas, encontraron que la primera clase con la mejor puntuación z era "ligandos" con 14 proteínas, indicado posibles candidatos a biomarcador (tabla 6D).

Tabla 6A. Proteínas subexpresadas y sobreexpresadas en cáncer de mama triple negativo

		Interva	alos de co	nfianza	Número de
Gen	Proteína	Media	Mín.	Máx.	péptido
EEF1A1	Factor de elongación 1-alfa 1	3.325	2.191	5.243	12
HLA-A	Antígeno de histocompatibilidad de HLA clase I. Cadena A-33 alfa	2.594	1.935	3.498	4
KRT8	Queratina de tipo II del citoesqueleto 8	2.698	1.747	4.278	14
MAPK13	Proteína cinasa 13 activada por mitógeno	2.9	1.601	5.366	2
TUBA1C	Tubulina alfa-1 cadena C	3.593	1.537	8.237	5
NME1	Nucleósido difosfato cinasa A	2.045	1.462	2.906	6
YBX1	Proteína 1 de unión a elemento sensible a nucleasa	1.955	1.395	2.714	6
HSPA8	Proteína de 71 kDa relacionada con choque térmico	5.889	1.372	31.395	27
ITGAM	Integrina alfa-M	2.086	1.357	3.218	5
TPM3	Tropomiosina alfa-cadena 3	1.886	1.345	2.686	8
NAMPT	Nicotinamida fosforribosiltransferasa	1.992	1.341	3.104	12
NME2	Nucleósido difosfato cinasa B	1.791	1.326	2.442	11
RAB5A	Proteína Rab-5A relacionada con Ras	2.095	1.312	3.464	4
USP15	Ubiquitina carboxil-terminal hidrolasa 15	1.887	1.31	2.744	5
KHDRBS1	Proteína 1 asociada a transducciones de señales, de unión a ARN, que contiene dominio KH	2.265	1.288	4.013	3
STK3	Serina/treonina-proteína cinasa 3	1.725	1.264	2.336	3
DPYSL3	Proteína 3 relacionada con dihidropirimidinasa	2.215	1.26	4.311	12
HSP90AB1	Proteína de choque térmico HSP 90-beta	1.878	1.259	2.76	26
SDR16C5	Retinol deshidrogenasa epidérmica 2	1.943	1.248	3.029	4
DSP	Desmoplaquina	2.119	1.247	4.138	27
THBS1	Trombospondina-1	1.682	1.243	2.342	25
SNRPB	Proteínas B y B' asociadas a ribonucleoproteína nuclear pequeña	1.748	1.236	2.519	10
S100A8	Proteína S100-A8	1.652	1.222	2.268	10
TUBA1B	Tubulina alfa-1 cadena B	2.971	1.221	7.506	4
AP1M1	Subunidad mu-1 de complejo AP-1	1.869	1.215	2.927	3

GSTM1	Glutatión S-transferasa Mu 1	2.161	1.214	3.872	2
ACTG1	Actina citoplasmática 2	1.666	1.206	2.342	8
THBS2	Trombospondina-2	1.802	1.188	2.753	10
XRCC6	Proteína 6 de complementación cruzada de reparación de rayos X	1.605	1.186	2.166	22
GGH	Gamma-glutamil hidrolasa	2.392	1.186	5.251	3
SORD	Sorbitol deshidrogenasa	1.763	1.182	2.657	7
NA	Proteína similar a ribonucleoproteína G nuclear	1.759	1.181	2.659	2
IGLC2	pequeña Regiones de cadena C de lg lambda 2	1.601	1.177	2.151	5
HLA-B	Antígeno de histocompatibilidad de HLA clase I. Cadena B-14 alfa	1.55	1.174	2.05	3
MSN	Moesina	1.514	1.172	1.974	36
MYO6	Miosina-VI	1.62	1.17	2.26	9
TNC	Tenascina	1.616	1.164	2.242	44
AP1B1	Subunidad beta-1 del complejo AP-1	1.676	1.155	2.446	10
XILT2	Xilosiltransferasa 2	2.337	1.153	4.893	2
H2AFV	Histona H2A.V	1.987			2
COTL1			1.15 1.147	3.472 2.54	6
	Proteína similar a coactosina	1.703			
ENAH	Homólogo de proteína permitida	1.693	1.146	2.496	4
AKR7A3	Miembro 3 de aldehído reductasa de aflatoxina B1	1.832	1.146	2.934	2
CAMK2D	Subunidad delta de proteína cinasa de tipo II dependiente de calcio/calmodulina	1.793	1.144	2.84	4
DBI	Proteína de unión a acil-CoA	1.606	1.143	2.29	7
LRRC59	Proteína 59 que contiene repetición rica en leucina	1.717	1.141	2.559	7
SMARCA5	Miembro 5 de subfamilia A de regulador de cromatina dependiente de actina asociado a la	1.544	1.14	2.087	13
051.4	matriz relacionado con SWI/SNF	4.500	4.400	0.404	40
CFL1	Cofilina-1	1.569	1.136	2.194	18
GUSB	Beta-glucuronidasa	1.59	1.135	2.215	21
XRCC5	Proteína 5 de complementación cruzada de reparación de rayos X	1.533	1.133	2.06	24
PSME1	Subunidad 1 de complejo activador de proteosoma	1.536	1.124	2.079	11
CFL2	Cofilina-2	1.713	1.124	2.63	2
TUBB	Cadena beta de tubulina	1.481	1.118	1.973	15
NDRG1	Proteína NDRG1	1.554	1.117	2.159	6
HYOU1	Proteína 1 regulada por incremento por hipoxia	2.287	1.117	5.424	21
ARF4	Factor de ADP ribosilación 4	1.606	1.114	2.333	6
TOP2B	ADN topoisomerasa 2-beta	1.566	1.11	2.232	6
CRABP2					8
CRABP2	Proteína 2 de unión a ácido retinoico celular Subunidad 1 reguladora de serina/treonina-	1.617	1.11	2.408	0
PPP4R1	proteína fosfatasa 4	1.677	1.108	2.532	3
FABP7	Proteína de unión a ácidos grasos. Cerebral	2.98	1.106	10.019	6
SET	Proteína SET	1.596	1.105	2.318	7
TM9SF3	Miembro 3 de superfamilia transmembrana 9	1.66	1.105	2.49	6
SARS	Seril-ARNt sintetasa. Citoplasmática	1.519	1,103	2,092	12
DSTN	Destrina	1.978	1,101	3,997	6
COPA	Subunidad alfa de coatómero	1.496	1,095	2,068	31
PRKCSH	Subunidad beta de glucosidasa 2	1.603	1,095	2,324	15
UAP1L1	Proteína 1 similar a UDP-N-acetilhexosamina pirofosforilasa	1.461	1,094	1,946	4
ARF1	Factor de ADP ribosilación 1	1.624	1,092	2,396	5
EHD1		1.883		3,34	
GBP1	Proteína 1 que contiene dominio EH Proteína 1 de unión a guanilato inducida por	1.753	1,091 1,089	2,823	<u>6</u> 8
TPM1	interferón Tropomiosina alfa-cadena 1	1.755	1,089	2,023	14
NA	Región HAH de cadena V-III de Ig kappa	1.666	1,084	2,577	4
	TOTAL CONTRACTOR VILLACIO NACIONALE	1.000			
			1 00	2 160	2
PPP2R4	Activador de serina/treonina-proteína fosfatasa 2A	1.64	1,08	2,468	3 6
PPP2R4 RAB1A	Activador de serina/treonina-proteína fosfatasa 2A Proteína relacionada con Ras Rab-1A	1.64 1.418	1,078	1,872	6
PPP2R4	Activador de serina/treonina-proteína fosfatasa 2A	1.64			

	micratúbulco do oquinadormos	1	1	<u> </u>	
PLIN2	microtúbulos de equinodermos Perilipina-2	1.774	1,074	2,931	4
DDT	D-dopacromo descarboxilasa	1.504	1,074	2,129	5
RAB11A	Proteína relacionada con Ras Rab-11A	1.542	1,072	2,129	2
ERH	Potenciador de homólogo rudimentario	1.828	1,072	3,166	2
CLIC4	Proteína 4 de canal intracelular de cloruro	1.803	1,072	3,033	3
CLIC4		1.003	1,07	3,033	ა
MCM6	Factor MCM6 de permiso de la replicación del ADN	1.498	1,065	2,126	7
MAPRE1	Miembro 1 de la familia de proteína RP/EB asociada a microtúbulos	1.575	1,06	2,362	5
DLD	Dihidrolipoil deshidrogenasa. Mitocondrial	1.887	1,059	3,951	8
NONO	No-P	1.5	1,057	2,099	24
S100A11	Proteína S100-A11	1.613	1,057	2,465	4
SAR1A	Proteína de unión a GTP SAR1a	1.529	1,054	2,235	6
EPPK1	Epiplaquina	1.423	1,052	1,921	14
MIL12B	Cadena ligera reguladora de miosina 12B	1.579	1,052	2,347	7
FTL	Cadena ligera de ferritina	1.743	1,052	3,054	9
SEC14L2	Proteína 2 similar a SEC14	1.603	1,031	2,499	5
FKBP4			,		18
	Peptidil-prolil cis-trans isomerasa FKBP4	1.46	1,045	2,025	
ACSL3	Ácido graso de cadena larga-CoA ligasa 3	1.38	1,044	1,838	12
MACF1	Factor 1 de unión cruzada a actina de microtúbulos. Isoforemas 1/2/3/5	1.539	1,044	2,276	5
CALR	Calreticulina	1.539	1,04	2,334	21
C22	Proteína UPF0027 C22orf28	1.336	1,036	1,72	10
RAP1B	Proteína relacionada con Ras Rap-1b	1.496	1,035	2,158	7
ALDOA	Fructosa-bisfosfato aldolasa A	1.37	1,033	1,816	19
PRCC	Proteína rica en prolina PRCC	1.747	1,032	2,985	2
NAPA	Proteína de unión a NSF alfa-soluble	1.585	1,029	2,451	5
	Subunidad catalítica de proteína cinasa				
PRKDC	dependiente de ADN	1.276	1,027	1,587	55
ERO1L	ER	1.571	1,027	2,441	6
BAZ1B	Tirosina-proteína cinasa BAZ1 B	1.558	1,026	2,371	5
RAD23B	Homólogo B de proteína RAD23 de reparación de la excisión por UV	1.389	1,025	1,88	7
ISYNA1	Inositol-3-fosfato sintasa 1	1.631	1,025	2,6	3
ACTN1	Alfa-actinina-1	2.196	1,025	4,273	25
FBL	ARNr 2'-	1.365	1,023	1,846	12
KRT18	Queratina de tipo I del citoesqueleto 18	2.377	1,023	5,583	5
NCF4	Factor 4 del citosol de neutrófilos	1.687	1,021	2,871	4
YWHAZ	Proteína zeta/delta 14-3-3	1.388	1,02	1,892	13
ECM29	Homólogo de proteína ECM29 asociada al proteosoma	1.477	1,02	2,169	5
ACTR2	Proteína 2 relacionada con actina	1.439	1,019	2,037	13
RPLP0	Proteína 2 relacionada con actina Proteína Po ribosómica ácida de 60S	1.527	1,019	2,353	7
RANBP1	Proteína activante de GTPasa específica de Ran	1.554	1,016	2,333	6
GFPT1	Glucosaminafructosa-6-fosfato aminotransferasa	1.526	1,017	2,308	9
PAICS	[isomerización] 1 Proteína multifuncional ADE2	1.43	1,015	1,996	12
RAN	Proteína Ran nuclear de unión a GTP	1.345	1,013	1,77	14
CALD1	Caldesmon	1.434	1,009	2,039	13
CTSB	Catepsina B	1.481	1,009	2,039	7
IMPDH2	Inosina-5'-monofosfato deshidrogenasa 2	1.444	1,009	2,181	8
KPNA2	Subunidad alfa-2 de importina	2.048	1,008	3,91	5
RUVBL2	Proteína 2 de tipo RuvB	1.345	1,007	1,801	15
CMPK1	UMP-CMP cinasa	1.345		1,758	8
			1,005		3
KRT6A	Queratina de tipo II del citoesqueleto 6A	1.644	1,005	2,705	2
HTATIP2	Oxidorreductasa HTATIP2	1.927	1,005	3,78	8
KRT19	Queratina de tipo I del citoesqueleto 19	2.235	1,005	4,978	
ALDH1A1	Deshidrogenasa de la retina1	0.717	0,53	0,971	11
MYO1 C	Miosina-Ic	0.67	0,527	0,849	18
UAP1	UDP-N-acetilhexosamina pirofosforilasa	0.701	0,526	0,934	5
CFH	Factor H del complemento	0.693	0,518	0,935	23
KIAA1967	Proteína KIAA1967	0.677	0,498	0,909	8

KRT5	Quaratina da tina II dal citacaqualata5	0.66	0.405	0.975	22
CTNNB1	Queratina de tipo II del citoesqueleto5 Catenina beta-1	0.66	0,495 0,483	0,875 0,902	22 10
	Metilmalonato-semialdehído deshidrogenasa		,		
ALDH6A1	[acilante]. Mitocondrial	0.686	0,48	0,977	7
EIF2C1	Proteína argonauta-1	0.686	0,478	0,983	2
	Isoforma de subunidad beta catalítica de			,	
PPP3CB	serina/treonina-proteína fosfatasa 2B	0.687	0,469	0,999	2
KRT10	Queratina de tipo I del citoesqueleto 10	0.656	0,466	0,927	14
S100A10	Proteína S100-A10	0.645	0,461	0,912	8
	Proteína AHNAK asociada a diferenciación de		•		00
AHNAK	neuroblastos	0.606	0,453	0,817	96
TINAGL1	Proteína similar a antígeno de nefritis intersticial	0.673	0,452	0,982	6
ITGB4	Integrina beta-4	0.594	0,45	0,781	17
F2	Protrombina	0.602	0,448	0,817	18
APOA1	Apolipoproteína A-I	0.602	0,439	0,831	23
HLA-C	Antígeno de histocompatibilidad de HLA clase I.	0.571	0,424	0,77	5
	Cadena Cw-15 alfa		· ·	-	
SERPINF1	Factor derivado de epitelio pigmentario	0.563	0,41	0,772	8
PCOLCE	Potenciador 1 de procolágeno C-endopeptidasa	0.597	0,408	0,86	7
USP11	Ubiquitina carboxil-terminal hidrolasa 11	0.593	0,406	0,857	5
RAB5B	Proteína relacionada con Ras Rab-5B	0.618	0,398	0,949	4
HDAC1	Histona desacetilasa 1	0.591	0,394	0,883	5
CAV1	Caveolina-1	0.623	0,392	0,991	3
PYCRL	Pirrolina-5-carboxilato reductasa 3	0.613	0,384	0,976	4
EHD2	Proteína 2 que contiene dominio EH	0.613	0,384	0,985	9
APOH	Beta-2-glicoproteína 1	0.602	0,382	0,951	9
HIST1H2BK	Histona H2B tipo 1-K	0.546	0,374	0,812	7
GNB1	Proteína de unión a nucleótido de guanina G(I)/G(S)/G(T), subunidad beta-1	0.603	0,373	0,952	2
KRT16	Queratina de tipo I del citoesqueleto 16	0.566	0,372	0,855	3
UROS	Uroporfirinógeno-III sintasa	0.568	0,37	0,865	4
AMBP	Proteína AMBP	0.528	0,368	0,75	6
LRG1	Alfa-2-glicoproteína rica en leucina	0.587	0,362	0,939	3
CP	Ceruloplasmina	0.493	0,36	0,69	13
SERPINA4	Kalistatina	0.579	0,359	0,922	4
LIPE	Lipasa sensible a hormonas	0.59	0,358	0,977	3
METTL7B	Proteína 7B similar a metiltransferasa	0.587	0,357	0,959	3
NES	Nestina	0.508	0,354	0,73	14
RAB5C	Proteína relacionada con Ras Rab-5C	0.527	0,354	0,781	5
	Antígeno de histocompatibilidad de HLA clase I.				
HLA-A	Cadena A-2 alfa	0.572	0,354	0,921	2
LMO7	Proteína 7 sólo con dominio LIM	0.558	0,35	0,883	6
CSNK1A1	Caseína cinasa I isoforma alfa	0.596	0,35	0,989	2
WDR36	Proteína 36 que contiene repetición de WD	0.581	0,344	0,963	3
SFRP1	Proteína 1 relacionada con frizzled secretada	0.523	0,333	0,82	4
CBX5	Homólogo 5 de proteína Chromobox	0.552	0,332	0,919	2
AFM	Afamina	0.532	0,33	0,863	5
KNG1	Cininógeno-1	0.514	0,327	0,822	10
APOA2	Apolipoproteína A-II	0.556	0,313	0,974	3
GSTM3	Glutatión S-transferasa Mu 3	0.523	0,312	0,867	3
PCCB	Cadena beta de propionil-CoA carboxilasa. Mitocondrial	0.528	0,309	0,904	2
ACOT2	Acil-coenzima A tioesterasa 2. Mitocondrial	0.494	0,308	0,773	3
LBP	Proteína de unión a lipopolisacárido	0.52	0,303	0,773	3
APOA4	Apolipoproteína A-IV	0.458	0,302	0,687	9
ABI3BP	Diana de Nesh-SH3	0.508	0,295	0,869	4
PLIN1	Perilipina-1	0.437	0,293	0,659	8
CAST	Calpastatina	0.496	0,29	0,823	5
TNXB	Tenascina-X	0.448	0,286	0,696	8
ORM1	Alfa-1-glicoproteína ácida 1	0.446	0,281	0,715	7
HIST2H2AC	Histona H2A de tipo 2-C	0.391	0,279	0,546	4
OLFML3	Proteína 3 similar a olfactomedina	0.437	0,278	0,68	4
CLEC3B	Tetranectina	0.462	0,27	0,799	4
	1		-,	-,	•

COL4A1	Cadena alfa-1(IV) de colágeno	0.481	0,269	0,88	3
IGLC1	Regiones de cadena C de Ig lambda-1	0.42	0,267	0,656	2
GC	Proteína de unión a vitamina D	0.462	0,265	0,804	12
PIGR	Receptor de inmunoglobulina polimérico	0.488	0,265	0,836	6
KRT1	Queratina de tipo II del citoesqueleto1	0.453	0,26	0,788	5
PTRF	Polimerasa I y factor de liberación de transcrito	0.441	0,253	0,749	6
OLFML1	Proteína 1 similar a olfactomedina	0.45	0,249	0,82	2
AGR2	Homólogo de proteína 2 de gradiente anterior	0.413	0,241	0,699	6
MYH11	Miosina-11	0.354	0,234	0,526	13
MFAP4	Glicoproteína 4 asociada a microfibrillas	0.402	0,232	0,688	2
CMA1	Quimasa	0.363	0,229	0,591	8
TTR	Transtiretina	0.327	0,224	0,482	7
CFD	Factor D del complemento	0.38	0,214	0,663	2
SOD3	Superóxido dismutasa extracelular [Cu-Zn]	0.368	0,197	0,687	3
HIST3H2A	Histona H2A de tipo 3	0.289	0,193	0,433	2
COL6A6	Cadena alfa-6(VI) de colágeno	0.38	0,183	0,823	9
AOC3	Amina oxidasa primaria de membrana	0.335	0,179	0,616	11
ATL2	Atlastina-2	0.419	0,176	0,942	2
SERPIND1	Cofactor 2 de heparina	0.363	0,167	0,79	2
DPT	Dermatopontina	0.282	0,144	0,534	7
TPSAB1	Triptasa alfa-1	0.356	0,139	0,831	2
ADH1C	Alcohol deshidrogenasa 1C	0.27	0,131	0,533	2
AZGP1	Zinc-alfa-2-glicoproteína	0.172	0,123	0,239	16
OGN	Mimecan	0.144	0,104	0,196	15
DCN	Decorina	0.503	0,1	0,75	19
ELN	Elastina	0.141	0,074	0,271	4
IGHA2	Región de cadena C de lg alfa-2	0.121	0,054	0,313	8
APOD	Apolipoproteína D	0.065	0,043	0,099	10
LGALS4	Galectina-4	0.077	0,035	0,174	3
PIP	Proteína inducible por prolactina	0.096	0,031	0,289	5
IGJ	Cadena J de inmunoglobulina	0.077	0,027	0,214	2
DES	Desmina	0.038	0,019	0,079	3

Tabla 6B. Función molecular de ontología génica (GO) - cáncer de mama triple negativo

	Funciones moleculares	Valor de p	Razón
1	Unión a proteínas	8.478e-25	193/8829
2	Actividad de receptor de CMH de clase I	3.771e-19	14/31
3	Unión	9.638e-17	232/13778
4	Actividad GTPasa	2.003e-13	23/257
5	Unión a polisacáridos	2.689e-11	20/239
6	Unión a patrones	2.689e-11	20/239
7	Unión a glicosaminoglicanos	3.064e-11	19/214
8	Actividad nucleósido-trifosfatasa	3.074e-11	37/840
9	Unión a heparina	3.601e-11	17/166
10	Unión a moléculas pequeñas	4.286e-11	75/2773
11	Unión a receptores	6.439e-11	51/1506
12	Unión a GTP	7.220e-11	25/407
13	Unión a hidratos de carbono	8.160e-11	28/514
14	Actividad pirofosfatasa	1.081e-10	37/878
15	Actividad hidrolasa, que actúa sobre anhídridos de ácido, en	1.190e-10	37/881
10	anhídridos que contienen fósforo	4.000.40	07/000
16	Actividad hidrolasa, que actúa sobre anhídridos de ácido	1.268e-10	37/883
17	Unión a nucleótidos de guanilo	1.631e-10	25/423
18	Unión a ribonucleótidos de guanilo	1.631e-10	25/423
19	Actividad de moléculas estructurales	2.884e-10	32/699
20	Unión a ribonucleósidos de purina trifosfato	1.339e-9	57/1960
21	Unión a ribonucleótidos de purina	2.570e-9	57/1995
22	Unión a ribonucleótidos	2.617e-9	57/1996
23	Constituyente estructural del citoesqueleto	2.943e-9	12/96
24	Unión a nucleótidos	3.295e-9	67/2573
25	Unión a nucleósidos fosfato	3.348e-9	67/2574
26	Unión a nucleótidos de purina	3.440e-9	57/2011

27	Unión a actina	1.710e-8	21/381
28	Unión a proteínas del citoesqueleto	2.807e-7	27/703
29	Actividad catalítica	4.501e-7	114/6069
30	Actividad hidrolasa	1.013e-6	62/2676
31	Unión a complejos proteicos	5.122e-6	20/496
32	Actividad de activador de fosfatidilcolina-esterol O-aciltransferasa	1.922e-5	03/05
33	Unión a colesterol	2.334e-5	05/28
34	Actividad glutatión transferasa	5.354e-5	05/33
35	Unión a proteína idéntica	5.658e-5	28/992
36	Unión a ATP	9.852e-5	38/1592
37	Unión a opsonina	1.047e-4	03/08
38	Unión a esterol	1.076e-4	05/38
39	Unión a colágeno	1.154e-4	06/61
40	Actividad reguladora de peptidasa	1.202e-4	13/301
41	Unión a ribonucleótidos de adenilo	1.428e-4	38/1621
42	Actividad transferasa, que transfiere grupos alquilo o arilo (distinto de metilo)	1.510e-4	06/64
43	Unión a filamentos intermedios	1.556e-4	03/09
44	Unión a transcrito primario de ARNr	1.571e-4	02/02
45	Actividad d-dopacromo descarboxilasa	1.571e-4	02/02
46	Unión a nucleótidos de adenilo	1.679e-4	38/1634
47	Actividad motora de microfilamentos	2.120e-4	04/24
48	Unión a esteroides	2.381e-4	07/98
49	Unión a la matriz extracelular	2.438e-4	05/45
50	Actividad inhibidora de endopeptidasa de tipo cisteína	2.481e-4	06/70

Tabla 6C. Proceso de ontología génica (GO) - cáncer de mama triple negativo

	Redes de procesos	Valor de p	Razón
1	Citoesqueleto_Filamentos intermedios	9.295e-16	21/81
2	Adhesión celular_Adhesión a la matriz celular mediada por integrina	8.568e-9	23/214
3	Adhesión celular_Uniones celulares	4.510e-8	19/162
4	Citoesqueleto_Regulación de la redisposición del citoesqueleto	6.496e-8	20/183
5	Respuesta inmunitaria_Fagosoma en presentación de antígenos	4.017e-7	22/243
6	Plegamiento de proteínas_Núcleo de plegamiento de proteínas	2.395e-6	10/58
7	Citoesqueleto_Filamentos de actina	3.764e-6	17/176
8	Plegamiento de proteínas_ER y citoplasma	1.997e-5	08/45
9	Respuesta inmunitaria_Presentación de antígenos	6.401e-5	16/197
10	Ciclo celular_Mitosis	7.642e-5	15/179

5 <u>Tabla 6D. Enriquecimiento mediante función proteica - cáncer de mama triple negativo</u>

								Р	orcentaje	Э	
Clase de proteína	Real	n	Я	Z	Esperado	Razón	Valor de p	Puntuación z	En conjunto de datos	En función proteica	Función proteica en base de datos
Ligandos	14	271	514	23844	5,842	2,396	2,400E-03	3,432	5.17%	2.72%	2.16%
Proteasas	10	271	559	23844	6,353	1,574	1,066E-01	1,472	3.69%	1.79%	2.34%
Enzimas	48	271	2724	23844	30,96	1,55	1,353E-03	3,273	17.71%	1.76%	11.42%
Cinasas	10	271	654	23844	7,433	1,345	2,125E-01	0,9602	3.69%	1.53%	2.74%
Fosfatasas	3	271	230	23844	2,614	1,148	4,867E-01	0,2412	1.11%	1.30%	0.96%
Receptores	18	271	1565	23844	17,79	1,012	5,143E-01	0,05253	6.64%	1.15%	6.56%
Factores de transcripción	4	271	959	23844	10,9	0,367	1,428E-02	-2,145	1.48%	0.42%	4.02%
Otro	164	271	16691	23844	189,7	0,8645	5,086E-04	-3,427	60.52%	0.98%	70.00%

2.2. Una cobertura proteómica de los diferentes estados

10

Los inventores utilizaron el software iQuantitator para cuantificar la expresión de proteínas entre los diferentes estados de "recidiva" y "sin recidiva". Para el grupo de "recidiva", 295 estaban significativamente expresadas de manera diferencial: 165 estaban sobreexpresadas y 130 estaban subexpresadas (tabla 7A). El análisis de Metacore de esta lista de proteínas indicó una remodelación del citoesqueleto con un valor de p = $9.2 \cdot 10^{-12}$ para la red de procesos "Regulación de la redisposición del citoesqueleto" y una mejor puntuación de enriquecimiento y valor de p para "Unión" (p= $9.4 \cdot 10^{-26}$) en el término de funciones moleculares de GO. Debe indicarse que se encontraron 26 ligandos en esta lista que caracterizaban al grupo de "Recidiva" (tabla 7D).

Tabla 7A. Proteínas subexpresadas y sobreexpresadas en recaída de cáncer de mama triple negativo

		Interv	Número		
Gen	Proteína	Media	Mín.	Máx.	de péptido
CYP2A6	Citocromo P450 2A6	5.532	3.695	8.322	7
ALOX15B	Araquidonato 15-lipoxigenasa B	5.031	3.61	7.064	10
SDR16C5	Retinol deshidrogenasa 2 epidérmica	5.394	3.079	9.449	4
HLA-A	Antígeno de histocompatibilidad de HLA clase I. Cadena A-33 alfa	3.504	2.388	5.128	4
GUSB	Beta-glucuronidasa	2.962	2.209	3.971	18
S100A7	Proteína S100-A7	2.952	1.93	4.509	2
	15-hidroxiprostaglandina deshidrogenasa				
HPGD	[NAD+]	2.917	1.896	4.542	5
DHRS2	Miembro 2 de la familia de deshidrogenasa/reductasa SDR	3.134	1.885	5.283	7
FKBP5	Peptidil-prolil cis-trans isomerasa FKBP5	3.329	1.822	6.087	6
ACSL3	Ácido graso de cadena larga-CoA ligasa 3	2.536	1.803	3.581	12
NAMPT	Nicotinamida fosforribosiltransferasa	2.566	1.788	3.695	11
KRT8	Queratina de tipo II del citoesqueleto 8	2.782	1.678	4.622	14
EEF1A1	Factor de elongación 1-alfa 1	2.348	1.674	3.317	12
NA	Proteína similar a ribonucleoproteína G nuclear pequeña	2.505	1.669	3.818	2
DBI	Proteína de unión a acil-CoA	2.266	1.595	3.249	6
SCP2	Proteína de transferencia de lípidos no específica	2.129	1.571	2.881	10
MDH2	Malato deshidrogenasa. Mitocondrial	2.226	1.567	3.166	11
CALR	Calreticulina	1.998	1.564	2.531	21
TM9SF3	Miembro 3 de superfamilia transmembrana 9	2.576	1.538	4.319	5
UAP1L1	Proteína 1 similar a UDP-N-acetilhexosamina pirofosforilasa	2.268	1.529	3.401	3
SNRPB	Proteínas B y B' asociadas a ribonucleoproteína nuclear pequeña	2.079	1.517	2.834	10
SEC14L2	Proteína 2 similar a SEC14	2.471	1.476	4.225	4
YBX1	Proteína 1 de unión a elemento sensible a nucleasa	2.086	1.464	3.001	6
IPO9	Importina-9	2.527	1.42	4.424	3
KPNB1	Subunidad beta-1 de importina	2.1	1.409	3.081	10
HLA-B	Antígeno de histocompatibilidad de HLA clase I. Cadena B-14 alfa	2.154	1.386	3.375	3
MCCC2	Metilcrotonoil-CoA carboxilasa, cadena beta. Mitocondrial	1.905	1.377	2.66	12
RAB5A	Proteína Rab-5A relacionada con Ras	2.185	1.366	3.557	3
TPM3	Tropomiosina alfa-cadena 3	2.182	1.344	3.648	7
AKR1C2	Miembro C2 de familia 1 de aldo- cetorreductasa	2.442	1.337	4.435	5
IDI1	Isopentenil-difosfato Delta-isomerasa 1	2.071	1.335	3.198	6
CNN2	Calponina-2	2.131	1.335	3.388	4
GOT1	Aspartato aminotransferasa. Citoplasmática	1.983	1.33	2.99	7
THBS1	Trombospondina-1	1.728	1.316	2.285	23
DPYSL3	Proteína 3 relacionada con dihidropirimidinasa	1.892	1.313	2.712	12
DSP	Desmoplaquina	1.818	1.311	2.531	25
CRABP2	Proteína 2 de unión a ácido retinoico celular	1.923	1.31	2.816	8
HSP90AB1	Proteína de choque térmico HSP 90-beta	1.927	1.309	2.921	25

KDNIAO	Cubunidad alfa O da importina	0.450	4 200	2.504	
KPNA2	Subunidad alfa-2 de importina	2.158	1.308	3.501 3.485	<u>5</u>
DDT	D-dopacromo descarboxilasa	2.116	1.301		20
IDH2	Isocitrato deshidrogenasa [NADP]. Mitocondrial	1.733	1.299	2.304	
G6PD	Glucosa-6-fosfato 1-deshidrogenasa	1.751	1.298	2.376	18
S100A11	Proteína S100-A11	2.031	1.289	3.176	3
PLIN2	Perilipina-2	2.216	1.288	3.846	4
GPI	Glucosa-6-fosfato isomerasa	1.739	1.277	2.349	16
NME2	Nucleósido difosfato cinasa B	1.678	1.268	2.215	11
NDRG1	Proteína NDRG1	1.838	1.268	2.663	5
ALCAM	Antígeno CD166	1.865	1.255	2.789	7
ITGAM	Integrina alfa-M	2.019	1.246	3.283	5
FTL	Cadena ligera de ferritina	1.892	1.24	3.011	9
IPO5	Importina-5	1.9	1.238	2.936	8
TUBA1C	Tubulina alfa-cadena 1C	1.752	1.236	2.503	4
SORD	Sorbitol deshidrogenasa	2.005	1.227	3.329	4
USP15	Ubiquitina carboxil-terminal hidrolasa 15	1.931	1.209	3.115	3
TOP2B	ADN topoisomerasa 2-beta	1.671	1.206	2.333	6
FKBP4	Peptidil-prolil cis-trans isomerasa FKBP4	1.715	1.193	2.489	18
AKR1B15	Miembro B15 de familia 1 de aldo-	1.969	1.193	3.263	3
SAR1A	cetorreductasa supuesta Proteína de unión a GTP SAR1a	1.725	1.184	2.498	5
STK3	Serina/treonina-proteína cinasa 3	1.746	1.184	2.563	2
CFL2	Cofilina-2	1.673	1.181	2.4	2
PPA2	Pirofosfatasa 2 inorgánica. Mitocondrial	2.403	1.179	4.955	2
AP1M2	Subunidad del complejo AP-1 mu-2	1.778	1.178	2.732	4
KRT7		2.271		4.914	
	Queratina de tipo II del citoesqueleto7		1.178		26
SET	Proteína SET Activador de serina/treonina-proteína fosfatasa	1.678	1.175	2.438	6
PPP2R4	2A	1.969	1.171	3.321	2
PRKCSH	Subunidad beta de glucosidasa 2	1.592	1.167	2.18	15
XRCC5	Proteína 5 de complementación cruzada de reparación de rayos X	1.502	1.164	1.936	23
CALD1	Caldesmon	1.676	1.158	2.426	12
ENAH	Homólogo de proteína permitida	1.911	1.158	3.183	3
ACOX1	Acil-coenzima A oxidasa 1 peroxisomal	1.774	1.156	2.804	7
CRAT	Carnitina	1.862	1.156	3.019	4
THBS2	Trombospondina-2	1.628	1.148	2.323	10
EEF1D	Factor de elongación 1-delta	1.631	1.147	2.356	10
DHCR24	24-Dehidrocolesterol reductasa	1.936	1.146	3.379	3
MSN	Moesina	1.412	1.145	1.724	35
H2AFV	Histona H2A.V	1.995	1.142	3.485	2
TIZALV	Subunidad 1 reguladora de serina/treonina-	1.995	1.142	3.465	
PPP4R1	proteína fosfatasa 4	1.888	1.14	3.209	2
CRABP1	Proteína 1 de unión a ácido retinoico celular	1.677	1.137	2.467	7
S100A8	Proteína S100-A8	1.522	1.134	2.046	9
ATP6V1A	Subunidad A catalítica de ATPasa de protones	1.551	1.133	2.128	10
TMED7	de tipo V Proteína 7 que contiene dominio emp24	2.07	1.126	3.85	3
I IVICU/	transmembrana	2.07	1.120	ა.00	<u>ა</u>
ARF4	Factor de ADP ribosilación 4	1.692	1.123	2.576	6
TKT	Transcetolasa	1.584	1.122	2.208	21
PSME1	Subunidad 1 de complejo activador de	1.519	1.118	2.057	11
	proteosoma				
TNC	Tenascina	1.574	1.116	2.269	44
NQO1	NAD(P)H deshidrogenasa [quinona] 1	1.542	1.108	2.152	6
SOD1	Superóxido dismutasa [Cu-Zn]	1.615	1.108	2.347	6
CAMK2D	Subunidad delta de proteína cinasa de tipo II dependiente de calcio/calmodulina	1.739	1.108	2.769	4
MAPK13	Proteína cinasa 13 activada por mitógeno	1.942	1.107	3.547	2
FASN	Ácido graso sintasa	1.563	1.106	2.223	56
HSD17B11	Estradiol 17-beta-deshidrogenasa 11	2.016	1.106	3.671	4
RAB1A	Proteína relacionada con Ras Rab-1A	1.551	1.099	2.203	5
NAPA	Proteína de unión a NSF alfa-soluble	1.752	1.099	2.864	5
11/71/7	Ti Totoma de umon a NOT ana-Sulubie	1.732	1.033	2.004	J

CDK1	Proteína cinasa 1 de división celular	1.92	1.099	3.38	3
C1S	Subcomponente C1s del complemento	2.216	1.099	4.614	4
TUBB	Cadena beta de tubulina	1.463	1.098	1.942	15
FAH	Fumarilacetoacetasa	1.953	1.097	3.452	3
SEC23B	Proteína de transporte de proteínas Sec23B	1.497	1.092	2.062	10
IMPDH2	Inosina-5'-monofosfato deshidrogenasa 2	1.596	1.088	2.341	8
RAP1B	Proteína relacionada con Ras Rap-1b	1.46	1.083	1.972	7
	Homólogo de proteína ECM29 asociada al				
ECM29	proteosoma	1.611	1.081	2.401	5
TUBA1B	Tubulina alfa-cadena 1 B	1.604	1.08	2.415	3
SMARCA5	Miembro 5 de subfamilia A de regulador de cromatina dependiente de actina asociado a la matriz relacionado con SWI/SNF	1.458	1.077	1.981	12
SQRDL	Sulfuro:quinona oxidorreductasa. Mitocondrial	1.415	1.076	1.861	14
PMVK	Fosfomevalonato cinasa	1.549	1.075	2.239	8
MYO6	Miosina-VI	1.634	1.074	2.472	9
IARS	Isoleucil-ARNt sintetasa. Citoplasmática	1.458	1.073	2.004	14
NDUFS8	NADH deshidrogenasa [ubiquinona] hierro- azufre proteína 8. Mitocondrial	1.671	1.072	2.652	2
RBM25	Proteína de unión a ARN 25	1.627	1.07	2.479	3
MCM6	Factor MCM6 de permiso de la replicación del ADN	1.488	1.069	2.085	7
PTGES3	Prostaglandina E sintasa 3	1.56	1.067	2.304	5
GGH	Gamma-glutamilo hidrolasa	1.775	1.067	2.933	3
COPE	Subunidad épsilos de coatómero	1.589	1.066	2.37	5
PRKDC	Subunidad catalítica de proteína cinasa dependiente de ADN	1.279	1.063	1.537	55
GLO1	Lactoilglutatión liasa	1.477	1.062	2.062	6
IDH1	Isocitrato deshidrogenasa [NADP] citoplasmática	1.483	1.06	2.085	11
GSTO1	Glutatión S-transferasa omega-1	1.54	1.059	2.244	7
CSE1L	Exportina-2	1.588	1.059	2.381	7
PPA1	Pirofosfatasa inorgánica	1.518	1.056	2.194	8
SSBP1	Proteína de unión a ADN monocatenario. Mitocondrial	1.467	1.055	2.041	8
PTBP1	Proteína 1 de unión a tramo de polipirimidina	1.472	1.052	2.1	14
CCT7	Subunidad eta de proteína 1 del complejo T	1.528	1.051	2.267	17
RPL8	Proteína L8 ribosómica de 60S	1.475	1.05	2.087	13
GOLGB1	Miembro 1 de subfamilia B de golgina	1.674	1.05	2.662	3
PPP3CA	Isoforma de subunidad alfa catalítica de serina/treonina-proteína fosfatasa 2B	1.672	1.05	2.685	2
GFPT1	Glucosaminafructose-6-fosfato aminotransferasa [isomerización] 1	1.629	1.049	2.499	8
SFRS1	Factor de corte y empalme, rico en arginina/serina 1	1.569	1.047	2.373	8
SOD2	Superóxido dismutasa [Mn]. Mitocondrial	1.545	1.046	2.277	5
PGRMC1	Componente 1 de receptor de progesterona	1.662	1.041	2.592	3
DERL1	asociado a la membrana Derlina-1	1.902	1.041	3.49	2
SERBP1	Proteína de unión a ARN de inhibidor de activador de plasminógeno 1	1.512	1.041	2.211	9
CANX	Calnexina	1.416	1.039	1.942	18
PPIB	Peptidil-prolil cis-trans isomerasa B	1.499	1.038	2.186	17
PEPD	Xaa-Pro dipeptidasa	1.842	1.038	3.357	2
SARS	Seril-ARNt sintetasa. Citoplasmática	1.405	1.037	1.914	11
CALU	Calumenina	1.45	1.035	2.015	8
	Transductor de señales y activador de la	1.482	1.034	2.126	8
STAT3		1	l		
	transcripción 3	1 358	1 033	1 770	17
UGDH	UDP-glucosa 6-deshidrogenasa	1.358	1.033	1.779 1.859	17 9
UGDH POR	UDP-glucosa 6-deshidrogenasa NADPH-citocromo P450 reductasa	1.392	1.033	1.859	9
UGDH	UDP-glucosa 6-deshidrogenasa				

	r <u> </u>				
PGAM1	Fosfoglicerato mutasa 1	1.374	1.026	1.866	15
EIF2C2	Proteína argonauta-2	1.474	1.024	2.108	3
KRT18	Queratina de tipo I del citoesqueleto 18	2.195	1.024	4.949	5
DPP3	Dipeptidil peptidasa 3	1.514	1.023	2.236	11
RAP2B	Proteína relacionada con Ras Rap-2b	1.719	1.023	2.872	3
PAICS	Proteína multifuncionalADE2	1.366	1.021	1.825	12
RAN	Proteína Ran nuclear de unión a GTP	1.304	1.02	1.678	14
EPPK1	Epiplaguina	1.44	1.015	2.047	13
DDB1	Proteína 1 de unión a daño del ADN	1.487	1.015	2.203	10
KRT19	Queratina de tipo I del citoesqueleto 19	2.044	1.013	4.534	8
NONO	No-P	1.259	1.012	1.584	23
SERPINH1	Serpina H1	1.272	1.012	1.59	20
RPL35	Proteína ribosómica L35 de 60S	1.521	1.011	2.291	6
CALML5	Proteína 5 similar a calmodulina	1.554	1.009	2.377	7 9
HIST1H1C	Histona H1.2	1.468	1.008	2.12	
NUDT3	Difosfoinositol polifosfato fosfohidrolasa 1	1.639	1.008	2.662	3
TES	Testina	1.669	1.008	2.833	5
EIF4A1	Factor 4A-I de iniciación eucariótico	1.366	1.007	1.83	14
SLC25A6	ADP/ATP translocasa 3	1.65	1.006	2.667	4
LRRC59	Proteína 59 que contiene repetición rica en leucina	1.489	1.003	2.217	7
IL4I1	L-amino-ácido oxidasa	1.507	1	2.243	3
ERH	Potenciador de homólogo rudimentario	1.863	1	3.455	2
LMNA	Prelam en-A/C	0.8	0.662	0.966	26
	Proteína AHNAK asociada a diferenciación de	0.0	0.002	0.000	20
AHNAK	neuroblastos	0.671	0.578	0.779	96
SPTAN1	Cadena alfa de espectrina. Cerebral	0.711	0.577	0.874	58
ACADVL	Acil-CoA deshidrogenasa específica de cadena muy larga. Mitocondrial	0.736	0.546	0.992	12
HSPG2	Proteína núcleo de proteoglicano de sulfato de heparano específica de membrana basal	0.67	0.535	0.842	53
UBC	Poliubiquitina-C	0.696	0.524	0.923	5
RBM39	Proteína de unión a ARN 39	0.7	0.516	0.949	7
CFH	Factor del complemento H	0.642	0.512	0.808	23
SPTBN1	Cadena beta de espectrina. Cerebral 1	0.635	0.505	0.797	34
HIST1H2BL	Histona H2B tipo 1-L	0.669	0.501	0.911	8
ITGB4	Integrina beta-4	0.661	0.498	0.875	17
KRT10	Queratina de tipo I del citoesqueleto 10	0.676	0.493	0.073	14
RAB1B	Proteína relacionada con Ras Rab-1B	0.674	0.493	0.934	6
SELENBP1					
NA	Proteína 1 de unión a selenio		0 470		
	Proteína similar a proteína relacionada con Ras	0.639	0.479	0.853	12
	Rap-1b	0.67	0.471	0.959	2
KIAA1967	Rap-1b Proteína KIAA1967	0.67 0.664	0.471 0.47	0.959 0.941	2
KIAA1967 CAD	Rap-1b Proteína KIAA1967 Proteína CAD	0.67 0.664 0.666	0.471 0.47 0.467	0.959 0.941 0.966	2
KIAA1967 CAD MAGOHB	Rap-1b Proteína KIAA1967 Proteína CAD Homólogo 2 de proteína mago nashi	0.67 0.664 0.666 0.669	0.471 0.47 0.467 0.463	0.959 0.941 0.966 0.973	2 7 12 4
KIAA1967 CAD	Rap-1b Proteína KIAA1967 Proteína CAD	0.67 0.664 0.666	0.471 0.47 0.467	0.959 0.941 0.966	2 7 12
KIAA1967 CAD MAGOHB	Rap-1b Proteína KIAA1967 Proteína CAD Homólogo 2 de proteína mago nashi	0.67 0.664 0.666 0.669	0.471 0.47 0.467 0.463	0.959 0.941 0.966 0.973	2 7 12 4
KIAA1967 CAD MAGOHB APCS	Rap-1b Proteína KIAA1967 Proteína CAD Homólogo 2 de proteína mago nashi Componente P de amiloide sérico	0.67 0.664 0.666 0.669 0.659	0.471 0.47 0.467 0.463 0.461	0.959 0.941 0.966 0.973 0.941	2 7 12 4 6
KIAA1967 CAD MAGOHB APCS UTRN NES	Rap-1b Proteína KIAA1967 Proteína CAD Homólogo 2 de proteína mago nashi Componente P de amiloide sérico Utrofina Nestina	0.67 0.664 0.666 0.669 0.659 0.677 0.589	0.471 0.47 0.467 0.463 0.461 0.46 0.457	0.959 0.941 0.966 0.973 0.941 0.987 0.753	2 7 12 4 6 6
KIAA1967 CAD MAGOHB APCS UTRN NES APOB	Rap-1b Proteína KIAA1967 Proteína CAD Homólogo 2 de proteína mago nashi Componente P de amiloide sérico Utrofina Nestina Apolipoproteína B-100	0.67 0.664 0.666 0.669 0.659 0.677 0.589 0.603	0.471 0.47 0.467 0.463 0.461 0.46 0.457 0.45	0.959 0.941 0.966 0.973 0.941 0.987 0.753 0.808	2 7 12 4 6 6 14
KIAA1967 CAD MAGOHB APCS UTRN NES APOB ASPN	Rap-1b Proteína KIAA1967 Proteína CAD Homólogo 2 de proteína mago nashi Componente P de amiloide sérico Utrofina Nestina Apolipoproteína B-100 Asporina	0.67 0.664 0.666 0.669 0.659 0.677 0.589 0.603 0.657	0.471 0.47 0.467 0.463 0.461 0.46 0.457 0.45 0.435	0.959 0.941 0.966 0.973 0.941 0.987 0.753 0.808 0.976	2 7 12 4 6 6 14 19
KIAA1967 CAD MAGOHB APCS UTRN NES APOB ASPN CTNNB1	Rap-1b Proteína KIAA1967 Proteína CAD Homólogo 2 de proteína mago nashi Componente P de amiloide sérico Utrofina Nestina Apolipoproteína B-100 Asporina Catenina beta-1	0.67 0.664 0.666 0.669 0.659 0.677 0.589 0.603 0.657 0.602	0.471 0.47 0.467 0.463 0.461 0.46 0.457 0.45 0.435 0.427	0.959 0.941 0.966 0.973 0.941 0.987 0.753 0.808 0.976 0.852	2 7 12 4 6 6 14 19 16
KIAA1967 CAD MAGOHB APCS UTRN NES APOB ASPN CTNNB1 LAMA5	Rap-1b Proteína KIAA1967 Proteína CAD Homólogo 2 de proteína mago nashi Componente P de amiloide sérico Utrofina Nestina Apolipoproteína B-100 Asporina Catenina beta-1 Subunidad alfa-5 de laminina	0.67 0.664 0.666 0.669 0.659 0.677 0.589 0.603 0.657 0.602 0.605	0.471 0.47 0.467 0.463 0.461 0.46 0.457 0.45 0.435 0.427 0.424	0.959 0.941 0.966 0.973 0.941 0.987 0.753 0.808 0.976 0.852 0.87	2 7 12 4 6 6 14 19 16 10 7
KIAA1967 CAD MAGOHB APCS UTRN NES APOB ASPN CTNNB1 LAMA5 HRG	Rap-1b Proteína KIAA1967 Proteína CAD Homólogo 2 de proteína mago nashi Componente P de amiloide sérico Utrofina Nestina Apolipoproteína B-100 Asporina Catenina beta-1 Subunidad alfa-5 de laminina Glicoproteína rica en histidina	0.67 0.664 0.666 0.669 0.659 0.677 0.589 0.603 0.657 0.602 0.605 0.637	0.471 0.47 0.467 0.463 0.461 0.46 0.457 0.45 0.435 0.427 0.424	0.959 0.941 0.966 0.973 0.941 0.987 0.753 0.808 0.976 0.852 0.87 0.977	2 7 12 4 6 6 14 19 16 10 7
KIAA1967 CAD MAGOHB APCS UTRN NES APOB ASPN CTNNB1 LAMA5 HRG S100A10	Rap-1b Proteína KIAA1967 Proteína CAD Homólogo 2 de proteína mago nashi Componente P de amiloide sérico Utrofina Nestina Apolipoproteína B-100 Asporina Catenina beta-1 Subunidad alfa-5 de laminina Glicoproteína S100-A10	0.67 0.664 0.666 0.669 0.659 0.677 0.589 0.603 0.657 0.602 0.605 0.637 0.592	0.471 0.47 0.467 0.463 0.461 0.46 0.457 0.45 0.435 0.427 0.424 0.424	0.959 0.941 0.966 0.973 0.941 0.987 0.753 0.808 0.976 0.852 0.87 0.977 0.818	2 7 12 4 6 6 6 14 19 16 10 7
KIAA1967 CAD MAGOHB APCS UTRN NES APOB ASPN CTNNB1 LAMA5 HRG S100A10 TST	Rap-1b Proteína KIAA1967 Proteína CAD Homólogo 2 de proteína mago nashi Componente P de amiloide sérico Utrofina Nestina Apolipoproteína B-100 Asporina Catenina beta-1 Subunidad alfa-5 de laminina Glicoproteína S100-A10 Tiosulfato sulfurotransferasa	0.67 0.664 0.666 0.669 0.659 0.677 0.589 0.603 0.657 0.602 0.605 0.637 0.592 0.622	0.471 0.47 0.467 0.463 0.461 0.46 0.457 0.45 0.435 0.427 0.424 0.424 0.423 0.422	0.959 0.941 0.966 0.973 0.941 0.987 0.753 0.808 0.976 0.852 0.87 0.977 0.818 0.926	2 7 12 4 6 6 6 14 19 16 10 7 11 7
KIAA1967 CAD MAGOHB APCS UTRN NES APOB ASPN CTNNB1 LAMA5 HRG S100A10 TST CNN1	Rap-1b Proteína KIAA1967 Proteína CAD Homólogo 2 de proteína mago nashi Componente P de amiloide sérico Utrofina Nestina Apolipoproteína B-100 Asporina Catenina beta-1 Subunidad alfa-5 de laminina Glicoproteína S100-A10 Tiosulfato sulfurotransferasa Calponina-1	0.67 0.664 0.666 0.669 0.659 0.677 0.589 0.603 0.657 0.602 0.605 0.637 0.592 0.622 0.636	0.471 0.47 0.467 0.463 0.461 0.46 0.457 0.45 0.425 0.427 0.424 0.424 0.423 0.422 0.413	0.959 0.941 0.966 0.973 0.941 0.987 0.753 0.808 0.976 0.852 0.87 0.977 0.818 0.926 0.983	2 7 12 4 6 6 6 14 19 16 10 7 11 7 8 3
KIAA1967 CAD MAGOHB APCS UTRN NES APOB ASPN CTNNB1 LAMA5 HRG S100A10 TST CNN1 CES1	Rap-1b Proteína KIAA1967 Proteína CAD Homólogo 2 de proteína mago nashi Componente P de amiloide sérico Utrofina Nestina Apolipoproteína B-100 Asporina Catenina beta-1 Subunidad alfa-5 de laminina Glicoproteína S100-A10 Tiosulfato sulfurotransferasa Calponina-1 Carboxilesterasa 1 del hígado	0.67 0.664 0.666 0.669 0.659 0.677 0.589 0.603 0.657 0.602 0.605 0.637 0.592 0.622 0.636 0.625	0.471 0.47 0.467 0.463 0.461 0.46 0.457 0.45 0.425 0.427 0.424 0.424 0.423 0.422 0.413 0.409	0.959 0.941 0.966 0.973 0.941 0.987 0.753 0.808 0.976 0.852 0.87 0.977 0.818 0.926 0.983 0.943	2 7 12 4 6 6 6 14 19 16 10 7 11 7 8 3 6
KIAA1967 CAD MAGOHB APCS UTRN NES APOB ASPN CTNNB1 LAMA5 HRG S100A10 TST CNN1 CES1 IGLC6	Rap-1b Proteína KIAA1967 Proteína CAD Homólogo 2 de proteína mago nashi Componente P de amiloide sérico Utrofina Nestina Apolipoproteína B-100 Asporina Catenina beta-1 Subunidad alfa-5 de laminina Glicoproteína rica en histidina Proteína S100-A10 Tiosulfato sulfurotransferasa Calponina-1 Carboxilesterasa 1 del hígado Región de cadena C de Ig lambda-6	0.67 0.664 0.666 0.669 0.659 0.677 0.589 0.603 0.657 0.602 0.605 0.637 0.592 0.622 0.636 0.625 0.61	0.471 0.47 0.467 0.463 0.461 0.46 0.457 0.45 0.425 0.427 0.424 0.424 0.423 0.422 0.413 0.409 0.404	0.959 0.941 0.966 0.973 0.941 0.987 0.753 0.808 0.976 0.852 0.87 0.977 0.818 0.926 0.983 0.943 0.999	2 7 12 4 6 6 6 14 19 16 10 7 11 7 8 3 6 2
KIAA1967 CAD MAGOHB APCS UTRN NES APOB ASPN CTNNB1 LAMA5 HRG S100A10 TST CNN1 CES1 IGLC6 LAMB2	Rap-1b Proteína KIAA1967 Proteína CAD Homólogo 2 de proteína mago nashi Componente P de amiloide sérico Utrofina Nestina Apolipoproteína B-100 Asporina Catenina beta-1 Subunidad alfa-5 de laminina Glicoproteína rica en histidina Proteína S100-A10 Tiosulfato sulfurotransferasa Calponina-1 Carboxilesterasa 1 del hígado Región de cadena C de Ig lambda-6 Subunidad beta-2 de laminina	0.67 0.664 0.666 0.669 0.659 0.677 0.589 0.603 0.657 0.602 0.605 0.637 0.592 0.622 0.636 0.625 0.61 0.562	0.471 0.47 0.467 0.463 0.461 0.457 0.45 0.425 0.427 0.424 0.424 0.423 0.422 0.413 0.409 0.404 0.403	0.959 0.941 0.966 0.973 0.941 0.987 0.753 0.808 0.976 0.852 0.87 0.977 0.818 0.926 0.983 0.943 0.899 0.79	2 7 12 4 6 6 6 14 19 16 10 7 11 7 8 3 6 2 6
KIAA1967 CAD MAGOHB APCS UTRN NES APOB ASPN CTNNB1 LAMA5 HRG S100A10 TST CNN1 CES1 IGLC6 LAMB2 LRG1	Rap-1b Proteína KIAA1967 Proteína CAD Homólogo 2 de proteína mago nashi Componente P de amiloide sérico Utrofina Nestina Apolipoproteína B-100 Asporina Catenina beta-1 Subunidad alfa-5 de laminina Glicoproteína rica en histidina Proteína S100-A10 Tiosulfato sulfurotransferasa Calponina-1 Carboxilesterasa 1 del hígado Región de cadena C de Ig lambda-6 Subunidad beta-2 de laminina Alfa-2-glicoproteína rica en leucina	0.67 0.664 0.666 0.669 0.659 0.677 0.589 0.603 0.657 0.602 0.605 0.637 0.592 0.622 0.636 0.625 0.61 0.562 0.619	0.471 0.47 0.467 0.463 0.461 0.46 0.457 0.45 0.427 0.424 0.424 0.423 0.422 0.413 0.409 0.404 0.403 0.402	0.959 0.941 0.966 0.973 0.941 0.987 0.753 0.808 0.976 0.852 0.87 0.977 0.818 0.926 0.983 0.943 0.899 0.79	2 7 12 4 6 6 6 14 19 16 10 7 11 7 8 3 6 2 6 3
KIAA1967 CAD MAGOHB APCS UTRN NES APOB ASPN CTNNB1 LAMA5 HRG S100A10 TST CNN1 CES1 IGLC6 LAMB2 LRG1 EIF2C1	Rap-1b Proteína KIAA1967 Proteína CAD Homólogo 2 de proteína mago nashi Componente P de amiloide sérico Utrofina Nestina Apolipoproteína B-100 Asporina Catenina beta-1 Subunidad alfa-5 de laminina Glicoproteína rica en histidina Proteína S100-A10 Tiosulfato sulfurotransferasa Calponina-1 Carboxilesterasa 1 del hígado Región de cadena C de Ig lambda-6 Subunidad beta-2 de laminina Alfa-2-glicoproteína rica en leucina Proteína argonauta-1	0.67 0.664 0.666 0.669 0.659 0.677 0.589 0.603 0.657 0.602 0.605 0.637 0.592 0.622 0.636 0.625 0.61 0.562 0.619 0.609	0.471 0.47 0.467 0.463 0.461 0.46 0.457 0.45 0.427 0.424 0.424 0.423 0.422 0.413 0.409 0.404 0.403 0.402 0.401	0.959 0.941 0.966 0.973 0.941 0.987 0.753 0.808 0.976 0.852 0.87 0.977 0.818 0.926 0.983 0.943 0.899 0.79 0.935 0.93	2 7 12 4 6 6 6 14 19 16 10 7 11 7 8 3 6 2 6 3 2
KIAA1967 CAD MAGOHB APCS UTRN NES APOB ASPN CTNNB1 LAMA5 HRG S100A10 TST CNN1 CES1 IGLC6 LAMB2 LRG1	Rap-1b Proteína KIAA1967 Proteína CAD Homólogo 2 de proteína mago nashi Componente P de amiloide sérico Utrofina Nestina Apolipoproteína B-100 Asporina Catenina beta-1 Subunidad alfa-5 de laminina Glicoproteína rica en histidina Proteína S100-A10 Tiosulfato sulfurotransferasa Calponina-1 Carboxilesterasa 1 del hígado Región de cadena C de Ig lambda-6 Subunidad beta-2 de laminina Alfa-2-glicoproteína rica en leucina	0.67 0.664 0.666 0.669 0.659 0.677 0.589 0.603 0.657 0.602 0.605 0.637 0.592 0.622 0.636 0.625 0.61 0.562 0.619	0.471 0.47 0.467 0.463 0.461 0.46 0.457 0.45 0.427 0.424 0.424 0.423 0.422 0.413 0.409 0.404 0.403 0.402	0.959 0.941 0.966 0.973 0.941 0.987 0.753 0.808 0.976 0.852 0.87 0.977 0.818 0.926 0.983 0.943 0.899 0.79	2 7 12 4 6 6 6 14 19 16 10 7 11 7 8 3 6 2 6 3

APOH	Beta-2-glicoproteína 1	0.59	0.398	0.871	9
CAST	Calpastatina	0.607	0.396	0.935	5
SLC4A1	Proteína de transporte de aniones de banda 3	0.618	0.395	0.964	5
SUCLG2	Subunidad beta de succinil-CoA ligasa [que forma GDP]. Mitocondrial	0.62	0.395	0.965	4
F2	Protrombina	0.512	0.391	0.667	17
USP11	Ubiquitina carboxil-terminal hidrolasa 11	0.597	0.391	0.906	3
AMBP	Proteína AMBP	0.555	0.388	0.801	6
NID1	Nidogen-1	0.559	0.387	0.797	9
CCDC22	Proteína 22 que contiene dominio de superhélice	0.618	0.387	0.975	4
DDX60	Probable ARN helicasa dependiente de ATP DDX60	0.617	0.382	0.976	2
HDAC1	Histona desacetilasa 1	0.584	0.378	0.905	5
FABP4	Proteína de unión a ácidos grasos. Adipocito	0.602	0.374	0.972	7
ALG5	Doliquil-fosfato beta-glucosiltransferasa	0.604	0.369	0.976	3
LMO7	Proteína 7 de sólo dominio LIM	0.568	0.368	0.877	6
HPDL	Proteína similar a 4-hidroxifenilpiruvato dioxigenasa	0.595	0.364	0.966	5
CAMK2B	Subunidad beta de proteína cinasa de tipo II dependiente de calcio/calmodulina	0.596	0.364	0.981	2
KRT15	Queratina de tipo I del citoesqueleto 15	0.558	0.363	0.855	8
GSTM3	Glutatión S-transferasa Mu 3	0.593	0.362	0.963	3
SERPING1	Inhibidor de proteasa plasmática C1	0.525	0.359	0.766	7
PCOLCE	Potenciador 1 de procolágeno C-endopeptidasa	0.551	0.355	0.867	7
SERPINA4	Kalistatina	0.562	0.355	0.885	4
SERPINF1	Factor derivado de epitelio pigmentario	0.513	0.353	0.735	8
OLFML3	Proteína 3 similar a olfactomedina	0.537	0.35	0.733	4
CP	Ceruloplasmina	0.473	0.346	0.643	13
ACTB	Actina citoplasmática 1	0.473	0.343	0.675	8
WDR36	Proteína 36 que contiene repetición de WD	0.461	0.343	0.873	2
METTL7B	Proteína 78 similar a metiltransferasa	0.567	0.335	0.952	3
LBP	Proteína de unión a lipopolisacárido	0.57	0.333	0.932	3
MRPL13	Proteína de union a lipopolisacando Proteína ribosómica L13 de 39S. Mitocondrial	0.559	0.332	0.928	2
S100B	Proteína S100-B	0.562	0.331	0.920	2
APOA1	Apolipoproteína A-I	0.302	0.327	0.95	23
TINAGL1	Proteína similar a antígeno de nefritis	0.422	0.324	0.756	5
ACOT2	tubulointersticial Acil-coenzima A tioesterasa 2. Mitocondrial	0.492	0.324	0.730	3
ACO12	Proteína de unión a nucleótidos de guanina	0.516	0.324	0.010	3
GNB1	G(I)/G(S)/G(T), subunidad beta-1	0.553	0.324	0.927	2
PCCB	Cadena beta de propionil-CoA carboxilasa. Mitocondrial	0.558	0.324	0.95	2
CTSG	Catepsina G	0.522	0.323	0.86	3
CSNK1A1	Isoforma alfa de caseína cinasa I	0.561	0.322	0.963	2
CFD	Factor del complemento D	0.554	0.317	0.951	2
SAP30BP	Proteína de unión a SAP30	0.567	0.317	0.996	2
KNG1	Cininógeno-1	0.508	0.307	0.857	10
APOA2	Apolipoproteína A-II	0.5	0.294	0.853	3
UAP1	UDP-N-acetilhexosamina pirofosforilasa	0.435	0.288	0.654	4
PLS1	Plastina-1	0.517	0.285	0.911	2
ARF3	Factor de ADP ribosilación 3	0.483	0.284	0.831	3
MYO1 G	Miosina-Ig	0.519	0.281	0.937	3
AFM	Afamina	0.482	0.276	0.838	5
RAB5C	Proteína relacionada con Ras Rab-5C	0.418	0.275	0.632	4
APOA4	Apolipoproteína A-IV	0.387	0.271	0.55	9
PTRF	Polimerasa I y factor de liberación de transcritos	0.415	0.269	0.645	6
CPB1	Carboxipeptidasa B	0.391	0.268	0.571	5
CD36	Glicoproteína 4 de plaquetas	0.476	0.267	0.841	2
	Alfa-1-glicoproteína ácida 1	0.405	0.265	0.625	7
ORM1	Alia-1-giicoproteina acida 1	<u> </u>	0.200	0.023	
ORM1 SFRP1	Proteína 1 relacionada con frizzled secretada	0.418	0.254	0.676	3

TUBGCP2	Componente 2 del complejo de gamma-tubulina	0.497	0.25	0.976	2
EHD2	Proteína 2 que contiene dominio EH	0.352	0.247	0.506	9
HLA-C	Antígeno de histocompatibilidad de HLA clase I. Cadena Cw-15	0.387	0.247	0.601	5
PLIN4	Perilipina-4	0.45	0.244	0.84	3
GC	Proteína de unión a vitamina D	0.436	0.234	0.838	11
AGR2	Homólogo de proteína 2 de gradiente anterior	0.385	0.231	0.641	6
CMA1	Quimasa	0.312	0.221	0.446	8
PIGR	Receptor de inmunoglobulina polimérico	0.339	0.218	0.531	6
PLIN1	Perilipina-1	0.343	0.218	0.543	8
OLFML1	Proteína 1 similar a olfactomedina	0.399	0.217	0.739	2
ATL2	Atlastina-2	0.455	0.215	0.89	2
ABI3BP	Diana de Nesh-SH3	0.404	0.212	0.75	3
PRELP	Prolargina	0.32	0.192	0.57	16
HP	Haptoglobina	0.275	0.191	0.396	16
CPA3	Carboxipeptidasa A de mastocitos	0.309	0.189	0.507	4
MYH11	Miosina-11	0.262	0.179	0.382	13
TNXB	Tenascina-X	0.301	0.179	0.497	6
HIST2H2AC	Histona H2A tipo 2-C	0.259	0.177	0.376	4
LTF	Lactotransferrina	0.243	0.164	0.359	41
AOC3	Amina oxidasa primaria de membrana	0.232	0.161	0.328	11
DPT	Dermatopontina	0.253	0.161	0.397	7
TTR	Transtiretina	0.271	0.159	0.466	6
ORM2	Alfa-1-glicoproteína ácida 2	0.276	0.154	0.505	3
TPSAB1	Triptasa alfa-1	0.284	0.153	0.52	2
HIST3H2A	Histona H2A tipo 3	0.241	0.149	0.386	2
AZGP1	Zinc-alfa-2-glicoproteína	0.192	0.133	0.276	15
SOD3	Superóxido dismutasa extracelular [Cu-Zn]	0.227	0.132	0.391	3
COL6A6	Cadena alfa-6(VI) de colágeno	0.257	0.132	0.483	9
IGHA2	Región de cadena C de Ig alfa-2	0.23	0.128	0.415	8
MFAP4	Glicoproteína 4 asociada a microfibrillas	0.231	0.121	0.433	2
OGN	Mimecan	0.135	0.102	0.178	15
IGHA1	Región de cadena C de Ig alfa-1	0.112	0.081	0.152	14
ELN	Elastina	0.141	0.08	0.248	4
APOD	Apolipoproteína D	0.107	0.075	0.152	10
DCN	Decorina	0.103	0.07	0.153	19
LGALS4	Galectina-4	0.106	0.059	0.191	3
IGJ	Cadena inmunoglobulina J	0.122	0.049	0.291	2
PIP	Proteína inducible por prolactina	0.077	0.039	0.152	5
DES	Desmina	0.03	0.017	0.051	3
ARHGAP1	Proteína 1 activante de Rho GTPasa	1.289	1.002	1.716	8

Tabla 7B. Función molecular de ontología génica (GO) - recaída de cáncer de mama triple negativo

	Funciones moleculares	Valor de p	Razón
1	Unión	9.410e-26	324/13778
2	Unión a proteínas	5.514e-25	249/8829
3	Actividad de receptor de CMH de clase I	3.277e-17	14/31
4	Unión a glicosaminoglicanos	4.145e-13	24/214
5	Unión a polisacáridos	6.496e-13	25/239
6	Unión a patrones	6.496e-13	25/239
7	Unión a hidratos de carbono	1.109e-12	36/514
8	Unión a heparina	1.190e-12	21/166
9	Actividad de moléculas estructurales	8.422e-12	41/699
10	Unión a moléculas pequeñas	1.884e-11	95/2773
11	Actividad catalítica	2.085e-11	164/6069
12	Actividad oxidorreductasa, que actúa sobre el grupo CH-OH de donadores, NAD o NADP como aceptor	3.350e-11	18/139
13	Actividad oxidorreductasa, que actúa sobre el grupo CH-OH de donadores	1.883e-10	18/154
14	Unión a receptores	3.434e-10	61/1506
15	Unión a nucleótidos	4.193e-9	84/2573
16	Unión a nucleósidos fosfato	4.270e-9	84/2574

17	Unión a colágeno	6.695e-9	11/61
18	Actividad isomerasa	1.890e-8	16/160
19	Actividad hidrolasa	1.140e-7	82/2676
20	Actividad GTPasa	1.211e-7	19/257
21	Unión a actina	2.305e-7	23/381
22	Actividad superóxido dismutasa	4.297e-7	04/05
23	Actividad oxidorreductasa, que actúa sobre radicales superóxido como aceptor	4.297e-7	04/05
24	Actividad oxidorreductasa	5.270e-7	36/839
25	Unión a GTP	7.314e-7	23/407
26	Constituyente estructural del citoesqueleto	8.242e-7	11/96
27	Unión a nucleótidos de guanilo	1.416e-6	23/423
28	Unión a ribonucleótidos de guanilo	1.416e-6	23/423
29	Actividad pirofosfatasa	1.521e-6	36/878
30	Actividad hidrolasa, que actúa sobre anhídridos de ácido, en anhídridos que contienen fósforo	1.645e-6	36/881
31	Actividad hidrolasa, que actúa sobre anhídridos de ácido	1.733e-6	36/883
32	Unión a ribonucleósido de purina trifosfato	2.038e-6	62/1960
33	Unión a calmodulina	2.914e-6	14/179
34	Unión a ribonucleótidos de purina	3.624e-6	62/1995
35	Unión a ribonucleótidos	3.683e-6	62/1996
36	Unión a nucleótidos de purina	4.683e-6	62/2011
37	Unión a proteínas del citoesqueleto	5.434e-6	30/703
38	Unión a ácido monocarboxílico	5.647e-6	09/75
39	Unión a coenzimas	6.287e-6	15/218
40	Unión a partículas de lipoproteínas de alta densidad	1.025e-5	04/09
41	Actividad nucleósido-trifosfatasa	1.032e-5	33/840
42	Unión a la matriz extracelular	1.108e-5	07/45
43	Unión a cofactores	2.797e-5	17/308
44	Actividad oxidorreductasa intramolecular	2.944e-5	07/52
45	Actividad de activador de fosfatidilcolina-esterol O-aciltransferasa	4.962e-5	03/05
46	Unión a esteroides	4.998e-5	09/98
47	Unión a ácido carboxílico	7.754e-5	13/210
48	Unión a partículas de lipoproteínas	8.777e-5	05/27
49	Unión a complejo de proteína-lípido	8.777e-5	05/27
50	Actividad transportadora de colesterol	1.023e-4	04/15

Tabla 7C. Proceso de ontología génica (GO) - recaída de cáncer de mama triple negativo

	Redes	Valor de p	Razón
1	Citoesqueleto_Filamentos intermedios	9.234e-12	19/81
2	Citoesqueleto_Regulación de la redisposición del citoesqueleto	1.330e-7	22/183
3	Adhesión celular_Adhesión a la matriz celular mediada por integrina	7.312e-6	21/214
4	Respuesta inmunitaria_Fagosoma en presentación de antígenos	1.609e-5	22/243
5	Citoesqueleto_Filamentos de actina	1.919e-5	18/176
6	Ciclo celular_Mitosis	2.418e-5	18/179
7	Adhesión celular_Interacciones célula-matriz	2.075e-4	18/211
8	Respuesta inmunitaria_Presentación de antígenos	2.719e-4	17/197
9	Citoesqueleto_Microtúbulos del huso	9.227e-4	11/109
10	Adhesión celular_Uniones celulares	9.275e-4	14/162

5 <u>Tabla 7D. Enriquecimiento mediante función proteica - recaída de cáncer de mama triple negativo</u>

									F	Porcentaj	е
Clase de proteína	Real	u	ď	Z	Esperado	Razón	Valor de p	Puntuación z	En conjunto de datos	En función proteica	Función proteica en base de datos
Ligandos	26	382	514	23844	8,235	3,157	2,918E-07	6,309	6.81%	5.06%	2.16%
Fosfatasas	8	382	230	23844	3,685	2,171	3,259E-02	2,277	2.09%	3.48%	0.96%

Proteasas	17	382	559	23844	8,956	1,898	9,214E-03	2,742	4.45%	3.04%	2.34%
Enzimas	80	382	2724	23844	43,64	1,833	5,155E-08	5,895	20.94%	2.94%	11.42%
Cinasas	12	382	654	23844	10,48	1,145	3,572E-01	0,4808	3.14%	1.83%	2.74%
Receptores	22	382	1565	23844	25,07	0,8775	3,034E-01	-0,6399	5.76%	1.41%	6.56%
Factores de transcripción	3	382	959	23844	15,36	0,1953	1,170E-04	-3,246	0.79%	0.31%	4.02%
Otro	215	382	16691	23844	267,4	0,804	7,684E-09	-5,898	56.28%	1.29%	70.00%

Para el grupo "sin recidiva", 189 proteínas estaban significativamente expresadas de manera diferencial: 98 estaban sobreexpresadas y 91 estaban subexpresadas (tabla 8A). Para este grupo, la mejor puntuación para la red de procesos se obtuvo para "Adhesión celular_Adhesión a la matriz celular mediada por integrina" (p= 7.5 10^{-11}) (tabla 8C). La clase de proteínas "ligandos" se encontró que presentaba la mejor puntuación z en el módulo "Enriquecimiento para función proteíca" con 15 proteínas (tabla 8D).

Tabla 8A. Proteínas subexpresadas y sobreexpresadas en ausencia de recaída de cáncer de mama triple negativo

		Interva	Número		
Gen	Proteína	Media	Mín.	Máx.	de péptido
APOD	Apolipoproteína D	0.049	0.03	0.08	10
PIP	Proteína inducible por prolactina	0.069	0.016	0.224	5
IGHA2	Región C de Ig alfa-2	0.07	0.044	0.112	8
COL1A1	Cadena alfa-1(I) de colágeno	0.087	0.054	0.128	21
IGJ	Cadena de inmunoglobulina J	0.087	0.037	0.201	2
AZGP1	Zinc-alfa-2-glicoproteína	0.1	0.068	0.147	15
DCN	Decorina	0.155	0.096	0.269	19
OGN	Mimecan	0.16	0.118	0.214	11
TF	Serotransferrina	0.165	0.132	0.206	41
LTF	Lactotransferrina	0.18	0.088	0.373	36
COL6A6	Cadena alfa-6(VI) de colágeno	0.187	0.078	0.42	3
HMGCS2	Hidroximetilglutaril-CoA sintasa. Mitoconcrial	0.215	0.119	0.391	4
DES	Desmina	0.22	0.111	0.428	2
ADH1C	Alcohol deshidrogenasa 1C	0.299	0.12	0.681	2
AKR1C1	Miembro C1 de familia 1 de aldo-ceto reductasa	0.306	0.164	0.565	2
TTR	Transtiretina	0.327	0.222	0.484	6
DPT	Dermatopontina	0.333	0.2	0.562	4
OLFML3	Proteína 3 similar a olfactomedina	0.35	0.197	0.617	4
DHRS2	Miembro 2 de familia de deshidrogenasa/reductasa SDR	0.353	0.186	0.668	7
HIST3H2A	Histona H2A tipo 3	0.359	0.242	0.529	2
PLIN1	Perilipina-1	0.361	0.217	0.585	7
CLEC3B	Tetranectina	0.38	0.173	0.804	2
BCCIP	Proteína de interacción con BRCA2 y CDKN1A	0.381	0.209	0.678	2
IGHG1	Región de cadena C de Ig gamma-1	0.398	0.275	0.571	12
LBP	Proteína de unión a lipopolisacárido	0.407	0.24	0.686	3
HPGD	15-hidroxiprostaglandina deshidrogenasa [NAD+]	0.41	0.251	0.654	5
OAT	Ornitina aminotransferasa. Mitocondrial	0.416	0.301	0.565	20
CFD	Factor del complemento D	0.417	0.218	0.781	2
HP	Haptoglobina	0.421	0.302	0.58	13
HPX	Hemopexina	0.421	0.214	0.912	16
GC	Proteína de unión a vitamina D	0.423	0.291	0.605	9
LRG1	Alfa-2-glicoproteína rica en leucina	0.426	0.247	0.723	3
SERPINA4	Kalistatina	0.435	0.234	0.792	4
AOC3	Amina oxidasa primaria de membrana	0.436	0.3	0.633	10
APOA4	Apolipoproteína A-IV	0.438	0.256	0.754	6
PTRF	Polimerasa I y factor de liberación de transcritos	0.443	0.26	0.738	5
ALOX15B	Araquidonato 15-lipoxigenasa B	0.448	0.285	0.702	10
MYH11	Miosina-11	0.457	0.343	0.61	13

10

5

MFAP4	Glicoproteína 4 asociada a microfibrillas	0.459	0.259	0.807	2
ORM1	Alfa-1-glicoproteína ácida 1	0.46	0.26	0.8	4
IDI1	Isopentenil-difosfato Delta-isomerasa 1	0.463	0.263	0.798	5
SFRP1	Proteína 1 relacionada con frizzled secretada	0.464	0.311	0.699	3
	Región GM607 de cadena V-II de Ig kappa				
NA	(fragmento)	0.465	0.267	0.803	2
	Metilcrotonoil-CoA carboxilasa, subunidad				
MCCC1	alfa. Mitocondrial	0.465	0.228	0.917	2
CP	Ceruloplasmina	0.467	0.349	0.624	11
CYP2A6	Citocromo P450 2A6	0.469	0.3	0.726	7
AHSG	Alfa-2-HS-glicoproteína	0.471	0.191	0.997	4
AACS	Acetoacetil-CoA sintetasa		0.191	0.997	2
		0.474			
AMBP	Proteína AMBP	0.475	0.334	0.674	5
CMA1	Quimasa	0.48	0.344	0.679	6
IGLC6	Región de cadena C de Ig lambda-6	0.482	0.333	0.697	2
MCCC2	Metilcrotonoil-CoA carboxilasa, cadena beta.	0.482	0.322	0.712	11
	Mitocondrial				
BGN	Biglicano	0.483	0.365	0.631	19
UROS	Uroporfirinógeno-III sintasa	0.483	0.281	0.808	3
AKR1B15	Miembro B15 de familia 1 de aldo-	0.487	0.308	0.773	3
AKKIDIS	cetorreductasa supuesta	0.467	0.306	0.773	3
HAAO	3-Hidroxiantranilato 3,4-dioxigenasa	0.496	0.287	0.846	2
ASPN	Asporina	0.497	0.364	0.672	15
IGHM	Región de cadena C de Ig mu	0.498	0.369	0.682	15
PIGR	Receptor de inmunoglobulina polimérico	0.505	0.307	0.81	5
HBA1	Subunidad alfa de hemoglobina	0.51	0.29	0.881	10
F2	Protrombina Protrombina	0.516	0.397	0.673	14
TNXB	Tenascina-X	0.510	0.309		6
				0.897	
SDCBP	Sintenina-1	0.522	0.337	0.812	5
ACSS3	Miembro 3 de familia de acil-CoA sintetasa de cadena corta. Mitocondrial	0.526	0.285	0.961	2
LPP	Pareja de lipoma preferida	0.529	0.355	0.787	10
SOD3	Superóxido dismutasa extracelular [Cu-Zn]	0.54	0.314	0.886	3
OPLAH	5-Oxoprolinasa	0.546	0.332	0.923	13
DNAJA3	Miembro 3 de subfamilia A de homólogo de DnaJ. Mitocondrial	0.548	0.325	0.908	4
APOH	Beta-2-glicoproteína 1	0.555	0.323	0.948	5
АРОП		0.555	0.323	0.946	5
PCOLCE	Potenciador 1 de procolágeno C- endopeptidasa	0.556	0.36	0.848	6
ALDH6A1	Metilmalonato-semialdehído deshidrogenasa [acilante]. Mitocondrial	0.559	0.356	0.862	7
SLC9A3R1	Cofactor NHE-RF1 regulatorio del intercambio de Na(+)/H(+)	0.567	0.368	0.865	4
TWF1	Twinfilina-1	0.579	0.375	0.886	4
CTBP2	Proteína 2 de unión C-terminal	0.589	0.362	0.860	3
CYB5A	Citocromo b5	0.594	0.302	0.954	4
OTBOA	Proteína AHNAK asociada a diferenciación	0.594	0.391	0.019	4
AHNAK	de neuroblastos	0.597	0.48	0.739	61
PLG	Plasminógeno	0.6	0.409	0.875	12
CLU	Clusterina	0.605	0.384	0.973	8
ERLIN2	Erlina-2	0.607	0.385	0.952	4
	Proteína 1 de la matriz extracelular que				
EFEMP1	contiene EGF	0.608	0.391	0.937	3
ERLIN2	Erlina-2	0.609	0.383	0.959	4
KRT1	Queratina de tipo II del citoesqueleto1	0.612	0.408	0.955	13
SERPING1	Inhibidor de proteasa plasmática C1 inhibidor	0.616	0.397	0.961	6
		0.619	0.397	0.926	2
HIST1H2AC		0.019	U. 4 10		
HIST1H2AC	Histona H2A tipo 1-C		U 380	U U U U	1
ASS1	Arg en inosuccinato sintasa	0.619	0.388	0.981	4
	Arg en inosuccinato sintasa Histona H2A tipo 2-C		0.388 0.429	0.981 0.898	4
ASS1 HIST2H2AC SCP2	Arg en inosuccinato sintasa Histona H2A tipo 2-C Proteína de transferencia de lípidos no específica	0.619 0.62 0.643	0.429 0.467	0.898 0.888	
ASS1 HIST2H2AC	Arg en inosuccinato sintasa Histona H2A tipo 2-C Proteína de transferencia de lípidos no	0.619 0.62	0.429	0.898	4

C4BPA	Cadena alfa de proteína de unión a C4b-	0.669	0.448	0.997	4
SELENBP1	Proteína 1 de unión a selenio	0.765	0.446	0.997	11
ADAR	Adenosina desaminasa específica de ARN bicatenario	1.324	1.002	1.738	11
CHD4	Proteína 4 de unión a cromodominio- helicasa-ADN	1.344	1.029	1.757	11
SAMHD1	Proteína 1 que contiene dominio SAM y dominio HD	1.347	1.055	1.713	13
PSME1	Subunidad 1 de complejo activador de proteosoma	1.347	1.022	1.786	9
NONO	Proteína de unión a octámero que contiene dominio distinto de POU	1.366	1.073	1.731	19
DDX5	ARN helicasa DDX5 dependiente de ATP probable	1.372	1	1.864	7
NCL	Nucleolina	1.376	1.019	1.891	19
GRB2	Proteína 2 unida a receptor de factor de	1.409	1.036	1.941	8
	crecimiento				
CCT2	Subunidad beta de proteína 1 del complejo T	1.416	1.064	1.877	13
HNRNPA2B1	Ribonucleoproteínas nucleares heterogéneas A2/B1	1.441	1.024	2.14	21
FBL	ARNr 2'-O-metiltransferasa fibrilarina	1.444	1.047	1.99	9
PRKAR2A	Subunidad regulatoria de proteína cinasa de tipo II dependiente de AMPc	1.445	1.043	2.019	6
TRIM28	Factor 1-beta intermediario de la transcripción	1.449	1.13	1.857	17
DYNLL1	Cadena 1 ligera de dineína. Citoplasmática	1.46	1.042	2.066	4
HK1	Hexocinasa-1	1.463	1.002	2.228	12
DNM2	Dinamina-2	1.481	1.071	2.035	9
STIP1	Fosfoproteína 1 inducida por estrés	1.49	1.076	2.102	11
S100A8	Proteína S100-A8	1.5	1.106	2.024	9
SNRPB	Proteínas B y B' asociadas a ribonucleoproteína nuclear pequeña	1.505	1.071	2.146	10
EZR	Ezrina	1.522	1.05	2.208	9
P4HB	Proteína disulfuro-isomerasa	1.522	1.033	2.274	28
ATP6V1A	Subunidad A catalítica de ATPasa de protones de tipo V	1.529	1.073	2.203	9
HSP90B1	Endoplasmina	1.53	1.212	1.954	32
CALR	Calreticulina	1.533	1.168	2.03	18
HSP90B1	Endoplasmina	1.537	1.213	1.979	32
PAICS	Proteína multifuncional ADE2	1.538	1.108	2.14	10
MAP2K2	Proteína cinasa cinasa 2 activada por mitógeno de especificidad doble	1.539	1.031	2.33	2
H2AFY	Histona núcleo macro-H2A.1	1.542	1.078	2.199	10
DEK	Proteína DEK	1.545	1.13	2.127	8
SET	Proteína SET	1.55	1.099	2.189	6
ACTR3	Proteína 3 relacionada con actina	1.552	1.129	2.13	12
ACTG1	Actina citoplasmática 2	1.559	1.103	2.197	6
GAA	Alfa-glucosidasa lisosomal	1.568	1.078	2.297	10
LCP1	Plastina-2 Proteína 5 de complementación cruzada de	1.569	1.126	2.193	20
XRCC5	reparación de rayos X	1.583	1.103	2.286	16
SSRP1	Subunidad SSRP1 del complejo FACT	1.588	1.067	2.356	8
KRT14	Queratina de tipo I del citoesqueleto 14	1.588	1.011	2.549	5
HSPE1	Proteína de choque térmico de 10 kDa, mitocondrial	1.591	1.083	2.363	6
TNC	Tenascina	1.609	1.114	2.496	38
EIF2S3	Subunidad 3 del factor de iniciación 2 de la traducción eucariota	1.61	1.127	2.307	3
WARS	Triptofanil-ARNt sintetasa. Citoplasmática	1.615	1.001	2.598	9
HSPA5	Proteína regulada por glucosa de 78 kDa	1.623	1.177	2.298	30
SSR1	Subunidad alfa de proteína asociada a	1.626	1.016	2.583	3
JUICI	translocón				

PPIA	Peptidil-prolil cis-trans isomerasa A	1.633	1.012	2.56	14
	Proteína L19 ribosómica de 39S.		_		
MRPL19	Mitocondrial	1.635	1.087	2.459	4
ERH	Potenciador de homólogo rudimentario	1.642	1.01	2.699	2
CALU	Calumenina	1.649	1.133	2.418	7
LRRC59	Proteína 59 que contiene repetición rica en leucina	1.656	1.14	2.419	7
ERH	Potenciador de homólogo rudimentario	1.657	1.017	2.724	2
	3'-Fosfoadenosina 5'-fosfosulfato sintasa 1				
PAPSS1	bifuncional	1.677	1.113	2.551	13
CFL1	Cofilina-1	1.681	1.054	2.543	17
MSN	Moesina	1.695	1.349	2.133	32
ISYNA1	Inositol-3-fosfato sintasa 1	1.698	1.016	2.853	3
RBMX	Ribonucleoproteína G nuclear heterogénea	1.706	1.08	2.706	6
MAT2B	Metionina adenosiltransferasa 2, subunidad beta	1.711	1.002	2.923	3
AKR7A3	Miembro 3 de aldehído reductasa de	1.711	1	2.994	2
RAN	aflatoxina B1 Proteína Ran nuclear de unión a GTP	1.722	1.3	2.29	9
ARF1	Factor de ADP ribosilación 1				
NME2	Nucleósido difosfato cinasa B	1.722 1.725	1.176 1.191	2.553 2.515	<u>5</u> 9
RPS27A	Proteína S27a ribosómida de ubiquitin-40S			2.533	4
TUBB	Cadena beta de tubulina	1.733 1.758	1.192 1.118	2.533	4 15
	Familia 2 de portador de solutos. Miembro 1				
SLC2A1	de transportador de glucosa facilitado	1.782	1.081	3.003	3
SMARCA5	Miembro 5 de subfamilia A de regulador de cromatina dependiente de actina asociado a la matriz relacionado con SWI/SNF	1.796	1.164	2.832	4
YBX1	Proteína 1 de unión a elemento sensible a nucleasa	1.797	1.176	2.765	6
PAK2	Serina/treonina-proteína cinasa PAK 2	1.804	1.079	3.009	2
CTNNBL1	Proteína 1 similar a beta-catenina	1.834	1.054	3.211	4
MACF1	Factor 1 de unión cruzada a actina de microtúbulos. Isoformas 1/2/3/5	1.838	1.109	3.039	3
USP15	Ubiquitina carboxil-terminal hidrolasa 15	1.853	1.263	2.737	4
RPS9	Proteína S9 ribosómica de 40S	1.862	1.195	3.145	14
AP1B1	Subunidad beta-1 del complejo AP-1	1.877	1.2	2.947	10
CPNE3	Copina-3	1.914	1.221	3.052	4
EIF4A1	Factor de iniciación eucariota 4A-I	1.921	1.446	2.559	13
EIF4A1	Factor de iniciación eucariota 4A-I	1.927	1.457	2.614	13
TUBA1B	Tubulina alfa-cadena 1 B	1.929	1.063	3.529	2
CPNE1	Copina-1	1.932	1.214	3.123	4
MIL12B	Cadena ligera reguladora de miosina 12B	1.943	1.43	2.651	
MAN2B1	Alfa-manosidasa lisosomal	1.952	1.22	3.123	5
MAPRE1	Miembro 1 de familia de proteína RP/EB asociada a microtóbulos	1.973	1.217	3.188	3
CSDE1	Proteína E1 que contiene dominio de choque frío	1.975	1.057	3.613	4
SOD2	Superóxido dismutasa [Mn]. Mitocondrial	1.991	1.332	2.986	5
GSTM1	Glutatión S-transferasa Mu 1	1.993	1.332	3.682	2
MRPL9	Proteína L9 ribosómica de 39S. Mitocondrial	1.994	1.163	3.469	3
AARS	Alanil-tRNA sintetasa. Citoplasmática	2.001	1.33	3.056	9
KRT6A	Queratina de tipo II del citoesqueleto 6A	2.004	1.09	3.811	3
KRT15	Queratina de tipo I del citoesqueleto 15	2.049	1.271	3.401	8
KDM1A	Histona desmetilasa 1A específica de lisina	2.069	1.065	3.93	2
LSP1	Proteína 1 específica de linfocitos	2.077	1.047	4.086	2
TPM1	Tropomiosina alfa-cadena 1	2.089	1.296	3.316	12
•		2.162	1.395	3.349	4
NME1	Nucleosido dilosialo cinasa A				
NME1 ACTN4	Nucleósido difosfato cinasa A Alfa-actinina-4			4.765	22
ACTN4	Alfa-actinina-4	2.47	1.088	4.765 4.336	22 3
	Alfa-actinina-4 Subunidad mu-1 de complejo AP-1			4.765 4.336 4.473	
ACTN4 AP1M1	Alfa-actinina-4	2.47 2.492	1.088 1.437	4.336	3

MAPK13	Proteína cinasa 13 activada por mitógeno	2.761	1.514	5.106	2
SSB	Proteína de lupus La	2.884	1.705	4.803	5
AGR2	Homólogo de proteína 2 de gradiente anterior	6.456	3.28	12.577	3

Tabla 8B. Función molecular de ontología génica (GO) - ausencia de recaída de cáncer de mama triple negativo

	Funciones moleculares	Valor de p	Razón
1	Unión a proteínas	1.134e-22	168/8829
2	Unión	1.241e-21	210/13778
3	Unión a moléculas pequeñas	5.986e-10	65/2773
4	Unión a nucleótidos	2.893e-8	58/2573
5	Unión a nucleósidos fosfato	2.933e-8	58/2574
6	Actividad oxidorreductasa, que actúa sobre el grupo CH-OH de donadores, NAD o NADP como aceptor	3.779e-8	12/139
7	Constituyente estructural del citoesqueleto	8.925e-8	10/96
8	Actividad oxidorreductasa, que actúa sobre el grupo CH-OH de donadores	1.177e-7	12/154
9	Actividad de moléculas estructurales	6.414e-7	24/699
10	Actividad catalítica	1.507e-6	99/6069
11	Unión a ribonucleótidos de purina	3.651e-6	44/1995
12	Unión a ribonucleótidos	3.699e-6	44/1996
13	Actividad aldo-ceto reductasa (NADP)	4.047e-6	05/23
14	Actividad alditol:NADP+ 1-oxidorreductasa	4.128e-6	04/11
15	Unión a nucleótidos de purina	4.489e-6	44/2011
16	Unión a ribonucleósido de purina trifosfato	5.512e-6	43/1960
17	Unión a la superficie celular	5.773e-6	07/64
18	Unión a proteínas idénticas	1.006e-5	27/992
19	Unión a enzimas	1.157e-5	32/1302
20	Actividad oxidorreductasa	1.449e-5	24/839
21	Unión a actina	1.843e-5	15/381
22	Actividad alcohol deshidrogenasa (NADP+)	2.182e-5	04/16
23	Unión a proteínas del citoesqueleto	2.724e-5	21/703
24	Unión a proteínas del citoesqueleto Unión a receptores	3.475e-5	34/1506
25	Unión A compuestos heterocíclicos	3.705e-5	92/5912
26	Unión a compuestos cíclicos orgánicos	3.731e-5	92/5913
27	Unión a ribonucleótidos de adenilo	6.522e-5	35/1621
28	Actividad endopeptidasa de tipo serina	7.581e-5	10/203
29	Unión a nucleótidos de adenilo	7.650e-5	35/1634
30	Unión a ATP	1.038e-4	34/1592
31	Actividad metilcrotonoil-CoA carboxilasa	1.162e-4	02/02
32	Actividad androsterona deshidrogenasa (específica de B)	1.162e-4	02/02
33	Unión a glicosaminoglicanos	1.173e-4	10/214
34	Unión a gricosaminoglicanos Unión a proteínas no plegadas	1.445e-4	8/140
35	Unión a hidratos de carbono	1.586e-4	16/514
36	Actividad peptidasa de tipo serina	2.261e-4	10/314
37	Actividad serina hidrolasa	2.507e-4	10/235
38	Actividad hidrolasa Actividad hidrolasa	2.554e-4	48/2676
39	Unión a polisacáridos	2.868e-4	10/239
40	Unión a patrones	2.868e-4	10/239
41	Unión a chaperonas	3.159e-4	05/55
42	Actividad nucleósido-trifosfatasa	3.159e-4 3.259e-4	21/840
43	Unión a filamentos de actina	4.356e-4	06/90
44	Unión a haparina	4.590e-4 4.590e-4	8/166
45	Actividad pirofosfatasa	5.807e-4	21/878
46	Actividad pirolosiatasa Actividad hidrolasa, que actúa sobre anhídridos de ácido, en anhídridos que contienen fósforo	6.067e-4	21/878
47	Actividad hidrolasa, que actúa sobre anhídridos de ácido	6.246e-4	21/883
	Unión al complemento	6.246e-4 6.284e-4	03/16
48 49	Actividad cetoesteroide monooxigenasa	6.284e-4 6.876e-4	03/16
50	Actividad 17-alfa,20-alfa-dihidroxipregn-4-en-3-ona deshidrogenasa	6.876e-4	02/04
50	Actividad 17-alia,20-alia-difiloroxipregn-4-en-3-ona desnidrogenasa	0.0708-4	02/04

Tabla 8C. Proceso de ontología génica (GO) - ausencia de recaída de cáncer de mama triple negativo

	Redes de procesos	Valor de p	Razón
1	Adhesión celular_Adhesión a la matriz celular mediada por integrina	7.479e-11	24/214
2	Citoesqueleto_Filamentos intermedios	3.098e-9	14/81
3	Citoesqueleto_Regulación de la redisposición del citoesqueleto	5.148e-9	20/183
4	Citoesqueleto_Filamentos de actina	4.775e-7	17/176
5	Respuesta inmunitaria_Fagosoma en presentación de antígenos	2.548e-6	19/243
6	Respuesta inmunitaria_Fagocitosis	1.175e-5	17/222
7	Inflamación_Señalización de anfoterina	7.625e-5	11/118
8	Ciclo celular_Mitosis	2.233e-4	13/179
9	Inflamación_Sistema de calicreína-cinina	3.088e-4	13/185
10	Inflamación_Señalización de IL-6	3.807e-4	10/119

Tabla 8D. Enriquecimiento mediante función proteica - ausencia de recaída de cáncer de mama tiple negativo

Porcentaje Clase de proteína Función proteica en base de datos conjunto de Puntuación z En función proteica α Esperado √alor de Razón datos Real ⊏ α Z Ш 5,066 Ligandos 514 1,925E-04 4.484 2.16% 235 23844 2,961 6.38% 2.92% 15 Enzimas 49 235 2724 23844 26,85 1,825 2,103E-05 4,565 20.85% 1.80% 11.42% 23844 Cinasas 10 235 654 6,446 1,551 1,139E-01 1,427 4.26% 1.53% 2.74% Fosfatasas 1,323 1.30% 3 235 230 23844 2,267 3,958E-01 0.4918 1.28% 0.96% Proteasas 235 559 23844 5,509 1,271 3,141E-01 0,6458 2.98% 1.25% 2.34% Receptores 5 235 1565 23844 15,42 0,3242 1,553E-03 -2,759 2.13% 0.32% 6.56% Factores de 3 235 959 23844 9,452 0,3174 1,365E-02 -2,153 1.28% 0.31% 4.02% transcripción 0,8693 1,631E-03 143 235 16691 23844 164,5 -3,076 60.85% 0.86% 70.00% Otro

2.3. Clasificación basada en el estado de recidiva

Los inventores investigaron si podían detectar diferencias entre grupos con "recidiva" y "sin recidiva" en cuanto a los niveles de proteína en los tumores triples negativos mediante análisis de OPLS. Este análisis se realizó sobre 549 proteínas para las que estaba disponible información cuantitativa en todos los tumores. El modelo de OPLS, inicialmente basado en las 549 proteínas, se optimizó mediante la eliminación gradual de proteínas con valor de VIP pequeño (importancia variable en la proyección). Se realizó esto hasta que el modelo ya no se mejoraba tal como se determinó mediante el valor de p de CV-ANOVA, indicativo de la probabilidad de que el modelo sea el resultado de una posibilidad sola. El modelo de OPLS optimizado incluía 58 proteínas (p= 2.1 10⁻¹⁵) (figura 2). Entre estas proteínas, se asignaron 33 al grupo sin recaída y 26 al grupo con recaída. Se compararon estas proteínas con una base de datos que consistía en rutas de señalización de proteínas conocidas utilizando Metacore. Para el grupo "sin recidiva", se encontraron 2 rutas significativas (p<0.05): Coagulación sanguínea (p= 4.4 10⁻⁶) y Quimiotaxis_Acción inhibidora de lipoxina sobre quimiotaxis de neutrófilos inducida por fMLP (p= 0.0003). El grupo con recidiva se caracterizó por tan sólo una ruta significativa: Remodelación del citoesqueleto_Filamentos de queratina (p= 7.9 10⁻⁷) (tabla 9).

Tabla 9

		Mapas	Valor de p	Ra	zón
\ \	1	Coagulación sanguínea_ Coagulación sanguínea	4,471E-06	4	39
Sin recidi	2	Quimiotaxis_ Acción inhibidora de lipoxina sobre la quimiotaxis de neutrófilos inducida por fLMP	3,141E-04	3	46
Recidiva	1	Remodelación del citoesqueleto_ Filamentos de queratina	7,957E-07	4	36

10

15

20

5

2.4. Firma proteómica de tumores de mama triples negativos del grupo con "recidiva"

Combinando listas de proteínas obtenidas a partir de análisis univariante (con iQuantitator) y multivariante (OPLS), se generaron dos listas de proteínas que caracterizaban a los grupos con "recidiva" (9 proteínas) y "sin recidiva" (5 proteínas) de tumores de mama triples negativos (tablas 10A y B). No es posible asignar una ruta significativa para el grupo "sin recidiva" con una FDR<0.05; por otro lado, se encontró la ruta Remodelación del citoesqueleto_Filamentos de queratina (p= 1.9 10⁻⁸) para el grupo con "Recidiva", según los análisis previos para este grupo. Entre estas proteínas, se sabe que trombospondina-1 es un ligando secretado. Aunque la desmoplaquina es una proteína de la membrana plasmática, se ha descrito previamente como proteína detectable en el suero (López-Farré A.J. *et al*, 2012).

Tabla 10A. Proteínas que caracterizan la "ausencia de recidiva" para cáncer de mama triple negativo

	Biomarcadores para TNBC sin recidiva	GO uniprot	expresión	Razón de iTRAQ
WARS	Triptofanil-ARNt sintetasa	mitocondria	sobreexpresada	1.6
SAMHD1	Proteína 1 que contiene dominio SAM y dominio HD	núcleo	sobreexpresada	1.4
HSPE1	Proteína de choque térmico de 10 kDa	mitocondria	sobreexpresada	1.6
IGHG1	Región de cadena C de Ig gamma-1	secretada	subexpresada	0.4
HK1	hexocinasa-1	citosol	sobreexpresada	1.5

Tabla 10B. Proteínas que caracterizan la "recidiva" para cáncer de mama triple negativo

Bion	narcadores para TNBC con recidiva	GO uniprot	expresión	Razón de iTRAQ
DSP	Desmoplaquina	membrana plasm.	sobreexpresada	1.8
ARHGAP1	Proteína 1 activante de Rho GTPasa	citosol	sobreexpresada	1.3
EPPK1	epiplaquina	citoplasma	sobreexpresada	1.4
KRT19	Queratina de tipo I del citoesqueleto 19	periferia celular	sobreexpresada	2.1
THBS1	Trombospondina-1	secretada	sobreexpresada	1.7
KRT8	Queratina de tipo II del citoesqueleto 8	filamento de quer.	sobreexpresada	2.7
IDH2	Isocitrato deshidrogenasa [NADP]	mitocondria	sobreexpresada	1.7
G6PD	Glucosa-6-fosfato 1-deshidrogenasa	citoplasma	sobreexpresada	1.7
DPYSL3	Proteína 3 relacionada con	citoplasma	sobreexpresada	1.9
	dihidropirimidinasa		·	

2.5. Análisis de rutas de tumores individuales

10

15

20

25

30

35

40

También se realizó análisis de rutas sobre cada una de las 80 muestras tumorales por separado. Mediante esto, los inventores obtuvieron una huella de las rutas afectadas por cada tumor. Todas las proteínas con un nivel que difiere significativamente del nivel de proteína medio entre todos los tumores del "grupo con recidiva" o tumores del "grupo sin recidiva" se incluyeron en el análisis de tumores individuales; en total 1078 proteínas. Se mapearon las intensidades relativas de estas proteínas específicas de tumor en los mapas de rutas de la base de datos de Metacore. El análisis identificó las rutas que eran las más significativas en cada uno de los 80 conjuntos de datos de tumores individuales, medidas mediante la ruta exacta de Fisher. Los inventores utilizaron las clasificaciones de asociación como variables de entrada en el análisis multivariante para la comparación de muestras, basándose por tanto en el enriquecimiento de rutas. Para detectar alteraciones de rutas conectadas al riesgo de recidiva, los inventores realizaron un análisis de OLPLS sobre los datos de asociación de rutas. Se optimizó el modelo de OPLS tal como se describió en el análisis de grupos. Los inventores realizaron una eliminación gradual de variables (es decir, rutas) con menos influencia sobre el rendimiento de separación del modelo hasta que el modelo ya no se mejoraba. La ruta más significativa para el "grupo sin recidiva" es Glicólisis. Las rutas mejor clasificadas en el grupo con recidiva fueron Remodelación del citoesqueleto_Filamentos de queratina y Uniones Gap.

2.6. Validación de la expresión de proteína desregulada

Para proceder con las primeras etapas en la validación del análisis de EM, los inventores confirmaron la expresión diferencial de dos proteínas desreguladas mediante análisis de inmunotransferencia de tipo Western utilizando muestras de la misma cohorte de tumor de mama triple negativo. Se seleccionaron las proteínas trombospondina-1 y triptofanil-ARNt sintetasa para la validación basándose en su significancia potencial en la tumorigénesis del cáncer de mama. Se encontró que la expresión de trombospondina-1 estaba elevada en tumores de mama primarios del grupo "con recaída" en comparación con los tumores del grupo "sin recaída". A la inversa, se encontró que triptofanil-ARNt sintetasa estaba elevada en el grupo "sin recidiva" en comparación con

el grupo "con recidiva" (figura 3).

10

15

20

25

30

35

40

45

50

55

65

2.7. Valor de pronóstico de los marcadores

Se evaluó el valor de pronóstico de los marcadores a través de la estimación de la supervivencia global (OS) utilizando el método de Kaplan-Meier. Se dividieron los pacientes en dos categorías basándose en la mediana de los datos de expresión de iTraq para cada marcador: expresión alta frente a baja.

Para el grupo "sin recidiva", el tumor de pacientes con altos niveles de expresión de triptofanil-ARNt sintetasa (WARS), proteína de choque térmico de 10 kDa (HSPE1), proteína 1 que contiene dominio SAM y dominio HD (SAMHD1) y hexocinasa-1 (HK1) experimentó una DFS (supervivencia libre de enfermedad) significativamente mejor en comparación con los de baja expresión (p= 0.0017, p=0.0042, p= 0.0073, p= 0.0124 respectivamente), y a la inversa, el tumor de pacientes con bajos niveles de expresión de región de cadena C de lg gamma-1 (IGHG1) mostró una DFS significativamente mejor en comparación los de alta expresión (p= 0.0339), de acuerdo con los resultados de iTraq (figura 4). Además, tumores con alta expresión de triptofanil-ARNt sintetasa (WARS) (p=0.0026), proteína de choque térmico de 10 kDa (HSPE1) (p=0.0067) y región de cadena C de lg gamma-1 (IGHGI) (p=0.031) también estaban asociados con tasas de OS (supervivencia global) superiores (figura 5).

Para el grupo "con recidiva", los tumores de pacientes con altos niveles de expresión de cualquiera de las 9 proteínas experimentaron una DFS significativamente peor en comparación con los de baja expresión (p<0.0001, p=0.0001, p=0.0005, p<0.0001, p=0.021, p=0.0051, p=0.020, p=0.0457 y p=0.031) para desmoplaquina (DSP), trombospondina-1 (THBS1), glucosa-6-fosfato 1-deshidrogenasa (G6PD), isocitrato deshidrogenasa [NADP] (IDH2), queratina de tipo I del citoesqueleto 19 (KRT19), queratina de tipo II del citoesqueleto 8 (KRT8), epiplaquina (EPPK1), proteína 1 activante de Rho GTPasa (ARHGAP1) y proteína 3 relacionada con dihidropirimidinasa (DPYSL3), respectivamente (figura 6). Además, tumores con alta expresión de desmoplaquina (DSP) (p= 0.001), trombospondina-1 (THSB1) (p= 0.0001), glucosa-6-fosfato 1-deshidrogenasa (G6PD) (p=0.0014) e isocitrato deshidrogenasa [NADP] (IDH2) (p=0.0005) estaban también asociados con menores tasas de OS (figura 7). Por consiguiente, las respectivas razones de riesgo para la progresión de la enfermedad o muerte eran también significativamente mayores para pacientes cuyos tumores presentaban alta expresión de estas proteínas. Específicamente, elevados trombospondina-1 (THSB1) (HR= 3.91 - HR: razón de tasa de riesgo), desmoplaquina (DSP) (HR=4.36), glucosa-6-fosfato 1-deshidrogenasa (G6PD) (HR=4.18), isocitrato deshidrogenasa [NADP] (IDH2) (HR=4.42), queratina de tipo I del citoesqueleto 19 (KRT19) (HR=2.97), queratina de tipo II del citoesqueleto 8 (KRT8) (HR=2.70), epiplaquina (EPPK1) (HR=2.47), proteína 1 activante de Rho GTPasa (ARHGAP1) (HR=5.06) o proteína 3 relacionada con dihidropirimidinasa (DPYSL3) (HR=2.98) estaban asociados con un riesgo aumentado de progresión de la enfermedad. Se observaron asociaciones similares para un riesgo aumentado de muerte para trombospondina-1 (THSB1) (HR= 4.30), desmoplaquina (DSP) (HR=3.67), glucosa-6-fosfato 1-deshidrogenasa (G6PD) (HR=3.90), isocitrato deshidrogenasa [NADP] (IDH2) (HR=3.32) o queratina de tipo II del citoesqueleto 8 (KRT8) (HR= 2.50). En oposición, las razones de riesgo para el grupo sin recaída fueron significativamente mayores para pacientes cuyos tumores presentaban alta expresión de triptofanil-ARNt sintetasa (WARS), proteína de choque térmico de 10 kDa (HSPE1), proteína 1 que contiene dominio SAM y dominio HD (SAMHD1), hexocinasa-1 (HK1) y una baja expresión de región de cadena C de Ig gamma-1 (IGHG1). Específicamente, elevados triptofanil-ARNt sintetasa (WARS) (HR= 3.12) y proteína de choque térmico de 10 kDa (HSPE1) (3.67) estaban asociados con un riesgo débil de progresión de la enfermedad o muerte.

La figura 8 resume las curvas de Kaplan-Meier para tres proteínas secretadas: desmoplaquina (DSP), THSB1 y región de cadena C de lg gamma-1 (IGHG1).

2.8. Validación preliminar en muestras de suero derivadas de pacientes

Los inventores cuestionaron entonces si cualquiera de estas proteínas secretadas podía medirse en el suero de pacientes con TNBC, notablemente en pacientes con recidiva de TNBC.

La determinación de la cantidad de desmoplaquina en el suero de la cohorte de TNBC correspondiente a los tumores triples negativos estudiados en este artículo mostró que la desmoplaquina está más concentrada en el grupo "con recidiva" (p=0.01) que en el grupo "sin recidiva", según los resultados proteómicos dados a conocer en la presente memoria (figura 9).

Puesto que estaban disponibles muy pocas muestras de suero en esta cohorte, los inventores extendieron la determinación de la expresión de desmoplaquina en una cohorte de suero de TNBC más nueva. Basándose en este nueva cohorte, los inventores demostraron una cantidad significativamente sobreexpresada de desmoplaquina en sueros de TNBC en comparación con controles sanos (p=0.0008).

3. Discusión

A pesar de los muchos avances recientes en tratamientos de tumores de mama a través de terapias dirigidas, no

existe ningún tratamiento específico para tumores de mama triples negativos y no hay ningún marcador molecular de pronóstico que prediga si un tumor se comportará agresivamente o permanecerá indolente. Está muy claro que la biología del tumor desempeña un papel significativo en el comportamiento del tumor resultante. Desafortunadamente, los tumores primarios de mama triples negativos que se colocan en la misma categoría de pronóstico basándose en parámetros utilizados actualmente pueden comportarse de manera diferente. La hipótesis de los inventores es que la biología subyacente de estos tumores y las diferencias en su detalle determinarán el potencial de agresividad de un tumor particular. Además, estas diferencias biológicas pueden utilizarse para identificar marcadores moleculares nuevos que pueden ser útiles para propósitos de diagnóstico, pronóstico o predictivos, cuyo éxito allanaría el camino para una nueva era de medicina personalizada en cáncer de mama.

En este estudio, los inventores realizaron una obtención del perfil proteómico cuantitativo de 80 tumores de mama triples negativos para identificar, en primer lugar, la expresión de proteína diferencial entre tumores de mama triples negativos y tejidos normales y, en segundo lugar, identificar posibles marcadores de pronóstico de recaída. Según lo que conocen los inventores, este estudio representa el análisis proteómico más grande de tumores de mama triples negativos jamás realizado.

A partir de todos los tumores de mama triples negativos, se identificaron 219 proteínas con expresión diferencial significativa en tumores en comparación con tejidos normales. Entre estas proteínas, se había notificado previamente que 58 proteínas estaban implicadas en tumores de mama.

Otro objetivo de este estudio era identificar la expresión de proteína diferencial entre el grupo de pacientes sin recidiva y el grupo de pacientes con recidiva. Los inventores caracterizaron 5 proteínas asociadas con el grupo sin recidiva grupo (es decir, hexocinasa-1, proteína de choque térmico de 10 kDa, región de cadena C de Ig gamma-1, proteína 1 que contiene dominio SAM y dominio HD y triptofanil-ARNt sintetasa) y 9 proteínas asociadas con el grupo con recidiva (es decir, desmoplaquina, proteína 1 activante de Rho GTPasa, epiplaquina, glucosa-6-fosfato 1-deshidrogenasa, isocitrato deshidrogenasa [NADP], queratina de tipo I del citoesqueleto 19, queratina de tipo I del citoesqueleto 8, proteína 3 relacionada con dihidropirimidinasa y trombospondina-1). Se propone por tanto en la presente memoria que el grupo de proteínas anterior es una firma de proteínas del grupo sin recidiva y grupo con recidiva de tumores de mama triples negativos, respectivamente.

Entre estas proteínas, se mostró que la desmoplaquina podía detectarse fácilmente en el suero de pacientes, y también se expresada de manera diferencial en el grupo "con recidiva" en comparación con el grupo "sin recidiva". Tal como se mencionó previamente, esta proteína es un componente clave de desmosomas, y pertenece a la ruta Remodelación del citoesqueleto_Filamentos de queratina y Uniones Gap encontrada en el análisis de Metacore, lo que está de acuerdo con el hecho de que esta ruta es la ruta mejor clasificada que caracteriza al grupo "con recidiva" en el enfoque proteómico. Al expandir los ensayos en una cohorte más grande de sueros de pacientes con cáncer de mama, los inventores demostraron que esta proteína está sobreexpresada de manera diferencial en sueros de TNBC en comparación con controles sanos.

Bibliografía

10

15

20

25

30

35

40

50

55

60

Brenton J.D., Carey L.A., Ahmed A.A., y Caldas C. (2005). J. Clin. Oncol.; 23(29):7350-60.

45 Hudis C.A., y Gianni L. (2011). Oncologist; 16 supl. 1:1-11.

Ernoult E., Gamelin E., y Guette C. (2008). Proteome Sci.; 13; 6:27.

Ernoult E., Bourreau A., Gamelin E., Guette C. (2010). J Biomed Biotechnol.; 2010:927917.

Rakha E.A., Reis-Filho J.S., y Ellis I.O. (2008). J. Clin. Oncol.; 26(15):2568-81.

López-Farré A.J., Zamorano-León J.J., Segura A., Mateos-Cáceres P.J., Modrego J., Rodríguez-Sierra P., Calatrava L., Tamargo J., y Macaya C. (2012). J.Neurochem.; 121(2):314-25.

Hou H.W., Warkiani M.E., Khoo B.L., Li Z.R., Soo R.A., Tan D.S., Lim W.T., Han J., Bhagat A.A., Lim C.T. (2013). Sci. Rep.; 3:1259.

Reeves J.R. y Bartlett J.M.S. (2000). Methods in Molecular Medicine; vol. 39, capítulo 51, 471-483.

Schena M. (2005). Protein microarrays; Jones and Bartlett Learning.

Hamelinck D., Zhou H., Li L., Verweij C., Dillon D., Feng Z., Costa J., y Haab B.B. (2005). Mol. Cell Proteomics; 4(6):773-84.

Köhler G. y Milstein C. (1975). Nature; 256 (5517): 495-7.

65

- Kozbor D., Roder J.C. (1983). Immunology Today; 4: 72-79.
- Roder J.C., Cole S.P., y Kozbor D. (1986). Methods Enzymol.; 121:140-167.
- 5 Huse W.D., Sastry L., Iverson S.A., Kang A.S., Alting-Mees M., Burton D.R., Benkovic S.J., y Lerner R.A. (1989). Science; 246:1275-1281.
 - Weigelt B. y Bissell M.J. (2008). Semin Cancer Biol.; 18(5): 311-321.
- 10 Kenny P.A., Lee G.Y., Myers C.A., Neve R.M., Semeiks J.R., Spellman P.T., Lorenz K., Lee E.H., Barcellos-Hoff M.H., Petersen O.W., Gray J.W., y Bissell M.J. (2007). Mol Oncol.; 1(1):84-96.
 - Li Q., Chow A.B., y Mattingly R.R. (2010). J Pharmacol Exp Ther.; 332(3): 821-828.
- 15 Liu B., Fan Z., Edgerton S.M., Deng X.S., Alimova I.N., Lind S.E., y Thor A.D. (2009). Cell Cycle; 8(13):2031-40.
 - Mitchell P. (2002). Nature Biotech; 20: 225-229.
- 20 Haab B.B. (2005). Mol Cell Proteomics; 4(4):377-83.
 - Eckel-Passow J.E., Hoering A., Therneau T.M., y Ghobrial I. (2005). Cancer Res.; 65(8):2985-9.
- 25 Kingsmore S.F. (2006). Nat Rev Drug Discov.; 5(4):310-20.
 - Chandra H., Reddy P.J., y Srivastava S. (2011). Expert Rev Proteomics; 8(1):61-79.
 - Wisniewski J. R., Zougman A., Nagaraj N., y Mann M. (2009). Nat. Methods; 6 (5): 359-62.
- 30
 Ernoult E., Guette C. (2011) OFFGEL-Isoelectric Focussing Fractionation for the Analysis of Complex Proteome. Neuroproteomics, editado por Ka Wan Li, Humana Press Inc, U.S. 145-158.
- Shilov I.V., Seymour S.L., Patel A.A., Loboda A., Tang W.H., Keating S.P., Hunter C. L., Nuwaysir L. M., y Schaeffer D. A. (2007). Mol Cell Proteomics; 6: 1638-1655.
 - Schwacke J.H., Hill E.G., Krug E.L., Comte-Walters S., y Schey K.L. (2009). BMC Bioinformatics; 10: 342.
- Grant J. E., Bradshaw A. D., Schwacke J. H., Baicu C. F., Zile M. R., y Schey K. L. (2009). J Proteome Res; 8: 4252-4263.
 - Besson D., Pavageau A.H., Valo I., Bourreau A., Bélanger A., Eymerit-Morin C., Moulière A., Chassevent A., Boisdron-Celle M., Morel A., Solassol J., Campone M., Gamelin E., Barre B., Coqueret O., y Guette C. (2011). Mol Cell Proteomics; 10(12): M111.009712.
- Zeeberg B. R., Qin H., Narasimhan S., Sunshine M., Cao H., Kane D.W., Reimers M., Stephens R.M., Bryant D., Burt S.K., Elnekave E., Hari D. M., Wynn T.A., Cunningham-Rundles C., Stewart D.M., Nelson D., y Weinstein J.N. (2005). BMC Bioinformatics; 6: 168.
- 50 Lista de secuencias
 - <110> INSTITUT DE CANCEROLOGIE DE L'OUEST UNIVERSITE D'ANGERS INSTITUT NATIONAL DE LA SANTE ET DE LA RECHERCHE MEDICALE (INSERM)
- 55 <120> MÉTODO PARA EL DIAGNÓSTICO Y PRONÓSTICO IN VITRO DE RECAÍDA DE CÁNCER DE MAMA TRIPLE NEGATIVO
 - <130> 366562 D33045
- 60 <150> Documento EP 13306603.5 <151> 22-11-2013
 - <160> 24
- 65 <170> PatentIn versión 3.5

<210> 1 <211> 2871 <212> PRT <213> Homo sapiens <220> <221> misc_feature <223> Isoforma 1 de desmoplaquina 10 Met Ser Cys Asn Gly Gly Ser His Pro Arg Ile Asn Thr Leu Gly Arg 5 15 10 Met Ile Arg Ala Glu Ser Gly Pro Asp Leu Arg Tyr Glu Val Thr Ser 20 25 Gly Gly Gly Thr Ser Arg Met Tyr Tyr Ser Arg Arg Gly Val Ile 35 40 Thr Asp Gln Asn Ser Asp Gly Tyr Cys Gln Thr Gly Thr Met Ser Arg 50 55 60 His Gln Asn Gln Asn Thr Ile Gln Glu Leu Leu Gln Asn Cys Ser Asp 70 Cys Leu Met Arg Ala Glu Leu Ile Val Gln Pro Glu Leu Lys Tyr Gly Asp Gly Ile Gln Leu Thr Arg Ser Arg Glu Leu Asp Glu Cys Phe Ala 100

Gln Ala Asn Asp Gln Met Glu Ile Leu Asp Ser Leu Ile Arg Glu Met

125

120

115

Arg	Gln 130	Met	Gly	Gln	Pro	Cys 135	Asp	Ala	Tyr	Gln	Lys 140	Arg	Leu	Leu	Gln
Leu 145	Gln	Glu	Gln	Met	Arg 150	Ala	Leu	Tyr	Lys	Ala 155	Ile	Ser	Val	Pro	Arg 160
Val	Arg	Arg	Ala	Ser 165	Ser	Lys	Gly	Gly	Gly 170	Gly	Tyr	Thr	Cys	Gln 175	Ser
Gly	Ser	Gly	Trp 180	Asp	Glu	Phe	Thr	Lys 185	His	Val	Thr	Ser	Glu 190	Cys	Leu
Gly	Trp	Met 195	Arg	Gln	Gln	Arg	Ala 200	Glu	Met	Asp	Met	Val 205	Ala	Trp	Gly
Val	Asp 210	Leu	Ala	Ser	Val	Glu 215	Gln	His	Ile	Asn	Ser 220	His	Arg	Gly	Ile
His 225	Asn	Ser	Ile	Gly	Asp 230	Tyr	Arg	Trp	Gln	Leu 235	Asp	Lys	Ile	Lys	Ala 240
Asp	Leu	Arg	Glu	Lys 245	Ser	Ala	Ile	Tyr	Gln 250	Leu	Glu	Glu	Glu	Tyr 255	Glu
Asn	Leu	Leu	Lys 260	Ala	Ser	Phe	Glu	Arg 265	Met	Asp	His	Leu	Arg 270	Gln	Leu
Gln	Asn	I1e 275	Ile	Gln	Ala	Thr	Ser 280	Arg	Glu	Ile	Met	Trp 285	Ile	Asn	Asp
Cys	Glu 290	Glu	Glu				Tyr	_	-		Asp 300	_	Asn	Thr	Asn
Ile 305	Ala	Gln	Lys	Gln	Glu 310	Ala	Phe	Ser	Ile	Arg 315	Met	Ser	Gln	Leu	Glu 320
Val	Lys	Glu	Lys	Glu 325	Leu	Asn	Lys	Leu	Lys 330	Gln	Glu	Ser	Asp	Gln 335	Leu
Val	Leu	Asn	Gln 340	His	Pro	Ala	Ser	Asp 345	Lys	Ile	Glu	Ala	Tyr 350	Met	Asp
Thr	Leu	Gln 355	Thr	Gln	Trp	Ser	Trp 360	Ile	Leu	Gln	Ile	Thr 365	Lys	Cys	Ile
Asp	Val 370	His	Leu	Lys	Glu	Asn 375	Ala	Ala	Tyr	Phe	Gln 380	Phe	Phe	Glu	Glu

Ala 385	Gln	Ser	Thr	Glu	Ala 390	Tyr	Leu	Lys	Gly	Leu 395	Gln	Asp	Ser	Ile	Arg 400
Lys	Lys	Tyr	Pro	Cys 405	Asp	Lys	Asn	Met	Pro 410	Leu	Gln	His	Leu	Leu 415	Glu
Gln	Ile	Lys	Glu 420	Leu	Glu	Lys	Glu	Arg 425	Glu	Lys	Ile	Leu	Glu 430	Tyr	Lys
Arg	Gln	Val 435	Gln	Asn	Leu	Val	Asn 440	Lys	Ser	Lys	Lys	Ile 445	Val	Gln	Leu
Lys	Pro 450	Arg	Asn	Pro	Asp	Tyr 455	Arg	Ser	Asn	Lys	Pro 460	Ile	Ile	Leu	Arg
Ala 465	Leu	Суз	Asp	Tyr	Lys 470	Gln	Asp	Gln	Lys	Ile 475	Val	His	Lys	Gly	Asp 480
Glu	Суз	Ile	Leu	Lys 485	Asp	Asn	Asn	Glu	Arg 490	Ser	Lys	Trp	Tyr	Val 495	Thr
Gly	Pro	Gly	Gl y 500	Val	Asp	Met	Leu	Val 505	Pro	Ser	Val	Gly	Leu 510	Ile	Ile
Pro	Pro	Pro 515	Asn	Pro	Leu	Ala	Val 520	Asp	Leu	Ser	Cys	Lys 525	Ile	Glu	Gln
Tyr	Tyr 530	Glu	Ala	Ile	Leu	Ala 535	Leu	Trp	Asn	Gln	Leu 540	Tyr	Ile	Asn	Met
Lys 545	Ser	Leu	Val	Ser	Trp 550	His	Tyr	Cys	Met	Ile 555	Asp	Ile	Glu	Lys	Ile 560
Arg	Ala	Met	Thr	Ile 565	Ala	Lys	Leu	Lys	Thr 570	Met	Arg	Gln	Glu	Asp 575	Tyr
Met	Lys	Thr	Ile 580	Ala	Asp	Leu	Glu	Leu 585	His	Tyr	Gln	Glu	Phe 590	Ile	Arg
Asn	Ser	Gln 595	Gly	Ser	Glu	Met	Phe 600	Gly	Asp	Asp	Asp	Lys 605	Arg	Lys	Ile
Gln	Ser 610	Gln	Phe	Thr	Asp	Ala 615	Gln	Lys	His	Tyr	Gln 620	Thr	Leu	Val	Ile
Gln	Leu	Pro	Gly	Tyr	Pro	Gln	His	Gln	Thr	Val	Thr	Thr	Thr	Glu	Ile

625					630					635					640
Thr	His	His	Gly	Thr 645	Cys	Gln	Asp	Val	A sn 650	His	Asn	Lys	Val	Ile 655	Glu
Thr	Asn	Arg	Glu 660	Asn	Asp	Lys	Gln	Glu 665	Thr	Trp	Met	Leu	Met 670	Glu	Leu
Gln	Lys	Ile 675	Arg	Arg	Gln	Ile	Glu 680	His	Суѕ	Glu	Gly	Arg 685	Met	Thr	Leu
Lys	Asn 690	Leu	Pro	Leu	Ala	Asp 695	Gln	Gly	Ser	Ser	His 700	His	Ile	Thr	Val
Lys 705	Ile	Asn	Glu	Leu	Lys 710	Ser	Val	Gln	Asn	Asp 715	Ser	Gln	Ala	Ile	Ala 720
Glu	Val	Leu	Asn	Gln 725	Leu	Lys	Asp	Met	Leu 730	Ala	Asn	Phe	Arg	Gly 735	Ser
Glu	Lys	Tyr	Cys 740	Tyr	Leu	Gln	Asn	Glu 745	Val	Phe	Gly	Leu	Phe 750	Gln	Lys
Leu	Glu	Asn 755	Ile	Asn	Gly	Val	Thr 760	Asp	Gly	Tyr	Leu	Asn 765	Ser	Leu	Cys
Thr	Val 770	Arg	Ala	Leu	Leu	Gln 775	Ala	Ile	Leu	Gln	Thr 780	Glu	Asp	Met	Leu
Lys 785	Val	Tyr	Glu	Ala	A rg 790	Leu	Thr	Glu	Glu	Glu 795	Thr	Val	Cys	Leu	Asp 800
Leu	Asp	Lys	Val	Glu 805	Ala	Tyr	Arg	Суз	Gly 810	Leu	Lys	Lys	Ile	Lys 815	Asn
Asp	Leu	Asn	Leu 820	Lys	Lys	Ser	Leu	Leu 825	Ala	Thr	Met	Lys	Thr 830	Glu	Leu
Gln	Lys	Ala 835	Gln	Gln	Ile	His	Ser 840	Gln	Thr	Ser	Gln	Gln 845	Tyr	Pro	Leu
Tyr	Asp 850	Leu	Asp	Leu	Gly	Lys 855	Phe	Gly	Glu	Lys	Val 860	Thr	Gln	Leu	Thr
Asp 865	Arg	Trp	Gln	Arg	Ile 870	Asp	Lys	Gln	Ile	Asp 875	Phe	Arg	Leu	Trp	Asp 880

- Leu Glu Lys Gln Ile Lys Gln Leu Arg Asn Tyr Arg Asp Asn Tyr Gln 885 890 895
- Ala Phe Cys Lys Trp Leu Tyr Asp Ala Lys Arg Arg Gln Asp Ser Leu 900 905 910
- Glu Ser Met Lys Phe Gly Asp Ser Asn Thr Val Met Arg Phe Leu Asn 915 920 925
- Glu Gln Lys Asn Leu His Ser Glu Ile Ser Gly Lys Arg Asp Lys Ser 930 935 940
- Glu Glu Val Gln Lys Ile Ala Glu Leu Cys Ala Asn Ser Ile Lys Asp 945 950 955 960
- Tyr Glu Leu Gln Leu Ala Ser Tyr Thr Ser Gly Leu Glu Thr Leu Leu 965 970 975
- Asn Ile Pro Ile Lys Arg Thr Met Ile Gln Ser Pro Ser Gly Val Ile 980 985 990
- Leu Gln Glu Ala Ala Asp Val His Ala Arg Tyr Ile Glu Leu Leu Thr 995 1000 1005
- Arg Ser Gly Asp Tyr Tyr Arg Phe Leu Ser Glu Met Leu Lys Ser 1010 1020
- Leu Glu Asp Leu Lys Leu Lys Asn Thr Lys Ile Glu Val Leu Glu 1025 1030 1035
- Glu Glu Leu Arg Leu Ala Arg Asp Ala Asn Ser Glu Asn Cys Asn 1040 1045 1050
- Lys Asn Lys Phe Leu Asp Gln Asn Leu Gln Lys Tyr Gln Ala Glu 1055 1060 1065
- Cys Ser Gln Phe Lys Ala Lys Leu Ala Ser Leu Glu Glu Leu Lys 1070 1075 1080
- Arg Gln Ala Glu Leu Asp Gly Lys Ser Ala Lys Gln Asn Leu Asp 1085 1090 1095
- Lys Cys Tyr Gly Gln Ile Lys Glu Leu Asn Glu Lys Ile Thr Arg 1100 1105 1110
- Leu Thr Tyr Glu Ile Glu Asp Glu Lys Arg Arg Arg Lys Ser Val 1115 1120 1125

Glu	Asp 1130	Arg	Phe	Asp	Gln	Gln 1135	Lys	Asn	Asp	Tyr	Asp 1140	Gln	Leu	Gln
Lys	Ala 1145	Arg	Gln	Cys	Glu	Lys 1150		Asn	Leu	Gly	Trp 1155	Gln	Lys	Leu
Glu	Ser 1160	Glu	Lys	Ala	Ile	Lys 1165	Glu	Lys	Glu	Tyr	Glu 1170	Ile	Glu	Arg
Leu	Arg 1175	Val	Leu	Leu	Gln	Glu 1180		Gly	Thr	Arg	Lys 1185	Arg	Glu	Tyr
Glu	Asn 1190	Glu	Leu	Ala	Lys	Val 1195		Asn	His	Tyr	Asn 1200		Glu	Met
Ser	As n 1205		Arg	Asn	Lys	Tyr 1210		Thr	Glu	Ile	Asn 1215	Ile	Thr	Lys
Thr	Thr 1220	Ile	Lys	Glu	Ile	Ser 1225		Gln	Lys	Glu	Asp 1230	_	Ser	Lys
Asn	Leu 1235	Arg	Asn	Gln	Leu	Asp 1240	Arg	Leu	Ser	Arg	Glu 1245	Asn	Arg	Asp
Leu	Lys 1250	Asp	Glu	Ile	Val	Arg 1255	Leu	Asn	Asp	Ser	Ile 1260	Leu	Gln	Ala
	1250	_				1255			_					
Thr	1250 Glu 1265	Gln	Arg	Arg	Arg	1255 Ala 1270	Glu	Glu	Asn	Ala	1260 Leu	Gln	Gln	Lys
Thr	1250 Glu 1265 Cys 1280	Gln Gly	Arg Ser	A rg	Arg	1255 Ala 1270 Met 1285	Glu Gln	Glu Lys	Asn Lys	Ala Gln	1260 Leu 1275	Gln Leu	Gln Glu	Lys
Thr Ala Glu	1250 Glu 1265 Cys 1280 Leu 1295	Gln Gly Lys	Arg Ser Gln	Arg Glu Val	Arg Ile Met	1255 Ala 1270 Met 1285 Gln 1300	Glu Gln Gln	Glu Lys Arg	Asn Lys Ser	Ala Gln Glu	1260 Leu 1275 His 1290	Gln Leu Asn	Gln Glu Ala	Lys Ile Arg
Thr Ala Glu	1250 Glu 1265 Cys 1280 Leu 1295 Lys 1310	Gln Gly Lys Gln	Arg Ser Gln Ser	Arg Glu Val Leu	Arg Ile Met Glu	1255 Ala 1270 Met 1285 Gln 1300 Glu 1315	Glu Gln Gln Ala	Glu Lys Arg	Asn Lys Ser	Ala Gln Glu Thr	1260 Leu 1275 His 1290 Asp 1305	Gln Leu Asn	Glu Ala Asp	Lys Ile Arg
Thr Ala Glu His	1250 Glu 1265 Cys 1280 Leu 1295 Lys 1310 Lys 1325	Gln Gly Lys Gln	Arg Ser Gln Ser	Arg Glu Val Leu Glu	Arg Ile Met Glu	Ala 1270 Met 1285 Gln 1300 Glu 1315	Glu Gln Ala Lys	Glu Lys Arg Ala	Asn Lys Ser Lys	Ala Gln Glu Thr	1260 Leu 1275 His 1290 Asp 1305 Ile 1320 Gln	Gln Leu Asn Gln	Glu Ala Asp	Lys Ile Arg Lys

Glu Ile 13'		Ile	Thr	Lys	Thr 1375		Ile	His	Gln	Leu 1380	Thr	Met	Gln
Lys Glu 13		. Asp	Thr	Ser	Gly 1390	_	Arg	Ala	Gln	Ile 1395	_	Asn	Leu
Thr Arc		Asn	Arg	Ser	Leu 1405	Ser	Glu	Glu	Ile	Lys 1410	Arg	Leu	Lys
Asn Th:		Thr	Gln	Thr	Thr 1420		Asn	Leu	Arg	Arg 1425	Val	Glu	Glu
Asp Ile		Gln	Gln		Ala 1435	Thr	Gly	Ser	Glu	Val 1440	Ser	Gln	Arg
Lys Gla		Leu	Glu	Val	Glu 1450		Arg	Gln	Val	Thr 1455	Gln	Met	Arg
Thr Glu		. Ser	Val	Arg	Tyr 1465	_	Gln	Ser	Leu	Asp 1470	Asp	Ala	Ala
Lys Th: 14		Gln	Asp	Lys	Asn 1480	Lys	Glu	Ile	Glu	Arg 1485	Leu	Lys	Gln
Leu Ile 14	_	Lys	Glu	Thr	Asn 1495	_	Arg	Lys	Cys	Leu 1500	Glu	Asp	Glu
Asn Ala	_	Leu	Gln	Arg	Val 1510		Tyr	Asp	Leu	Gln 1515	Lys	Ala	Asn
Ser Ser 15		Thr	Glu	Thr	Ile 1525	Asn	Lys	Leu	Lys	V al 1530	Gln	Glu	Gln
Glu Let 15		Arg	Leu	Arg	Ile 1540	Asp	Tyr	Glu	Arg	Val 1545	Ser	Gln	Glu
Arg Th:		Lys	Asp	Gln	Asp 1555	Ile	Thr	Arg	Phe	Gln 1560	Asn	Ser	Leu
Lys Glu		Gln	Leu	Gln	Lys 1570	Gln	Lys	Val	Glu	Glu 1575	Glu	Leu	Asn
Arg Let	_	Arg	Thr	Ala	Ser 1585	Glu	Asp	Ser	Cys	Lys 1590	Arg	Lys	Lys
Leu Gl	ı Glu	Glu	Leu	Glu	Gly	Met	Arg	Arg	Ser	Leu	Lys	Glu	Gln

	1595					1600					1605			
Ala	Ile 1610	Lys	Ile	Thr	Asn	Leu 1615	Thr	Gln	Gln	Leu	Glu 1620	Gln	Ala	Ser
Ile	Val 1625	Lys	Lys	Arg	Ser	Glu 1630		Asp	Leu	Arg	Gln 1635	Gln	Arg	Asp
Val	Leu 1640	Asp	Gly	His	Leu	Arg 1645	Glu	Lys	Gln	Arg	Thr 1650	Gln	Glu	Glu
Leu	Arg 1655	_	Leu	Ser	Ser	Glu 1660		Glu	Ala	Leu	Arg 1665	Arg	Gln	Leu
Leu	Gln 1670		Gln	Glu	Ser	Val 1675	_	Gln	Ala	His	Leu 1680	Arg	Asn	Glu
His	Phe 1685	Gln	Lys	Ala	Ile	Glu 1690	Asp	Lys	Ser	Arg	Ser 1695	Leu	Asn	Glu
Ser	Lys 1700	Ile	Glu	Ile	Glu	Arg 1705	Leu	Gln	Ser	Leu	Thr 1710	Glu	Asn	Leu
Thr	Lys 1715	Glu	His	Leu	Met	Leu 1720	Glu	Glu	Glu	Leu	Arg 1725	Asn	Leu	Arg
Leu	Glu 1730	_	Asp	Asp	Leu	Arg 1735		Gly	Arg	Ser	Glu 1740	Ala	Asp	Ser
Asp	Lys 1745	Asn	Ala	Thr	Ile	Leu 1750	Glu	Leu	Arg	Ser	Gln 1755	Leu	Gln	Ile
Ser	Asn 1760	Asn	Arg	Thr	Leu	Glu 1765	Leu	Gln	Gly	Leu	Ile 1770	Asn	Asp	Leu
Gln	Arg 1775	Glu	Arg	Glu	Asn	Leu 1780	Arg	Gln	Glu	Ile	Glu 1785	Lys	Phe	Gln
Lys	Gln 1790	Ala	Leu	Glu	Ala	Ser 1795	Asn	Arg	Ile	Gln	Glu 1800	Ser	Lys	Asn
Gln	Cys 1805	Thr	Gln	Val	Val	Gln 1810	Glu	Arg	Glu	Ser	Leu 1815	Leu	Val	Lys
Ile	Lys 1820	Val	Leu	Glu	Gln	Asp 1825	Lys	Ala	Arg	Leu	Gln 1830	Arg	Leu	Glu

Asp	Glu 1835		Asn	Arg	Ala	Lys 1840		Thr	Leu	Glu	Ala 1845	Glu	Thr	Arg
Val	Lys 1850	Gln	Arg	Leu	Glu	Cys 1855		Lys	Gln	Gln	Ile 1860	Gln	Asn	Asp
Leu	Asn 1865	Gln	Trp	Lys	Thr	Gln 1870	Tyr	Ser	Arg	Lys	Glu 1875	Glu	Ala	Ile
Arg	Lys 1880	Ile	Glu	Ser	Glu	Arg 1885	Glu	Lys	Ser	Glu	Arg 1890	Glu	Lys	Asn
Ser	Leu 1895	Arg	Ser	Glu	Ile	Glu 1900	Arg	Leu	Gln	Ala	Glu 1905	Ile	Lys	Arg
Ile	Glu 1910	Glu	Arg	Cys	Arg	Arg 1915		Leu	Glu	Asp	Ser 1920	Thr	Arg	Glu
Thr	Gln 1925	Ser	Gln	Leu	Glu	Thr 1930	Glu	Arg	Ser	Arg	Tyr 1 9 35	Gln	Arg	Glu
Ile	Asp 1940	Lys	Leu	Arg	Gln	Arg 1945		Tyr	Gly	Ser	His 1950	Arg	Glu	Thr
Gln	Thr 1955		Суз	Glu	_	Thr 1960		Asp	Thr	Ser	Lys 1965		Val	Phe
Asp	Gly 1970	Leu	Arg	Lys	Lys	Val 1975	Thr	Ala	Met	Gln	Leu 1980	Tyr	Glu	Cys
Gln	Leu 1985	Ile	Asp	Lys	Thr	Thr 1990	Leu	Asp	Lys	Leu	Leu 1995	Lys	Gly	Lys
Lys	Ser 2000	Val	Glu	Glu	Val	Ala 2005	Ser	Glu	Ile	Gln	Pro 2010	Phe	Leu	Arg
Gly	Ala 2015	Gly	Ser	Ile	Ala	Gly 2020	Ala	Ser	Ala	Ser	Pro 2025	Lys	Glu	Lys
Tyr	Ser 2030	Leu	Val	Glu	Ala	Lys 2035	Arg	Lys	Lys	Leu	Ile 2040	Ser	Pro	Glu
Ser	Thr 2045	Val	Met	Leu	Leu	Glu 2050	Ala	Gln	Ala	Ala	Thr 2055	Gly	Gly	Ile
Ile	Asp 2060	Pro	His	Arg	Asn	Glu 2065	Lys	Leu	Thr	Val	Asp 2070	Ser	Ala	Ile

Ala Aro		Leu	Ile	Asp	Phe 2080	Asp	Asp	Arg	Gln	Gln 2085	Ile	Tyr	Ala
Ala Glu 20	_	Ala	Ile	Thr	Gly 2095	Phe	Asp	Asp	Pro	Phe 2100	Ser	Gly	Lys
Thr Val 210		Val	Ser	Glu	Ala 2110	Ile	Lys	Lys	Asn	Leu 2115	Ile	Asp	Arg
Glu Thi 212	_	Met	Arg	Leu	Leu 2125		Ala	Gln	Ile	Ala 2130	Ser	Gly	Gly
Val Val 213		Pro	Val	Asn	Ser 2140		Phe	Leu	Pro	Lys 2145	Asp	Val	Ala
Leu Ala 21		Gly	Leu	Ile	Asp 2155		Asp	Leu	Tyr	Arg 2160	Ser	Leu	Asn
Asp Pro	-	Asp	Ser	Gln	Lys 2170		Phe	Val	_	Pro 2175	Val	Thr	Lys
Lys Lys 218		Ser	Tyr	Val	Gln 2185	Leu	Lys	Glu	Arg	Cys 2190	Arg	Ile	Glu
Pro His 219		Gly	Leu	Leu	Leu 2200	Leu	Ser	Val	Gln	Lys 2205	Arg	Ser	Met
Ser Phe		Gly	Ile	Arg	Gln 2215	Pro	Val	Thr	Val	Thr 2220	Glu	Leu	Val
Asp Ser 222	_	lle	Leu	Arg	Pro 2230	Ser	Thr	Val	Asn	Glu 2235	Leu	Glu	Ser
Gly Gli 224		Ser	Tyr	Asp	Glu 22 4 5	Val	Gly	Glu	Arg	Ile 2250	Lys	Asp	Phe
Leu Gl: 22!	_	Ser	Ser	Cys	Ile 2260	Ala	Gly	Ile	Tyr	Asn 2265	Glu	Thr	Thr
Lys Gli 22		Leu	Gly	Ile	Tyr 2275		Ala	Met	Lys	Ile 2280	Gly	Leu	Val
Arg Pro	_	Thr	Ala	Leu	Glu 2290	Leu	Leu	Glu	Ala	Gln 2295	Ala	Ala	Thr
Gly Phe		Val	Asp	Pro	Val 2305	Ser	Asn	Leu	Arg	Leu 2310	Pro	Val	Glu

Glu	Ala 2315		Lys	Arg	Gly	Leu 2320		Gly	Ile	Glu	Phe 2325	Lys	Glu	Lys
Leu	Leu 2330	Ser	Ala	Glu	_	Ala 2335		Thr	Gly	Tyr	Asn 2340	_	Pro	Glu
Thr	Gly 2345	Asn	Ile	Ile	Ser	Leu 2350	Phe	Gln	Ala	Met	Asn 2355	Lys	Glu	Leu
Ile	Glu 2360	Lys	Gly	His	Gly	Ile 2365	Arg	Leu	Leu	Glu	Ala 2370	Gln	Ile	Ala
Thr	Gly 2375	Gly	Ile	Ile	Asp	Pro 2380	Lys	Glu	Ser	His	Arg 2385	Leu	Pro	Val
Asp	Ile 2390	Ala	Tyr	Lys	Arg	Gly 2395		Phe	Asn	Glu	Glu 2400	Leu	Ser	Glu
Ile	Leu 2405	Ser	Asp	Pro	Ser	Asp 2410	_	Thr	Lys	Gly	Phe 2415	Phe	Asp	Pro
Asn	Thr 2420	Glu	Glu	Asn	Leu	Thr 2 4 25	Tyr	Leu	Gln	Leu	Lys 2 4 30	Glu	Arg	Cys
Ile	Lys 2435	Asp	Glu	Glu	Thr	Gly 2440	Leu	Cys	Leu	Leu	Pro 2445	Leu	Lys	Glu
Lys	Lys 2450	Lys	Gln	Val	Gln	Thr 2 4 55	Ser	Gln	Lys	Asn	Thr 2460	Leu	Arg	Lys
Arg	Arg 2465	Val	Val	Ile	Val	Asp 2470	Pro	Glu	Thr	Asn	Lys 2475	Glu	Met	Ser
Val	Gln 2480	Glu	Ala	Tyr	Lys	Lys 2485	Gly	Leu	Ile	Asp	Tyr 2490	Glu	Thr	Phe
Lys	Glu 2495	Leu	Cys	Glu	Gln	Glu 2500	Cys	Glu	Trp	Glu	Glu 2505	Ile	Thr	Ile
Thr	Gly 2510	Ser	Asp	Gly	Ser	Thr 2515	Arg	Val	Val	Leu	Val 2520	Asp	Arg	Lys
Thr	Gly 2525	Ser	Gln	Tyr	Asp	Ile 2530	Gln	Asp	Ala	Ile	Asp 2535	Lys	Gly	Leu
Val	Asp	Arg	Lys	Phe	Phe	Asp	Gln	Tyr	Arg	Ser	Gly	Ser	Leu	Ser

	2540					2545					2550			
Leu	Thr 2555	Gln	Phe	Ala	Asp	Met 2560		Ser	Leu	Lys	Asn 2565	Gly	Val	Gly
Thr	Ser 2570	Ser	Ser	Met	_	Ser 2575	_	Val	Ser	Asp	Asp 2580	Val	Phe	Ser
Ser	Ser 2585	Arg	His	Glu	Ser	Val 2590	Ser	Lys	Ile	Ser	Thr 2595	Ile	Ser	Ser
Val	Arg 2600	Asn	Leu	Thr	Ile	Arg 2605	Ser	Ser	Ser	Phe	Ser 2610	Asp	Thr	Leu
Glu	Glu 2615	Ser	Ser	Pro	Ile	Ala 2620	Ala	Ile	Phe	Asp	Thr 2625	Glu	Asn	Leu
Glu	Lys 2630	Ile	Ser	Ile	Thr	Glu 2635	Gly	Ile	Glu	Arg	Gly 2640	Ile	Val	Asp
Ser	Ile 2645	Thr	Gly	Gln	Arg	Leu 2650		Glu	Ala	Gln	Ala 2655	Cys	Thr	Gly
Gly	Ile 2660	Ile	His	Pro	Thr	Thr 2665	Gly	Gln	Lys	Leu	Ser 2670	Leu	Gln	Asp
Ala	Val 2675	Ser	Gln	Gly	Val	Ile 2680		Gln	Asp	Met	Ala 2685	Thr	Arg	Leu
Lys	Pro 2690	Ala	Gln	Lys	Ala	Phe 2695	Ile	Gly	Phe	Glu	Gly 2700	Val	Lys	Gly
Lys	L ys 2705	Lys	Met	Ser	Ala	Ala 2710	Glu	Ala	Val	Lys	Glu 2715	Lys	Trp	Leu
Pro	Tyr 2720	Glu	Ala	Gly	Gln	Arg 2725	Phe	Leu	Glu	Phe	Gln 2730	Tyr	Leu	Thr
Gly	Gly 2735	Leu	Val	Asp	Pro	Glu 2740	Val	His	Gly	Arg	Ile 2745	Ser	Thr	Glu
Glu	Ala 2750	Ile	Arg	Lys	Gly	Phe 2755	Ile	Asp	Gly	Arg	Ala 2760	Ala	Gln	Arg
Leu	Gln 2765	Asp	Thr	Ser	Ser	Tyr 2770	Ala	Lys	Ile	Leu	Thr 2775	Cys	Pro	Lys

Thr	Lys 2780		ı Lys	3 Il∈	e Ser	Tyr 278		ys	Asp	Al	La I		sn !790	Arg	Ser	Met
Val	Glu 2795	_) Ile	€ Thr	c Gly	280		rg	Leu	ı Le	eu G		la 805	Ala	Ser	Val
Ser	Ser 2810	_	Gly	, Leu	ı Pro	Ser 281		ro	Туг	: As	sn M		er 1820	Ser	Ala	Pro
Gly	Ser 2825		, Sei	Gly	y Ser	283		er	Gly	7 S∈	er A		er 1835	Gly	Ser	Arg
Ser	Gly 2840		Arç	g Ser	c Gly	Ser 284		rg	Arç	g Gl	Ly S		he 1850	Asp	Ala	Thr
Gly	Asn 2855		Seı	туг	s Ser	Туг 28 <i>6</i>		er	Туг	: Se	er P		er 1865	Ser	Ser	Ser
Ile	Gly 2870		3													
<210> <211> <212> <213>	2272 PRT		ens													
<220> <221> <223>	misc_			smopl	aquina	l										
<400>	2															
Met 1	Ser	Cys	Asn	Gly 5	Gly	Ser	His	Pı		Arg 10	Ile	Ası	n Th	r Le	u Gly 15	y Arg
Met	Ile	Arg	Ala 20	Glu	Ser	Gly	Pro	As 25		Leu	Arg	Ту	Gl	u V a 30	l Th	r Ser
Gly	Gly	Gly 35	Gly	Thr	Ser	Arg	Met 40	T	yr :	ſyr	Ser	Arq	g Ar 45		y Vai	l Ile
Thr	Asp 50	Gln	Asn	Ser	Asp	Gly 55	Tyr	. C ²	ys (Gln	Thr	Gl ₃ 60	7 Th	r Me	t Se:	r Arg
His 65	Gln	Asn	Gln	Asn	Thr 70	Ile	Gln	G]	Lu J	Leu	Leu 75	Glr	n As	n Cy	s Se	r Asp 80
Суз	Leu	Met	Arg	Ala 85	Glu	Leu	Ile	· Vā	_	Gln 90	Pro	Glı	ı Le	u Ly	s Ty:	r Gly

Asp	Gly	Ile	Gln 100	Leu	Thr	Arg	Ser	A rg 105	Glu	Leu	Asp	Glu	Cys 110	Phe	Ala
Gln	Ala	Asn 115	Asp	Gln	Met	Glu	Ile 120	Leu	Asp	Ser	Leu	Ile 125	Arg	Glu	Met
Arg	Gln 130	Met	Gly	Gln	Pro	Cys 135	Asp	Ala	Tyr	Gln	Lys 140	Arg	Leu	Leu	Gln
Leu 145	Gln	Glu	Gln	Met	Arg 150	Ala	Leu	Tyr	Lys	Ala 155	Ile	Ser	Val	Pro	Arg 160
Val	Arg	Arg	Ala	Ser 165	Ser	Lys	Gly	Gly	Gly 170	Gly	Tyr	Thr	Cys	Gln 175	Ser
Gly	Ser	Gly	Trp 180	Asp	Glu	Phe	Thr	Lys 185	His	Val	Thr	Ser	Glu 190	Cys	Leu
Gly	Trp	Met 195	Arg	Gln	Gln	Arg	Ala 200	Glu	Met	Asp	Met	Val 205	Ala	Trp	Gly
Val	Asp 210	Leu	Ala	Ser	Val	Glu 215	Gln	His	Ile	Asn	Ser 220	His	Arg	Gly	Ile
His 225	Asn	Ser	Ile	Gly	Asp 230	Tyr	Arg	Trp	Gln	Leu 235	Asp	Lys	Ile	Lys	Ala 240
Asp	Leu	Arg	Glu	Lys 245	Ser	Ala	Ile	Tyr	Gln 250	Leu	Glu	Glu	Glu	Tyr 255	Glu
Asn	Leu	Leu	Lys 260	Ala	Ser	Phe	Glu	Arg 265		Asp	His	Leu	Arg 270	Gln	Leu
Gln	Asn	Ile 275	Ile	Gln	Ala	Thr	Ser 280	Arg	Glu	Ile	Met	Trp 285	Ile	Asn	Asp
Cys	Glu 290	Glu	Glu	Glu	Leu	Leu 295	Tyr	Asp	Trp	Ser	Asp 300	Lys	Asn	Thr	Asn
Ile 305	Ala	Gln	Lys	Gln	Glu 310	Ala	Phe	Ser	Ile	Arg 315	Met	Ser	Gln	Leu	Glu 320
Val	Lys	Glu	Lys	G1u 325	Leu	Asn	Lys	Leu	Lys 330	Gln	Glu	Ser	Asp	Gln 335	Leu
Val	Leu	Asn	Gln 340	His	Pro	Ala	Ser	Asp 345	Lys	Ile	Glu	Ala	Tyr 350	Met	Asp

Thr	Leu	Gln 355	Thr	Gln	Trp	Ser	Trp 360	Ile	Leu	Gln	Ile	Thr 365	Lys	Cys	Ile
Asp	Val 370	His	Leu	Lys	Glu	A sn 375	Ala	Ala	Tyr	Phe	Gln 380	Phe	Phe	Glu	Glu
Ala 385	Gln	Ser	Thr	Glu	Ala 390	Tyr	Leu	Lys	Gly	Leu 395	Gln	Asp	Ser	Ile	Arg 400
Lys	Lys	Tyr	Pro	Cys 405	Asp	Lys	Asn	Met	Pro 410	Leu	Gln	His	Leu	Leu 415	Glu
Gln	Ile	Lys	Glu 420	Leu	Glu	Lys	Glu	Arg 425	Glu	Lys	Ile	Leu	Glu 430	Tyr	Lys
Arg	Gln	Val 435	Gln	Asn	Leu	Val	Asn 440	Lys	Ser	Lys	Lys	Ile 445	Val	Gln	Leu
Lys	Pro 450	Arg	Asn	Pro	Asp	Tyr 455	Arg	Ser	Asn	Lys	Pro 460	Ile	Ile	Leu	Arg
Ala 465	Leu	Cys	Asp	Tyr	Lys 470	Gln	Asp	Gln	Lys	Ile 475	Val	His	Lys	Gly	Asp 480
Glu	Cys	Ile	Leu	Lys 485	Asp	Asn	Asn	Glu	Arg 490	Ser	Lys	Trp	Tyr	Val 495	Thr
Gly	Pro	Gly	Gly 500	Val	Asp	Met	Leu	Val 505	Pro	Ser	Val	Gly	Leu 510	Ile	Ile
Pro	Pro	Pro 515	Asn	Pro	Leu		Val 520	Asp	Leu	Ser	Cys	Lys 525	Ile	Glu	Gln
Tyr	Tyr 530	Glu	Ala	Ile	Leu	Ala 535	Leu	Trp	Asn	Gln	Leu 540	Tyr	Ile	Asn	Met
Lys 545	Ser	Leu	Val	Ser	Trp 550	His	Tyr	Cys	Met	Ile 555	Asp	Ile	Glu	Lys	Ile 560
Arg	Ala	Met	Thr	Ile 565	Ala	Lys	Leu	Lys	Thr 570	Met	Arg	Gln	Glu	Asp 575	Tyr
Met	Lys	Thr	Ile 580	Ala	Asp	Leu	Glu	Leu 585	His	Tyr	Gln	Glu	Phe 590	Ile	Arg
Asn	Ser	Gln	Glv	Ser	Glu	Met	Phe	Glv	Asp	Asp	Asp	Lvs	Ara	Lvs	Ile

		595					600					605			
Gln	Ser 610	Gln	Phe	Thr	Asp	Ala 615	Gln	Lys	His	Tyr	Gln 620	Thr	Leu	Val	Ile
Gln 625	Leu	Pro	Gly	Tyr	Pro 630	Gln	His	Gln	Thr	Val 635	Thr	Thr	Thr	Glu	Ile 640
Thr	His	His	Gly	Thr 645	Cys	Gln	Asp	Val	A sn 650	His	Asn	Lys	Val	Ile 655	Glu
Thr	Asn	Arg	Glu 660	Asn	Asp	Lys	Gln	Glu 665	Thr	Trp	Met	Leu	Met 670	Glu	Leu
Gln	Lys	Ile 675	Arg	Arg	Gln	Ile	Glu 680	His	Суѕ	Glu	Gly	Arg 685	Met	Thr	Leu
Lys	Asn 690	Leu	Pro	Leu	Ala	Asp 695	Gln	Gly	Ser	Ser	His 700	His	Ile	Thr	Val
Lys 705	Ile	Asn	Glu	Leu	Lys 710	Ser	Val	Gln	Asn	Asp 715	Ser	Gln	Ala	Ile	Ala 720
Glu	Val	Leu	Asn	Gln 725	Leu	Lys	Asp	Met	Leu 730	Ala	Asn	Phe	Arg	Gly 735	Ser
Glu	Lys	Tyr	Cys 740	Tyr	Leu	Gln	Asn	Glu 7 4 5	Val	Phe	Gly	Leu	Phe 750	Gln	Lys
Leu	Glu	Asn 755	Ile	Asn	G1y	Val	Thr 760	Asp	G1y	Tyr	Leu	Asn 765	Ser	Leu	Cys
Thr	Val 770	Arg	Ala	Leu	Leu	Gln 775	Ala	Ile	Leu	Gln	Thr 780	Glu	Asp	Met	Leu
Lys 785	Val	Tyr	Glu	Ala	Arg 790	Leu	Thr	Glu	Glu	Glu 795	Thr	Val	Cys	Leu	Asp 800
Leu	Asp	Lys	Val	Glu 805	Ala	Tyr	Arg	Cys	Gly 810	Leu	Lys	Lys	Ile	Lys 815	Asn
Asp	Leu	Asn	Leu 820	Lys	Lys	Ser	Leu	Leu 825	Ala	Thr	Met	Lys	Thr 830	Glu	Leu
Gln	Lys	Ala 835	Gln	Gln	Ile	His	Ser 840	Gln	Thr	Ser	Gln	Gln 845	Tyr	Pro	Leu

- Tyr Asp Leu Asp Leu Gly Lys Phe Gly Glu Lys Val Thr Gln Leu Thr 850 855 860

 Asp Arg Trp Gln Arg Ile Asp Lys Gln Ile Asp Phe Arg Leu Trp Asp
- Leu Glu Lys Gln Ile Lys Gln Leu Arg Asn Tyr Arg Asp Asn Tyr Gln 885 890 895
- Ala Phe Cys Lys Trp Leu Tyr Asp Ala Lys Arg Arg Gln Asp Ser Leu 900 905 910
- Glu Ser Met Lys Phe Gly Asp Ser Asn Thr Val Met Arg Phe Leu Asn 915 920 925
- Glu Gln Lys Asn Leu His Ser Glu Ile Ser Gly Lys Arg Asp Lys Ser 930 935 940
- Glu Glu Val Gln Lys Ile Ala Glu Leu Cys Ala Asn Ser Ile Lys Asp 945 950 955 960
- Tyr Glu Leu Gln Leu Ala Ser Tyr Thr Ser Gly Leu Glu Thr Leu Leu 965 970 975
- Asn Ile Pro Ile Lys Arg Thr Met Ile Gln Ser Pro Ser Gly Val Ile 980 985 990
- Leu Gln Glu Ala Ala Asp Val His Ala Arg Tyr Ile Glu Leu Leu Thr 995 1000 1005
- Leu Glu Asp Leu Lys Leu Lys Asn Thr Lys Ile Glu Val Leu Glu 1025 1030 1035
- Glu Glu Leu Arg Leu Ala Arg Asp Ala Asn Ser Glu Asn Cys Asn 1040 1045 1050
- Lys Asn Lys Phe Leu Asp Gln Asn Leu Gln Lys Tyr Gln Ala Glu 1055 1060 1065
- Cys Ser Gln Phe Lys Ala Lys Leu Ala Ser Leu Glu Glu Leu Lys 1070 1075 1080
- Arg Gln Ala Glu Leu Asp Gly Lys Ser Ala Lys Gln Asn Leu Asp 1085 1090 1095

Lys	Cys 1100	Tyr	Gly	Gln	Ile	Lys 1105	Glu	Leu	Asn	Glu	Lys 1110	Ile	Thr	Arg
Leu	Thr 1115	Tyr	Glu	Ile	Glu	Asp 1120	Glu	Lys	Arg	Arg	Arg 1125	Lys	Ser	Val
Glu	Asp 1130	Arg	Phe	Asp	Gln	Gln 1135		Asn	Asp	Tyr	Asp 1140	Gln	Leu	Gln
Lys	Ala 1145	Arg	Gln	Cys	Glu	Lys 1150		Asn	Leu	Gly	Trp 1155	Gln	Lys	Leu
Glu	Ser 1160	Glu	Lys	Ala	Ile	Lys 1165		Lys	Glu	Tyr	Glu 1170	Ile	Glu	Arg
Leu	A rg 1175	Val	Leu	Leu	Gln	Glu 1180		Gly	Thr	Arg	Lys 1185	Arg	Glu	Tyr
Glu	Asn 1190	Glu	Leu	Ala	Lys	Ala 1195		Asn	Arg	Ile	Gln 1200	Glu	Ser	Lys
Asn	Gln 1205	Суѕ	Thr	Gln	Val	Val 1210	Gln	Glu	Arg	Glu	Ser 1215	Leu	Leu	Val
Lvs	Tla	-	**- 1			a 1 .	_		_	_	_			_
- , -	1220	тАз	vai	Leu	GLu	1225	_	Lys	Ala	Arg	Leu 1230	Gln	Arg	Leu
_	1220	_				1225	_	_						
Glu	1220 Asp 1235	Glu	Leu	Asn	Arg	1225 Ala 1240	Lys	Ser	Thr	Leu	1230 Glu	Ala	Glu	Thr
Glu	1220 Asp 1235 Val 1250	Glu Lys	Leu Gln	Asn Arg	Arg Leu	1225 Ala 1240 Glu 1255	Lys Cys	Ser Glu	Thr Lys	Leu Gln	1230 Glu 1245 Gln	Ala Ile	Glu Gln	Thr Asn
Glu Arg	1220 Asp 1235 Val 1250 Leu 1265	Glu Lys Asn	Leu Gln	Asn Arg Trp	Arg Leu Lys	1225 Ala 1240 Glu 1255 Thr 1270	Lys Cys Gln	Ser Glu Tyr	Thr Lys Ser	Leu Gln Arg	1230 Glu 1245 Gln 1260 Lys	Ala Ile Glu	Glu Gln Glu	Thr Asn Ala
Glu Arg Asp	1220 Asp 1235 Val 1250 Leu 1265 Arg 1280	Glu Lys Asn	Leu Gln Gln Ile	Asn Arg Trp	Arg Leu Lys Ser	Ala 1240 Glu 1255 Thr 1270 Glu 1285	Lys Cys Gln Arg	Ser Glu Tyr	Thr Lys Ser	Leu Gln Arg	Glu 1245 Gln 1260 Lys 1275	Ala Ile Glu Arg	Glu Gln Glu	Thr Asn Ala
Glu Arg Asp Ile	Asp 1235 Val 1250 Leu 1265 Arg 1280 Ser 1295	Glu Lys Asn Lys	Leu Gln Gln Ile	Asn Arg Trp Glu Ser	Arg Leu Lys Ser	Ala 1240 Glu 1255 Thr 1270 Glu 1285 Ile 1300	Lys Cys Gln Arg	Ser Glu Tyr Glu	Thr Lys Ser Lys	Leu Gln Arg Ser	Glu 1245 Gln 1260 Lys 1275 Glu 1290	Ala Ile Glu Arg	Glu Glu Glu Ile	Thr Asn Ala Lys

Glu	Ile 1340		Lys	Leu	Arg	Gln 1345		Pro	Tyr	Gly	Ser 1350	His	Arg	Glu
Thr	Gln 1355		Glu	Cys	Glu	Trp 1360		Val	Asp	Thr	Ser 1365	_	Leu	Val
Phe	Asp 1370	Gly	Leu	Arg	Lys	Lys 1375	Val	Thr	Ala	Met	Gln 1380	Leu	Tyr	Glu
Cys	Gln 1385		Ile	Asp	Lys	Thr 1390	Thr	Leu	Asp	Lys	Leu 1395	Leu	Lys	Gly
Lys	Lys 1400	Ser	Val	Glu	Glu	Val 1405	Ala	Ser	Glu	Ile	Gln 1410	Pro	Phe	Leu
Arg	Gly 1415		Gly	Ser	Ile	Ala 1420	_	Ala	Ser	Ala	Ser 1425	Pro	Lys	Glu
Lys	Tyr 1430		Leu	Val	Glu	Ala 1435	_	Arg	Lys	Lys	Leu 1440		Ser	Pro
Glu	Ser 1445	Thr	Val	Met	Leu	Leu 1450	Glu	Ala	Gln	Ala	Ala 1455	Thr	Gly	Gly
Ile	Ile 1460	Asp	Pro	His	Arg	Asn 1465	Glu	Lys	Leu	Thr	Val 1470	Asp	Ser	Ala
Ile	Ala 1475	_	Asp	Leu	Ile	Asp 1480		Asp	Asp	Arg	Gln 1485	Gln	Ile	Tyr
Ala	Ala 1490	Glu	Lys	Ala	Ile	Thr 1495	Gly	Phe	Asp	Asp	Pro 1500	Phe	Ser	Gly
Lys	Thr 1505	Val	Ser	Val	Ser	Glu 1510	Ala	Ile	Lys	Lys	Asn 1515	Leu	Ile	Asp
Arg	Glu 1520	Thr	Gly	Met	Arg	Leu 1525	Leu	Glu	Ala	Gln	Ile 1530	Ala	Ser	Gly
Gly	Val 1535	Val	Asp	Pro	Val	Asn 1540	Ser	Val	Phe	Leu	Pro 1545	Lys	Asp	Val
Ala	Leu 1550	Ala	Arg	Gly	Leu	Ile 1555	Asp	Arg	Asp	Leu	Tyr 1560	Arg	Ser	Leu
Asn	Asp	Pro	Arg	Asp	Ser	Gln	Lys	Asn	Phe	Val	Asp	Pro	Val	Thr

	1565					1570					1575			
Lys	Lys 1580	Lys	Val	Ser	Tyr	Val 1585	Gln	Leu	Lys	Glu	Arg 1590	Cys	Arg	Ile
Glu	Pro 1595	His	Thr	Gly	Leu	Leu 1600		Leu	Ser	Val	Gln 1605	Lys	Arg	Ser
Met	Ser 1610		Gln	Gly	Ile	Arg 1615		Pro	Val	Thr	Val 1620	Thr	Glu	Leu
Val	Asp 1625		Gly	Ile	Leu	Arg 1630	Pro	Ser	Thr	Val	Asn 1635	Glu	Leu	Glu
Ser	Gly 1640	Gln	Ile	Ser	Tyr	Asp 1645	Glu	Val	Gly	Glu	Arg 1650	Ile	Lys	Asp
Phe	Leu 1655	Gln	Gly	Ser	Ser	Cys 1660	Ile	Ala	Gly	Ile	Tyr 1665	Asn	Glu	Thr
Thr	Lys 1670		Lys	Leu	Gly	Ile 1675		Glu	Ala	Met	Lys 1680	Ile	Gly	Leu
Val	Arg 1685		Gly	Thr	Ala	Leu 1690		Leu	Leu	Glu	Ala 1695	Gln	Ala	Ala
Thr	Gly 1700	Phe	Ile	Val	Asp	Pro 1705	Val	Ser	Asn	Leu	A rg 1710	Leu	Pro	Val
Glu	Glu 1715	Ala	Tyr	Lys	Arg	Gl y 1720	Leu	Val	Gly	Ile	Glu 1725	Phe	Lys	Glu
Lys	Leu 1730	Leu	Ser	Ala	Glu	Arg 1735	Ala	Val	Thr	Gly	Tyr 1740	Asn	Asp	Pro
Glu	Thr 1745	Gly	Asn	Ile	Ile	Ser 1750	Leu	Phe	Gln	Ala	Met 1755	Asn	Lys	Glu
Leu	Ile 1760	Glu	Lys	Gly	His	Gly 1765	Ile	Arg	Leu	Leu	Glu 1770	Ala	Gln	Ile
Ala	Thr 1775	Gly	Gly	Ile	Ile	Asp 1780	Pro	Lys	Glu	Ser	His 1785	Arg	Leu	Pro
Val	Asp 1790	Ile	Ala	Tyr	Lys	Arg 1795	Gly	Tyr	Phe	Asn	Glu 1800	Glu	Leu	Ser

Glu	Ile 1805		Ser	Asp	Pro	Ser 1810	Asp	Asp	Thr	Lys	Gly 1815	Phe	Phe	Asp
Pro	Asn 1820	Thr	Glu	Glu	Asn	Leu 1825	Thr	Tyr	Leu	Gln	Leu 1830	Lys	Glu	Arg
Сув	Ile 1835	_	Asp	Glu	Glu	Thr 1840		Leu	Сув	Leu	Leu 1845	Pro	Leu	Lys
Glu	Lys 1850	_	Lys	Gln	Val	Gln 1855		Ser	Gln	Lys	Asn 1860		Leu	Arg
Lys	Arg 1865		Val	Val	Ile	Val 1870		Pro	Glu	Thr	Asn 1875	Lys	Glu	Met
Ser	Val 1880		Glu	Ala	Tyr	Lys 1885	_	Gly	Leu	Ile	Asp 1890	Tyr	Glu	Thr
Phe	Lys 1895	Glu	Leu	Суз	Glu	Gln 1900	Glu	Cys	Glu	Trp	Glu 1905	Glu	Ile	Thr
Ile	Thr 1910	Gly	Ser	Asp	Gly	Ser 1915	Thr	Arg	Val	Val	Leu 1920	Val	Asp	Arg
Lys	Thr 1925	Gly	Ser	Gln	Tyr	Asp 1930	Ile	Gln	Asp	Ala	Ile 1935	Asp	Lys	Gly
Leu	Val 1940	Asp	Arg	Lys	Phe	Phe 1945	Asp	Gln	Tyr	Arg	Ser 1950	Gly	Ser	Leu
	Leu 1955		Gln	Phe		Asp 1960		Ile	Ser		Lys 1965		Gly	Val
Gly	Thr 1970	Ser	Ser	Ser	Met	Gly 1975	Ser	Gly	Val	Ser	Asp 1980		Val	Phe
Ser	Ser 1985		Arg	His	Glu	Ser 1990	Val	Ser	Lys	Ile	Ser 1995	Thr	Ile	Ser
Ser	Val 2000	Arg	Asn	Leu	Thr	Ile 2005	Arg	Ser	Ser	Ser	Phe 2010	Ser	Asp	Thr
Leu	Glu 2015	Glu	Ser	Ser	Pro	Ile 2020	Ala	Ala	Ile	Phe	Asp 2025	Thr	Glu	Asn
Leu	Glu 2030	Lys	Ile	Ser	Ile	Thr 2035	Glu	Gly	Ile	Glu	Arg 2040	Gly	Ile	Val

Asp Ser Ile Thr Gly Gln Arg Leu Leu Glu Ala Gln Ala Cys Thr 2045 2050 2055 Gly Gly Ile Ile His Pro Thr Thr Gly Gln Lys Leu Ser Leu Gln 2060 Asp Ala Val Ser Gln Gly Val Ile Asp Gln Asp Met Ala Thr Arg 2075 2080 2085 Leu Lys Pro Ala Gln Lys Ala Phe Ile Gly Phe Glu Gly Val Lys 2095 Gly Lys Lys Met Ser Ala Ala Glu Ala Val Lys Glu Lys Trp 2105 2110 2115 Leu Pro Tyr Glu Ala Gly Gln Arg Phe Leu Glu Phe Gln Tyr Leu 2125 Thr Gly Gly Leu Val Asp Pro Glu Val His Gly Arg Ile Ser Thr Glu Glu Ala Ile Arg Lys Gly Phe Ile Asp Gly Arg Ala Ala Gln 2155 Arg Leu Gln Asp Thr Ser Ser Tyr Ala Lys Ile Leu Thr Cys Pro 2170 Lys Thr Lys Leu Lys Ile Ser Tyr Lys Asp Ala Ile Asn Arg Ser 2180 2185 2190Met Val Glu Asp Ile Thr Gly Leu Arg Leu Leu Glu Ala Ala Ser 2195 2200 Val Ser Ser Lys Gly Leu Pro Ser Pro Tyr Asn Met Ser Ser Ala 2210 2215 Pro Gly Ser Arg Ser Gly Ser Arg Ser Gly Ser Arg Ser Gly Ser 2225 2230 2235 Arg Ser Gly Ser Arg Ser Gly Ser Arg Arg Gly Ser Phe Asp Ala 2240 2245 Thr Gly Asn Ser Ser Tyr Ser Tyr Ser Tyr Ser Phe Ser Ser 2260 Ser Ile Gly His 2270

<210>3

<211> <212> <213>	PRT	o sapi	ens												
<220> <221> <223>	misc	_		nte de	Rho (GTPas	sa								
<400>	. 3														
Met 1	Asp	Pro	Leu	Ser 5	Glu	Leu	Gln	Asp	Asp 10	Leu	Thr	Leu	Asp	Asp 15	Thi
Ser	Glu	Ala	Leu 20	Asn	Gln	Leu	Lys	Leu 25	Ala	Ser	Ile	Asp	Glu 30	Lys	Ası
Trp	Pro	Ser 35	Asp	Glu	Met	Pro	Asp 40	Phe	Pro	Lys	Ser	Asp 45	Asp	Ser	Lys
Ser	Ser 50	Ser	Pro	Glu	Leu	Val 55	Thr	His	Leu	Lys	Trp 60	Asp	Asp	Pro	Туг
Tyr 65	Asp	Ile	Ala	Arg	His 70	Gln	Ile	Val	Glu	Val 75	Ala	Gly	Asp	Asp	Lys 80
Tyr	Gly	Arg	Lys	Ile 85	Ile	Val	Phe	Ser	Ala 90	Cys	Arg	Met	Pro	Pro 95	Sei
His	Gln	Leu	Asp 100	His	Ser	Lys	Leu	Leu 105	Gly	Tyr	Leu	Lys	His 110	Thr	Let
Asp	Gln	Tyr 115	Val	Glu	Ser	Asp	Tyr 120	Thr	Leu	Leu	Tyr	Leu 125	His	His	Gly
Leu	Thr 130	Ser	Asp	Asn	Lys	Pro 135	Ser	Leu	Ser	Trp	Leu 140	Arg	Asp	Ala	Туг
Arg 145	Glu	Phe	Asp	Arg	Lys 150	Tyr	Lys	Lys	Asn	Ile 155	Lys	Ala	Leu	Tyr	Ile 160
Val	His	Pro	Thr	Met 165	Phe	Ile	Lys	Thr	Leu 170	Leu	Ile	Leu	Phe	Lys 175	Pro
Leu	Ile	Ser	Phe 180	Lys	Phe	Gly	Gln	Lys 185	Ile	Phe	Tyr	Val	Asn 190	Tyr	Lei
Sar	G1	יים.	San	Glu	Hie	Va 1	T.v.e	יים.	ردا	G1 n	יים.	ردا در	Tla	Pro	Δrc

		195					200					205			
Gln	Val 210	Leu	Lys	Tyr	Asp	Asp 215	Phe	Leu	Lys	Ser	Thr 220	Gln	Lys	Ser	Pro
Ala 225	Thr	Ala	Pro	Lys	Pro 230	Met	Pro	Pro	Arg	Pro 235	Pro	Leu	Pro	Asn	Gln 240
Gln	Phe	Gly	Val	Ser 245	Leu	Gln	His	Leu	Gln 250	Glu	Lys	Asn	Pro	Glu 255	Gln
Glu	Pro	Ile	Pro 260	Ile	Val	Leu	Arg	Glu 265	Thr	Val	Ala	Tyr	Leu 270	Gln	Ala
His	Ala	Leu 275	Thr	Thr	Glu	Gly	Ile 280	Phe	Arg	Arg	Ser	Ala 285	Asn	Thr	Gln
Val	Val 290	Arg	Glu	Val	Gln	Gln 295	Lys	Tyr	Asn	Met	Gly 300	Leu	Pro	Val	Asp
Phe 305	Asp	Gln	Tyr	Asn	Glu 310	Leu	His	Leu	Pro	Ala 315	Val	Ile	Leu	Lys	Thr 320
Phe	Leu	Arg	Glu	Leu 325	Pro	Glu	Pro	Leu	Leu 330	Thr	Phe	Asp	Leu	Tyr 335	Pro
His	Val	Val	Gly 340	Phe	Leu	Asn	Ile	Asp 345	Glu	Ser	Gln	Arg	Val 350	Pro	Ala
Thr	Leu	Gln 355	Val	Leu	Gln	Thr	Leu 360	Pro	Glu	Glu	Asn	Tyr 365	Gln	Val	Leu
Arg	Phe 370	Leu	Thr	Ala	Phe	Leu 375	Val	Gln	Ile	Ser	Ala 380	His	Ser	Asp	Gln
Asn 385	Lys	Met	Thr	Asn	Thr 390	Asn	Leu	Ala	Val	Val 395	Phe	Gly	Pro	Asn	Leu 400
Leu	Trp	Ala	Lys	Asp 405	Ala	Ala	Ile	Thr	Leu 410	Lys	Ala	Ile	Asn	Pro 415	Ile
Asn	Thr	Phe	Thr 420	Lys	Phe	Leu	Leu	Asp 425	His	Gln	Gly	Glu	Leu 430	Phe	Pro
Ser	Pro	Asp 435	Pro	Ser	Gly	Leu									
<210>	- 4														

<211> 5090

10

```
<212> PRT
<213> Homo sapiens
<220>
<221> misc_feature
<223> Epiplaquina
<400> 4
Met Ser Gly His Thr Leu Pro Pro Leu Pro Val Pro Gly Thr Asn Ser
                                      10
Thr Glu Gln Ala Ser Val Pro Arg Ala Met Ala Ala Thr Leu Gly Ala
                                 25
Gly Thr Pro Pro Arg Pro Gln Ala Arg Ser Ile Ala Gly Val Tyr Val
                             40
Glu Ala Ser Gly Gln Ala Gln Ser Val Tyr Ala Ala Met Glu Gln Gly
Leu Leu Pro Ala Gly Leu Gly Gln Ala Leu Leu Glu Ala Gln Ala Ala
Thr Gly Gly Leu Val Asp Leu Ala Arg Gly Gln Leu Leu Pro Val Ser
Lys Ala Leu Gln Gln Gly Leu Val Gly Leu Glu Leu Lys Glu Lys Leu
Leu Ala Ala Glu Arg Ala Thr Thr Gly Tyr Pro Asp Pro Tyr Gly Gly
                             120
Glu Lys Leu Ala Leu Phe Gln Ala Ile Gly Lys Glu Val Val Asp Arg
Ala Leu Gly Gln Ser Trp Leu Glu Val Gln Leu Ala Thr Gly Gly Leu
                     150
                                          155
Val Asp Pro Ala Gln Gly Val Leu Val Ala Pro Glu Pro Ala Cys His
                                     170
                 165
Gln Gly Leu Leu Asp Arg Glu Thr Trp His Lys Leu Ser Glu Leu Glu
                                 185
Pro Gly Thr Gly Asp Leu Arg Phe Leu Asn Pro Asn Thr Leu Glu Arg
                             200
```

Leu	Thr 210	Tyr	His	Gln	Leu	Leu 215	Glu	Arg	Cys	Val	A rg 220	Ala	Pro	Gly	Ser
Gly 225	Leu	Ala	Leu	Leu	Pro 230	Leu	Lys	Ile	Thr	Phe 235	Arg	Ser	Met	Gly	Gly 240
Ala	Val	Ser	Ala	Ala 245	Glu	Leu	Leu	Glu	Val 250	Gly	Ile	Leu	Asp	Glu 255	Gln
Ala	Val	Gln	Gly 260	Leu	Arg	Glu	Gly	Arg 265	Leu	Ala	Ala	Val	Asp 270	Val	Ser
Ala	Arg	Ala 275	Glu	Val	Arg	Arg	Tyr 280	Leu	Glu	Gly	Thr	Gly 285	Ser	Val	Ala
Gly	Val 290	Val	Leu	Leu	Pro	Glu 295	Gly	His	Lys	Lys	Ser 300	Phe	Phe	Gln	Ala
Ala 305	Thr	Glu	His	Leu	Leu 310	Pro	Met	Gly	Thr	Ala 315	Leu	Pro	Leu	Leu	Glu 320
Ala	Gln	Ala	Ala	Thr 325	His	Thr	Leu	Val	Asp 330	Pro	Ile	Thr	Gly	Gln 335	Arg
Leu	Trp	Val	Asp 340	Glu	Ala	Val	Arg	Ala 345	Gly	Leu	Val	Ser	Pro 350	Glu	Leu
His	Glu	G1n 355	Leu	Leu	Val	Ala	Glu 360	Gln	Ala	Val	Thr	Gly 365	His	His	Asp
Pro	Phe 370	Ser	Gly	Ser	Gln	Ile 375	Pro	Leu	Phe	Gln	Ala 380	Met	Lys	Lys	Gly
Leu 385	Val	Asp	Arg	Pro	Leu 390	Ala	Leu	Arg	Leu	Leu 395	Asp	Ala	Gln	Leu	Ala 400
Thr	Gly	Gly	Leu	Val 405	Суз	Pro	Ala	Arg	Arg 410	Leu	Arg	Leu	Pro	Leu 415	Glu
Ala	Ala	Leu	Arg 420	Сув	Gly	Сув	Leu	Asp 425	Glu	Asp	Thr	Gln	Arg 430	Gln	Leu
Ser	Gln	Ala 435	Gly	Ser	Phe	Ser	Asp 440	Gly	Thr	His	Gly	Gly 445	Leu	Arg	Tyr
Glu	Gln 450	Leu	Leu	Ala	Leu	Cys 455	Val	Thr	Asp	Pro	Glu 460	Thr	Gly	Leu	Ala

Phe 465	Leu	Pro	Leu	Ser	Gly 470	Gly	Pro	Arg	Gly	Gly 475	Gl u	Pro	Gln	Gly	Pro 480
Pro	Phe	Ile	Lys	Tyr 485	Ser	Thr	Arg	Gln	Ala 490	Leu	Ser	Thr	Ala	Thr 495	Ala
Thr	Val	Ser	Val 500	Gly	Lys	Phe	Arg	Gly 505	Arg	Pro	Val	Ser	Leu 510	Trp	Glu
Leu	Leu	Phe 515	Ser	Glu	Ala	Ile	Ser 520	Ser	Glu	Gln	Arg	Ala 525	Met	Leu	Ala
Gln	Gln 530	Tyr	Gln	Glu	Gly	Thr 535	Leu	Ser	Val	Glu	Lys 540	Leu	Ala	Ala	Glu
Leu 545	Ser	Ala	Thr	Leu	G1u 550	Gln	Ala	Ala	Ala	Thr 555	Ala	Arg	Val	Thr	Phe 560
Ser	Gly	Leu	Arg	Asp 565	Thr	Val	Thr	Pro	Gly 570	Glu	Leu	Leu	Lys	Ala 575	Glu
Ile	Ile	Asp	Gln 580	Asp	Leu	Tyr	Glu	Arg 585	Leu	Glu	His	Gly	Gln 590	Ala	Thr
Ala	Lys	Asp 595	Val	Gly	Ser	Leu	Ala 600	Ser	Ala	Gln	Arg	Tyr 605	Leu	Gln	Gly
Thr	Gly 610	Cys	Ile	Ala	Gly	Leu 615	Leu	Leu	Pro	Gly	Ser 620	Gln	Glu	Arg	Leu
Ser 625	Ile	Tyr	Glu		Arg 630	Cys	Lys	Gly		Leu 635	Arg	Pro	Gly	Thr	Ala 640
Leu	Ile	Leu	Leu	Glu 645	Ala	Gln	Ala	Ala	Thr 650	Gly	Phe	Ile	Ile	Asp 655	Pro
Lys	Ala	Asn	Lys 660	Gly	His	Ser	Val	Glu 665	Glu	Ala	Leu	Arg	Ala 670	Ala	Val
Ile	Gly	Pro 675	Asp	Val	Phe	Ala	Lys 680	Leu	Leu	Ser	Ala	Glu 685	Arg	Ala	Val
Thr	Gly 690	Tyr	Thr	Asp	Pro	Tyr 695	Thr	Gly	Gln	Gln	Ile 700	Ser	Leu	Phe	Gln
Ala	Met	Gln	Lvs	Glv	Leu	Ile	Val	Arσ	Glu	His	Glv	Ile	Arq	Leu	Leu

705					710					715					720
Glu	Ala	Gln	Ile	Ala 725	Thr	Gly	Gly	Val	Ile 730	Asp	Pro	Val	His	Ser 735	His
Arg	Val	Pro	Val 740	Asp	Val	Ala	Tyr	A rg 745	Arg	Gly	Tyr	Phe	Asp 750	Gln	Met
Leu	Asn	Leu 755	Ile	Leu	Leu	Asp	Pro 760	Ser	Asp	Asp	Thr	Lys 765	Gly	Phe	Phe
Asp	Pro 770	Asn	Thr	His	Glu	Asn 775	Leu	Thr	Tyr	Leu	Gln 780	Leu	Leu	Glu	Arg
Cys 785	Val	Arg	Asp	Pro	Glu 790	Thr	Gly	Leu	Tyr	Leu 795	Leu	Pro	Leu	Ser	Ser 800
Thr	Gln	Ser	Pro	Leu 805	Val	Asp	Ser	Ala	Thr 810	Gln	Gln	Ala	Phe	Gln 815	Asn
Leu	Leu	Leu	Ser 820	Val	Lys	Tyr	Gly	Arg 825	Phe	Gln	Gly	Gln	Arg 830	Val	Ser
Ala	Trp	Glu 835	Leu	Ile	Asn	Ser	Glu 840	Tyr	Phe	Ser	Glu	Gly 845	Arg	Arg	Arg
Gln	Leu 850	Leu	Arg	Arg	Tyr	Arg 855	Gln	Arg	Glu	Val	Thr 860	Leu	Gly	Gln	Val
Ala 865	L y s	Leu	Leu	Glu	Ala 870	Glu	Thr	Gln	Arg	Gln 875	Ala	Asp	Ile	Met	Leu 880
Pro	Ala	Leu	Arg	Ser 885	Arg	Val	Thr	Val	His 890	Gln	Leu	Leu	Glu	Ala 895	Gly
Ile	Ile	Asp	Gln 900	Gln	Leu	Leu	Asp	Gln 905	Val	Leu	Ala	Gly	Thr 910	Ile	Ser
Pro	Glu	Ala 915	Leu	Leu	Leu	Met	Asp 920	Gly	Val	Arg	Arg	Tyr 925	Leu	Cys	Gly
Leu	Gly 930	Ala	Val	Gly	Gly	Val 935	Arg	Leu	Leu	Pro	Ser 940	Gly	Gln	Arg	Leu
Ser 945	Leu	Tyr	Gln	Ala	Met 950	Arg	Gln	Lys	Leu	Leu 955	Gly	Pro	Arg	Val	Ala 960

- Leu Ala Leu Leu Glu Ala Gln Ala Ala Thr Gly Thr Ile Met Asp Pro 965 970 975
- His Ser Pro Glu Ser Leu Ser Val Asp Glu Ala Val Arg Arg Gly Val 980 985 990
- Val Gly Pro Glu Leu Tyr Gly Arg Leu Lys Arg Ala Glu Gly Ala Ile 995 1000 1005
- Ala Gly Phe Arg Asp Pro Phe Ser Gly Lys Gln Val Ser Val Phe 1010 1015 1020
- Gln Ala Met Lys Lys Gly Leu Ile Pro Trp Glu Gln Ala Ala Arg 1025 1030 1035
- Leu Leu Glu Ala Gln Val Ala Thr Gly Gly Ile Ile Asp Pro Thr 1040 1045 1050
- Ser His His Leu Pro Met Pro Val Ala Ile Gln Arg Gly Tyr 1055 1060 1065
- Val Asp Gln Glu Met Glu Thr Ala Leu Ser Ser Ser Glu Thr 1070 1075 1080
- Phe Pro Thr Pro Asp Gly Gln Gly Arg Thr Ser Tyr Ala Gln Leu 1085 1090 1095
- Leu Glu Glu Cys Pro Arg Asp Glu Thr Ser Gly Leu His Leu Leu 1100 1105 1110
- Pro Leu Pro Glu Ser Ala Pro Ala Leu Pro Thr Glu Glu Gln Val 1115 1120 1125
- Gln Arg Ser Leu Gln Ala Val Pro Gly Ala Lys Asp Gly Thr Ser 1130 1135 1140
- Leu Trp Asp Leu Leu Ser Ser Cys His Phe Thr Glu Glu Gln Arg 1145 1150 1155
- Arg Gly Leu Leu Glu Asp Val Gln Glu Gly Arg Thr Thr Val Pro 1160 1165 1170
- Gln Leu Leu Ala Ser Val Gln Arg Trp Val Gln Glu Thr Lys Leu 1175 1180 1185
- Leu Ala Gln Ala Arg Val Met Val Pro Gly Pro Arg Gly Glu Val 1190 1195 1200

Pro	Ala 1205		Trp	Leu	Leu	Asp 1210	Ala	Gly	Ile	Ile	Thr 1215	Gln	Glu	Thr
Leu	Glu 1220	Ala	Leu	Ala	Gln	Gly 1225	Thr	Gln	Ser	Pro	Ala 1230	Gln	Val	Ala
Glu	Gln 1235	Pro	Ala	Val	Lys	Ala 1240	Сув	Leu	Trp	Gly	Thr 1245	Gly	Суз	Val
Ala	Gly 1250		Leu	Leu	Gln	Pro 1255		Gly	Ala	Lys	Ala 1260	Ser	Ile	Ala
Gln	Ala 1265		Arg	Asp	Gly	Leu 1270		Pro	Thr	Gly	Leu 1275	Gly	Gln	Arg
Leu	Leu 1280		Ala	Gln	Val	Ala 1285		Gly	Phe	Leu	Val 1290	Asp	Pro	Leu
Asn	Asn 1295		Arg	Leu	Ser	Val 1300		Asp	Ala	Val	Lys 1305		Gly	Leu
Val	Gly 1310	Arg	Glu	Leu	Ser	Glu 1315	Gln	Leu	Gly	Gln	Ala 1320	Glu	Arg	Ala
Ala	Ala 1325	_	Tyr	Pro	Asp	Pro 1330	Tyr	Ser	Arg	Ala	Ser 1335	Leu	Ser	Leu
Trp	Gln 1340	Ala	Met	Glu	Lys	Gly 1345	Leu	Val	Pro	Gln	Asn 1350	Glu	Gly	Leu
Pro	Leu 1355	Leu	Gln	Val	Gln	Leu 1360	Ala	Thr	Gly	Gly	Val 1365	Val	Asp	Pro
Val	His 1370	Gly	Val	His	Leu	Pro 1375		Ala	Ala	Ala	Cys 1380	Arg	Leu	Gly
Leu	Leu 1385	_	Thr	Gln	Thr	Ser 1390	Gln	Val	Leu	Thr	Ala 1395	Val	Asp	Lys
Asp	Asn 1400	-	Phe	Phe	Phe	Asp 1405		Ser	Ala	Arg	Asp 1410	Gln	Val	Thr
Tyr	Gln 1415		Leu	Arg	Glu	Arg 1420	Суз	Val	Cys	Asp	Ser 1425	Glu	Thr	Gly
Leu	Leu 1430	Leu	Leu	Pro	Leu	Pro 1435	Ser	Asp	Thr	Val	Leu 1440	Glu	Val	Asp

Asp	His 1445		Ala	Val	Ala	Leu 1450		Ala	Met	Lys	Val 1455		Val	Ser
Thr	Gly 1460	Arg	Phe	Lys	Gly	Cys 1465	Ser	Val	Ser	Leu	Trp 1470	Asp	Leu	Leu
Leu	Ser 1475	Glu	Tyr	Val	Gly	Ala 1480		Lys	Arg	Arg	Glu 1 4 85	Leu	Val	Ala
Leu	Cys 1490	Arg	Ser	Gly	Arg	Ala 1495	Ala	Ala	Leu	Arg	Gln 1500	Val	Val	Ser
Ala	Val 1505	Thr	Ala	Leu	Val	Glu 1510	Ala	Ala	Glu	Arg	Gln 1515	Pro	Leu	Gln
Ala	Thr 1520	Phe	Arg	Gly	Leu	Arg 1525	_	Gln	Val	Ser	Ala 1530	_	Asp	Leu
Phe	Arg 1535	Ala	Gln	Leu	Ile	Ser 1540	Arg	Lys	Thr	Leu	Asp 1545	Glu	Leu	Ser
Gln	Gly 1550	Thr	Thr	Thr	Val	Lys 1555	Glu	Val	Ala	Glu	Met 1560	Asp	Ser	Val
Lys	Arg 1565	Ser	Leu	Glu	Gly	Gly 1570	Asn	Phe	Ile	Ala	Gly 1575	Val	Leu	Ile
Gln	Gly 1580	Thr	Gln	Glu	Arg	Met 1585	Ser	Ile	Pro	Glu	Ala 1590	Leu	Arg	Arg
His	Ile 1595	Leu	Arg	Pro	Gly	Thr 1600	Ala	Leu	Val	Leu	Leu 1605	Glu	Ala	Gln
Ala	Ala 1610	Thr	Gly	Phe	Ile	Ile 1615	Asp	Pro	Ala	Glu	Asn 1620	Arg	Lys	Leu
Thr	Val 1625	Glu	Glu	Ala	Phe	Lys 1630	Ala	Gly	Met	Phe	Gly 1635	Lys	Glu	Thr
Tyr	Val 1640	Lys	Leu	Leu	Ser	Ala 1645	Glu	Arg	Ala	Val	Thr 1650	Gly	Tyr	Thr
Asp	Pro 1655	Tyr	Thr	Gly	Gln	Gln 1660	Ile	Ser	Leu	Phe	Gln 1665	Ala	Met	Gln
Lys	Asp	Leu	Ile	V al	Arg	Glu	His	Gly	Ile	Arg	Leu	Leu	Glu	Ala

	1670					1675					1680			
Gln	Ile 1685		Thr	Gly	Gly	Ile 1690		Asp	Pro	Val	His 1695	Ser	His	Arg
Val	Pro 1700	Val	Asp	Val	Ala	Tyr 1705	Arg	Cys	Gly	Tyr	Phe 1710	Asp	Glu	Glu
Met	Asn 1715	_	Ile	Leu	Ala	Asp 1720	Pro	Ser	Asp	Asp	Thr 1725	Lys	Gly	Phe
Phe	Asp 1730		Asn	Thr	His	Glu 1735	Asn	Leu	Thr	Tyr	Leu 1740	Gln	Leu	Leu
Glu	Arg 1745	_	Val	Glu	Asp	Pro 1750		Thr	Gly	Leu	Tyr 1755		Leu	Gln
Ile	Ile 1760	Lys	Lys	Gly	Glu	Asn 1765	Tyr	Val	Tyr	Ile	Asn 1770	Glu	Ala	Thr
Arg	His 1775		Leu	Gln	Ser	Arg 1780	Thr	Ala	Lys	Met	Arg 1785	Val	Gly	Arg
Phe	Ala 1790	_	Gln	Val	Val	Ser 1795	Phe	Trp	Asp	Leu	Leu 1800	Ser	Ser	Pro
Tyr	Phe 1805		Glu	Asp	Arg	Lys 1810	_	Glu	Leu	Ile	Gln 1815	Glu	Tyr	Gly
Ala	Gln 1820	Ser	Gly	Gly	Leu	Glu 1825	Lys	Leu	Leu	Glu	Ile 1830	Ile	Thr	Thr
Thr	Ile 1835	Glu	Glu	Thr	Glu	Thr 1840	Gln	Asn	Gln	Gly	Ile 1845	Lys	Val	Ala
Ala	Ile 1850	Arg	Gly	Glu	Val	Thr 1855	Ala	Ala	Asp	Leu	Phe 1860	Asn	Ser	Arg
Val	Ile 1865	_	Gln	Lys	Thr	Leu 1870	His	Thr	Leu	Arg	Val 1875	Gly	Arg	Thr
Gly	Gly 1880	Gln	Ala	Leu	Ser	Thr 1885	Leu	Glu	Cys	Val	Lys 1890	Pro	Tyr	Leu
Glu	Gly 1895	Ser	Asp	Cys	Ile	Ala 1900	Gly	Val	Thr	Val	Pro 1905	Ser	Thr	Arg

Glu Val 1910		Ser	Leu	His	Glu 1915		Ser	Arg	Lys	Glu 1920	Leu	Ile	Pro
Ala Ala 1925		Ala	Thr	Trp	Leu 1930		Glu	Ala	Gln	Ala 1935	Ala	Thr	Gly
Phe Leu 1940		Asp	Pro	Cys	Thr 1945	Arg	Gln	Lys	Leu	Ser 1950	Val	Asp	Glu
Ala Val 1955	_	Val	Gly	Leu	Val 1960	Asn	Glu	Glu	Leu	Arg 1965	Glu	Arg	Leu
Leu Lys 1970		Glu	Arg	Ala	Ala 1975	Thr	Gly	Tyr	Arg	Asp 1980	Pro	Ala	Thr
Gly As p 1985		Ile	Pro	Leu	Phe 1990		Ala	Met	Gln	Lys 1995	Gln	Leu	Ile
Glu Lys 2000		Glu	Ala	Leu	Arg 2005	Leu	Leu	Glu	Val	Gln 2010	Val	Ala	Thr
Gly Gly 2015		Ile	Asp	Pro	Gln 2020	His	His	His	Arg	Leu 2025	Pro	Leu	Glu
Thr Ala 2030	_	Arg	Arg	_	C ys 2035		His	ГĀЗ	_	Ile 2040	_	Ala	Leu
Ile Ser 2045	_	Gln	Lys	His	Met 2050	Arg	Lys	Arg	Phe	Val 2055	Asp	Pro	Asn
Thr Gln 2060	Glu	Lys	Val	Ser	Tyr 20 6 5	Arg	Glu	Leu	Gln	Glu 2070	Arg	Cys	Arg
Pro Gln 2075		Asp	Thr	Gly	Trp 2080	Val	Leu	Phe	Pro	Val 2085	Asn	Lys	Ala
Ala Arg 2090	_	Ser	Glu	His	Ile 2095	Asp	Asp	Glu	Thr	Arg 2100	Arg	Ala	Leu
Glu Ala 2105		Gln	Val	Glu	Ile 2110	Thr	Val	Gly	Arg	Phe 2115	Arg	Gly	Gln
Lys Pro 2120		Leu	Trp	Ala	Leu 2125	Leu	Asn	Ser	Glu	Tyr 2130	Val	Thr	Glu
Glu Lys 2135	_	Leu	Gln	Leu	Val 2140	Arg	Met	Tyr	Arg	Thr 2145	His	Thr	Arg

Arg Ala 2150		Gln	Thr	Val	Ala 2155		Leu	Ile	Leu	Glu 2160	Leu	Ile	Glu
Lys Gln 2165		Thr	Ser	Asn	Lys 2170	His	Leu	Trp	Phe	Gln 2175	Gly	Ile	Arg
Arg Gln 2180		Thr	Ala	Ser	Glu 2185	Leu	Leu	Ser	Ser	Ala 2190	Ile	Ile	Thr
Glu Glu 2195		Leu	Gln	Asp	Leu 2200	Glu	Thr	Gly	Arg	Ser 2205	Thr	Thr	Gln
Glu Leu 2210		Glu	Asp	Asp	Arg 2215	Val	Lys	Arg	Tyr	Leu 2220	Glu	Gly	Thr
Ser Cys 2225		Ala	Gly	Val	Leu 2230	Val	Pro	Ala	Lys	Asp 2235	Gln	Pro	Gly
Arg Gln 2240		Lys	Met	Ser	Ile 2245	Tyr	Gln	Ala	Met	Trp 2250	Lys	Gly	Val
Leu Arg 2255		Gly	Thr	Ala	Leu 2260	Val	Leu	Leu	Glu	Ala 2265	Gln	Ala	Ala
Thr Gly 2270		Val	Ile	_	Pro 2275		Arg	Asn		Arg 2280	Leu	Ser	Val
Glu Glu 2285	Pro	Val	Pro	Ala	Gly 2290	Val	Val	Gly	Ser	Glu 2295	Ile	Gln	Glu
Lys Leu 2300	Leu	Ser	Ala	Glu	Arg 2305	Ala	Val	Thr	Gly	Tyr 2310	Thr	Asp	Pro
Tyr Thr 2315		Gln	Gln	Ile	Ser 2320	Leu	Phe	Gln	Ala	Met 2325	Gln	Lys	Asp
Leu Ile 2330	Val	Arg	Glu	His	Gly 2335	Ile	Arg	Leu	Leu	Glu 2340	Ala	Gln	Ile
Ala Thr 2345	_	Gly	Val	Ile	Asp 2350	Pro	Val	His	Ser	His 2355	Arg	Val	Pro
Val Asp 2360		Ala	Tyr	Arg	Arg 2365	Gly	Tyr	Phe	Asp	Glu 2370	Glu	Met	Asn
Arg Val 2375		Ala	Asp	Pro	Ser 2380	Asp	Asp	Thr	Lys	Gly 2385	Phe	Phe	Asp

Pro	As n 2390		His	Glu	Asn	Leu 2395		Tyr	Val	Gln	Leu 2400	Leu	Arg	Arg
Cys	Val 2405	Pro	Asp	Pro	Asp	Thr 2410	Gly	Leu	Tyr	Met	Leu 2415	Gln	Leu	Ala
Gly	Arg 2420	Gly	Ser	Ala	Val	His 2425	Gln	Leu	Ser	Glu	Glu 2430	Leu	Arg	Cys
Ala	Leu 2435	Arg	Asp	Ala	Arg	Val 2440	Thr	Pro	Gly	Ser	Gly 2445	Ala	Leu	Gln
Gly	Gln 2450		Val	Ser	Val	Trp 2455		Leu	Leu	Phe	Tyr 2460	_	Glu	Val
Ser	Glu 2465	Asp	Arg	Arg	Gln	Asp 2470	Leu	Leu	Ser	Arg	Tyr 2475	Arg	Ala	Gly
Thr	Leu 2480	Thr	Val	Glu	Glu	Leu 2485	Gly	Ala	Thr	Leu	Thr 2490	Ser	Leu	Leu
Ala	Gln 2495	Ala	Gln	Ala	Gln	Ala 2500	Arg	Ala	Glu	Ala	Glu 2505	Ala	Gly	Ser
Pro	Arg 2510		Asp	Pro	Arg	Glu 2515	Ala	Leu	Arg	Ala	Ala 2520	Thr	Met	Glu
Val	Lys 2525		Gly	Arg	Leu	Arg 2530	_	Arg	Ala	Val	Pro 2535		Trp	Asp
Val	Leu 2540	Ala	Ser	Gly	Tyr	Val 2545	Ser	Arg	Ala	Ala	Arg 2550	Glu	Glu	Leu
Leu	Ala 2555	Glu	Phe	Gly	Ser	Gly 2560	Thr	Leu	Asp	Leu	Pro 2565	Ala	Leu	Thr
Arg	Arg 2570	Leu	Thr	Ala	Ile	Ile 2575	Glu	Glu	Ala	Glu	Glu 2580	Ala	Pro	Gly
Ala	Arg 2585	Pro	Gln	Leu	Gln	Asp 2590	Ala	Arg	Arg	Gly	Pro 2595	Arg	Glu	Pro
Gly	Pro 2600	Ala	Gly	Arg	Gly	Asp 2605	Gly	Asp	Ser	Gly	Arg 2610	Ser	Gln	Arg
Glu	Gly	Gln	Gly	Glu	Gly	Glu	Thr	Gln	Glu	Ala	Ala	Ala	Ala	Ala

	2615					2620					2625			
Ala	Ala 2630		Arg	Arg	Gln	Glu 2635	Gln	Thr	Leu	Arg	Asp 2640	Ala	Thr	Met
Glu	Val 2645		Arg	Gly	Gln	Phe 2650		Gly	Arg	Pro	Val 2655	Ser	Val	Trp
Asp	Val 2660	Leu	Phe	Ser	Ser	Tyr 2665	Leu	Ser	Glu	Ala	Arg 2670	Arg	Asp	Glu
Leu	Leu 2675	Ala	Gln	His	Ala	Ala 2680	Gly	Ala	Leu	Gly	Leu 2685	Pro	Asp	Leu
Val	Ala 2690	Val	Leu	Thr	Arg	Val 2695	Ile	Glu	Glu	Thr	Glu 2700	Glu	Arg	Leu
Ser	Lys 2705		Ser	Phe	Arg	Gly 2710	Leu	Arg	Arg	Gln	Val 2715	Ser	Ala	Ser
Glu	Leu 2720	His	Thr	Ser	Gly	Ile 2725	Leu	Gly	Pro	Glu	Thr 2730	Leu	Arg	Asp
Leu	Ala 2735	Gln	Gly	Thr	Lys	Thr 2740	Leu	Gln	Glu	Val	Thr 2745	Glu	Met	Asp
Ser	Val 2750		Arg	Tyr	Leu	Glu 2755	Gly	Thr	Ser	Cys	Ile 2760	Ala	Gly	Val
Leu	Val 2765	Pro	Ala	Lys	Asp	Gln 2770	Pro	Gly	Arg	Gln	Glu 2775	Lys	Met	Ser
Ile	Туг 2780	Gln	Ala	Met	Trp	Lys 2785	Gly	Val	Leu	Arg	Pro 2790	Gly	Thr	Ala
Leu	Val 2795	Leu	Leu	Glu	Ala	Gln 2800	Ala	Ala	Thr	Gly	Phe 2805	Val	Ile	Asp
Pro	Val 2810	Arg	Asn	Leu	Arg	Leu 2815	Ser	Val	Glu	Glu	Ala 2820	Val	Ala	Ala
Gly	Val 2825	Val	Gly	Gly	Glu	Ile 2830	Gln	Glu	Lys	Leu	Leu 2835	Ser	Ala	Glu
Arg	Ala 2840	Val	Thr	Gly	Tyr	Thr 2845	Asp	Pro	Tyr	Thr	Gly 2850	Gln	Gln	Ile

Ser	Leu 2855		Gln	Ala	Met	Gln 2860		Asp	Leu	Ile	Val 2865	Arg	Glu	His
Gly	Ile 2870	_	Leu	Leu	Glu	Ala 2875		Ile	Ala	Thr	Gly 2880	Gly	Val	Ile
Asp	Pro 2885		His	Ser	His	Arg 2890	Val	Pro	Val	Asp	Val 2895	Ala	Tyr	Arg
Arg	Gly 2900	Tyr	Phe	Asp	Glu	Glu 2905		Asn	Arg	Val	Leu 2910	Ala	Asp	Pro
Ser	Asp 2915		Thr	Lys	Gly	Phe 2920	Phe	Asp	Pro	Asn	Thr 2925	His	Glu	Asn
Leu	Thr 2930		Val	Gln	Leu	Leu 2935		Arg	Суѕ	Val	Pro 2940	Asp	Pro	Asp
Thr	Gly 2945	Leu	Tyr	Met	Leu	Gln 2950	Leu	Ala	Gly	Arg	Gly 2 95 5	Ser	Ala	Val
His	Gln 2960		Ser	Glu	Glu	Leu 2965	_	Cys	Ala	Leu	Arg 2970	Asp	Ala	Arg
Val	Thr 2975		Gly	Ser	_	Ala 2980		Gln	Gly	Gln	Ser 2985		Ser	Val
Trp	Glu 2990	Leu	Leu	Phe	Tyr	Arg 2995	Glu	Val	Ser	Glu	Asp 3000	Arg	Arg	Gln
Asp	Leu 3005	Leu	Ser	Arg	Tyr	Arg 3010	Ala	Gly	Thr	Leu	Thr 3015	Val	Glu	Glu
Leu	Gly 3020	Ala	Thr	Leu	Thr	Ser 3025	Leu	Leu	Ala	Gln	Ala 3030	Gln	Ala	Gln
Ala	Arg 3035	Ala	Glu	Ala	Glu	Ala 3040	Gly	Ser	Pro	Arg	Pro 3045	Asp	Pro	Arg
Glu	Ala 3050	Leu	Arg	Ala	Ala	Thr 3055	Met	Glu	Val	Lys	Val 3060	Gly	Arg	Leu
Arg	Gly 3065	_	Ala	Val	Pro	Val 3070	Trp	Asp	Val	Leu	Ala 3075	Ser	Gly	Tyr
Val	Ser 3080	Gly	Ala	Ala	Arg	Glu 3085		Leu	Leu	Ala	Glu 3090	Phe	Gly	Ser

Gly	Thr 3095		Asp	Leu	Pro	A la 3100		Thr	Arg	Arg	Leu 3105		Ala	Ile
Ile	Glu 3110		Ala	Glu	Glu	Ala 3115		Gly	Ala	Arg	Pro 3120		Leu	Gln
Asp	Ala 3125	Trp	Arg	Gly	Pro	Arg 3130	Glu	Pro	Gly	Pro	Ala 3135	Gly	Arg	Gly
Asp	Gly 3140	Asp	Ser	Gly	Arg	Ser 3145	Gln	Arg	Glu	Gly	Gln 3150	Gly	Glu	Gly
Glu	Thr 3155		Glu	Ala	Ala	Ala 3160	Ala	Ala	Ala	Ala	Ala 3165	Arg	Arg	Gln
Glu	Gln 3170		Leu	Arg	Asp	Ala 3175		Met	Glu	Val	Gln 3180	Arg	Gly	Gln
Phe	Gln 3185	_	Arg	Pro	Val	Ser 3190	Val	Trp	Asp	Val	Leu 31 9 5		Ser	Ser
Tyr	Leu 3200		Glu	Ala	Arg	Arg 3205		Glu	Leu	Leu	Ala 3210	Gln	His	Ala
Ala	Gly 3215		Leu	Gly	Leu	Pro 3220	_	Leu	Val	Ala	Val 3225		Thr	Arg
Val	Ile 3230		Glu	Thr	Glu	Glu 3235	Arg	Leu	Ser	Lys	Val 3240	Ser	Phe	Arg
Gly	Leu 3245	Arg	Arg	Gln	Val	Ser 3250	Ala	Ser	Glu	Leu	His 3255	Thr	Ser	Gly
Ile	Leu 3260	Gly	Pro	Glu	Thr	Leu 3265	Arg	Asp	Leu	Ala	Gln 3270	Gly	Thr	Lys
Thr	Leu 3275	Gln	Glu	Val	Thr	Glu 3280	Met	Asp	Ser	Val	Lys 3285	Arg	Tyr	Leu
Glu	Gly 3290		Ser	Cys	Ile	Ala 3295	Gly	Val	Leu	Val	Pro 3300	Ala	Lys	Asp
Gln	Pro 3305	_	Arg	Gln	Glu	Lys 3310	Met	Ser	Ile	Tyr	Gln 3315	Ala	Met	Trp
Lys	Gly 3320		Leu	Arg	Pro	Gly 3325	Thr	Ala	Leu	Val	Leu 3330	Leu	Glu	Ala

Gln Ala 3335		Thr	Gly	Phe	Val 3340		Asp	Pro	Val	A rg 3345	Asn	Leu	Arg
Leu Ser 3350		Glu	Glu	Ala	Val 3355		Ala	Gly	Val	Val 3360	Gly	Gly	Glu
Ile Gln 3365		Lys	Leu	Leu	Ser 3370	Ala	Glu	Arg	Ala	Val 3375	Thr	Gly	Tyr
Thr Asp 3380		Tyr	Thr	Gly	Gln 3385		Ile	Ser	Leu	Phe 3390	Gln	Ala	Met
Gln Lys 3395	_	Leu	Ile	Val	Arg 3400		His	Gly	Ile	Arg 3405	Leu	Leu	Glu
Ala Gln 3410		Ala	Thr	Gly	Gly 3415		Ile	Asp	Pro	Val 3420	His	Ser	His
Arg Val 3425		Val	Asp	Val	Ala 3430	_	Arg	Arg	Gly	Tyr 3435	Phe	Asp	Glu
Glu Met 3440	Asn	Arg	Val	Leu	Ala 3 44 5	Asp	Pro	Ser	Asp	Asp 3450	Thr	Lys	Gly
Phe Phe 3455	_	Pro	Asn	Thr	His 3460		Asn	Leu	Thr	Tyr 3465	Val	Gln	Leu
Leu Arg 3470	_	Cys	Val	Pro	Asp 3475		Asp	Thr	Gly	Leu 3480	Tyr	Met	Leu
Gln Leu 3485	Ala	Gly	Arg	Gly	Ser 3490	Ala	Val	His	Gln	Leu 3495	Ser	Glu	Glu
Leu Arg 3500	Сув	Ala	Leu	Arg	As p 3505	Ala	Arg	Val	Thr	Pro 3510	Gly	Ser	Gly
Ala Leu 3515	Gln	Gly	Gln	Ser	Val 3520	Ser	Val	Trp	Glu	Leu 3525	Leu	Phe	Tyr
Arg Glu 3530	Val	Ser	Glu	Asp	Arg 3535	Arg	Gln	Asp	Leu	Leu 3540	Ser	Arg	Tyr
Arg Ala 3545	Gly	Thr	Leu	Thr	Val 3550	Glu	Glu	Leu	Gly	Ala 3555	Thr	Leu	Thr
Ser Leu	Leu	Ala	Gln	Ala	Gln	Ala	Gln	Ala	Arg	Ala	Glu	Ala	Glu

	3560					3565					3570			
Ala	Gly 3575	Ser	Pro	Arg	Pro	Asp 3580		Arg	Glu	Ala	Leu 3585	Arg	Ala	Ala
Thr	Met 3590	Glu	Val	Lys	Val	Gly 3595	_	Leu	Arg	Gly	A rg 3600	Ala	Val	Pro
Val	Trp 3605	Asp	Val	Leu	Ala	Ser 3610	Gly	Tyr	Val	Ser	Gly 3615	Ala	Ala	Arg
Glu	Glu 3620	Leu	Leu	Ala	Glu	Phe 3625	Gly	Ser	Gly	Thr	Leu 3630	Asp	Leu	Pro
Ala	Leu 3635	Thr	Arg	Arg	Leu	Thr 3640	Ala	Ile	Ile	Glu	Glu 3645	Ala	Glu	Glu
Ala	Pro 3650	Gly	Ala	Arg	Pro	Gln 3655	Leu	Gln	Asp	Ala	Trp 3660	Arg	Gly	Pro
Arg	Glu 3665	Pro	Gly	Pro	Ala	Gly 3670	Arg	Gly	Asp	Gly	Asp 3675	Ser	Gly	Arg
Ser	Gln 3680	Arg	Glu	Gly	Gln	Gly 3685	Glu	Gly	Glu	Thr	Gln 3690	Glu	Ala	Ala
Ala	Ala 3695	Ala	Ala	Ala	Ala	Arg 3700	Arg	Gln	Glu	Gln	Thr 3705	Leu	Arg	Asp
Ala	Thr 3710	Met	Glu	Val	Gln	Arg 3715	Gly	Gln	Phe	Gln	Gly 3720	Arg	Pro	Val
Ser	Val 3725	Trp	Asp	Val	Leu	Phe 3730	Ser	Ser	Tyr	Leu	Ser 3735	Glu	Ala	Arg
Arg	Asp 3740	Glu	Leu	Leu	Ala	Gln 3745	His	Ala	Ala	Gly	Ala 3750	Leu	Gly	Leu
Pro	Asp 3755	Leu	Val	Ala	Val	Leu 3760	Thr	Arg	Val	Ile	Glu 3765	Glu	Thr	Glu
Glu	Arg 3770	Leu	Ser	Lys	Val	Ser 3775	Phe	Arg	Gly	Leu	Arg 3780	Arg	Gln	Val
Ser	Ala 3785	Ser	Glu	Leu	His	Thr 3790	Ser	Gly	Ile	Leu	Gly 3795	Pro	Glu	Thr

Leu Arg 380	_	Leu	Ala	Gln	Gly 3805	Thr	Lys	Thr	Leu	Gln 3810	Glu	Val	Thr
Glu Met 381	_	Ser	Val	_	Arg 3820	_	Leu	Glu	Gly	Thr 3825	Ser	Cys	Ile
Ala Gly 383		Leu	Val	Pro	Ala 3835	_	Asp	Gln	Pro	Gly 3840	Arg	Gln	Glu
Lys Met 384		Ile	Tyr	Gln	Ala 3850		Trp	Lys	Gly	Val 3855	Leu	Arg	Pro
Gly Thr 386		Leu	Val	Leu	Leu 3865		Ala	Gln	Ala	Ala 3870		Gly	Phe
Val Ile 387		Pro	Val	Arg	Asn 3880		Arg	Leu	Ser	Val 3885	Glu	Glu	Ala
Val Ala 389		Gly	Val	Val	Gly 3895		Glu	Ile	Gln	Glu 3900		Leu	Leu
Ser Ala 390		Arg	Ala	Val	Thr 3910	Gly	Tyr	Thr	Asp	Pro 3915	Tyr	Thr	Gly
Gln Gln 392		Ser	Leu		Gln 3925		Met	Gln	_	Asp 3930	Leu	Ile	Val
Arg Glu 393		Gly	Ile	Arg	Leu 3940	Leu	Glu	Ala	Gln	Ile 3945	Ala	Thr	Gly
Gl y V al 395		Asp	Pro	Val	His 3955	Ser	His	Arg	Val	Pro 3960	Val	Asp	Val
Ala Tyr 396		Arg	Gly	Tyr	Phe 3970	Asp	Glu	Glu	Met	Asn 3975	Arg	Val	Leu
Ala Asp 398		Ser	Asp	Asp	Thr 3985	Lys	Gly	Phe	Phe	Asp 3990	Pro	Asn	Thr
His Glu 399		Leu	Thr	Tyr	Val 4000	Gln	Leu	Leu	Arg	Arg 4005	Cys	Val	Pro
Asp Pro	_	Thr	Gly	Leu	Tyr 4015	Met	Leu	Gln	Leu	Ala 4020	Gly	Arg	Gly
Ser Ala 402		His	Gln	Leu	Ser 4030	Glu	Glu	Leu	Arg	Cys 4035	Ala	Leu	Arg

Asp Ala 4040		Val	Thr	Pro	Gly 4045		Gly	Ala	Leu	Gln 4050	Gly	Gln	Ser
Val Ser 4055		Trp	Glu	Leu	Leu 4060		Tyr	Arg	Glu	Val 4065	Ser	Glu	Asp
Arg Arg 4070		Asp	Leu	Leu	Ser 4075	Arg	Tyr	Arg	Ala	Ser 4080	Thr	Leu	Thr
Val Glu 4085		Leu	Gly	Ala	Thr 4090	Leu	Thr	Ser	Leu	Leu 4095	Ala	Gln	Ala
Gln Ala 4100	Gln	Ala	Arg	Ala	Glu 4105	Ala	Glu	Ala	Gly	Ser 4110	Pro	Arg	Pro
Asp Pro 4115		Glu	Ala		Arg 4120		Ala	Thr	Met	Glu 4125	Val	Lys	Val
Gly Arg 4130		Arg	Gly	Arg	Ala 4135	Val	Pro	Val	Trp	Asp 4140	Val	Leu	Ala
Ser Gly 4145		Val	Ser	Arg	Ala 4150	Ala	Arg	Glu	Glu	Leu 4155	Leu	Ala	Glu
Phe Gly 4160		Gly	Thr	Leu	Asp 4165	Leu	Pro	Ala	Leu	Thr 4170	_	Arg	Leu
Thr Ala 4175	Ile	Ile	Glu	Glu	Ala 4180	Glu	Glu	Ala	Pro	Gly 4185	Ala	Arg	Pro
Gln Leu 4190	Gln	Asp	Ala	Trp	Arg 4195	Gly	Pro	Arg	Glu	Pro 4200	Gly	Pro	Ala
Gly Arg 4205	Gly	Asp	Gly	Asp	Ser 4210	Gly	Arg	Ser	Gln	Arg 4215	Glu	Gly	Gln
Gly Glu 4220	Gly	Glu	Thr	Gln	Glu 4225	Ala	Ala	Ala	Ala	Thr 4230	Ala	Ala	Ala
Arg Arg 4235		Glu	Gln	Thr	Leu 4240	Arg	Asp	Ala	Thr	Met 4245	Glu	Val	Gln
Arg Gly 4250		Phe	Gln	Gly	Arg 4255	Pro	Val	Ser	Val	Trp 4260	Asp	Val	Leu
Phe Ser 4265		Tyr	Leu	Ser	Glu 4270	Ala	Arg	Arg	Asp	Glu 4275	Leu	Leu	Ala

Gln	His 4280		Ala	Gly		Leu 4285		Leu	Pro	Asp	Leu 4290		Ala	Val
Leu	Thr 4295	Arg	Val	Ile	Glu	Glu 4300		Glu	Glu	Arg	Leu 4305	Ser	Lys	Val
Ser	Phe 4310	Arg	Gly	Leu	Arg	Arg 4315	Gln	Val	Ser	Ala	Ser 4320	Glu	Leu	His
Thr	Ser 4325	Gly	Ile	Leu	Gly	Pro 4330	Glu	Thr	Leu	Arg	Asp 4335	Leu	Ala	Gln
Gly	Thr 4340	_	Thr	Leu		Glu 4345		Thr	Glu	Met	Asp 4350	Ser	Val	Lys
Arg	Tyr 4355		Glu	Gly	Thr	Ser 4360	_	Ile	Ala	_	Val 4365		Val	Pro
Ala	Lys 4370	Asp	Gln	Pro	Gly	Arg 4375	Gln	Glu	Lys	Met	Ser 4380	Ile	Tyr	Gln
Ala	Met 4385	Trp	Lys	Gly		Leu 4390	_	Pro	Gly	Thr	Ala 4395	Leu	Val	Leu
Leu	Glu 4400	Ala	Gln	Ala	Ala	Thr 4405	Gly	Phe	Val	Ile	Asp 4410	Pro	Val	Arg
Asn	Leu 4415	Arg	Leu	Ser	Val	Glu 4420	Glu	Ala	Val	Ala	Ala 4425	Gly	Val	Val
Gly	Gly 4430	Glu	Ile	Gln	Glu	Lys 4435	Leu	Leu	Ser	Ala	Glu 4440	Arg	Ala	Val
Thr	Gly 4445	Tyr	Thr	Asp	Pro	Tyr 4450	Thr	Gly	Gln	Gln	Ile 4455	Ser	Leu	Phe
Gln	Ala 4460	Met	Gln	Lys	Asp	Leu 4465	Ile	Val	Arg	Glu	His 44 70	Gly	Ile	Arg
Leu	Leu 4475	Glu	Ala	Gln	Ile	Ala 4480	Thr	Gly	Gly	Val	Ile 4485	Asp	Pro	Val
His	Ser 4490	His	Arg	Val	Pro	Val 4495	Asp	Val	Ala	Tyr	Arg 4500	Arg	Gly	Tyr
Phe	Asp	Glu	Glu	Met	Asn	Arg	Val	Leu	Ala	Asp	Pro	Ser	Asp	Asp

	4505					4510					4515			
Thr	Lys 4520	_	Phe	Phe	Asp	Pro 4525	Asn	Thr	His	Glu	Asn 4530	Leu	Thr	Tyr
Val	Gln 4535		Leu	Arg	Arg	Cys 4540	Val	Pro	Asp	Pro	Asp 4545	Thr	Gly	Leu
Tyr	Met 4550	Leu	Gln	Leu	Ala	Gly 4555	Arg	Gly	Ser	Ala	Val 4560	His	Gln	Leu
Ser	Glu 4 565		Leu	Arg	Cys	Ala 4570		Arg	Asp	Ala	Arg 4575	Val	Thr	Pro
Gly	Ser 4580		Ala	Leu	Gln	Gly 4585		Ser	Val	Ser	Val 4590	Trp	Glu	Leu
Leu	Phe 4595	Tyr	Arg	Glu	Val	Ser 4600	Glu	Asp	Arg	Arg	Gln 4605	Asp	Leu	Leu
Ser	Arg 4610	Tyr	Arg	Ala	Gly	Thr 4615	Leu	Thr	Val	Glu	Glu 4620	Leu	Gly	Ala
Thr	Leu 4625	Thr	Ser	Leu	Leu	Ala 4630	Gln	Ala	Gln	Ala	Gln 4635	Ala	Arg	Ala
Glu	Ala 4640	Glu	Ala	Gly	Ser	Pro 4645	-	Pro	Asp	Pro	Arg 4650	Glu	Ala	Leu
Arg	Ala 4655	Ala	Thr	Met	Glu	Val 4660	Lys	Val	Gly	Arg	Leu 4665	Arg	Gly	Arg
Ala	Val 4670	Pro	Val	Trp	Asp	Val 4675	Leu	Ala	Ser	Gly	Tyr 4680	Val	Ser	Gly
Ala	Ala 4685	Arg	Glu	Glu	Leu	Leu 4690	Ala	Glu	Phe	Gly	Ser 4695	Gly	Thr	Leu
Asp	Leu 4700	Pro	Ala	Leu	Thr	Arg 4705	Arg	Leu	Thr	Ala	Ile 4710	Ile	Glu	Glu
Ala	Glu 4715	Glu	Ala	Pro	Gly	Ala 4720	Arg	Pro	Gln	Leu	Gln 4725	Asp	Ala	Trp
Arg	Gly 4730	Pro	Arg	Glu	Pro	Gly 4735	Pro	Ala	Gly	Arg	Gly 4740	Asp	Gly	Asp

Ser	Gly 4745		Ser	Gln	Arg	Glu 4750	_	Gln	Gly	Glu	Gly 4755		Thr	Gln
Glu	Ala 4760	Ala	Ala	Ala	Ala	Ala 4765	Ala	Ala	Arg	Arg	Gln 4770	Glu	Gln	Thr
Leu	Arg 4775	Asp	Ala	Thr	Met	Glu 4780	Val	Gln	Arg	Gly	Gln 4785	Phe	Gln	Gly
Arg	Pro 4790	Val	Ser	Val	Trp	Asp 4795	Val	Leu	Phe	Ser	Ser 4800	Tyr	Leu	Ser
Glu	Ala 4805	Arg	Arg	Asp	Glu	Leu 4810	Leu	Ala	Gln	His	Ala 4815	Ala	Gly	Ala
Leu	Gly 4820	Leu	Pro	Asp	Leu	Val 4825		Val	Leu	Thr	Arg 4830	Val	Ile	Glu
Glu	Thr 4835	Glu	Glu	Arg	Leu	Ser 4840	Lys	Val	Ser	Phe	Arg 4845	Gly	Leu	Arg
Arg	Gln 4850	Val	Ser	Ala	Ser	Glu 4855		His	Thr	Ser	Gly 4860	Ile	Leu	Gly
Pro	Glu 4865		Leu	Arg	Asp	Leu 4870		Gln	Gly	Thr	Lys 4875		Leu	Gln
Glu	Val 4880	Thr	Glu	Met	Asp	Ser 4885	Val	Lys	Arg	Tyr	Leu 4890	Glu	Gly	Thr
Ser	Cys 4895	Ile	Ala	Gly	Val	Leu 4900	Val	Pro	Ala	Lys	Asp 4905	Gln	Pro	Gly
Arg	Gln 4910	Glu	Lys	Met	Ser	Ile 4915	Tyr	Gln	Ala	Met	Trp 4920	Lys	Gly	Val
Leu	Arg 4925	Pro	Gly	Thr	Ala	Leu 4930	Val	Leu	Leu	Glu	Ala 4935	Gln	Ala	Ala
Thr	Gly 4940	Phe	Val	Ile	Asp	Pro 4945	Val	Arg	Asn	Leu	Arg 4950	Leu	Ser	Val
Glu	Glu 4955	Ala	Val	Ala	Ala	Gly 4960	Val	Val	Gly	Gly	Glu 4965	Ile	Gln	Glu
Lys	Leu 4970	Leu	Ser	Ala	Glu	Arg 4975	Ala	Val	Thr	Gly	Tyr 4980	Thr	Asp	Pro

Tyr	Thr 4985		7 Gln	Gln	Ile	Ser 499		eu Pi	he G	€ln	Ala	Met 4995		Lys	Asp
Leu	Ile 5000		Arg	Glu	His	Gly 500		e A	rg I	ieu	Leu	Glu 5010	Ala	Gln	Ile
Ala	Thr 5015	_	, Gly	Val	Ile	Asp 502		o V	al H	lis	Ser	His 5025	Arg	Val	Pro
Val	Asp 5030		Ala	Tyr	Arg	Arg 503		у Т	yr F	he	Asp	Glu 5040	Glu	Met	Asn
Arg	Val 5045		ı Ala	Asp	Pro	Ser 505		sp A	sp I	Thr	Lys	Gly 5055	Phe	Phe	Asp
Pro	Asn 5060		His	Glu	. Asn	Leu 506		r T	yr I	Leu	Gln	Leu 5070	Leu	Gln	Arg
Ala	Thr 5075		ı Asp	Pro	Glu	Thr 508		y L	eu I	Leu	Phe	Leu 5085		Leu	Ser
Leu	Gln 5090)													
<210><211><211><212><213>	515	o sapi	ens												
	> > misc_ > Isofo			de glud	cosa-6	i-fosfa	to 1-d	ehidre	ogena	asa					
<400>	> 5														
Met 1	Ala	Glu	Gln	Val 5	Ala	Leu	Ser	Arg	Th:	r Gl	ln Va	al Cy	s Gl	y Ile 15	e Leu
Arg	Glu	Glu	Leu 20	Phe	Gln	Gly	Asp	Ala 25	Phe	e Hi	Ls G	ln Se	r As	p Th	r His
Ile	Phe	Ile 35	Ile	Met	Gly	Ala	Ser 40	Gly	Ası	o Le	eu A	la Ly 45	_	s Ly	s Ile
Tyr	Pro 50	Thr	Ile	Trp	Trp	Leu 55	Phe	Arg	Ası	e Gl	Ly Lo	_	u Pr	o Gl	u Asn
Thr 65	Phe	Ile	Val	Gly	Tyr 70	Ala	Arg	Ser	Arc	g Le 75		hr Va	l Al	a As	p Ile 80

7	Arg	Lys	Gln	Ser	G1u 85	Pro	Phe	Phe	Lys	Ala 90	Thr	Pro	Glu	Glu	Lys 95	Leu
Ι	ŗĀs	Leu	Glu	Asp 100	Phe	Phe	Ala	Arg	Asn 105	Ser	Tyr	Val	Ala	Gly 110	Gln	Tyr
F	Asp	Asp	Ala 115	Ala	Ser	Tyr	Gln	Arg 120	Leu	Asn	Ser	His	Met 125	Asn	Ala	Leu
F	lis	Leu 130	Gly	Ser	Gln	Ala	As n 135	Arg	Leu	Phe	Tyr	Leu 140	Ala	Leu	Pro	Pro
	Thr L45	Val	Tyr	Glu	Ala	Val 150	Thr	Lys	Asn	Ile	His 155	Glu	Ser	Суѕ	Met	Ser 160
G	Sln	Ile	Gly	Trp	Asn 165	Arg	Ile	Ile	Val	Glu 170	Lys	Pro	Phe	Gly	Arg 175	Asp
Ι	Leu	Gln	Ser	Ser 180	Asp	Arg	Leu	Ser	Asn 185	His	Ile	Ser	Ser	Leu 190	Phe	Arg
G	Slu	Asp	Gln 195	Ile	Tyr	Arg	Ile	Asp 200	His	Tyr	Leu	Gly	Lys 205	Glu	Met	Val
G	Sln	A sn 210	Leu	Met	Val	Leu	A rg 215	Phe	Ala	Asn	Arg	Ile 220	Phe	Gly	Pro	Ile
	rp 225	Asn	Arg	Asp	Asn	Ile 230	Ala	Cys	Val	Ile	Leu 235	Thr	Phe	Lys	Glu	Pro 240
E	he	Gly	Thr	Glu	Gly 245	Arg	Gly	Gly		Phe 250	Asp	Glu	Phe	Gly	Ile 255	Ile
F	Arg	Asp	Val	Met 260	Gln	Asn	His	Leu	Leu 265	Gln	Met	Leu	Сув	Leu 270	Val	Ala
N	1et	Glu	Lys 275	Pro	Ala	Ser	Thr	Asn 280	Ser	Asp	Asp	Val	Arg 285	Asp	Glu	Lys
7	/al	Lys 290	Val	Leu	Lys	Суз	Ile 295	Ser	Glu	Val	Gln	Ala 300	Asn	Asn	Val	Val
	Leu 305	Gly	Gln	Tyr	Val	Gly 310	Asn	Pro	Asp	Gly	Glu 315	Gly	Glu	Ala	Thr	Lys 320
C	ilv	Tyr	Leu	Asp	Asp	Pro	Thr	Val	Pro	Arg	Glv	Ser	Thr	Thr	Ala	Thr

				325					330					335	
Phe	Ala	Ala	Val 340	Val	Leu	Tyr	Val	Glu 345	Asn	Glu	Arg	Trp	Asp 350	Gly	Val
Pro	Phe	Ile 355	Leu	Arg	Cys	Gly	Lys 360	Ala	Leu	Asn	Glu	Arg 365	Lys	Ala	Glu
Val	A rg 370	Leu	Gln	Phe	His	Asp 375	Val	Ala	Gly	Asp	Ile 380	Phe	His	Gln	Gln
Cys 385	Lys	Arg	Asn	Glu	Leu 390	Val	Ile	Arg	Val	Gln 395	Pro	Asn	Glu	Ala	Val 400
Tyr	Thr	Lys	Met	Met 405	Thr	Lys	Lys	Pro	Gly 410	Met	Phe	Phe	Asn	Pro 415	Glu
Glu	Ser	Glu	Leu 420	Asp	Leu	Thr	Tyr	Gly 425	Asn	Arg	Tyr	Lys	Asn 4 30	Val	Lys
Leu	Pro	Asp 435	Ala	Tyr	Glu	Arg	Leu 440	Ile	Leu	Asp	Val	Phe 445	Cys	Gly	Ser
Gln	Met 450	His	Phe	Val	Arg	Ser 455	Asp	Glu	Leu	Arg	Glu 460	Ala	Trp	Arg	Ile
Phe 465	Thr	Pro	Leu	Leu	His 470	Gln	Ile	Glu	Leu	Glu 475	Lys	Pro	Lys	Pro	Ile 480
Pro	Tyr	Ile	Tyr	Gly 485	Ser	Arg	Gly	Pro	Thr 490	Glu	Ala	Asp	Glu	Leu 495	Met
Lys	Arg	Val	Gly 500	Phe	Gln	Tyr	Glu	Gly 505	Thr	Tyr	Lys	Trp	V al 510	Asn	Pro
His	Lys	Leu 515													
<210><211><211><212><213>	561 PRT	o sapi	ens												
<220> <221> <223>	misc_			de glu	cosa-6	6-fosfa	to 1-d	eshidr	ogena	ısa					

5

10

<400> 6

Met 1	Ala	Glu	Gln	Val 5	Ala	Leu	Ser	Arg	Thr 10	Gln	Val	Cys	Gly	Ile 15	Leu
Arg	Glu	Glu	Leu 20	Phe	Gln	Gly	Asp	Ala 25	Phe	His	Gln	Ser	Asp 30	Thr	His
Ile	Phe	Ile 35	Ile	Met	Gly	Ala	Ser 40	Gly	Asp	Leu	Ala	Lys 45	Lys	Lys	Ile
Tyr	Pro 50	Thr	Ile	Trp	Trp	Leu 55	Phe	Arg	Asp	Gly	Leu 60	Leu	Pro	Glu	Asn
Thr 65	Phe	Ile	Val	Gly	Tyr 70	Ala	Arg	Ser	Arg	Leu 75	Thr	Val	Ala	Asp	Ile 80
Arg	Lys	Gln	Ser	Glu 85	Pro	Phe	Phe	Lys	Ala 90	Thr	Pro	Glu	Glu	Lys 95	Leu
Lys	Leu	Glu	Asp 100	Phe	Phe	Ala	Arg	Asn 105	Ser	Tyr	Val	Ala	Gly 110	Gln	Tyr
Asp	Asp	Ala 115	Ala	Ser	Tyr	Gln	A rg 120	Leu	Asn	Ser	His	Met 125	Asn	Ala	Leu
His	Leu 130	Gly	Ser	Gln	Ala	Asn 135	Arg	Leu	Phe	Tyr	Leu 140	Ala	Leu	Pro	Pro
Thr 145	Val	Tyr	Glu	Ala	Val 150	Thr	Lys	Asn	Ile	His 155	Glu	Ser	Cys	Met	Ser 160
Gln	Ile	Gly	_	A sn 165	-	Ile	Ile		Glu 170	-	Pro	Phe	_	Arg 175	_
Leu	Gln	Ser	Ser 180	Asp	Arg	Leu	Ser	Asn 185	His	Ile	Ser	Ser	Leu 190	Phe	Arg
Glu	Asp	Gln 195	Ile	Tyr	Arg	Ile	Asp 200	His	Tyr	Leu	Gly	Lys 205	Glu	Met	Val
Gln	Asn 210	Leu	Met	Val	Leu	Arg 215	Phe	Ala	Asn	Arg	Ile 220	Phe	Gly	Pro	Ile
Trp 225	Asn	Arg	Asp	Asn	Ile 230	Ala	Cys	Val	Ile	Leu 235	Thr	Phe	Lys	Glu	Pro 240
Phe	Gly	Thr	Glu	Gly 245	Arg	Gly	Gly	Tyr	Phe 250	Asp	Glu	Phe	Gly	Ile 255	Ile

Arg	Gly	Pro	Gly 260	Arg	Gln	Gly	Gly	Ser 265	Gly	Ser	Glu	Ser	Cys 270	Ser	Leu
Ser	Leu	Gly 275	Ser	Leu	Val	Trp	Gly 280	Pro	His	Ala	Leu	Glu 285	Pro	Gly	Glu
Gln	Gly 290	Gly	Glu	Leu	Arg	Arg 295	Ala	Leu	Ala	Ser	Ser 300	Val	Pro	Arg	Asp
Val 305	Met	Gln	Asn	His	Leu 310	Leu	Gln	Met	Leu	Cys 315	Leu	Val	Ala	Met	Glu 320
Lys	Pro	Ala	Ser	Thr 325	Asn	Ser	Asp	Asp	Val 330	Arg	Asp	Glu	Lys	Val 335	Lys
Val	Leu	Lys	Cys 340	Ile	Ser	Glu	Val	Gln 345	Ala	Asn	Asn	Val	Val 350	Leu	Gly
Gln	Tyr	Val 355	Gly	Asn	Pro	Asp	Gly 360	Glu	Gly	Glu	Ala	Thr 365	Lys	Gly	Tyr
Leu	Asp 370	Asp	Pro	Thr	Val	Pro 375	Arg	Gly	Ser	Thr	Thr 380	Ala	Thr	Phe	Ala
A la 385	Val	Val	Leu	Tyr	Val 390	Glu	Asn	Glu	Arg	Trp 395	Asp	Gly	Val	Pro	Phe 400
Ile	Leu	Arg	Cys	Gly 405	Lys	Ala	Leu	Asn	Glu 410	Arg	Lys	Ala	Glu	Val 415	Arg
Leu	Gln		His 420	_			Gly	_		Phe			Gln 430	_	Lys
Arg	Asn	Glu 435	Leu	Val	Ile	Arg	Val 440	Gln	Pro	Asn	Glu	Ala 445	Val	Tyr	Thr
Lys	Met 450	Met	Thr	Lys	Lys	Pro 455	Gly	Met	Phe	Phe	Asn 460	Pro	Glu	Glu	Ser
Glu 465	Leu	Asp	Leu	Thr	Tyr 470	Gly	Asn	Arg	Tyr	Lys 475	Asn	Val	Lys	Leu	Pro 480
Asp	Ala	Tyr	Glu	Arg 485	Leu	Ile	Leu	Asp	Val 490	Phe	Cys	Gly	Ser	Gln 495	Met
His	Phe	Val	Arg 500	Ser	Asp	Glu	Leu	Arg 505	Glu	Ala	Trp	Arg	Ile 510	Phe	Thr

Pro Leu Leu His Gln Ile Glu Leu Glu Lys Pro Lys Pro Ile Pro Tyr 520 525 Ile Tyr Gly Ser Arg Gly Pro Thr Glu Ala Asp Glu Leu Met Lys Arg 530 Val Gly Phe Gln Tyr Glu Gly Thr Tyr Lys Trp Val Asn Pro His Lys Leu <210>7 <211> 545 <212> PRT <213> Homo sapiens <220> <221> misc_feature <223> Isoforma 3 corta de glucosa-6-fosfato 1-deshidrogenasa <400> 7 Met Gly Arg Arg Gly Ser Ala Pro Gly Asn Gly Arg Thr Leu Arg Gly Cys Glu Arg Gly Gly Arg Arg Arg Ser Ala Asp Ser Val Met Ala 20 25 Glu Gln Val Ala Leu Ser Arg Thr Gln Val Cys Gly Ile Leu Arg Glu 35 40 Glu Leu Phe Gln Gly Asp Ala Phe His Gln Ser Asp Thr His Ile Phe 50 Ile Ile Met Gly Ala Ser Gly Asp Leu Ala Lys Lys Ile Tyr Pro Thr Ile Trp Trp Leu Phe Arg Asp Gly Leu Leu Pro Glu Asn Thr Phe Ile Val Gly Tyr Ala Arg Ser Arg Leu Thr Val Ala Asp Ile Arg Lys 100 105 Gln Ser Glu Pro Phe Phe Lys Ala Thr Pro Glu Glu Lys Leu Lys Leu 115 120 Glu Asp Phe Phe Ala Arg Asn Ser Tyr Val Ala Gly Gln Tyr Asp Asp

	130					135					140				
Ala 145	Ala	Ser	Tyr	Gln	Arg 150	Leu	Asn	Ser	His	Met 155	Asn	Ala	Leu	His	Leu 160
Gly	Ser	Gln	Ala	Asn 165	Arg	Leu	Phe	Tyr	Leu 170	Ala	Leu	Pro	Pro	Thr 175	Val
Tyr	Glu	Ala	Val 180	Thr	Lys	Asn	Ile	His 185	Glu	Ser	Сув	Met	Ser 190	Gln	Ile
Gly	Trp	Asn 195	Arg	Ile	Ile	Val	Glu 200	Lys	Pro	Phe	Gly	Arg 205	Asp	Leu	Gln
Ser	Ser 210	Asp	Arg	Leu	Ser	Asn 215	His	Ile	Ser	Ser	Leu 220	Phe	Arg	Glu	Asp
Gln 225	Ile	Tyr	Arg	Ile	Asp 230	His	Tyr	Leu	Gly	Lys 235	Glu	Met	Val	Gln	Asn 240
Leu	Met	Val	Leu	Arg 245	Phe	Ala	Asn	Arg	11e 250	Phe	Gly	Pro	Ile	Trp 255	Asn
Arg	Asp	Asn	Ile 260	Ala	Cys	Val	Ile	Leu 265	Thr	Phe	Lys	Glu	Pro 270	Phe	Gly
Thr	Glu	Gly 275	Arg	Gly	Gly	Tyr	Phe 280	Asp	Glu	Phe	Gly	Ile 285	Ile	Arg	Asp
Val	Met 290	Gln	Asn	His	Leu	Leu 295	Gln	Met	Leu	Cys	Leu 300	Val	Ala	Met	Glu
Lys 305	Pro	Ala	Ser	Thr	Asn 310	Ser	Asp	Asp	Val	Arg 315	Asp	Glu	Lys	Val	Lys 320
Val	Leu	Lys	Суѕ	Ile 325	Ser	Glu	Val	Gln	Ala 330	Asn	Asn	Val	Val	Leu 335	Gly
Gln	Tyr	Val	Gly 340	Asn	Pro	Asp	Gly	Glu 345	Gly	Glu	Ala	Thr	Lys 350	Gly	Tyr
Leu	Asp	A sp 355	Pro	Thr	Val	Pro	Arg 360	Gly	Ser	Thr	Thr	Ala 365	Thr	Phe	Ala
Ala	Val 370	Val	Leu	Tyr	Val	Glu 375	Asn	Glu	Arg	Trp	Asp 380	Gly	Val	Pro	Phe

Ile 385	Leu	Arg	Cys	Gly	Lys 390	Ala	Leu	Asn	Glu	Arg 395	Lys	Ala	Glu	Val	Arg 400
Leu	Gln	Phe	His	Asp 405	Val	Ala	Gly	Asp	Ile 410	Phe	His	Gln	Gln	Cys 415	Lys
Arg	Asn	Glu	Leu 420	Val	Ile	Arg	Val	Gln 425	Pro	Asn	Glu	Ala	Val 430	Tyr	Thr
Lys	Met	Met 435	Thr	Lys	Lys	Pro	Gly 440	Met	Phe	Phe	Asn	Pro 445	Glu	Glu	Ser
Glu	Leu 450	Asp	Leu	Thr	Tyr	Gly 455	Asn	Arg	Tyr	Lys	Asn 460	Val	Lys	Leu	Pro
Asp 465	Ala	Tyr	Glu	Arg	Leu 470	Ile	Leu	Asp	Val	Phe 475	Cys	Gly	Ser	Gln	Met 480
His	Phe	Val	Arg	Ser 485	Asp	Glu	Leu	Arg	Glu 490	Ala	Trp	Arg	Ile	Phe 495	Thr
Pro	Leu	Leu	His 500	Gln	Ile	Glu	Leu	Glu 505	Lys	Pro	Lys	Pro	Ile 510	Pro	Tyr
Ile	Tyr	Gly 515	Ser	Arg	Gly	Pro	Thr 520	Glu	Ala	Asp	Glu	Leu 525	Met	Lys	Arg
Val	Gly 530	Phe	Gln	Tyr	Glu	Gly 535	Thr	Tyr	Lys	Trp	Val 540	Asn	Pro	His	Lys
Leu 545															
<210><211><211><212><213>	452 PRT	o sapi	ens												
<220> <221> <223>	misc_			ogena	ısa [N/	ADP]									
<400>	8 -														
Met 1	Ala	Gly	Tyr	Leu 5	Arg	Val	Val	Arg	Ser 10	Leu	Cys	Arg	Ala	Ser 15	Gly
Ser	Arg	Pro	Ala 20	Trp	Ala	Pro	Ala	Ala 25	Leu	Thr	Ala	Pro	Thr 30	Ser	Gln

Glu	Gln	Pro 35	Arg	Arg	His	Tyr	Ala 40	Asp	Lys	Arg	Ile	Lys 45	Val	Ala	Lys
Pro	Val 50	Val	Glu	Met	Asp	Gly 55	Asp	Glu	Met	Thr	Arg 60	Ile	Ile	Trp	Gln
Phe 65	Ile	Lys	Glu	Lys	Leu 70	Ile	Leu	Pro	His	Val 75	Asp	Ile	Gln	Leu	Lys 80
Tyr	Phe	Asp	Leu	Gly 85	Leu	Pro	Asn	Arg	Asp 90	Gln	Thr	Asp	Asp	G1n 95	Val
Thr	Ile	Asp	Ser 100	Ala	Leu	Ala	Thr	Gln 105	Lys	Tyr	Ser	Val	Ala 110	Val	Lys
Cys	Ala	Thr 115	Ile	Thr	Pro	Asp	Glu 120	Ala	Arg	Val	Glu	Glu 125	Phe	Lys	Leu
Lys	Lys 130	Met	Trp	Lys	Ser	Pro 135	Asn	Gly	Thr	Ile	Arg 140	Asn	Ile	Leu	Gly
Gly 145	Thr	Val	Phe	Arg	Glu 150	Pro	Ile	Ile	Cys	Lys 155	Asn	Ile	Pro	Arg	Leu 160
Val	Pro	Gly	Trp	Thr 165	Lys	Pro	Ile	Thr	Ile 170	Gly	Arg	His	Ala	His 175	Gly
Asp	Gln	Tyr	Lys 180	Ala	Thr	Asp	Phe	Val 185	Ala	Asp	Arg	Ala	Gly 190	Thr	Phe
Lys	Met	Val 195	Phe	Thr	Pro	Lys	Asp 200	Gly	Ser	Gly	Val	Lys 205	Glu	Trp	Glu
Val	Tyr 210	Asn	Phe	Pro	Ala	Gly 215	Gly	Val	Gly	Met	Gly 220	Met	Tyr	Asn	Thr
Asp 225	Glu	Ser	Ile	Ser	Gly 230	Phe	Ala	His	Ser	Cys 235	Phe	Gln	Tyr	Ala	Ile 240
Gln	Lys	Lys	Trp	Pro 245	Leu	Tyr	Met	Ser	Thr 250	Lys	Asn	Thr	Ile	Leu 255	Lys
Ala	Tyr	Asp	Gly 260	Arg	Phe	Lys	Asp	Ile 265	Phe	Gln	Glu	Ile	Phe 270	Asp	Lys
His	Tyr	Lys 275	Thr	Asp	Phe	_	Lys 280	Asn	Lys	Ile	Trp	Tyr 285	Glu	His	Arg

Leu Ile Asp Asp Met Val Ala Gln Val Leu Lys Ser Ser Gly Gly Phe 290 295 Val Trp Ala Cys Lys Asn Tyr Asp Gly Asp Val Gln Ser Asp Ile Leu 305 310 315 Ala Gln Gly Phe Gly Ser Leu Gly Leu Met Thr Ser Val Leu Val Cys 325 330 Pro Asp Gly Lys Thr Ile Glu Ala Glu Ala Ala His Gly Thr Val Thr 340 345 Arg His Tyr Arg Glu His Gln Lys Gly Arg Pro Thr Ser Thr Asn Pro 355 360 Ile Ala Ser Ile Phe Ala Trp Thr Arg Gly Leu Glu His Arg Gly Lys 370 375 Leu Asp Gly Asn Gln Asp Leu Ile Arg Phe Ala Gln Met Leu Glu Lys 385 390 395 400 Val Cys Val Glu Thr Val Glu Ser Gly Ala Met Thr Lys Asp Leu Ala 405 410 Gly Cys Ile His Gly Leu Ser Asn Val Lys Leu Asn Glu His Phe Leu 420 425 430 Asn Thr Thr Asp Phe Leu Asp Thr Ile Lys Ser Asn Leu Asp Arg Ala 435 440 Leu Gly Arg Gln 450 <210>9 <211> 400 <212> PRT <213> Homo sapiens <220> <221> misc_feature <223> Queratina de tipo I del citoesqueleto 19 <400> 9 Met Thr Ser Tyr Ser Tyr Arg Gln Ser Ser Ala Thr Ser Ser Phe Gly 5 Gly Leu Gly Gly Ser Val Arg Phe Gly Pro Gly Val Ala Phe Arg

			20					25					30		
Ala	Pro	Ser 35	Ile	His	Gly	Gly	Ser 40	Gly	Gly	Arg	Gly	Val 45	Ser	Val	Ser
Ser	Ala 50	Arg	Phe	Val	Ser	Ser 55	Ser	Ser	Ser	Gly	Ala 60	Tyr	Gly	Gly	Gly
Tyr 65	Gly	Gly	Val	Leu	Thr 70	Ala	Ser	Asp	Gly	Leu 75	Leu	Ala	Gly	Asn	Glu 80
Lys	Leu	Thr	Met	Gln 85	Asn	Leu	Asn	Asp	Arg 90	Leu	Ala	Ser	Tyr	Leu 95	Asp
Lys	Val	Arg	Ala 100	Leu	Glu	Ala	Ala	Asn 105	Gly	Glu	Leu	Glu	Val 110	Lys	Ile
Arg	Asp	Trp 115	Tyr	Gln	Lys	Gln	Gly 120	Pro	Gly	Pro	Ser	Arg 125	Asp	Tyr	Ser
His	Tyr 130	Tyr	Thr	Thr	Ile	Gln 135	Asp	Leu	Arg	Asp	Lys 140	Ile	Leu	Gly	Ala
Thr 145	Ile	Glu	Asn	Ser	Arg 150	Ile	Val	Leu	Gln	Ile 155	Asp	Asn	Ala	Arg	Leu 160
Ala	Ala	Asp	Asp	Phe 165	Arg	Thr	Lys	Phe	Glu 170	Thr	Glu	Gln	Ala	Leu 175	Arg
Met	Ser	Val	Glu 180	Ala	Asp	Ile		Gly 185		Arg	Arg	Val	Leu 190	Asp	Glu
Leu	Thr	Leu 195	Ala	Arg	Thr	Asp	Leu 200	Glu	Met	Gln	Ile	Glu 205	Gly	Leu	Lys
Glu	Glu 210	Leu	Ala	Tyr	Leu	Lys 215	Lys	Asn	His	Glu	Glu 220	Glu	Ile	Ser	Thr
Leu 225	Arg	Gly	Gln	Val	Gly 230	Gly	Gln	Val	Ser	Val 235	Glu	Val	Asp	Ser	Ala 240
Pro	Gly	Thr	Asp	Leu 2 4 5	Ala	Lys	Ile	Leu	Ser 250	Asp	Met	Arg	Ser	Gln 255	Tyr
Glu	Val	Met	Ala 260	Glu	Gln	Asn	Arg	Lys 265	Asp	Ala	Glu	Ala	Trp 270	Phe	Thr

JC1 1119	Thr 275	Glu	Glu	Leu	Asn	Arg 280	Glu	Val	Ala	Gly	His 285	Thr	Glu	Gln
Leu Gln 290	Met	Ser	Arg	Ser	Glu 295	Val	Thr	Asp	Leu	Arg 300	Arg	Thr	Leu	Gln
Gly Leu 305	Glu	Ile	Glu	Leu 310	Gln	Ser	Gln	Leu	Ser 315	Met	Lys	Ala	Ala	Leu 320
Glu Asp	Thr	Leu	Ala 325	Glu	Thr	Glu	Ala	Arg 330	Phe	Gly	Ala	Gln	Leu 335	Ala
His Ile	Gln	Ala 340	Leu	Ile	Ser	Gly	Ile 345	Glu	Ala	Gln	Leu	Gly 350	Asp	Val
Arg Ala	Asp 355	Ser	Glu	Arg	Gln	Asn 360	Gln	Glu	Tyr	Gln	A rg 365	Leu	Met	Asp
Ile Lys 370	Ser	Arg	Leu	Glu	Gln 375	Glu	Ile	Ala	Thr	Tyr 380	Arg	Ser	Leu	Leu
Glu Gly 385	Gln	Glu	Asp	His 390	Tyr	Asn	Asn	Leu	Ser 395	Ala	Ser	Lys	Val	Leu 400
<210> 10 <211> 483 <212> PRT <213> Hom		ens												
<220> <221> miso <223> Isofo			eratina	a de tip	oo I de	el citoe	squele	eto 8						
<400> 10														
Met Ser 1	Ile	Arg	Val 5	Thr	Gln	Lys	Ser	Tyr 10	Lys	Val	Ser	Thr	Ser 15	Gly
			5			_		10	_				15	_
1	Ala	Phe 20	5 Ser	Ser	Arg	Ser	Tyr 25	10 Thr	Ser	Gly	Pro	Gly 30	15 Ser	Arg
1 Pro Arg	Ala Ser 35	Phe 20 Ser	5 Ser Ser	Ser Phe	Arg Ser	Ser Arg 40	Tyr 25 Val	10 Thr	Ser	Gly Ser	Pro Asn 45	Gly 30	15 Ser Arg	Arg Gly

Asp	Pro	Asn	Ile	Gln 85	Ala	Val	Arg	Thr	Gln 90	Glu	Lys	Glu	Gln	Ile 95	Lys
Thr	Leu	Asn	Asn 100	Lys	Phe	Ala	Ser	Phe 105	Ile	Asp	Lys	Val	Arg 110	Phe	Leu
Glu	Gln	Gln 115	Asn	Lys	Met	Leu	Glu 120	Thr	Lys	Trp	Ser	Leu 125	Leu	Gln	Gln
Gln	Lys 130	Thr	Ala	Arg	Ser	Asn 135	Met	Asp	Asn	Met	Phe 140	Glu	Ser	Tyr	Ile
Asn 145	Asn	Leu	Arg	Arg	Gln 150	Leu	Glu	Thr	Leu	Gl y 155	Gln	Glu	Lys	Leu	Lys 160
Leu	Glu	Ala	Glu	Leu 165	Gly	Asn	Met	Gln	Gly 170	Leu	Val	Glu	Asp	Phe 175	Lys
Asn	Lys	Tyr	Glu 180	Asp	Glu	Ile	Asn	Lys 185	Arg	Thr	Glu	Met	Glu 190	Asn	Glu
Phe	Val	Leu 195	Ile	Lys	Lys	Asp	Val 200	Asp	Glu	Ala	Tyr	Met 205	Asn	Lys	Val
Glu	Leu 210	Glu	Ser	Arg	Leu	Glu 215	Gly	Leu	Thr	Asp	Glu 220	Ile	Asn	Phe	Leu
Arg 225	Gln	Leu	Tyr	Glu	Glu 230	Glu	Ile	Arg	Glu	Leu 235	Gln	Ser	Gln	Ile	Ser 240
Asp	Thr	Ser	Val	Val 245	Leu	Ser	Met	Asp	Asn 250	Ser	Arg	Ser	Leu	Asp 255	Met
Asp	Ser	Ile	Ile 260	Ala	Glu	Val	Lys	Ala 265	Gln	Tyr	Glu	Asp	Ile 270	Ala	Asn
Arg	Ser	Arg 275	Ala	Glu	Ala	Glu	Ser 280	Met	Tyr	Gln	Ile	Lys 285	Tyr	Glu	Glu
Leu	Gln 290	Ser	Leu	Ala	Gly	Lys 295	His	Gly	Asp	Asp	Leu 300	Arg	Arg	Thr	Lys
Thr 305	Glu	Ile	Ser	Glu	Met 310	Asn	Arg	Asn	Ile	Ser 315	Arg	Leu	Gln	Ala	Glu 320
Ile	Glu	Gly	Leu	Lys 325	Gly	Gln	Arg	Ala	Ser 330	Leu	Glu	Ala	Ala	Ile 335	Ala

Asp Ala Glu Gln Arg Gly Glu Leu Ala Ile Lys Asp Ala Asn Ala Lys Leu Ser Glu Leu Glu Ala Ala Leu Gln Arg Ala Lys Gln Asp Met Ala 355 360 Arg Gln Leu Arg Glu Tyr Gln Glu Leu Met Asn Val Lys Leu Ala Leu 370 375 Asp Ile Glu Ile Ala Thr Tyr Arg Lys Leu Leu Glu Gly Glu Glu Ser 385 390 Arg Leu Glu Ser Gly Met Gln Asn Met Ser Ile His Thr Lys Thr Thr Ser Gly Tyr Ala Gly Gly Leu Ser Ser Ala Tyr Gly Gly Leu Thr Ser 420 425 Pro Gly Leu Ser Tyr Ser Leu Gly Ser Ser Phe Gly Ser Gly Ala Gly 435 440 Ser Ser Ser Phe Ser Arg Thr Ser Ser Ser Arg Ala Val Val Lys 450 455 460 Lys Ile Glu Thr Arg Asp Gly Lys Leu Val Ser Glu Ser Ser Asp Val 465 470 475 Leu Pro Lys <210> 11 <211> 511 <212> PRT <213> Homo sapiens <220> <221> misc feature <223> Isoforma 2 de queratina de tipo I del citoesqueleto 8 <400> 11 Met Asn Gly Val Ser Trp Ser Gln Asp Leu Gln Glu Gly Ile Ser Ala Trp Phe Gly Pro Pro Ala Ser Thr Pro Ala Ser Thr Met Ser Ile Arg 20 25 30 Val Thr Gln Lys Ser Tyr Lys Val Ser Thr Ser Gly Pro Arg Ala Phe

		35					40					45			
Ser	Ser 50	Arg	Ser	Tyr	Thr	Ser 55	Gly	Pro	Gly	Ser	Arg 60	Ile	Ser	Ser	Ser
Ser 65	Phe	Ser	Arg	Val	Gly 70	Ser	Ser	Asn	Phe	Arg 75	Gly	Gly	Leu	Gly	Gly 80
Gly	Tyr	Gly	Gly	Ala 85	Ser	Gly	Met	Gly	Gly 90	Ile	Thr	Ala	Val	Thr 95	Val
Asn	Gln	Ser	Leu 100	Leu	Ser	Pro	Leu	Val 105	Leu	Glu	Val	Asp	Pro 110	Asn	Ile
Gln	Ala	Val 115	Arg	Thr	Gln	Glu	Lys 120	Glu	Gln	Ile	Lys	Thr 125	Leu	Asn	Asn
Lys	Phe 130	Ala	Ser	Phe	Ile	Asp 135	Lys	Val	Arg	Phe	Leu 140	Glu	Gln	Gln	Asn
Lys 145	Met	Leu	Glu	Thr	Lys 150	Trp	Ser	Leu	Leu	Gln 155	Gln	Gln	Lys	Thr	Ala 160
Arg	Ser	Asn	Met	Asp 165	Asn	Met	Phe	Glu	Ser 170	Tyr	Ile	Asn	Asn	Leu 175	Arg
Arg	Gln	Leu	Glu 180	Thr	Leu	Gly	Gln	Glu 185	Lys	Leu	Lys	Leu	Glu 190	Ala	Glu
Leu	Gly	Asn 195	Met	Gln	Gly	Leu	Val 200	Glu	Asp	Phe	Lys	Asn 205	Lys	Tyr	Glu
Asp	Glu 210	Ile	Asn	Lys	Arg	Thr 215	Glu	Met	Glu	Asn	Glu 220	Phe	Val	Leu	Ile
Lys 225	Lys	Asp	Val	Asp	Glu 230	Ala	Tyr	Met	Asn	Lys 235	Val	Glu	Leu	Glu	Ser 240
Arg	Leu	Glu	Gly	Leu 245	Thr	Asp	Glu	Ile	Asn 250	Phe	Leu	Arg	Gln	Leu 255	Tyr
Glu	Glu	Glu	Ile 260	Arg	Glu	Leu	Gln	Ser 265	Gln	Ile	Ser	Asp	Thr 270	Ser	Val
Val	Leu	Ser 275	Met	Asp	Asn	Ser	Arg 280	Ser	Leu	Asp	Met	Asp 285	Ser	Ile	Ile

Ala	Glu 290	Val	Lys	Ala	Gln	Tyr 295	Glu	Asp	Ile	Ala	Asn 300	Arg	Ser	Arg	Ala
Glu 305	Ala	Glu	Ser	Met	Tyr 310	Gln	Ile	Lys	Tyr	Glu 315	Glu	Leu	Gln	Ser	Leu 320
Ala	Gly	Lys	His	Gly 325	Asp	Asp	Leu	Arg	Ar g 330	Thr	Lys	Thr	Glu	Ile 335	Ser
Glu	Met	Asn	Arg 340	Asn	Ile	Ser	Arg	Leu 345	Gln	Ala	Glu	Ile	Glu 350	Gly	Leu
Lys	Gly	Gln 355	Arg	Ala	Ser	Leu	Glu 360	Ala	Ala	Ile	Ala	Asp 365	Ala	Glu	Gln
Arg	Gly 370	Glu	Leu	Ala	Ile	Lys 375	Asp	Ala	Asn	Ala	Lys 380	Leu	Ser	Glu	Leu
Glu 385	Ala	Ala	Leu	Gln	Arg 390	Ala	Lys	Gln	Asp	Met 395	Ala	Arg	Gln	Leu	Arg 400
Glu	Tyr	Gln	Glu	Leu 405	Met	Asn	Val	Lys	Leu 410	Ala	Leu	Asp	Ile	Glu 415	Ile
Ala	Thr	Tyr	Arg 420	Lys	Leu	Leu	Glu	Gly 425	Glu	Glu	Ser	Arg	Leu 430	Glu	Ser
Gly	Met	Gln 435	Asn	Met	Ser	Ile	His 440	Thr	Lys	Thr	Thr	Ser 445	Gly	Tyr	Ala
Gly	Gly 450	Leu	Ser	Ser	Ala	Tyr 455	Gly	Gly	Leu	Thr	Ser 460	Pro	Gly	Leu	Ser
Tyr 465	Ser	Leu	Gly	Ser	Ser 470	Phe	Gly	Ser	Gly	Ala 475	Gly	Ser	Ser	Ser	Phe 480
Ser	Arg	Thr	Ser	Ser 485	Ser	Arg	Ala	Val	Val 490	Val	Lys	Lys	Ile	Glu 495	Thr
Arg	Asp	Gly	Lys 500	Leu	Val	Ser	Glu	Ser 505	Ser	Asp	Val	Leu	Pro 510	Lys	
<210> <211> <212> <213>	570 PRT	o sapi	ens												

<221> misc_feature <223> Isoforma 1 de proteína 3 relacionada con dihidropirimidinasa

5

10

<220>

<400>	1	2
-------	---	---

- Met Ser Tyr Gln Gly Lys Lys Asn Ile Pro Arg Ile Thr Ser Asp Arg 1 5 10 15
- Leu Leu Ile Lys Gly Gly Arg Ile Val Asn Asp Asp Gln Ser Phe Tyr 20 25 30
- Ala Asp Ile Tyr Met Glu Asp Gly Leu Ile Lys Gln Ile Gly Asp Asn 35 40 45
- Leu Ile Val Pro Gly Gly Val Lys Thr Ile Glu Ala Asn Gly Lys Met 50 55 60
- Val Ile Pro Gly Gly Ile Asp Val His Thr His Phe Gln Met Pro Tyr 65 70 75 80
- Lys Gly Met Thr Thr Val Asp Asp Phe Phe Gln Gly Thr Lys Ala Ala 85 90 95
- Leu Ala Gly Gly Thr Thr Met Ile Ile Asp His Val Val Pro Glu Pro 100 105 110
- Glu Ser Ser Leu Thr Glu Ala Tyr Glu Lys Trp Arg Glu Trp Ala Asp 115 120 125
- Gly Lys Ser Cys Cys Asp Tyr Ala Leu His Val Asp Ile Thr His Trp 130 135 140
- Asn Asp Ser Val Lys Gln Glu Val Gln Asn Leu Ile Lys Asp Lys Gly 145 150 155 160
- Val Asn Ser Phe Met Val Tyr Met Ala Tyr Lys Asp Leu Tyr Gln Val 165 170 175
- Ser Asn Thr Glu Leu Tyr Glu Ile Phe Thr Cys Leu Gly Glu Leu Gly 180 185 190
- Ala Ile Ala Gln Val His Ala Glu Asn Gly Asp Ile Ile Ala Gln Glu 195 200 205
- Gln Thr Arg Met Leu Glu Met Gly Ile Thr Gly Pro Glu Gly His Val 210 215 220
- Leu Ser Arg Pro Glu Glu Leu Glu Ala Glu Ala Val Phe Arg Ala Ile 225 230 235 240

Thr	Ile	Ala	Ser	Gln 245	Thr	Asn	Cys	Pro	Leu 250	Tyr	Val	Thr	Lys	Val 255	Met
Ser	Lys	Ser	Ala 260	Ala	Asp	Leu	Ile	Ser 265	Gln	Ala	Arg	Lys	Lys 270	Gly	Asn
Val	Val	Phe 275	Gly	Glu	Pro	Ile	Thr 280	Ala	Ser	Leu	Gly	Ile 285	Asp	Gly	Thr
His	Tyr 290	Trp	Ser	Lys	Asn	Trp 295	Ala	Lys	Ala	Ala	Ala 300	Phe	Val	Thr	Ser
Pro 305	Pro	Leu	Ser	Pro	Asp 310	Pro	Thr	Thr	Pro	Asp 315	Tyr	Ile	Asn	Ser	Leu 320
Leu	Ala	Ser	Gly	Asp 325	Leu	Gln	Leu	Ser	Gly 330	Ser	Ala	His	Суз	Thr 335	Phe
Ser	Thr	Ala	Gln 340	Lys	Ala	Ile	Gly	Lys 345	Asp	Asn	Phe	Thr	Ala 350	Ile	Pro
Glu	Gly	Thr 355	Asn	Gly	Val	Glu	Glu 360	Arg	Met	Ser	Val	11e 365	Trp	Asp	Lys
Ala	Val 370	Ala	Thr	Gly	Lys	Met 375	Asp	Glu	Asn	Gln	Phe 380	Val	Ala	Val	Thr
Ser 385	Thr	Asn	Ala	Ala	Lys 390	Ile	Phe	Asn	Leu	Tyr 395	Pro	Arg	Lys	Gly	Arg 400
Ile	Ser	Val	Gly	Ser 405	Asp	Ser	Asp	Leu	Val 410	Ile	Trp	Asp	Pro	Asp 415	Ala
Val	Lys	Ile	Val 420	Ser	Ala	Lys	Asn	His 425	Gln	Ser	Ala	Ala	Glu 430	Tyr	Asn
Ile	Phe	Glu 435	Gly	Met	Glu	Leu	Arg 440	Gly	Ala	Pro	Leu	Val 445	Val	Ile	Cys
Gln	Gly 450	Lys	Ile	Met	Leu	Glu 455	Asp	Gly	Asn	Leu	His 460	Val	Thr	Gln	Gly
Ala 465	Gly	Arg	Phe	Ile	Pro 470	Cys	Ser	Pro	Phe	Ser 475	Asp	Tyr	Val	Tyr	Lys 480
Ara	Ile	Lvs	Ala	Ara	Ara	Lvs	Met	Ala	Asp	Leu	His	Ala	Val	Pro	Ara

				485					490					495	
Gly	Met	Tyr	Asp 500	Gly	Pro	Val	Phe	Asp 505	Leu	Thr	Thr	Thr	Pro 510	Lys	Gly
Gly	Thr	Pro 515	Ala	Gly	Ser	Ala	Arg 520	Gly	Ser	Pro	Thr	Arg 525	Pro	Asn	Pro
Pro	Val 530	Arg	Asn	Leu	His	Gln 535	Ser	Gly	Phe	Ser	Leu 540	Ser	Gly	Thr	Gln
Val 545	Asp	Glu	Gly	Val	Arg 550	Ser	Ala	Ser	Lys	Arg 555	Ile	Val	Ala	Pro	Pro 560
Gly	Gly	Arg	Ser	Asn 565	Ile	Thr	Ser	Leu	Ser 570						
<210><211><211><212><213>	684 PRT	o sapi	ens												
<220> <221> <223>	misc_	_		'-4 de	proteí	na 3 re	elacior	nada c	on dih	idropir	rimidin	asa			
<400>	13														
Met 1	Ala	Ser	Gly	Arg 5	Arg	Gly	Trp	Asp	Ser 10	Ser	His	Glu	Asp	Asp 15	Leu
Pro	Val	Tyr	Leu 20	Ala	Arg	Pro	Gly	Thr 25	Thr	Asp	Gln	Val	Pro 30	Arg	Gln
Lys	Tyr	Gly 35	Gly	Met	Phe	Cys	Asn 40	Val	Glu	Gly	Ala	Phe 45	Glu	Ser	Lys
Thr	Leu 50	Asp	Phe	Asp	Ala	Leu 55	Ser	Val	Gly	Gln	Arg 60	Gly	Ala	Lys	Thr
Pro 65	Arg	Ser	Gly	Gln	Gly 70	Ser	Asp	Arg	Gly	Ser 75	Gly	Ser	Arg	Pro	Gly 80
Ile	Glu	Gly	Asp	Thr 85	Pro	Arg	Arg	Gly	Gln 90	Gly	Arg	Glu	Glu	Ser 95	Arg
Glu															

Ala	Thr	Gly 115	Lys	Glu	Val	Leu	Gln 120	Asn	Leu	Gly	Pro	Lys 125	Asp	Lys	Ser
Asp	Arg 130	Leu	Leu	Ile	Lys	Gly 135	Gly	Arg	Ile	Val	Asn 140	Asp	Asp	Gln	Ser
Phe 145	Tyr	Ala	Asp	Ile	Tyr 150	Met	Glu	Asp	Gly	Leu 155	Ile	Lys	Gln	Ile	Gly 160
Asp	Asn	Leu	Ile	Val 165	Pro	Gly	Gly	Val	Lys 170	Thr	Ile	Glu	Ala	Asn 175	Gly
Lys	Met	Val	Ile 180	Pro	Gly	Gly	Ile	Asp 185	Val	His	Thr	His	Phe 190	Gln	Met
Pro	Tyr	Lys 195	Gly	Met	Thr	Thr	Val 200	Asp	Asp	Phe	Phe	Gln 205	Gly	Thr	Lys
Ala	Ala 210	Leu	Ala	Gly	Gly	Thr 215	Thr	Met	Ile	Ile	Asp 220	His	Val	Val	Pro
Glu 225	Pro	Glu	Ser	Ser	Leu 230	Thr	Glu	Ala	Tyr	Glu 235	Lys	Trp	Arg	Glu	Trp 240
Ala	Asp	Gly	Lys	Ser 245	Суз	Суз	Asp	Tyr	Ala 250	Leu	His	Val	Asp	Ile 255	Thr
His	Trp	Asn	Asp 260	Ser	Val	Lys	Gln	Glu 265	Val	Gln	Asn	Leu	Ile 270	Lys	Asp
Lys	Gly	Val 275	Asn	Ser				_			Tyr	_	Asp	Leu	Tyr
Gln	Val 290	Ser	Asn	Thr	Glu	Leu 295	Tyr	Glu	Ile	Phe	Thr 300	Cys	Leu	Gly	Glu
Leu 305	Gly	Ala	Ile	Ala	Gln 310	Val	His	Ala	Glu	Asn 315	Gly	Asp	Ile	Ile	Ala 320
Gln	Glu	Gln	Thr	Arg 325	Met	Leu	Glu	Met	Gly 330	Ile	Thr	Gly	Pro	G1u 335	Gly
His	Val	Leu	Ser 340	Arg	Pro	Glu	Glu	Leu 345	Glu	Ala	Glu	Ala	Val 350	Phe	Arg
Ala	Ile	Thr 355	Ile	Ala	Ser	Gln	Thr 360	Asn	Cys	Pro	Leu	Tyr 365	Val	Thr	Lys

Val	Met 370	Ser	Lys	Ser	Ala	Ala 375	Asp	Leu	Ile	Ser	Gln 380	Ala	Arg	Lys	Lys
Gly 385	Asn	Val	Val	Phe	Gly 390	Glu	Pro	Ile	Thr	Ala 395	Ser	Leu	Gly	Ile	Asp 400
Gly	Thr	His	Tyr	Trp 405	Ser	Lys	Asn	Trp	Ala 410	Lys	Ala	Ala	Ala	Phe 415	Val
Thr	Ser	Pro	Pro 420	Leu	Ser	Pro	Asp	Pro 425	Thr	Thr	Pro	Asp	Tyr 430	Ile	Asn
Ser	Leu	Leu 435	Ala	Ser	Gly	Asp	Leu 440	Gln	Leu	Ser	Gly	Ser 445	Ala	His	Cys
Thr	Phe 450	Ser	Thr	Ala	Gln	Lys 455	Ala	Ile	Gly	Lys	Asp 460	Asn	Phe	Thr	Ala
Ile 465	Pro	Glu	Gly	Thr	Asn 470	Gly	Val	Glu	Glu	A rg 475	Met	Ser	Val	Ile	Trp 480
Asp	Lys	Ala	Val	Ala 485	Thr	Gly	Lys	Met	Asp 490	Glu	Asn	Gln	Phe	Val 495	Ala
Val	Thr	Ser	Thr 500	Asn	Ala	Ala	Lys	Ile 505	Phe	Asn	Leu	Tyr	Pro 510	Arg	Lys
Gly	Arg	Ile 515	Ser	Val	Gly	Ser	Asp 520	Ser	Asp	Leu	Val	Ile 525	Trp	Asp	Pro
Asp	Ala 530	Val	L y s	Ile	Val	Ser 535		Lys	Asn	His	Gln 540		Ala	Ala	Glu
Tyr 5 4 5	Asn	Ile	Phe	Glu	Gly 550	Met	Glu	Leu	Arg	Gly 555	Ala	Pro	Leu	Val	Val 560
Ile	Cys	Gln	Gly	Lys 565	Ile	Met	Leu	Glu	Asp 570	Gly	Asn	Leu	His	Val 575	Thr
Gln	Gly	Ala	Gly 580	Arg	Phe	Ile	Pro	Суs 585	Ser	Pro	Phe	Ser	Asp 590	Tyr	Val
Tyr	Lys	Arg 595	Ile	Lys	Ala	Arg	Arg 600	Lys	Met	Ala	Asp	Le u 605	His	Ala	Val
Pro	Arg 610	Gly	Met	Tyr	Asp	Gly 615	Pro	Val	Phe	Asp	Leu 620	Thr	Thr	Thr	Pro

Lys Gly Gly Thr Pro Ala Gly Ser Ala Arg Gly Ser Pro Thr Arg Pro 625 630 635 Asn Pro Pro Val Arg Asn Leu His Gln Ser Gly Phe Ser Leu Ser Gly 645 650 Thr Gln Val Asp Glu Gly Val Arg Ser Ala Ser Lys Arg Ile Val Ala 660 665 Pro Pro Gly Gly Arg Ser Asn Ile Thr Ser Leu Ser 675 680 <210> 14 <211> 1170 <212> PRT <213> Homo sapiens <220> <221> misc_feature <223> Trombospondina-1 <400> 14 Met Gly Leu Ala Trp Gly Leu Gly Val Leu Phe Leu Met His Val Cys Gly Thr Asn Arg Ile Pro Glu Ser Gly Gly Asp Asn Ser Val Phe Asp Ile Phe Glu Leu Thr Gly Ala Ala Arg Lys Gly Ser Gly Arg Arg Leu Val Lys Gly Pro Asp Pro Ser Ser Pro Ala Phe Arg Ile Glu Asp Ala 55 Asn Leu Ile Pro Pro Val Pro Asp Asp Lys Phe Gln Asp Leu Val Asp Ala Val Arg Ala Glu Lys Gly Phe Leu Leu Ala Ser Leu Arg Gln Met Lys Lys Thr Arg Gly Thr Leu Leu Ala Leu Glu Arg Lys Asp His 100 105 Ser Gly Gln Val Phe Ser Val Val Ser Asn Gly Lys Ala Gly Thr Leu 120

10

Asp Leu Ser Leu Thr Val Gln Gly Lys Gln His Val Val Ser Val Glu

	130					135					140				
Glu 145	Ala	Leu	Leu	Ala	Thr 150	Gly	Gln	Trp	Lys	Ser 155	Ile	Thr	Leu	Phe	Val 160
Gln	Glu	Asp	Arg	Ala 165	Gln	Leu	Tyr	Ile	Asp 170	Суѕ	Glu	Lys	Met	Glu 175	Asn
Ala	Glu	Leu	Asp 180	Val	Pro	Ile	Gln	Ser 185	Val	Phe	Thr	Arg	Asp 190	Leu	Ala
Ser	Ile	Ala 195	Arg	Leu	Arg	Ile	Ala 200	Lys	Gly	Gly	Val	Asn 205	Asp	Asn	Phe
Gln	Gly 210	Val	Leu	Gln	Asn	Val 215	Arg	Phe	Val	Phe	Gly 220	Thr	Thr	Pro	Glu
Asp 225	Ile	Leu	Arg	Asn	Lys 230	Gly	Суз	Ser	Ser	Ser 235	Thr	Ser	Val	Leu	Leu 240
Thr	Leu	Asp	Asn	Asn 245	Val	Val	Asn	Gly	Ser 250	Ser	Pro	Ala	Ile	Arg 255	Thr
Asn	Tyr	Ile	Gly 260	His	Lys	Thr	Lys	Asp 265	Leu	Gln	Ala	Ile	Cys 270	Gly	Ile
Ser	Суз	As p 275	Glu	Leu	Ser	Ser	Met 280	Val	Leu	Glu	Leu	A rg 285	Gly	Leu	Arg
Thr	Ile 290	Val	Thr	Thr	Leu	Gln 295	Asp	Ser	Ile	Arg	Lys 300	Val	Thr	G1u	Glu
Asn 305	Lys	Glu	Leu	Ala	Asn 310	Glu	Leu	Arg	Arg	Pro 315	Pro	Leu	Cys	Tyr	His 320
Asn	Gly	Val	Gln	Tyr 325	Arg	Asn	Asn	Glu	Glu 330	Trp	Thr	Val	Asp	Ser 335	Суѕ
Thr	Glu	Сув	His 340	Cys	Gln	Asn	Ser	Val 345	Thr	Ile	Cys	Lys	Lys 350	Val	Ser
Cys	Pro	11e 355	Met	Pro	Суз	Ser	Asn 360	Ala	Thr	Val	Pro	Asp 365	Gly	Glu	Cys
Cys	Pro 370	Arg	Cys	Trp	Pro	Ser 375	Asp	Ser	Ala	Asp	Asp 380	Gly	Trp	Ser	Pro

Trp 385	Ser	Glu	Trp	Thr	Ser 390	Cys	Ser	Thr	Ser	Cys 395	Gly	Asn	Gly	Ile	Gln 400
Gln	Arg	Gly	Arg	Ser 405	Суѕ	Asp	Ser	Leu	Asn 410	Asn	Arg	Cys	Glu	Gly 415	Ser
Ser	Val	Gln	Thr 420	Arg	Thr	Суз	His	Ile 425	Gln	Glu	Cys	Asp	Lys 430	Arg	Phe
Lys	Gln	Asp 435	Gly	Gly	Trp	Ser	His 440	Trp	Ser	Pro	Trp	Ser 445	Ser	Суѕ	Ser
Val	Thr 450	Cys	Gly	Asp	Gly	Val 455	Ile	Thr	Arg	Ile	Arg 460	Leu	Сув	Asn	Ser
Pro 465	Ser	Pro	Gln	Met	Asn 4 70	Gly	Lys	Pro	Cys	Glu 475	Gly	Glu	Ala	Arg	Glu 480
Thr	Lys	Ala	Суѕ	Lys 485	Lys	Asp	Ala	Cys	Pro 490	Ile	Asn	Gly	Gly	Trp 495	Gly
Pro	Trp	Ser	Pro 500	Trp	Asp	Ile	Суѕ	Ser 505	Val	Thr	Суѕ	Gly	Gly 510	Gly	Val
Gln	Lys	Arg 515	Ser	Arg	Leu	Суз	Asn 520	Asn	Pro	Thr	Pro	Gln 525	Phe	Gly	Gly
Lys	Asp 530	Cys	Val	Gly	Asp	Val 535	Thr	Glu	Asn	Gln	Ile 540	Cys	Asn	Lys	Gln
Asp 545	Cys	Pro	Ile	Asp	Gly 550	Cys	Leu	Ser	Asn	Pro 555	Cys	Phe	Ala	Gly	Val 560
Lys	Cys	Thr	Ser	Tyr 565	Pro	Asp	Gly	Ser	Trp 570	Lys	Cys	Gly	Ala	Cys 575	Pro
Pro	Gly	Tyr	Ser 580	Gly	Asn	Gly	Ile	Gln 585	Cys	Thr	Asp	Val	Asp 590	Glu	Cys
Lys	Glu	Val 595	Pro	Asp	Ala	Сув	Phe 600	Asn	His	Asn	Gly	Glu 605	His	Arg	Сув
Glu	Asn 610	Thr	Asp	Pro	Gly	Tyr 615	Asn	Cys	Leu	Pro	Cys 620	Pro	Pro	Arg	Phe
Thr 625	Gly	Ser	Gln	Pro	Phe 630	Gly	Gln	Gly	Val	Glu 635	His	Ala	Thr	Ala	Asn 640

Lys	Gln	Val	Cys	Lys 645	Pro	Arg	Asn	Pro	Cys 650	Thr	Asp	Gly	Thr	His 655	Asp
Cys	Asn	Lys	As n 660	Ala	Lys	Суѕ	Asn	Tyr 665	Leu	Gly	His	Tyr	Ser 670	Asp	Pro
Met	Tyr	Arg 675	Суз	Glu	Сув	Lys	Pro 680	Gly	Tyr	Ala	Gly	Asn 685	Gly	Ile	Ile
Cys	Gly 690	Glu	Asp	Thr	Asp	Leu 695	Asp	Gly	Trp	Pro	As n 700	Glu	Asn	Leu	Val
Cys 705	Val	Ala	Asn	Ala	Thr 710	Tyr	His	Cys	Lys	Lys 715	Asp	Asn	Сув	Pro	Asn 720
Leu	Pro	Asn	Ser	Gly 725	Gln	Glu	Asp	Tyr	Asp 730	Lys	Asp	Gly	Ile	Gly 735	Asp
Ala	Cys	Asp	Asp 740	Asp	Asp	Asp	Asn	Asp 745	Lys	Ile	Pro	Asp	Asp 750	Arg	Asp
Asn	Cys	Pro 755	Phe	His	Tyr	Asn	Pro 760	Ala	Gln	Tyr	Asp	Tyr 765	Asp	Arg	Asp
Asp	Val 770	Gly	Asp	Arg	Суз	Asp 775	Asn	Суз	Pro	Tyr	Asn 780	His	Asn	Pro	Asp
Gln 785	Ala	Asp	Thr	Asp	As n 790	Asn	Gly	Glu	Gly	Asp 795	Ala	Cys	Ala	Ala	Asp 800
Ile	Asp	Gly	Asp	Gly 805						_	Asn	_	Gln	Tyr 815	Val
Tyr	Asn	Val	Asp 820	Gln	Arg	Asp	Thr	Asp 825	Met	Asp	Gly	Val	Gly 830	Asp	Gln
Cys	Asp	Asn 835	Сув	Pro	Leu	Glu	His 840	Asn	Pro	Asp	Gln	Leu 845	Asp	Ser	Asp
Ser	Asp 850	Arg	Ile	Gly	Asp	Thr 855	Сув	Asp	Asn	Asn	Gln 860	Asp	Ile	Asp	Glu
Asp 865	Gly	His	Gln	Asn	As n 870	Leu	Asp	Asn	Cys	Pro 875	Tyr	Val	Pro	Asn	Ala 880
Asn	Gln	Ala	Asp	His 885	Asp	Lys	Asp	Gly	Lys 890	Gly	Asp	Ala	Cys	Asp 895	His

- Asp Asp Asp Asn Asp Gly Ile Pro Asp Asp Lys Asp Asn Cys Arg Leu 900 905 910
- Val Pro Asn Pro Asp Gln Lys Asp Ser Asp Gly Asp Gly Asp 915 920 925
- Ala Cys Lys Asp Asp Phe Asp His Asp Ser Val Pro Asp Ile Asp Asp 930 935 940
- Ile Cys Pro Glu Asn Val Asp Ile Ser Glu Thr Asp Phe Arg Arg Phe 945 950 955 960
- Gln Met Ile Pro Leu Asp Pro Lys Gly Thr Ser Gln Asn Asp Pro Asn 965 970 975
- Trp Val Val Arg His Gln Gly Lys Glu Leu Val Gln Thr Val Asn Cys 980 985 990
- Asp Pro Gly Leu Ala Val Gly Tyr Asp Glu Phe Asn Ala Val Asp Phe 995 1000 1005
- Ser Gly Thr Phe Phe Ile Asn Thr Glu Arg Asp Asp Tyr Ala 1010 1015 1020
- Gly Phe Val Phe Gly Tyr Gln Ser Ser Ser Arg Phe Tyr Val Val 1025 1030 1035
- Met Trp Lys Gln Val Thr Gln Ser Tyr Trp Asp Thr Asn Pro Thr 1040 1045 1050
- Arg Ala Gln Gly Tyr Ser Gly Leu Ser Val Lys Val Val Asn Ser 1055 1060 1065
- Thr Thr Gly Pro Gly Glu His Leu Arg Asn Ala Leu Trp His Thr 1070 1075 1080
- Gly Asn Thr Pro Gly Gln Val Arg Thr Leu Trp His Asp Pro Arg 1085 1090 1095
- His Ile Gly Trp Lys Asp Phe Thr Ala Tyr Arg Trp Arg Leu Ser 1100 1105 1110
- His Arg Pro Lys Thr Gly Phe Ile Arg Val Val Met Tyr Glu Gly 1115 1120 1125
- Lys Lys Ile Met Ala Asp Ser Gly Pro Ile Tyr Asp Lys Thr Tyr

Ala	Gly 1145		y Arç	g Lei	ı Gly	, Lei 115		ne Va	al Pi	ne Se		ln (155	Glu M	Met V	al (
Phe	Phe 1160		Asp	Let	ı Lys	Ty:		Lu Cy	ys Aı	ng As		co L70			
<210><211><211><212><213>	471 PRT	o sapi	ens												
<220> <221> <223>	misc_			otofani	I-ARN	t sinte	tasa								
<400>	15														
Met 1	Pro	Asn	Ser	Glu 5	Pro	Ala	Ser	Leu	Leu 10	Glu	Leu	Phe	Asn	Ser 15	Ile
Ala	Thr	Gln	Gly 20	Glu	Leu	Val	Arg	Ser 25	Leu	Lys	Ala	Gly	Asn 30	Ala	Ser
Lys	Asp	Glu 35	Ile	Asp	Ser	Ala	Val 40	Lys	Met	Leu	Val	Ser 45	Leu	Lys	Met
Ser	Tyr 50	Lys	Ala	Ala	Ala	Gly 55	Glu	Asp	Tyr	Lys	Ala 60	Asp	Cys	Pro	Pro
Gly 65	Asn	Pro	Ala	Pro	Thr 70	Ser	Asn	His	Gly	Pro 75	Asp	Ala	Thr	Glu	Ala 80
Glu	Glu	Asp	Phe	Val 85	Asp	Pro	Trp	Thr	Val 90	Gln	Thr	Ser	Ser	Ala 95	Lys
Gly	Ile	Asp	Tyr 100	Asp	Lys	Leu	Ile	Val 105	Arg	Phe	Gly	Ser	Ser 110	Lys	Ile
Asp	Lys	Glu 115	Leu	Ile	Asn	Arg	Ile 120	Glu	Arg	Ala	Thr	Gly 125	Gln	Arg	Pro
His	His 130	Phe	Leu	Arg	Arg	Gly 135	Ile	Phe	Phe	Ser	His 140	Arg	Asp	Met	Asn
Gln 145	Val	Leu	Asp	Ala	Tyr 150	Glu	Asn	Lys	Lys	Pro 155	Phe	Tyr	Leu	Tyr	Thr 160

Gly	Arg	Gly	Pro	Ser 165	Ser	Glu	Ala	Met	His 170	Val	Gly	His	Leu	Ile 175	Pro
Phe	Ile	Phe	Thr 180	Lys	Trp	Leu	Gln	Asp 185	Val	Phe	Asn	Val	Pro 190	Leu	Val
Ile	Gln	Met 195	Thr	Asp	Asp	Glu	Lys 200	Tyr	Leu	Trp	Lys	Asp 205	Leu	Thr	Leu
Asp	Gln 210	Ala	Tyr	Ser	Tyr	Ala 215	Val	Glu	Asn	Ala	Lys 220	Asp	Ile	Ile	Ala
Cys 225	Gly	Phe	Asp	Ile	Asn 230	Lys	Thr	Phe	Ile	Phe 235	Ser	Asp	Leu	Asp	Tyr 240
Met	Gly	Met	Ser	Ser 245	Gly	Phe	Tyr	Lys	Asn 250	Val	Val	Lys	Ile	Gln 255	Lys
His	Val	Thr	Phe 260	Asn	Gln	Val	Lys	Gly 265	Ile	Phe	Gly	Phe	Thr 270	Asp	Ser
Asp	Cys	Ile 275	Gly	Lys	Ile	Ser	Phe 280	Pro	Ala	Ile	Gln	Ala 285	Ala	Pro	Ser
Phe	Ser 290	Asn	Ser	Phe	Pro	Gln 295	Ile	Phe	Arg	Asp	Ar g 300	Thr	Asp	Ile	Gln
Cys 305	Leu	Ile	Pro	Cys	Ala 310	Ile	Asp	Gln	Asp	Pro 315	Tyr	Phe	Arg	Met	Thr 320
Arg	Asp	Val	Ala	Pro 325	Arg	Ile	Gly	Tyr	Pro 330	Lys	Pro	Ala	Leu	Leu 335	His
Ser	Thr	Phe	Phe 340	Pro	Ala	Leu	Gln	Gly 3 4 5	Ala	Gln	Thr	Lys	Met 350	Ser	Ala
Ser	Asp	Pro 355	Asn	Ser	Ser	Ile	Phe 360	Leu	Thr	Asp	Thr	Ala 365	Lys	Gln	Ile
Lys	Thr 370	Lys	Val	Asn	Lys	His 375	Ala	Phe	Ser	Gly	Gly 380	Arg	Asp	Thr	Ile
Glu 385	Glu	His	Arg	Gln	Phe 390	Gly	Gly	Asn	Cys	Asp 395	Val	Asp	Val	Ser	Phe 400
Met	Tyr	Leu	Thr	Phe 405	Phe	Leu	Glu	Asp	Asp 410	Asp	Lys	Leu	Glu	Gln 415	Ile

Arg	Lys	Asp	Tyr 420	Thr	Ser	Gly	Ala	Met 425	Leu	Thr	Gly	Glu	Leu 430	Lys	Lys
Ala	Leu	Ile 435	Glu	Val	Leu	Gln	Pro 440	Leu	Ile	Ala	Glu	His 445	Gln	Ala	Arg
Arg	Lys 450	Glu	Val	Thr	Asp	Glu 455	Ile	Val	Lys	Glu	Phe 460	Met	Thr	Pro	Arg
Lys 465	Leu	Ser	Phe	Asp	Phe 470	Gln									
<210> <211> <212> <213>	424	o sapi	ens												
	misc			otofani	I-ARN	t sinte	tasa								
<400>	- 16														
Met 1	Ser	Tyr	Lys	Ala 5	Ala	Ala	Gly	Glu	Asp 10	Tyr	Lys	Ala	Asp	Cys 15	Pro
Pro	Gly	Asn	Pro 20	Ala	Pro	Thr	Ser	Asn 25	His	Gly	Pro	Asp	Ala 30	Thr	Glu
Ala	Glu	Glu 35	Asp	Phe	Val	Asp	Pro 40	Trp	Thr	Val	Gln	Thr 45	Ser	Ser	Ala
Lys	Gly 50	Ile	Asp	Tyr	Asp	Lys 55	Leu	Ile	Val	Arg	Phe 60	Gly	Ser	Ser	Lys
Ile 65	Asp	Lys	Glu	Leu	Ile 70	Asn	Arg	Ile	Glu	A rg 75	Ala	Thr	Gly	Gln	Arg 80
Pro	His	His	Phe	Leu 85	Arg	Arg	Gly	Ile	Phe 90	Phe	Ser	His	Arg	Asp 95	Met
Asn	Gln	Val	Leu 100	Asp	Ala	Tyr	Glu	Asn 105	Lys	Lys	Pro	Phe	Tyr 110	Leu	Tyr
Thr	Gly	A rg 115	Gly	Pro	Ser	Ser	Glu 120	Ala	Met	His	Val	Gly 125	His	Leu	Ile
Pro	Phe 130	Ile	Phe	Thr	Lys	Trp 135	Leu	Gln	Asp	Val	Phe 140	Asn	Val	Pro	Leu

Val 145	Ile	Gln	Met	Thr	Asp 150	Asp	Glu	Lys	Tyr	Leu 155	Trp	Lys	Asp	Leu	Thr 160
Leu	Asp	Gln	Ala	Tyr 165	Ser	Tyr	Ala	Val	Glu 170	Asn	Ala	Lys	Asp	Ile 175	Ile
Ala	Cys	Gly	Phe 180	Asp	Ile	Asn	Lys	Thr 185	Phe	Ile	Phe	Ser	Asp 190	Leu	Asp
Tyr	Met	Gly 195	Met	Ser	Ser	Gly	Phe 200	Tyr	Lys	Asn	Val	Val 205	Lys	Ile	Gln
Lys	His 210	Val	Thr	Phe	Asn	Gln 215	Val	Lys	Gly	Ile	Phe 220	Gly	Phe	Thr	Asp
Ser 225	Asp	Cys	Ile	Gly	Lys 230	Ile	Ser	Phe	Pro	Ala 235	Ile	Gln	Ala	Ala	Pro 240
Ser	Phe	Ser	Asn	Ser 245	Phe	Pro	Gln	Ile	Phe 250	Arg	Asp	Arg	Thr	Asp 255	Ile
Gln	Cys	Leu	Ile 260	Pro	Cys	Ala	Ile	Asp 265	Gln	Asp	Pro	Tyr	Phe 270	Arg	Met
Thr	Arg	Asp 275	Val	Ala	Pro	Arg	Ile 280	Gly	Tyr	Pro	Lys	Pro 285	Ala	Leu	Leu
His	Ser 290	Thr	Phe	Phe	Pro	Ala 295	Leu	Gln	Gly	Ala	Gln 300	Thr	Lys	Met	Ser
Ala 305	Ser	Asp	Pro	Asn	Ser 310	Ser	Ile	Phe	Leu	Thr 315	Asp	Thr	Ala	Lys	Gln 320
Ile	Lys	Thr	Lys	Val 325	Asn	Lys	His	Ala	Phe 330	Ser	Gly	Gly	Arg	Asp 335	Thr
Ile	Glu	Glu	His 340	Arg	Gln	Phe	Gly	Gly 345	Asn	Cys	Asp	Val	Asp 350	Val	Ser
Phe	Met	Tyr 355	Leu	Thr	Phe	Phe	Leu 360	Glu	Asp	Asp	Asp	Lys 365	Leu	Glu	Gln
Ile	Arg 370	Lys	Asp	Tyr	Thr	Ser 375	Gly	Ala	Met	Leu	Thr 380	Gly	Glu	Leu	Lys
Lys	Ala	Leu	Ile	Glu	Val	Leu	Gln	Pro	Leu	Ile	Ala	Glu	His	Gln	Ala

385 390 395 400 Arg Arg Lys Glu Val Thr Asp Glu Ile Val Lys Glu Phe Met Thr Pro 405 410 Arg Lys Leu Ser Phe Asp Phe Gln 420 <210> 17 <211> 626 <212> PRT <213> Homo sapiens <220> <221> misc feature <223> Isoforma 1 de proteína 1 de contiene dominio SAM y dominio HD Met Gln Arg Ala Asp Ser Glu Gln Pro Ser Lys Arg Pro Arg Cys Asp 1.0 Asp Ser Pro Arg Thr Pro Ser Asn Thr Pro Ser Ala Glu Ala Asp Trp 20 Ser Pro Gly Leu Glu Leu His Pro Asp Tyr Lys Thr Trp Gly Pro Glu 35 40 Gln Val Cys Ser Phe Leu Arg Arg Gly Gly Phe Glu Glu Pro Val Leu 50 55 Leu Lys Asn Ile Arg Glu Asn Glu Ile Thr Gly Ala Leu Leu Pro Cys 70 Leu Asp Glu Ser Arg Phe Glu Asn Leu Gly Val Ser Ser Leu Gly Glu Arg Lys Lys Leu Leu Ser Tyr Ile Gln Arg Leu Val Gln Ile His Val 100 105 Asp Thr Met Lys Val Ile Asn Asp Pro Ile His Gly His Ile Glu Leu 115 120 His Pro Leu Leu Val Arg Ile Ile Asp Thr Pro Gln Phe Gln Arg Leu 130 135 Arg Tyr Ile Lys Gln Leu Gly Gly Gly Tyr Tyr Val Phe Pro Gly Ala 145 155

Ser	His	Asn	Arg	Phe 165	Glu	His	Ser	Leu	Gly 170	Val	Gly	Tyr	Leu	Ala 175	Gly
Cys	Leu	Val	His 180	Ala	Leu	Gly	Glu	Lys 185	Gln	Pro	Glu	Leu	Gln 190	Ile	Ser
Glu	Arg	Asp 195	Val	Leu	Суз	Val	Gln 200	Ile	Ala	Gly	Leu	Cys 205	His	Asp	Leu
Gly	His 210	Gly	Pro	Phe	Ser	His 215	Met	Phe	Asp	Gly	Arg 220	Phe	Ile	Pro	Leu
Ala 225	Arg	Pro	Glu	Val	Lys 230	Trp	Thr	His	Glu	Gln 235	Gly	Ser	Val	Met	Met 240
Phe	Glu	His	Leu	Ile 245	Asn	Ser	Asn	Gly	Ile 250	Lys	Pro	Val	Met	Glu 255	Gln
Tyr	Gly	Leu	Ile 260	Pro	Glu	Glu	Asp	Ile 265	Cys	Phe	Ile	Lys	Glu 270	Gln	Ile
Val	Gly	Pro 275	Leu	Glu	Ser	Pro	Val 280	Glu	Asp	Ser	Leu	Trp 285	Pro	Tyr	Lys
Gly	Arg 290	Pro	Glu	Asn	Lys	Ser 295	Phe	Leu	Tyr	Glu	Ile 300	Val	Ser	Asn	Lys
A rg 305	Asn	Gly	Ile	Asp	V al 310	Asp	Lys	Trp	Asp	Tyr 315	Phe	Ala	Arg	Asp	Cys 320
His	His	Leu	Gly	Ile 325		Asn		Phe	_	_	_	Arg	Phe		Lys
Phe	Ala	Arg	Val 340	Cys	Glu	Val	Asp	Asn 345	Glu	Leu	Arg	Ile	Cys 350	Ala	Arg
Asp	Lys	Glu 355	Val	Gly	Asn	Leu	Tyr 360	Asp	Met	Phe	His	Thr 365	Arg	Asn	Ser
Leu	His 370	Arg	Arg	Ala	Tyr	Gln 375	His	Lys	Val	Gly	As n 380	Ile	Ile	Asp	Thr
Met 385	Ile	Thr	Asp	Ala	Phe 390	Leu	Lys	Ala	Asp	Asp 395	Tyr	Ile	Glu	Ile	Thr 400
Gly	Ala	Gly	Gly	Lys 405	Lys	Tyr	Arg	Ile	Ser 410	Thr	Ala	Ile	Asp	Asp 415	Met

Glu Ala Tyr Thr Lys Leu Thr Asp Asn Ile Phe Leu Glu Ile Leu Tyr 420 Ser Thr Asp Pro Lys Leu Lys Asp Ala Arg Glu Ile Leu Lys Gln Ile 435 440 Glu Tyr Arg Asn Leu Phe Lys Tyr Val Gly Glu Thr Gln Pro Thr Gly 450 455 Gln Ile Lys Ile Lys Arg Glu Asp Tyr Glu Ser Leu Pro Lys Glu Val 470 Ala Ser Ala Lys Pro Lys Val Leu Leu Asp Val Lys Leu Lys Ala Glu 485 490 Asp Phe Ile Val Asp Val Ile Asn Met Asp Tyr Gly Met Gln Glu Lys 500 505 Asn Pro Ile Asp His Val Ser Phe Tyr Cys Lys Thr Ala Pro Asn Arg 515 520 Ala Ile Arg Ile Thr Lys Asn Gln Val Ser Gln Leu Leu Pro Glu Lys 535 Phe Ala Glu Gln Leu Ile Arg Val Tyr Cys Lys Lys Val Asp Arg Lys 550 555 Ser Leu Tyr Ala Ala Arg Gln Tyr Phe Val Gln Trp Cys Ala Asp Arg 565 Asn Phe Thr Lys Pro Gln Asp Gly Asp Val Ile Ala Pro Leu Ile Thr 580 585 Pro Gln Lys Lys Glu Trp Asn Asp Ser Thr Ser Val Gln Asn Pro Thr 595 600 Arg Leu Arg Glu Ala Ser Lys Ser Arg Val Gln Leu Phe Lys Asp Asp 615 610 620 Pro Met 625 <210> 18 <211> 602 <212> PRT <213> Homo sapiens

<223> Isoforma 2 de proteína 1 que contiene dominio SAM y dominio HD

<220>

10

<221> misc feature

<400>	1	8
-------	---	---

- Met Gln Arg Ala Asp Ser Glu Gln Pro Ser Lys Arg Pro Arg Cys Asp 1 5 10 15
- Asp Ser Pro Arg Thr Pro Ser Asn Thr Pro Ser Ala Glu Ala Asp Trp
 20 25 30
- Ser Pro Gly Leu Glu Leu His Pro Asp Tyr Lys Thr Trp Gly Pro Glu 35 40 45
- Gln Val Cys Ser Phe Leu Arg Arg Gly Gly Phe Glu Glu Pro Val Leu 50 55 60
- Leu Lys Asn Ile Arg Glu Asn Glu Ile Thr Gly Ala Leu Leu Pro Cys 65 70 75 80
- Leu Asp Glu Ser Arg Phe Glu Asn Leu Gly Val Ser Ser Leu Gly Glu 85 90 95
- Arg Lys Leu Leu Ser Tyr Ile Gln Arg Leu Val Gln Ile His Val
 100 105 110
- Asp Thr Pro Gln Phe Gln Arg Leu Arg Tyr Ile Lys Gln Leu Gly Gly
 115 120 125
- Gly Tyr Tyr Val Phe Pro Gly Ala Ser His Asn Arg Phe Glu His Ser 130 135 140
- Leu Gly Val Gly Tyr Leu Ala Gly Cys Leu Val His Ala Leu Gly Glu 145 150 155 160
- Lys Gln Pro Glu Leu Gln Ile Ser Glu Arg Asp Val Leu Cys Val Gln 165 170 175
- Ile Ala Gly Leu Cys His Asp Leu Gly His Gly Pro Phe Ser His Met 180 185 190
- Phe Asp Gly Arg Phe Ile Pro Leu Ala Arg Pro Glu Val Lys Trp Thr 195 200 205
- His Glu Gln Gly Ser Val Met Met Phe Glu His Leu Ile Asn Ser Asn 210 215 220
- Gly Ile Lys Pro Val Met Glu Gln Tyr Gly Leu Ile Pro Glu Glu Asp

225					230					235					240
Ile	Сув	Phe	Ile	Lys 245	Glu	Gln	Ile	Val	Gly 250	Pro	Leu	Glu	Ser	Pro 255	Val
Glu	Asp	Ser	Leu 260	Trp	Pro	Tyr	Lys	Gly 265	Arg	Pro	Glu	Asn	Lys 270	Ser	Phe
Leu	Tyr	Glu 275	Ile	Val	Ser	Asn	Lys 280	Arg	Asn	Gly	Ile	Asp 285	Val	Asp	Lys
Trp	Asp 290	Tyr	Phe	Ala	Arg	Asp 295	Cys	His	His	Leu	Gly 300	Ile	Gln	Asn	Asn
Phe 305	Asp	Tyr	Lys	Arg	Phe 310	Ile	Lys	Phe	Ala	Arg 315	Val	Cys	Glu	Val	Asp 320
Asn	Glu	Leu	Arg	Ile 325	Cys	Ala	Arg	Asp	Lys 330	Glu	Val	Gly	Asn	Leu 335	Tyr
Asp	Met	Phe	His 340	Thr	Arg	Asn	Ser	Leu 345	His	Arg	Arg	Ala	Tyr 350	Gln	His
Lys	Val	Gly 355	Asn	Ile	Ile	Asp	Thr 360	Met	Ile	Thr	Asp	Ala 365	Phe	Leu	Lys
Ala	As p 370	Asp	Tyr	Ile	Glu	Ile 375	Thr	Gly	Ala	Gly	Gly 380	Lys	Lys	Tyr	Arg
Ile 385	Ser	Thr	Ala	Ile	Asp 390	Asp	Met	Glu	Ala	Tyr 395	Thr	Lys	Leu	Thr	Asp 400
Asn	Ile	Phe	Leu	Glu 405	Ile	Leu	туг	Ser	Thr 410	Asp	Pro	Lys	Leu	Lys 415	Asp
Ala	Arg	Glu	Ile 420	Leu	Lys	Gln	Ile	Glu 425	Tyr	Arg	Asn	Leu	Phe 430	Lys	Tyr
Val	Gly	Glu 435	Thr	Gln	Pro	Thr	Gly 440	Gln	Ile	Lys	Ile	Lys 445	Arg	Glu	Asp
Tyr	Glu 450	Ser	Leu	Pro	Lys	Glu 455	Val	Ala	Ser	Ala	Lys 460	Pro	Lys	Val	Leu
Leu 465	Asp	Val	Lys	Leu	Lys 470	Ala	Glu	Asp	Phe	Ile 475	Val	Asp	Val	Ile	Asn 480

Met	Asp	Tyr	Gly	Met 485	Gln	Glu	Lys	Asn	Pro 490	Ile	Asp	His	Val	Ser 495	Phe
Tyr	Cys	Lys	Thr 500	Ala	Pro	Asn	Arg	Ala 505	Ile	Arg	Ile	Thr	Lys 510	Asn	Gln
Val	Ser	Gln 515	Leu	Leu	Pro	Glu	Lys 520	Phe	Ala	Glu	Gln	Leu 525	Ile	Arg	Val
Tyr	Cys 530	Lys	Lys	Val	Asp	Arg 535	Lys	Ser	Leu	Tyr	Ala 540	Ala	Arg	Gln	Tyr
Phe 545	Val	Gln	Trp	Cys	Ala 550	Asp	Arg	Asn	Phe	Thr 555	Lys	Pro	Gln	Asp	Gly 560
Asp	Val	Ile	Ala	Pro 565	Leu	Ile	Thr	Pro	Gln 570	Lys	Lys	Glu	Trp	As n 575	Asp
Ser	Thr	Ser	Val 580	Gln	Asn	Pro	Thr	Arg 585	Leu	Arg	Glu	Ala	Ser 590	Lys	Ser
Arg	Val	Gln 595	Leu	Phe	Lys	Asp	Asp 600	Pro	Met						
<210><211><211><212><213>	102 PRT	o sapi	ens												
<220> <221>	>														
~2232				ue térr	nico d	e 10 k	Da, m	itocon	drial						
<400>	misc prote			ue téri	nico d	e 10 k	Da, m	itocon	drial						
<400>	→ misc → prote → 19	ína de	choq							Pro	Leu	Phe	Asp	Arg 15	Val
<400> Met 1	misc prote 19 Ala	ína de	choq Gln	Ala 5	Phe	Arg	Lys	Phe	Leu 10				-	-	
<400> Met 1 Leu	misc prote 19 Ala Val	Gly Glu	Gln Arg 20	Ala 5 Ser	Phe Ala	Arg Ala	Lys Glu	Phe Thr 25	Leu 10 Val	Thr	Lys	Gly	Gly 30	15	Met
<4000 Met 1 Leu	misc prote 19 Ala Val	Gly Glu Glu 35	Gln Arg 20 Lys	Ala 5 Ser	Phe Ala Gln	Arg Ala Gly	Lys Glu Lys 40	Phe Thr 25 Val	Leu 10 Val Leu	Thr Gln	Lys Ala	Gly Thr 45	Gly 30 Val	15 Ile	Met Ala

Val Val Leu Asp Asp Lys Asp Tyr Phe Leu Phe Arg Asp Gly Asp Ile 90 85 Leu Gly Lys Tyr Val Asp 100 <210> 20 <211> 330 <212> PRT <213> Homo sapiens <220> <221> misc_feature <223> Region de cadena C de lg gamma-1 <400> 20 Ala Ser Thr Lys Gly Pro Ser Val Phe Pro Leu Ala Pro Ser Ser Lys 10 Ser Thr Ser Gly Gly Thr Ala Ala Leu Gly Cys Leu Val Lys Asp Tyr 20 Phe Pro Glu Pro Val Thr Val Ser Trp Asn Ser Gly Ala Leu Thr Ser Gly Val His Thr Phe Pro Ala Val Leu Gln Ser Ser Gly Leu Tyr Ser Leu Ser Ser Val Val Thr Val Pro Ser Ser Ser Leu Gly Thr Gln Thr 70 Tyr Ile Cys Asn Val Asn His Lys Pro Ser Asn Thr Lys Val Asp Lys 90 Lys Val Glu Pro Lys Ser Cys Asp Lys Thr His Thr Cys Pro Pro Cys 105 Pro Ala Pro Glu Leu Leu Gly Gly Pro Ser Val Phe Leu Phe Pro Pro 120 Lys Pro Lys Asp Thr Leu Met Ile Ser Arg Thr Pro Glu Val Thr Cys 135 Val Val Asp Val Ser His Glu Asp Pro Glu Val Lys Phe Asn Trp 150 155 Tyr Val Asp Gly Val Glu Val His Asn Ala Lys Thr Lys Pro Arg Glu

5

10

170

Glu Gln Tyr Asn Ser Thr Tyr Arg Val Val Ser Val Leu Thr Val Leu

180 185 His Gln Asp Trp Leu Asn Gly Lys Glu Tyr Lys Cys Lys Val Ser Asn 195 200 Lys Ala Leu Pro Ala Pro Ile Glu Lys Thr Ile Ser Lys Ala Lys Gly 210 215 Gln Pro Arg Glu Pro Gln Val Tyr Thr Leu Pro Pro Ser Arg Asp Glu 230 Leu Thr Lys Asn Gln Val Ser Leu Thr Cys Leu Val Lys Gly Phe Tyr 245 250 Pro Ser Asp Ile Ala Val Glu Trp Glu Ser Asn Gly Gln Pro Glu Asn 260 265 Asn Tyr Lys Thr Thr Pro Pro Val Leu Asp Ser Asp Gly Ser Phe Phe 275 280 Leu Tyr Ser Lys Leu Thr Val Asp Lys Ser Arg Trp Gln Gln Gly Asn 290 295 Val Phe Ser Cys Ser Val Met His Glu Ala Leu His Asn His Tyr Thr 305 310 315 Gln Lys Ser Leu Ser Leu Ser Pro Gly Lys 325 <210> 21 <211> 917 <212> PRT <213> Homo sapiens <220> <221> misc_feature <223> Isoforma 1 de hexocinasa-1 <400> 21 Met Ile Ala Ala Gln Leu Leu Ala Tyr Tyr Phe Thr Glu Leu Lys Asp 5 10 Asp Gln Val Lys Lys Ile Asp Lys Tyr Leu Tyr Ala Met Arg Leu Ser 20 25 30 Asp Glu Thr Leu Ile Asp Ile Met Thr Arg Phe Arg Lys Glu Met Lys

		35					40					45			
Asn	Gly 50	Leu	Ser	Arg	Asp	Phe 55	Asn	Pro	Thr	Ala	Thr 60	Val	Lys	Met	Leu
Pro 65	Thr	Phe	Val	Arg	Ser 70	Ile	Pro	Asp	Gly	Ser 75	Glu	Lys	Gly	Asp	Phe 80
Ile	Ala	Leu	Asp	Leu 85	Gly	Gly	Ser	Ser	Phe 90	Arg	Ile	Leu	Arg	Val 95	Gln
Val	Asn	His	Glu 100	Lys	Asn	Gln	Asn	Val 105	His	Met	Glu	Ser	Glu 110	Val	Tyr
Asp	Thr	Pro 115	Glu	Asn	Ile	Val	His 120	Gly	Ser	Gly	Ser	Gln 125	Leu	Phe	Asp
His	Val 130	Ala	Glu	Cys	Leu	Gly 135	Asp	Phe	Met	Glu	Lys 140	Arg	Lys	Ile	Lys
Asp 145	Lys	Lys	Leu	Pro	Val 150	Gly	Phe	Thr	Phe	Ser 155	Phe	Pro	Cys	Gln	Gln 160
Ser	Lys	Ile	Asp	Glu 165	Ala	Ile	Leu	Ile	Thr 170	Trp	Thr	Lys	Arg	Phe 175	Lys
Ala	Ser	Gly	Val 180	Glu	Gly	Ala	Asp	Val 185	Val	Lys	Leu	Leu	A sn 190	Lys	Ala
Ile	L y s	Lys 195	Arg	Gly	Asp	Tyr	Asp 200	Ala	Asn	Ile	Val	Ala 205	Val	Val	Asn
Asp	Thr 210	Val	Gly	Thr	Met	Met 215	Thr	Cys	Gly	Tyr	Asp 220	Asp	Gln	His	Cys
Glu 225	Val	Gly	Leu	Ile	Ile 230	Gly	Thr	Gly	Thr	Asn 235	Ala	Cys	Tyr	Met	Glu 240
Glu	Leu	Arg	His	Ile 245	Asp	Leu	Val	Glu	Gly 250	Asp	Glu	Gly	Arg	Met 255	Cys
Ile	Asn	Thr	Glu 260	Trp	Gly	Ala	Phe	Gly 265	Asp	Asp	Gly	Ser	Leu 270	Glu	Asp
Ile	Arg	Thr	Glu	Phe	Asp	Arg	Glu 280		Asp	Arg	Gly	Ser		Asn	Pro

Gly	Lys 290	Gln	Leu	Phe	Glu	Lys 295	Met	Val	Ser	Gly	Met 300	Tyr	Leu	Gly	Glu
Leu 305	Val	Arg	Leu	Ile	Leu 310	Val	Lys	Met	Ala	Lys 315	Glu	Gly	Leu	Leu	Phe 320
Glu	Gly	Arg	Ile	Thr 325	Pro	Glu	Leu	Leu	Thr 330	Arg	Gly	Lys	Phe	Asn 335	Thr
Ser	Asp	Val	Ser 340	Ala	Ile	Glu	Lys	Asn 345	Lys	Glu	Gly	Leu	His 350	Asn	Ala
Lys	Glu	11e 355	Leu	Thr	Arg	Leu	Gly 360	Val	Glu	Pro	Ser	Asp 365	Asp	Asp	Сув
Val	Ser 370	Val	Gln	His	Val	Cys 375	Thr	Ile	Val	Ser	Phe 380	Arg	Ser	Ala	Asn
Leu 385	Val	Ala	Ala	Thr	Leu 390	Gly	Ala	Ile	Leu	Asn 395	Arg	Leu	Arg	Asp	Asn 400
Lys	Gly	Thr	Pro	Arg 405	Leu	Arg	Thr	Thr	Val 410	Gly	Val	Asp	Gly	Ser 415	Leu
Tyr	Lys	Thr	His 420	Pro	Gln	Tyr	Ser	Arg 425	Arg	Phe	His	Lys	Thr 430	Leu	Arg
Arg	Leu	Val 435	Pro	Asp	Ser	Asp	Val 440	Arg	Phe	Leu	Leu	Ser 445	Glu	Ser	Gly
	Gly 450	_	Gly		Ala			Thr	Ala		Ala 460	_	Arg	Leu	Ala
Glu 465	Gln	His	Arg	Gln	Ile 470	Glu	Glu	Thr	Leu	Ala 475	His	Phe	His	Leu	Thr 480
Lys	Asp	Met	Leu	Leu 485	Glu	Val	Lys	L y s	Arg 490	Met	Arg	Ala	Glu	Met 495	Glu
Leu	Gly	Leu	Arg 500	Lys	Gln	Thr	His	Asn 505	Asn	Ala	Val	Val	Lys 510	Met	Leu
Pro	Ser	Phe 515	Val	Arg	Arg	Thr	Pro 520	Asp	Gly	Thr	Glu	Asn 525	Gly	Asp	Phe
Leu	Ala 530	Leu	Asp	Leu	Gly	Gly 535	Thr	Asn	Phe	Arg	Val 540	Leu	Leu	Val	Lys

Ile 545	Arg	Ser	Gly	Lys	Lys 550	Arg	Thr	Val	Glu	Met 555	His	Asn	Lys	Ile	Tyr 560
Ala	Ile	Pro	Ile	Glu 565	Ile	Met	Gln	Gly	Thr 570	Gly	Glu	Glu	Leu	Phe 575	Asp
His	Ile	Val	Ser 580	Сув	Ile	Ser	Asp	Phe 585	Leu	Asp	Tyr	Met	Gly 590	Ile	Lys
Gly	Pro	Arg 595	Met	Pro	Leu	Gly	Phe 600	Thr	Phe	Ser	Phe	Pro 605	Cys	Gln	Gln
Thr	Ser 610	Leu	Asp	Ala	Gly	Ile 615	Leu	Ile	Thr	Trp	Thr 620	Lys	Gly	Phe	Lys
Ala 625	Thr	Asp	Cys	Val	Gly 630	His	Asp	Val	Val	Thr 635	Leu	Leu	Arg	Asp	Ala 640
Ile	Lys	Arg	Arg	Glu 645	Glu	Phe	Asp	Leu	Asp 650	Val	Val	Ala	Val	Val 655	Asn
Asp	Thr	Val	Gly 660	Thr	Met	Met	Thr	Cys 665	Ala	Tyr	Glu	Glu	Pro 670	Thr	Суѕ
Glu	Val	Gly 675	Leu	Ile	Val	Gly	Thr 680	Gly	Ser	Asn	Ala	Cys 685	Tyr	Met	Glu
Glu	Met 690	Lys	Asn	Val	Glu	Met 695	Val	Glu	Gly	Asp	Gln 700	Gly	Gln	Met	Cys
Ile 705	Asn	Met	Glu	Trp	Gly 710	Ala	Phe	Gly	Asp	As n 715	Gly	Cys	Leu	Asp	Asp 720
Ile	Arg	Thr	His	Tyr 725	Asp	Arg	Leu	Val	Asp 730	Glu	Tyr	Ser	Leu	Asn 735	Ala
Gly	Lys	Gln	Arg 740	Tyr	Glu	L y s	Met	11e 745	Ser	Gly	Met	Tyr	Leu 750	Gly	Glu
Ile	Val	Arg 755	Asn	Ile	Leu	Ile	Asp 760	Phe	Thr	Lys	Lys	Gly 765	Phe	Leu	Phe
Arg	Gly 770	Gln	Ile	Ser	Glu	Thr 775	Leu	Lys	Thr	Arg	Gly 780	Ile	Phe	Glu	Thr
Lys 785	Phe	Leu	Ser	Gln	Ile 790	Glu	Ser	Asp	Arg	Leu 795	Ala	Leu	Leu	Gln	Val 800

Arg Ala Ile Leu Gln Gln Leu Gly Leu Asn Ser Thr Cys Asp Asp Ser 805 Ile Leu Val Lys Thr Val Cys Gly Val Val Ser Arg Arg Ala Ala Gln 820 825 Leu Cys Gly Ala Gly Met Ala Ala Val Val Asp Lys Ile Arg Glu Asn 835 840 Arg Gly Leu Asp Arg Leu Asn Val Thr Val Gly Val Asp Gly Thr Leu 850 855 Tyr Lys Leu His Pro His Phe Ser Arg Ile Met His Gln Thr Val Lys 865 870 875 Glu Leu Ser Pro Lys Cys Asn Val Ser Phe Leu Leu Ser Glu Asp Gly 885 890 895 Ser Gly Lys Gly Ala Ala Leu Ile Thr Ala Val Gly Val Arg Leu Arg 900 905 Thr Glu Ala Ser Ser 915 <210> 22 <211> 916 <212> PRT <213> Homo sapiens <220> <221> misc feature <223> Isoforma 2 de hexocinasa-1 <400> 22 Met Asp Cys Glu His Ser Leu Ser Leu Pro Cys Arg Gly Ala Glu Ala Trp Glu Ile Gly Ile Asp Lys Tyr Leu Tyr Ala Met Arg Leu Ser Asp 20 25 Glu Thr Leu Ile Asp Ile Met Thr Arg Phe Arg Lys Glu Met Lys Asn 35 40 Gly Leu Ser Arg Asp Phe Asn Pro Thr Ala Thr Val Lys Met Leu Pro 50 55 60 Thr Phe Val Arg Ser Ile Pro Asp Gly Ser Glu Lys Gly Asp Phe Ile

5

65					70					75					80
Ala	Leu	Asp	Leu	Gly 85	Gly	Ser	Ser	Phe	Arg 90	Ile	Leu	Arg	Val	Gln 95	Val
Asn	His	Glu	Lys 100	Asn	Gln	Asn	Val	His 105	Met	Glu	Ser	Glu	Val 110	Tyr	Asp
Thr	Pro	Glu 115	Asn	Ile	Val	His	Gly 120	Ser	Gly	Ser	Gln	Leu 125	Phe	Asp	His
Val	Ala 130	Glu	Cys	Leu	Gly	Asp 135	Phe	Met	Glu	Lys	Arg 140	Lys	Ile	Lys	Asp
Lys 145	Lys	Leu	Pro	Val	Gly 150	Phe	Thr	Phe	Ser	Phe 155	Pro	Cys	Gln	Gln	Ser 160
Lys	Ile	Asp	Glu	Ala 165	Ile	Leu	Ile	Thr	Trp 170	Thr	Lys	Arg	Phe	Lys 175	Ala
Ser	Gly	Val	Glu 180	Gly	Ala	Asp	Val	Val 185	Lys	Leu	Leu	Asn	Lys 190	Ala	Ile
Lys	Lys	Arg 195	Gly	Asp	Tyr	Asp	Ala 200	Asn	Ile	Val	Ala	Val 205	Val	Asn	Asp
Thr	Val 210	Gly	Thr	Met	Met	Thr 215	Cys	Gly	Tyr	Asp	Asp 220	Gln	His	Cys	Glu
V al 225	Gly	Leu	Ile	Ile	Gly 230	Thr	Gly	Thr	Asn	Ala 235	Сув	Tyr	Met	Glu	Glu 240
Leu	Arg	His	Ile	Asp 245	Leu	Val	Glu	Gly	Asp 250	Glu	Gly	Arg	Met	Cys 255	Ile
Asn	Thr	Glu	Trp 260	Gly	Ala	Phe	Gly	Asp 265	Asp	Gly	Ser	Leu	Glu 270	Asp	Ile
Arg	Thr	Glu 275	Phe	Asp	Arg	Glu	Ile 280	Asp	Arg	Gly	Ser	Leu 285	Asn	Pro	Gly
Lys	Gln 290	Leu	Phe	Glu	Lys	Met 295	Val	Ser	Gly	Met	Tyr 300	Leu	Gly	Glu	Leu
Val 305	Arg	Leu	Ile	Leu	Val 310	Lys	Met	Ala	Lys	Glu 315	Gly	Leu	Leu	Phe	Glu 320

Gly	Arg	Ile	Thr	Pro 325	Glu	Leu	Leu	Thr	A rg 330	Gly	Lys	Phe	Asn	Thr 335	Ser
Asp	Val	Ser	Ala 340	Ile	Glu	Lys	Asn	Lys 345	Glu	Gly	Leu	His	Asn 350	Ala	Lys
Glu	Ile	Leu 355	Thr	Arg	Leu	Gly	Val 360	Glu	Pro	Ser	Asp	Asp 365	Asp	Суз	Val
Ser	Val 370	Gln	His	Val	Суз	Thr 375	Ile	Val	Ser	Phe	A rg 380	Ser	Ala	Asn	Leu
Val 385	Ala	Ala	Thr	Leu	Gly 390	Ala	Ile	Leu	Asn	Arg 395	Leu	Arg	Asp	Asn	Lys 400
Gly	Thr	Pro	Arg	Leu 405	Arg	Thr	Thr	Val	Gly 410	Val	Asp	Gly	Ser	Leu 415	Tyr
Lys	Thr	His	Pro 420	Gln	Tyr	Ser	Arg	Arg 425	Phe	His	Lys	Thr	Leu 430	Arg	Arg
Leu	Val	Pro 435	Asp	Ser	Asp	Val	A rg 440	Phe	Leu	Leu	Ser	Glu 445	Ser	Gly	Ser
Gly	Lys 450	Gly	Ala	Ala	Met	Val 455	Thr	Ala	Val	Ala	Tyr 460	Arg	Leu	Ala	Glu
Gln 465	His	Arg	Gln	Ile	Glu 470	Glu	Thr	Leu	Ala	His 475	Phe	His	Leu	Thr	Lys 480
Asp	Met	Leu		Glu 485	Val	Lys	_	_	Met 490	_	Ala	Glu	Met	Glu 495	Leu
Gly	Leu	Arg	Lys 500	Gln	Thr	His	Asn	Asn 505	Ala	Val	Val	Lys	Met 510	Leu	Pro
Ser	Phe	Val 515	Arg	Arg	Thr	Pro	Asp 520	Gly	Thr	Glu	Asn	Gl y 525	Asp	Phe	Leu
Ala	Leu 530	Asp	Leu	Gly	Gly	Thr 535	Asn	Phe	Arg	Val	Leu 540	Leu	Val	Lys	Ile
Arg 545	Ser	Gly	Lys	Lys	Arg 550	Thr	Val	Glu	Met	His 555	Asn	Lys	Ile	Tyr	A la 560
Ile	Pro	Ile	Glu	Ile 565	Met	Gln	Gly	Thr	Gly 570	Glu	Glu	Leu	Phe	Asp 575	His

Ile Val Ser Cys Ile Ser Asp Phe Leu Asp Tyr Met Gly Ile Lys Gly 580 585 Pro Arg Met Pro Leu Gly Phe Thr Phe Ser Phe Pro Cys Gln Gln Thr Ser Leu Asp Ala Gly Ile Leu Ile Thr Trp Thr Lys Gly Phe Lys Ala 615 Thr Asp Cys Val Gly His Asp Val Val Thr Leu Leu Arg Asp Ala Ile Lys Arg Arg Glu Glu Phe Asp Leu Asp Val Val Ala Val Asn Asp 645 650 Thr Val Gly Thr Met Met Thr Cys Ala Tyr Glu Glu Pro Thr Cys Glu Val Gly Leu Ile Val Gly Thr Gly Ser Asn Ala Cys Tyr Met Glu Glu Met Lys Asn Val Glu Met Val Glu Gly Asp Gln Gly Gln Met Cys Ile Asn Met Glu Trp Gly Ala Phe Gly Asp Asn Gly Cys Leu Asp Asp Ile 715 Arg Thr His Tyr Asp Arg Leu Val Asp Glu Tyr Ser Leu Asn Ala Gly 725 730 Lys Gln Arg Tyr Glu Lys Met Ile Ser Gly Met Tyr Leu Gly Glu Ile Val Arg Asn Ile Leu Ile Asp Phe Thr Lys Lys Gly Phe Leu Phe Arg 755 Gly Gln Ile Ser Glu Thr Leu Lys Thr Arg Gly Ile Phe Glu Thr Lys 770 775 Phe Leu Ser Gln Ile Glu Ser Asp Arg Leu Ala Leu Leu Gln Val Arg 785 Ala Ile Leu Gln Gln Leu Gly Leu Asn Ser Thr Cys Asp Asp Ser Ile Leu Val Lys Thr Val Cys Gly Val Val Ser Arg Arg Ala Ala Gln Leu 820 825 830

Cys Gly Ala Gly Met Ala Ala Val Val Asp Lys Ile Arg Glu Asn Arg 835 840 Gly Leu Asp Arg Leu Asn Val Thr Val Gly Val Asp Gly Thr Leu Tyr 850 855 Lys Leu His Pro His Phe Ser Arg Ile Met His Gln Thr Val Lys Glu 865 870 875 Leu Ser Pro Lys Cys Asn Val Ser Phe Leu Leu Ser Glu Asp Gly Ser 885 890 Gly Lys Gly Ala Ala Leu Ile Thr Ala Val Gly Val Arg Leu Arg Thr 900 905 Glu Ala Ser Ser 915 <210> 23 <211> 921 <212> PRT <213> Homo sapiens <220> <221> misc feature <223> Isoforma 3 de hexocinasa-1 <400> 23 Met Gly Gln Ile Cys Gln Arg Glu Ser Ala Thr Ala Ala Glu Lys Pro Lys Leu His Leu Leu Ala Glu Ser Glu Ile Asp Lys Tyr Leu Tyr Ala Met Arg Leu Ser Asp Glu Thr Leu Ile Asp Ile Met Thr Arg Phe Arg Lys Glu Met Lys Asn Gly Leu Ser Arg Asp Phe Asn Pro Thr Ala Thr Val Lys Met Leu Pro Thr Phe Val Arg Ser Ile Pro Asp Gly Ser Glu 75 70 Lys Gly Asp Phe Ile Ala Leu Asp Leu Gly Gly Ser Ser Phe Arg Ile 90

5

10

Leu Arg Val Gln Val Asn His Glu Lys Asn Gln Asn Val His Met Glu

			100					105					110		
Ser	Glu	Val 115	Tyr	Asp	Thr	Pro	Glu 120	Asn	Ile	Val	His	Gly 125	Ser	Gly	Ser
Gln	Leu 130	Phe	Asp	His	Val	Ala 135	Glu	Cys	Leu	Gly	Asp 140	Phe	Met	Glu	Lys
Arg 145	Lys	Ile	Lys	Asp	Lys 150	Lys	Leu	Pro	Val	Gly 155	Phe	Thr	Phe	Ser	Phe 160
Pro	Cys	Gln	Gln	Ser 165	Lys	Ile	Asp	Glu	Ala 170	Ile	Leu	Ile	Thr	Trp 175	Thr
Lys	Arg	Phe	Lys 180	Ala	Ser	Gly	Val	Glu 185	Gly	Ala	Asp	Val	Val 190	Lys	Leu
Leu	Asn	Lys 195	Ala	Ile	Lys	Lys	Arg 200	Gly	Asp	Tyr	Asp	Ala 205	Asn	Ile	Val
Ala	Val 210	Val	Asn	Asp	Thr	Val 215	Gly	Thr	Met	Met	Thr 220	Cys	Gly	Tyr	Asp
Asp 225	Gln	His	Cys	Glu	Val 230	Gly	Leu	Ile	Ile	Gly 235	Thr	Gly	Thr	Asn	Ala 240
Cys	Tyr	Met	Glu	Glu 245	Leu	Arg	His	Ile	Asp 250	Leu	Val	Glu	Gly	Asp 255	Glu
Gly	Arg	Met	Cys 260	Ile	Asn	Thr	Glu	Trp 265	Gly	Ala	Phe	Gly	Asp 270	Asp	Gly
Ser	Leu	Glu 275	Asp	Ile	Arg	Thr	Glu 280	Phe	Asp	Arg	Glu	11e 285	Asp	Arg	Gly
Ser	Leu 290	Asn	Pro	Gly	Lys	Gln 295	Leu	Phe	Glu	Lys	Met 300	Val	Ser	Gly	Met
Tyr 305	Leu	Gly	Glu	Leu	Val 310	Arg	Leu	Ile	Leu	Val 315	Lys	Met	Ala	Lys	Glu 320
Gly	Leu	Leu	Phe	Glu 325	Gly	Arg	Ile	Thr	Pro 330	Glu	Leu	Leu	Thr	Arg 335	Gly
Lys	Phe	Asn	Thr 340	Ser	Asp	Val	Ser	Ala 345	Ile	Glu	Lys	Asn	Lys 350	Glu	Gly

Leu	HIS	355	Ala	туѕ	GLu	ITE	360	Thr	Arg	Leu	GTĀ	365	GLu	Pro	Ser
Asp	Asp 370	Asp	Cys	Val	Ser	Val 375	Gln	His	Val	Cys	Thr 380	Ile	Val	Ser	Phe
A rg 385	Ser	Ala	Asn	Leu	Val 390	Ala	Ala	Thr	Leu	Gly 395	Ala	Ile	Leu	Asn	Arg 400
Leu	Arg	Asp	Asn	Lys 405	Gly	Thr	Pro	Arg	Leu 410	Arg	Thr	Thr	Val	Gly 415	Val
Asp	Gly	Ser	Leu 420	Tyr	Lys	Thr	His	Pro 425	Gln	Tyr	Ser	Arg	Arg 430	Phe	His
Lys	Thr	Leu 435	Arg	Arg	Leu	Val	Pro 440	Asp	Ser	Asp	Val	A rg 445	Phe	Leu	Leu
Ser	Glu 450	Ser	Gly	Ser	Gly	Lys 455	Gly	Ala	Ala	Met	Val 460	Thr	Ala	Val	Ala
Tyr 465	Arg	Leu	Ala	Glu	Gln 470	His	Arg	Gln	Ile	Glu 475	Glu	Thr	Leu	Ala	His 480
Phe	His	Leu	Thr	Lys 485	Asp	Met	Leu	Leu	Glu 490	Val	Lys	Lys	Arg	Met 495	Arg
Ala	Glu	Met	Glu 500	Leu	Gly	Leu	Arg	Lys 505	Gln	Thr	His	Asn	Asn 510	Ala	Val
Val	Lys	Met 515	Leu	Pro	Ser	Phe	Val 520	Arg	Arg	Thr	Pro	Asp 525	Gly	Thr	Glu
Asn	Gly 530	Asp	Phe	Leu	Ala	Leu 535	Asp	Leu	Gly	Gly	Thr 540	Asn	Phe	Arg	Val
Leu 545	Leu	Val	Lys	Ile	A rg 550	Ser	Gly	Lys	Lys	Arg 555	Thr	Val	Glu	Met	His 560
Asn	Lys	Ile	Tyr	Ala 565	Ile	Pro	Ile	Glu	Ile 570	Met	Gln	Gly	Thr	Gly 575	Glu
Glu	Leu	Phe	Asp 580	His	Ile	Val	Ser	C ys 585	Ile	Ser	Asp	Phe	Leu 590	Asp	Tyr
Met	Gly	Ile 595	Lys	Gly	Pro	Arg	Met 600	Pro	Leu	Gly	Phe	Thr 605	Phe	Ser	Phe

Pro	Cys 610	Gln	Gln	Thr	Ser	Leu 615	Asp	Ala	Gly	Ile	Leu 620	Ile	Thr	Trp	Thr
Lys 625	Gly	Phe	Lys	Ala	Thr 630	Asp	Cys	Val	Gly	His 635	Asp	Val	Val	Thr	Leu 640
Leu	Arg	Asp	Ala	Ile 645	Lys	Arg	Arg	Glu	Glu 650	Phe	Asp	Leu	Asp	Val 655	Val
Ala	Val	Val	A sn 660	Asp	Thr	Val	Gly	Thr 665	Met	Met	Thr	Cys	Ala 670	Tyr	Glu
Glu	Pro	Thr 675	Сув	Glu	Val	Gly	Leu 680	Ile	Val	Gly	Thr	Gly 685	Ser	Asn	Ala
Cys	Tyr 690	Met	Glu	Glu	Met	Lys 695	Asn	Val	Glu	Met	Val 700	Glu	Gly	Asp	Gln
Gly 705	Gln	Met	Cys	Ile	Asn 710	Met	Glu	Trp	Gly	Ala 715	Phe	Gly	Asp	Asn	Gly 720
Cys	Leu	Asp	Asp	Ile 725	Arg	Thr	His	Tyr	Asp 730	Arg	Leu	Val	Asp	Glu 735	Tyr
Ser	Leu	Asn	Ala 740	Gly	Lys	Gln	Arg	Tyr 745	Glu	ГÀЗ	Met	Ile	Ser 750	Gly	Met
Tyr	Leu	Gly 755	Glu	Ile	Val	Arg	Asn 760	Ile	Leu	Ile	Asp	Phe 765	Thr	Lys	Lys
Gly	Phe 770	Leu	Phe	Arg	Gly	Gln 775	Ile	Ser	Glu	Thr	Leu 780	Lys	Thr	Arg	Gly
Ile 785	Phe	Glu	Thr	Lys	Phe 790	Leu	Ser	Gln	Ile	Glu 795	Ser	Asp	Arg	Leu	Ala 800
Leu	Leu	Gln	Val	Arg 805	Ala	Ile	Leu	Gln	Gln 810	Leu	Gly	Leu	Asn	Ser 815	Thr
Сув	Asp	Asp	Ser 820	Ile	Leu	Val	Lys	Thr 825	Val	Сув	Gly	Val	Val 830	Ser	Arg
Arg	Ala	Ala 835	Gln	Leu	Суз	Gly	Ala 840	Gly	Met	Ala	Ala	Val 845	Val	Asp	Lys
Ile	Arg 850	Glu	Asn	Arg	Gly	Leu 855	Asp	Arg	Leu	Asn	V al 860	Thr	Val	Gly	Val

Asp Gly Thr Leu Tyr Lys Leu His Pro His Phe Ser Arg Ile Met His 865 870 Gln Thr Val Lys Glu Leu Ser Pro Lys Cys Asn Val Ser Phe Leu Leu 885 890 Ser Glu Asp Gly Ser Gly Lys Gly Ala Ala Leu Ile Thr Ala Val Gly 900 905 Val Arg Leu Arg Thr Glu Ala Ser Ser 915 920 <210> 24 <211> 905 <212> PRT <213> Homo sapiens <220> <221> misc_feature <223> Isoforma 4 de hexocinasa-1 <400> 24 Met Ala Lys Arg Ala Leu His Asp Phe Ile Asp Lys Tyr Leu Tyr Ala 10 Met Arg Leu Ser Asp Glu Thr Leu Ile Asp Ile Met Thr Arg Phe Arg Lys Glu Met Lys Asn Gly Leu Ser Arg Asp Phe Asn Pro Thr Ala Thr 40 Val Lys Met Leu Pro Thr Phe Val Arg Ser Ile Pro Asp Gly Ser Glu Lys Gly Asp Phe Ile Ala Leu Asp Leu Gly Gly Ser Ser Phe Arg Ile Leu Arg Val Gln Val Asn His Glu Lys Asn Gln Asn Val His Met Glu Ser Glu Val Tyr Asp Thr Pro Glu Asn Ile Val His Gly Ser Gly Ser 100 105 Gln Leu Phe Asp His Val Ala Glu Cys Leu Gly Asp Phe Met Glu Lys 120

10

Arg Lys Ile Lys Asp Lys Lys Leu Pro Val Gly Phe Thr Phe Ser Phe

	130					135					140				
Pro 145	Сув	Gln	Gln	Ser	Lys 150	Ile	Asp	Glu	Ala	Ile 155	Leu	Ile	Thr	Trp	Thr 160
Lys	Arg	Phe	Lys	Ala 165	Ser	Gly	Val	Glu	Gly 170	Ala	Asp	Val	Val	Lys 175	Leu
Leu	Asn	Lys	Ala 180	Ile	Lys	Lys	Arg	Gly 185	Asp	Tyr	Asp	Ala	Asn 190	Ile	Val
Ala	Val	Val 195	Asn	Asp	Thr	Val	Gly 200	Thr	Met	Met	Thr	Cys 205	Gly	Tyr	Asp
Asp	Gln 210	His	Cys	Glu	Val	Gly 215	Leu	Ile	Ile	Gly	Thr 220	Gly	Thr	Asn	Ala
Cys 225	Tyr	Met	Glu	Glu	Leu 230	Arg	His	Ile	Asp	Leu 235	Val	Glu	Gly	Asp	Glu 240
Gly	Arg	Met	Cys	Ile 245	Asn	Thr	Glu	Trp	Gly 250	Ala	Phe	Gly	Asp	Asp 255	Gly
Ser	Leu	Glu	Asp 260	Ile	Arg	Thr	Glu	Phe 265	Asp	Arg	Glu	Ile	Asp 270	Arg	Gly
Ser	Leu	As n 275	Pro	Gly	Lys	Gln	Leu 280	Phe	Glu	Lys	Met	Val 285	Ser	Gly	Met
Tyr	Leu 290	Gly	Glu	Leu	Val	Arg 295	Leu	Ile	Leu	Val	Lys 300	Met	Ala	Lys	Glu
Gly 305	Leu	Leu	Phe	Glu	Gly 310	Arg	Ile	Thr	Pro	Glu 315	Leu	Leu	Thr	Arg	Gly 320
Lys	Phe	Asn	Thr	Ser 325	Asp	Val	Ser	Ala	Ile 330	Glu	Lys	Asn	Lys	Glu 335	Gly
Leu	His	Asn	Ala 340	Lys	Glu	Ile	Leu	Thr 345	Arg	Leu	Gly	Val	Glu 350	Pro	Ser
Asp	Asp	Asp 355	Cys	Val	Ser	Val	Gln 360	His	Val	Cys	Thr	11e 365	Val	Ser	Phe
Arg	Ser 370	Ala	Asn	Leu	Val	Ala 375	Ala	Thr	Leu	Gly	Ala 380	Ile	Leu	Asn	Arg

Leu 385	Arg	Asp	Asn	Lys	Gly 390	Thr	Pro	Arg	Leu	Arg 395	Thr	Thr	Val	Gly	Val 400
Asp	Gly	Ser	Leu	Tyr 405	Lys	Thr	His	Pro	Gln 410	Tyr	Ser	Arg	Arg	Phe 415	His
Lys	Thr	Leu	Arg 420	Arg	Leu	Val	Pro	Asp 425	Ser	Asp	Val	Arg	Phe 430	Leu	Leu
Ser	Glu	Ser 435	Gly	Ser	Gly	Lys	Gly 440	Ala	Ala	Met	Val	Thr 445	Ala	Val	Ala
Tyr	Arg 450	Leu	Ala	Glu	Gln	His 455	Arg	Gln	Ile	Glu	Glu 460	Thr	Leu	Ala	His
Phe 465	His	Leu	Thr	Lys	Asp 470	Met	Leu	Leu	Glu	Val 475	Lys	Lys	Arg	Met	Arg 480
Ala	Glu	Met	Glu	Leu 485	Gly	Leu	Arg	Lys	Gln 490	Thr	His	Asn	Asn	Ala 495	Val
Val	Lys	Met	Leu 500	Pro	Ser	Phe	Val	Arg 505	Arg	Thr	Pro	Asp	Gly 510	Thr	Glu
Asn	Gly	Asp 515	Phe	Leu	Ala	Leu	Asp 520	Leu	Gly	Gly	Thr	A sn 525	Phe	Arg	Val
Leu	Leu 530	Val	Lys	Ile	Arg	Ser 535	Gly	Lys	Lys	Arg	Thr 540	Val	Glu	Met	His
A sn 545	_	Ile	Tyr		Ile 550		Ile	Glu		Met 555	Gln	Gly	Thr	Gly	Glu 560
Glu	Leu	Phe	Asp	His 565	Ile	Val	Ser	Cys	Ile 570	Ser	Asp	Phe	Leu	Asp 575	Tyr
Met	Gly	Ile	Lys 580	Gly	Pro	Arg	Met	Pro 585	Leu	Gly	Phe	Thr	Phe 590	Ser	Phe
Pro	Cys	Gln 595	Gln	Thr	Ser	Leu	Asp 600	Ala	Gly	Ile	Leu	Ile 605	Thr	Trp	Thr
Lys	Gly 610	Phe	Lys	Ala	Thr	Asp 615	Cys	Val	Gly	His	Asp 620	Val	Val	Thr	Leu
Leu 625	Arg	Asp	Ala	Ile	Lys 630	Arg	Arg	Glu	Glu	Phe 635	Asp	Leu	Asp	Val	Val 640

Ala	Val	Val	Asn	Asp 645	Thr	Val	Gly	Thr	Met 650	Met	Thr	Cys	Ala	Tyr 655	Glu
Glu	Pro	Thr	Cys 660	Glu	Val	Gly	Leu	Ile 665	Val	Gly	Thr	Gly	Ser 670	Asn	Ala
Cys	Tyr	Met 675	Glu	Glu	Met	Lys	Asn 680	Val	Glu	Met	Val	Glu 685	Gly	Asp	Gln
Gly	G1n 690	Met	Cys	Ile	Asn	Met 695	Glu	Trp	Gly	Ala	Phe 700	Gly	Asp	Asn	Gly
Cys 705	Leu	Asp	Asp	Ile	Arg 710	Thr	His	Tyr	Asp	Arg 715	Leu	Val	Asp	Glu	Tyr 720
Ser	Leu	Asn	Ala	Gly 725	Lys	Gln	Arg	Tyr	Glu 730	Lys	Met	Ile	Ser	Gly 735	Met
Tyr	Leu	Gly	Glu 740	Ile	Val	Arg	Asn	Ile 745	Leu	Ile	Asp	Phe	Thr 750	Lys	Lys
Gly	Phe	Leu 755	Phe	Arg	Gly	Gln	Ile 760	Ser	Glu	Thr	Leu	Lys 7 6 5	Thr	Arg	Gly
Ile	Phe 770	Glu	Thr	Lys	Phe	Leu 775	Ser	Gln	Ile	Glu	Ser 780	Asp	Arg	Leu	Ala
Leu 785	Leu	Gln	Val	Arg	Ala 790	Ile	Leu	Gln	Gln	Leu 795	Gly	Leu	Asn	Ser	Thr 800
Cys	Asp	Asp	Ser	Ile 805	Leu	Val	Lys	Thr	Val 810	Cys	Gly	Val	Val	Ser 815	Arg
Arg	Ala	Ala	Gln 820	Leu	Cys	Gly	Ala	Gly 825	Met	Ala	Ala	Val	Val 830	Asp	Lys
Ile	Arg	Glu 835	Asn	Arg	Gly	Leu	Asp 840	Arg	Leu	Asn	Val	Thr 845	Val	Gly	Val
Asp	Gly 850	Thr	Leu	Tyr	Lys	Leu 855	His	Pro	His	Phe	Ser 860	Arg	Ile	Met	His
G1n 865	Thr	Val	Lys	Glu	Leu 870	Ser	Pro	Lys	Сув	As n 875	Val	Ser	Phe	Leu	Leu 880
Ser	Glu	Asp	Gly		Gly	Lys	Gly	Ala		Leu	Ile	Thr	Ala		Gly
Val	Arg	Leu	Arg		Glı	ı Ala	a Se	r Se						895	

REIVINDICACIONES

1. Método *in vitro* para diagnosticar y/o pronosticar la recaída o ausencia de recaída de cáncer de mama triple negativo (TNBC) en un sujeto, que comprende las etapas de:

5

10

30

35

45

55

60

- a) determinar a partir de una muestra biológica de un sujeto el nivel de expresión de al menos dos biomarcadores seleccionados del grupo que consiste en desmoplaquina, proteína 1 activante de Rho GTPasa, epiplaquina, glucosa-6-fosfato 1-deshidrogenasa, isocitrato deshidrogenasa [NADP], queratina de tipo I del citoesqueleto 19, queratina de tipo I del citoesqueleto 8, proteína 3 relacionada con dihidropirimidinasa y trombospondina-1, en el que uno de dichos dos biomarcadores es desmoplaquina; y
- b) comparar dicho nivel de expresión con un nivel de expresión de referencia de dichos biomarcadores.
- 2. Método según la reivindicación 1, en el que dicho nivel de expresión de dichos al menos dos biomarcadores superior a dicho nivel de expresión de referencia obtenido a partir de una muestra biológica de al menos un sujeto sano, es indicativo de que dicho sujeto padece una recaída de cáncer de mama triple negativo, y/o es indicativo de un desenlace clínico negativo.
- 3. Método según la reivindicación 1 ó 2, que comprende además en la etapa a) la etapa de determinar a partir de dicha muestra el nivel de expresión de al menos dos biomarcadores seleccionados del grupo que consiste en hexocinasa-1, proteína de choque térmico de 10 kDa, región de cadena C de Ig gamma-1, proteína 1 que contiene dominio SAM y dominio HD, y triptofanil-ARNt sintetasa.
- 4. Método según la reivindicación 3, en el que dicho nivel de expresión de dichos al menos dos biomarcadores seleccionados del grupo que consiste en:
 - hexocinasa-1, proteína de choque térmico de 10 kDa, proteína 1 que contiene dominio SAM y dominio HD, y triptofanil-ARNt sintetasa, superior a dicho nivel de expresión de referencia obtenido a partir de una muestra biológica de al menos un sujeto sano, y
 - región de cadena C de Ig gamma-1, inferior a dicho nivel de expresión de referencia de dichos biomarcadores obtenidos a partir de una muestra biológica de al menos un sujeto sano,
 - es indicativo de que dicho sujeto no padece una recaída de cáncer de mama triple negativo (TNBC), y/o es indicativo de un desenlace clínico positivo.
 - 5. Método *in vitro* para determinar un fenotipo de respuesta a fármaco o de ausencia de respuesta a fármaco en un sujeto que padece una recaída de cáncer de mama triple negativo, que comprende las etapas de:
- a) determinar a partir de una muestra biológica de dicho sujeto el nivel de expresión de al menos dos biomarcadores según la reivindicación 1, en el que uno de dichos dos biomarcadores es desmoplaquina;
 - b) comparar el nivel de expresión en la etapa a) con un nivel de expresión de referencia de dichos biomarcadores; y
 - c) determinar el fenotipo de respuesta a fármaco o ausencia de respuesta a fármaco a partir de dicha comparación.
- 6. Método según la reivindicación 5, que comprende además en la etapa a) la etapa de determinar a partir de dicha muestra biológica el nivel de expresión de al menos dos biomarcadores según la reivindicación 3.
 - 7. Método para diseñar o adaptar un régimen de tratamiento para un sujeto que padece una recaída de cáncer de mama triple negativo, que comprende las etapas de:
 - a) determinar a partir de una muestra biológica de dicho sujeto un fenotipo de respuesta o ausencia de respuesta a fármaco según el método según la reivindicación 5 ó 6; y
 - b) diseñar o adaptar un régimen de tratamiento para dicho sujeto basándose en dicho fenotipo de respuesta o ausencia de respuesta.
 - 8. Método de examen para identificar un fármaco o una combinación de fármacos adecuados para tratar una recaída de cáncer de mama triple negativo, que comprende las etapas de:
 - a) poner en contacto células o una línea celular de cáncer de mama aisladas que presentan un fenotipo de recaída de cáncer de mama triple negativo con un fármaco candidato o combinación de fármacos candidatos;

- b) determinar, a partir de dichas células o línea celular en contacto con dicho fármaco o combinación de fármacos, el nivel de expresión de al menos dos biomarcadores según la reivindicación 1, en el que uno de dichos dos biomarcadores es desmoplaquina; y
- c) comparar el nivel de expresión de dichos biomarcadores en la etapa b) con su nivel de expresión en ausencia de dicho fármaco o combinación de fármacos.
- Método según una cualquiera de las reivindicaciones 1 a 7, en el que dicha muestra biológica se selecciona
 del grupo que consiste en sangre, suero, plasma, linfa, líquido intersticial tumoral, saliva, moco, esputos, sudor, orina, células tumorales circulantes y biopsia tumoral.
 - 10. Método según la reivindicación 9, en el que dicha biopsia tumoral es una biopsia de un tumor de mama o de una metástasis del mismo.
 - 11. Método según una cualquiera de las reivindicaciones 1 a 10, en el que el nivel de expresión se determina mediante un método seleccionado del grupo que consiste en inmunotransferencia de tipo Western, inmunotransferencia, ensayo de inmunoabsorción ligado a enzimas (ELISA), Immunospot ligado a enzimas (ELISPOT), radioinmunoensayo (RIA), inmunohistoquímica, inmunoprecipitación, clasificación celular activada por fluorescencia (FACS), microscopía, citometría de flujo, microcitometría, ensayo de unión de proteínas, ensayo de unión de ligandos, microalineamiento, electroforesis en gel de poliacrilamida tal como SDS-PAGE, resonancia de plasmón superficial (SPR), transferencia de energía por resonancia Forster (FRET), transferencia de energía por resonancia de bioluminiscencia (BRET), quimioluminiscencia, polarización fluorescente, fosforescencia, espectrometría de masas, obtención de imágenes por resonancia magnética (MRI), y cualquier combinación de los mismos.
 - 12. Utilización de un kit en un método según una cualquiera de las reivindicaciones 1 a 11, comprendiendo dicho kit:
- a) un reactivo que puede determinar específicamente el nivel de expresión de al menos dos biomarcadores según la reivindicación 1, en el que uno de dichos dos biomarcadores es desmoplaquina; y
 - b) instrucciones para realizar dicho método.

5

15

20

25

- 35 13. Utilización de un kit según la reivindicación 12, comprendiendo dicho kit además:
 - c) un reactivo que puede determinar específicamente el nivel de expresión de al menos dos biomarcadores según la reivindicación 3.
- 40 14. Utilización de un microalineamiento de proteínas en un método según una cualquiera de las reivindicaciones 1 a 11, comprendiendo dicho microalineamiento de proteínas:
 - a) un reactivo que puede determinar específicamente el nivel de expresión de al menos dos biomarcadores según la reivindicación 1, en el que uno de dichos dos biomarcadores es desmoplaquina.
 - 15. Utilización de un microalineamiento de proteínas según la reivindicación 14, comprendiendo además dicho microalineamiento de proteínas:
- b) un reactivo que puede determinar específicamente el nivel de expresión de al menos dos biomarcadores según la reivindicación 3.

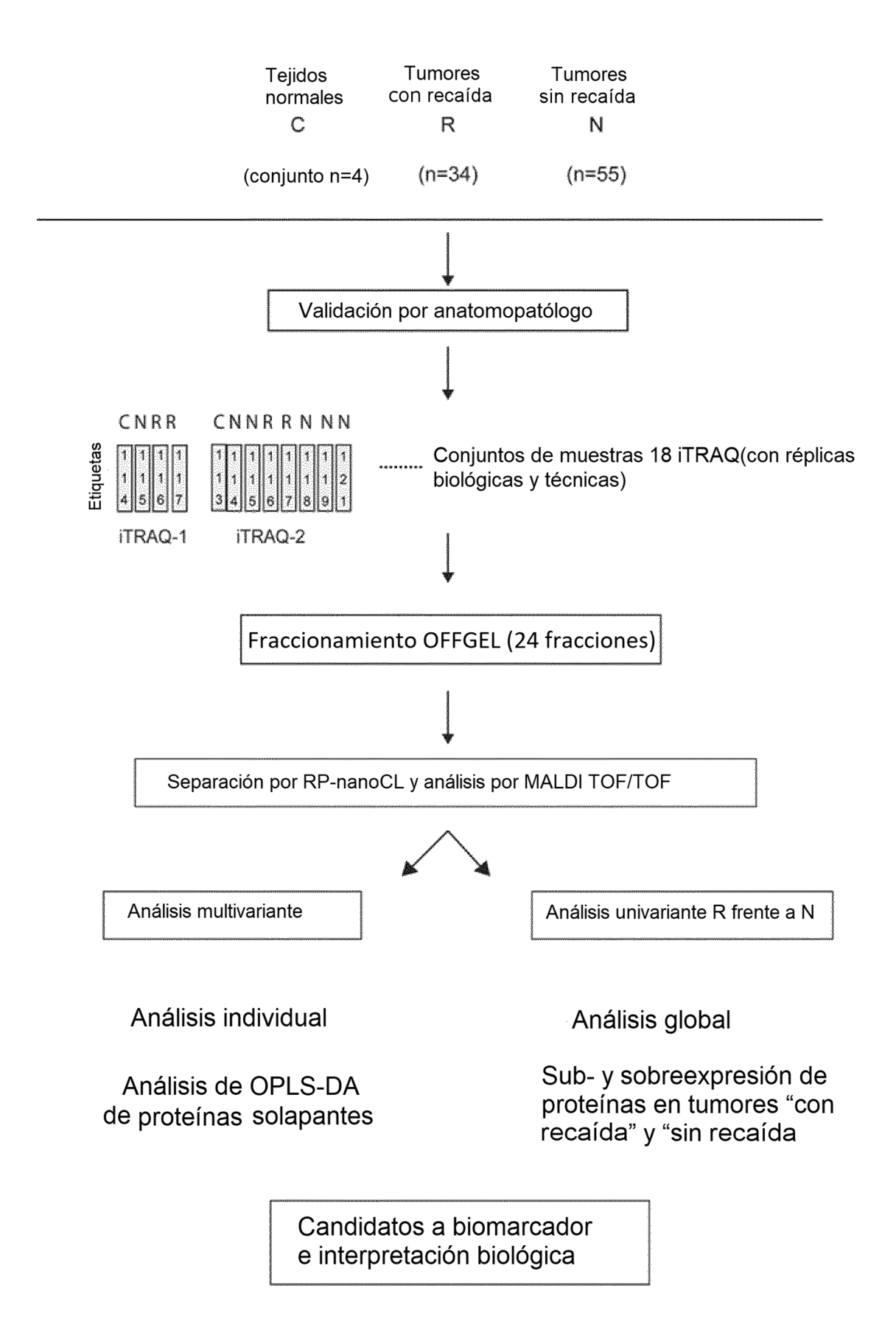


Figura 1

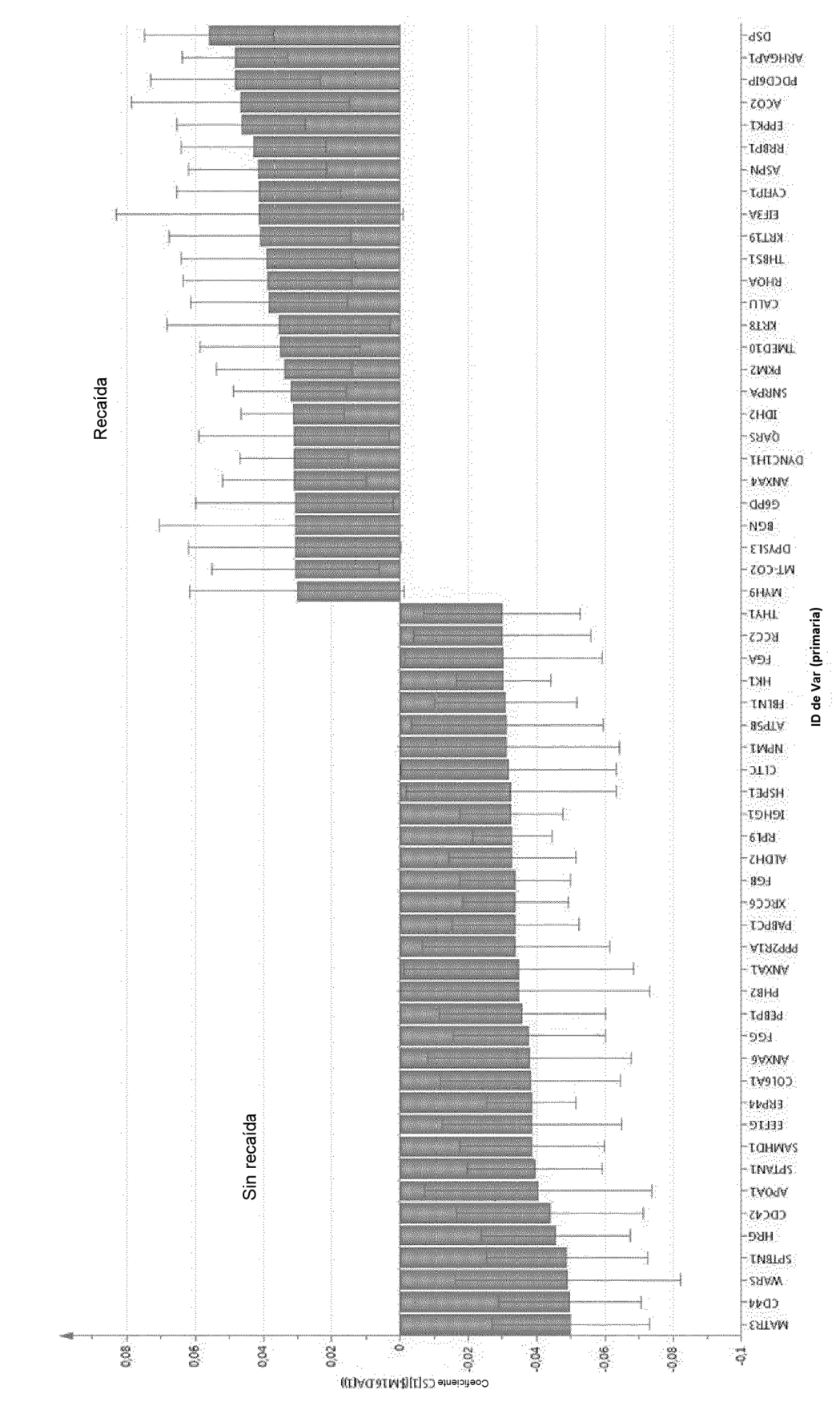
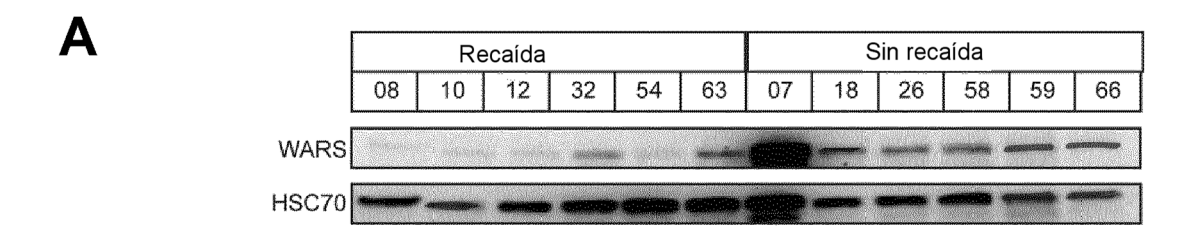


Figura 2



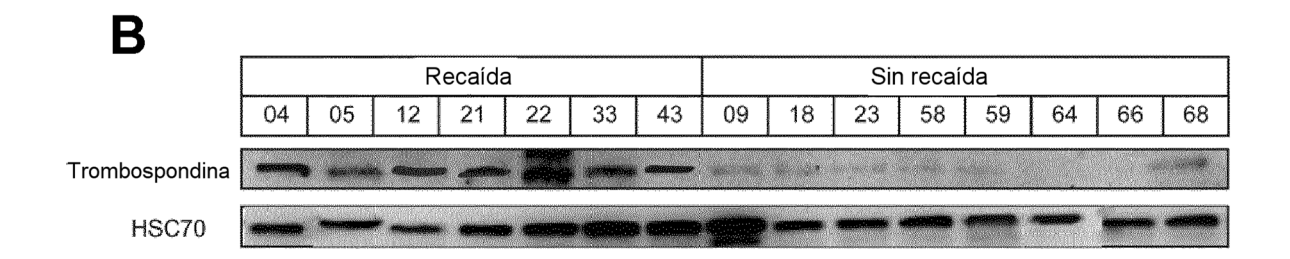


Figura 3

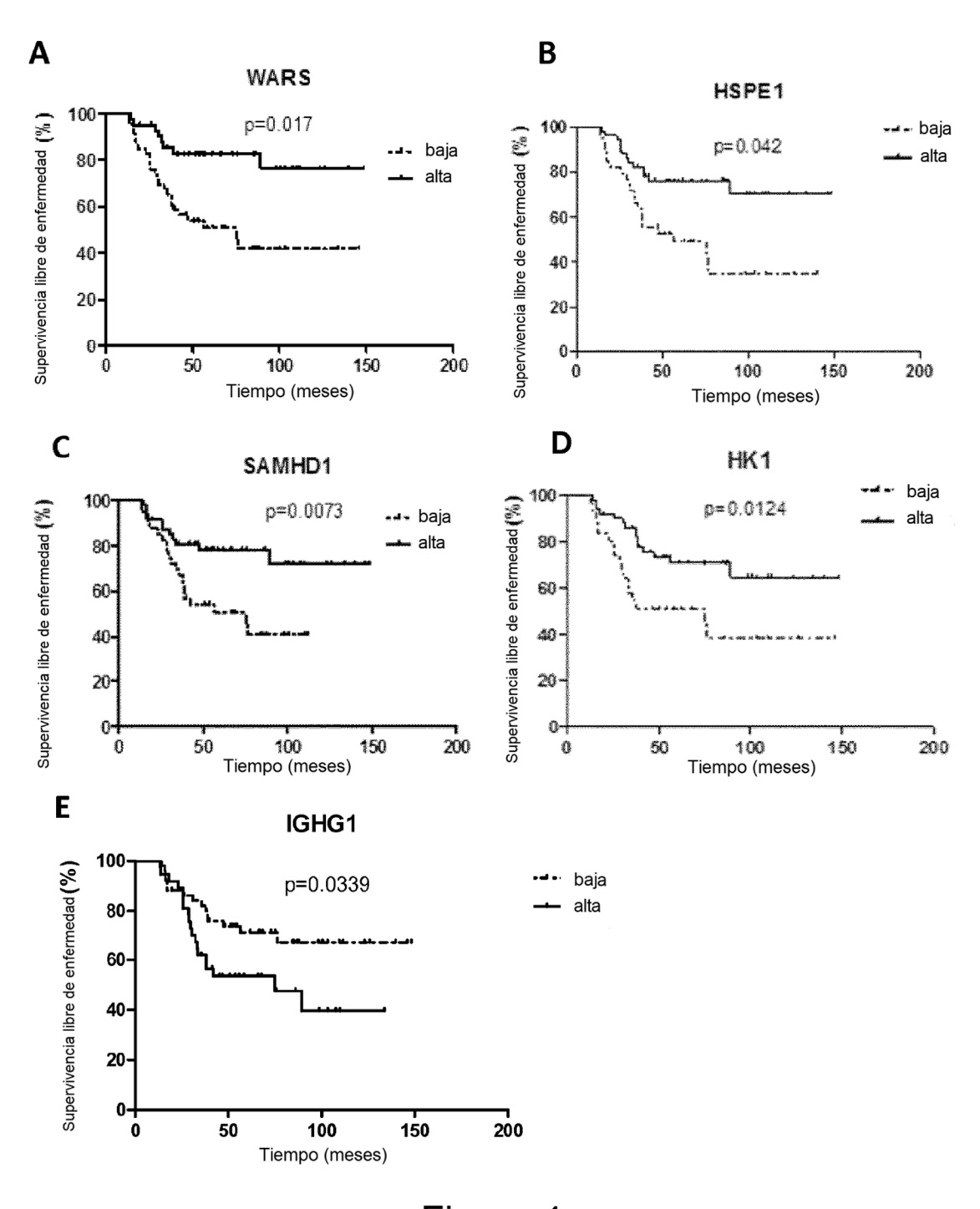
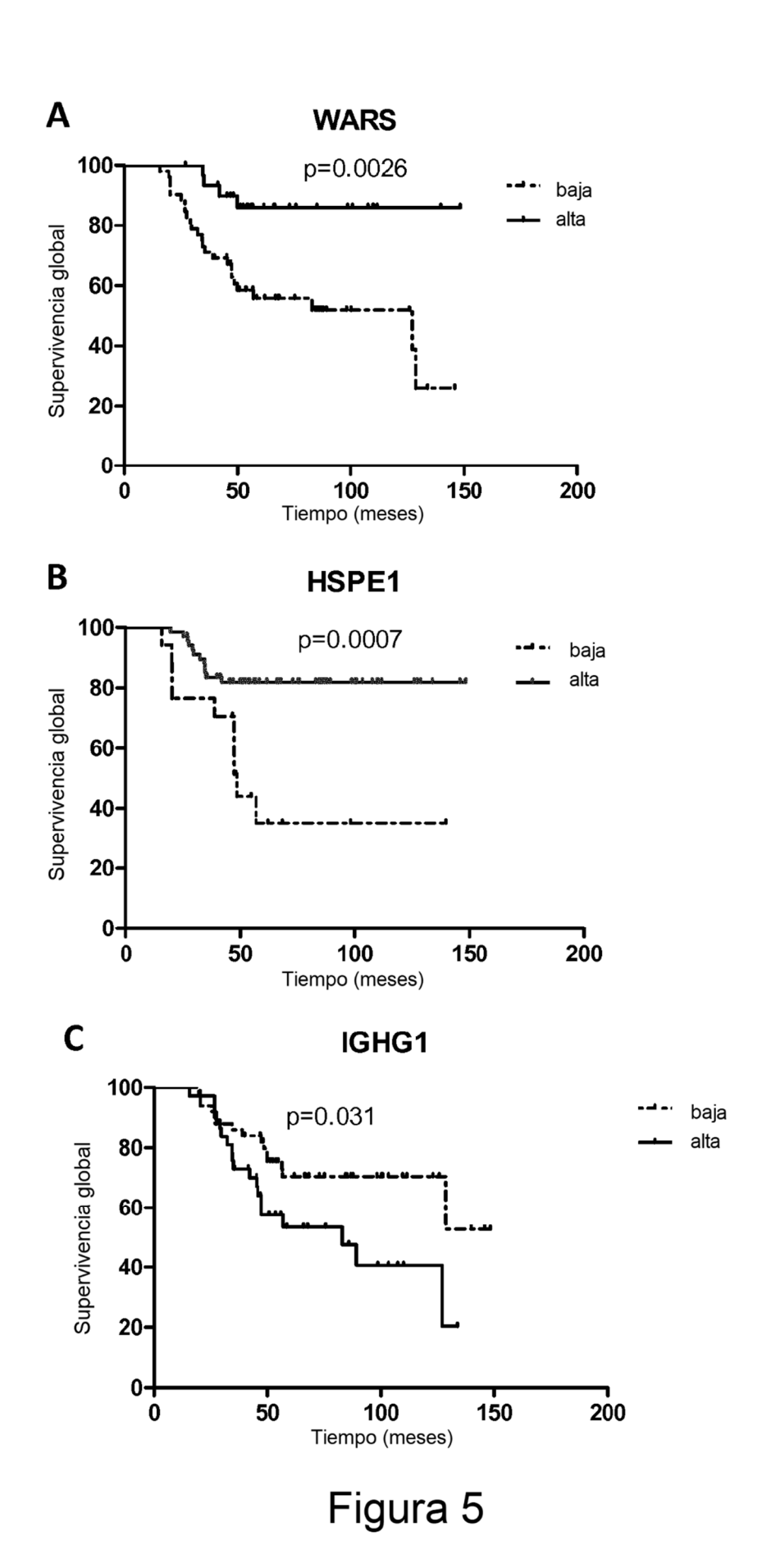


Figura 4



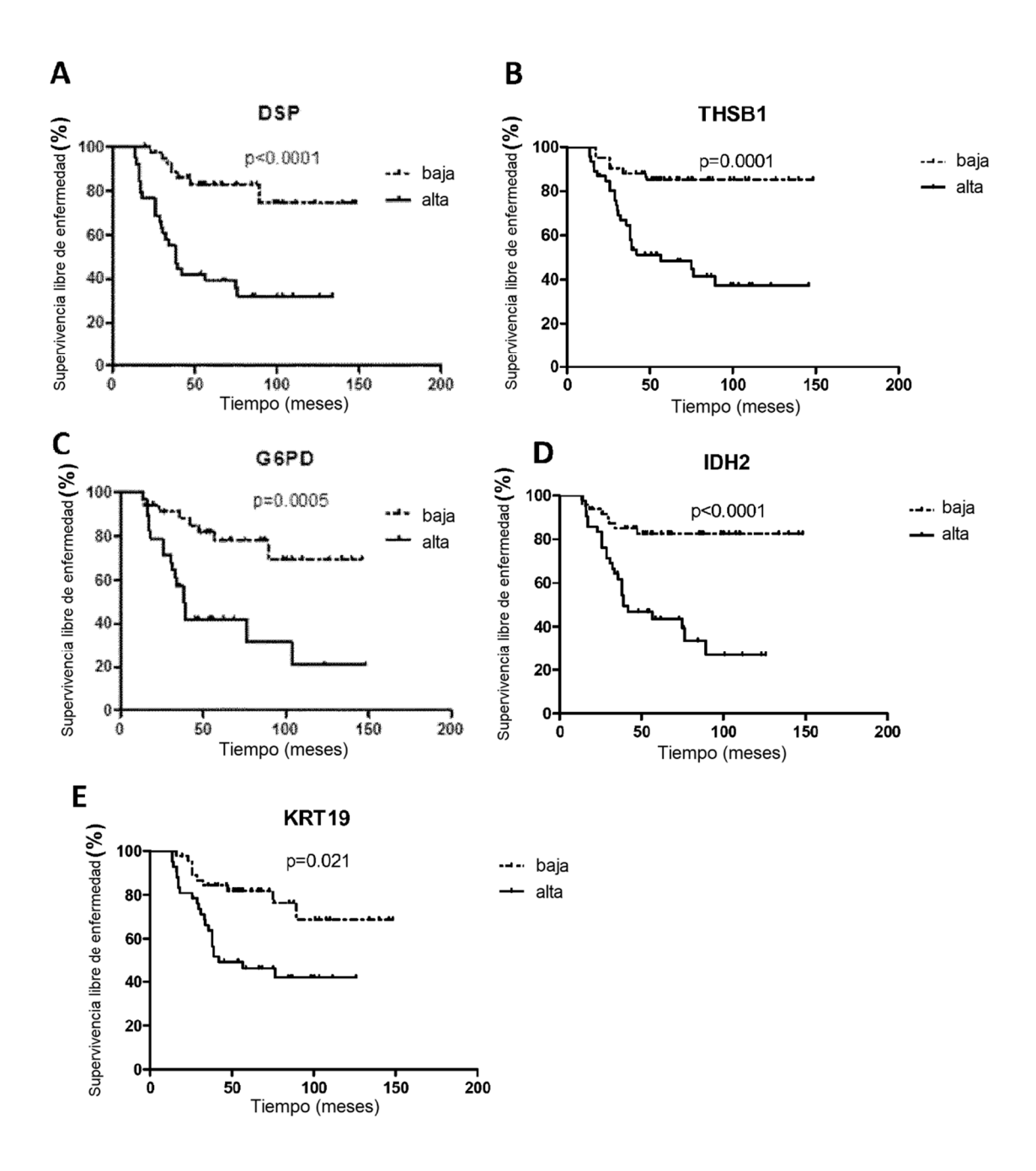


Figura 6

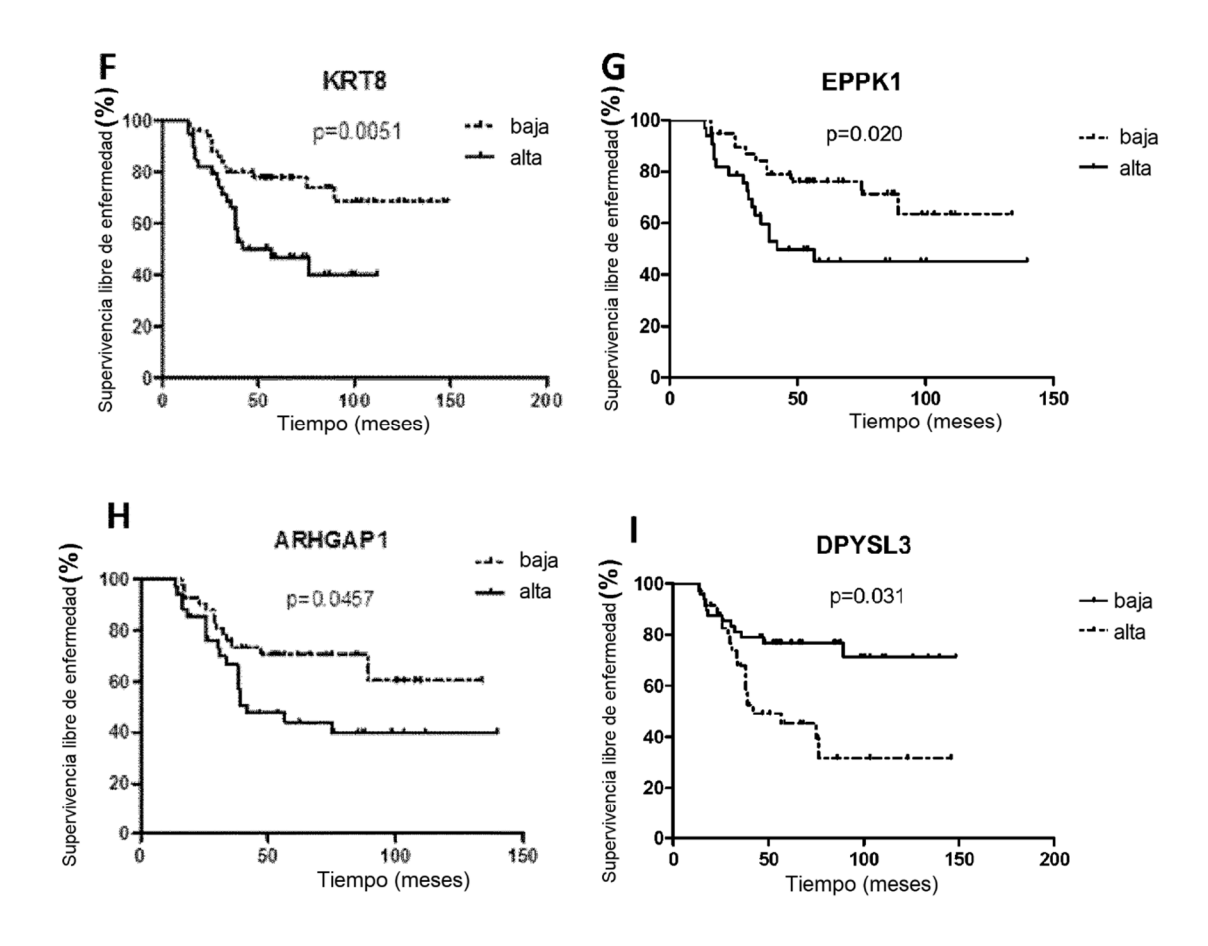


Figura 6 (continuada)

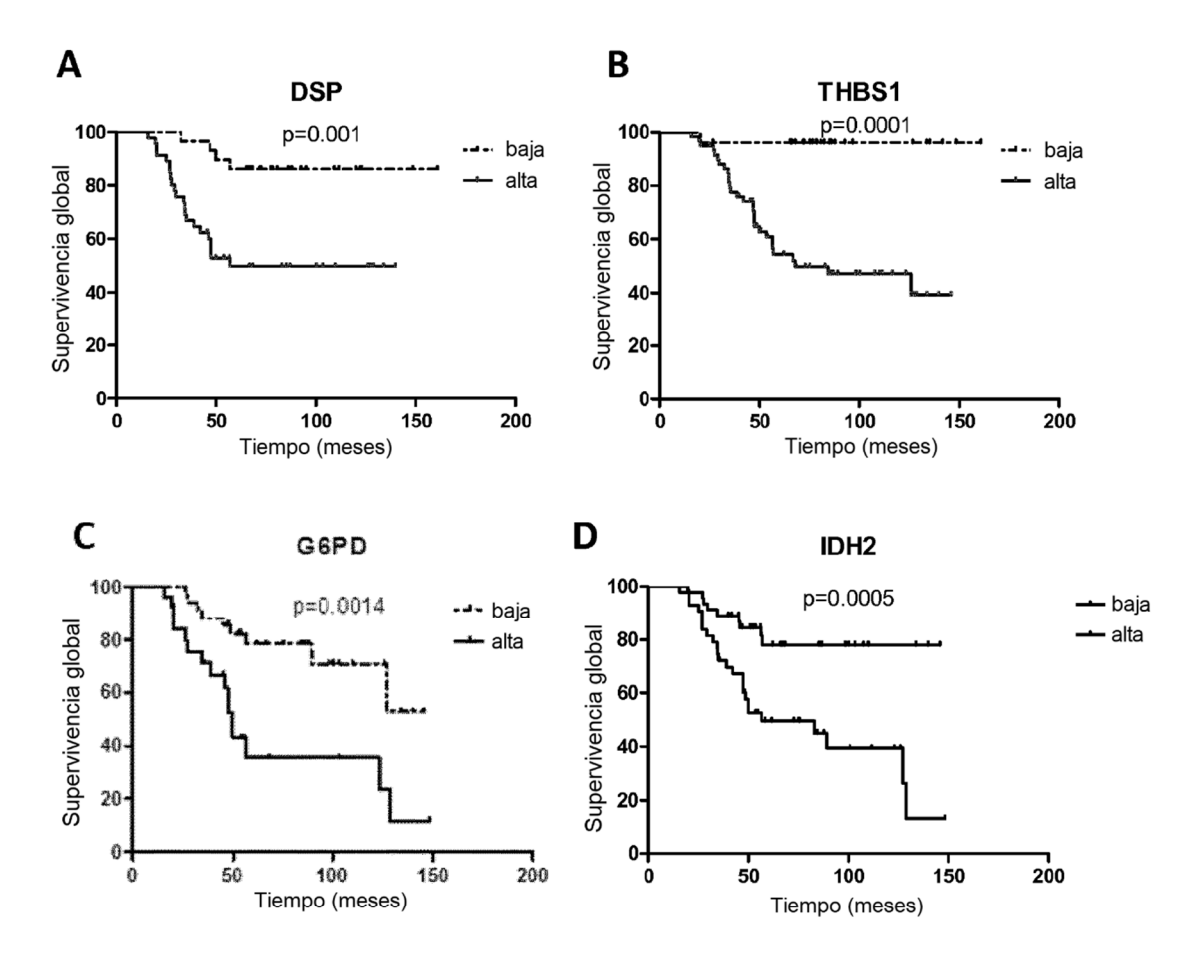


Figura 7

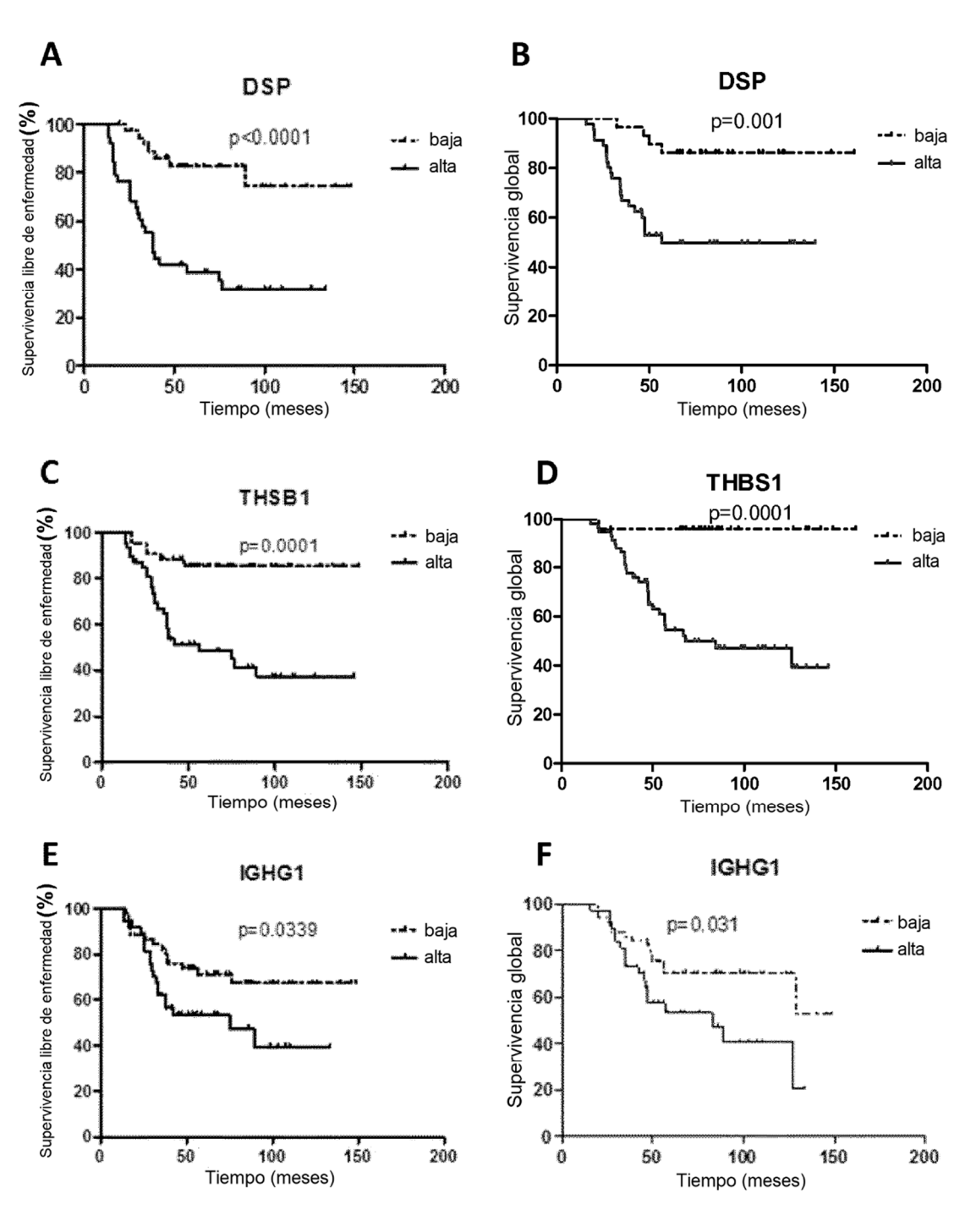


Figura 8

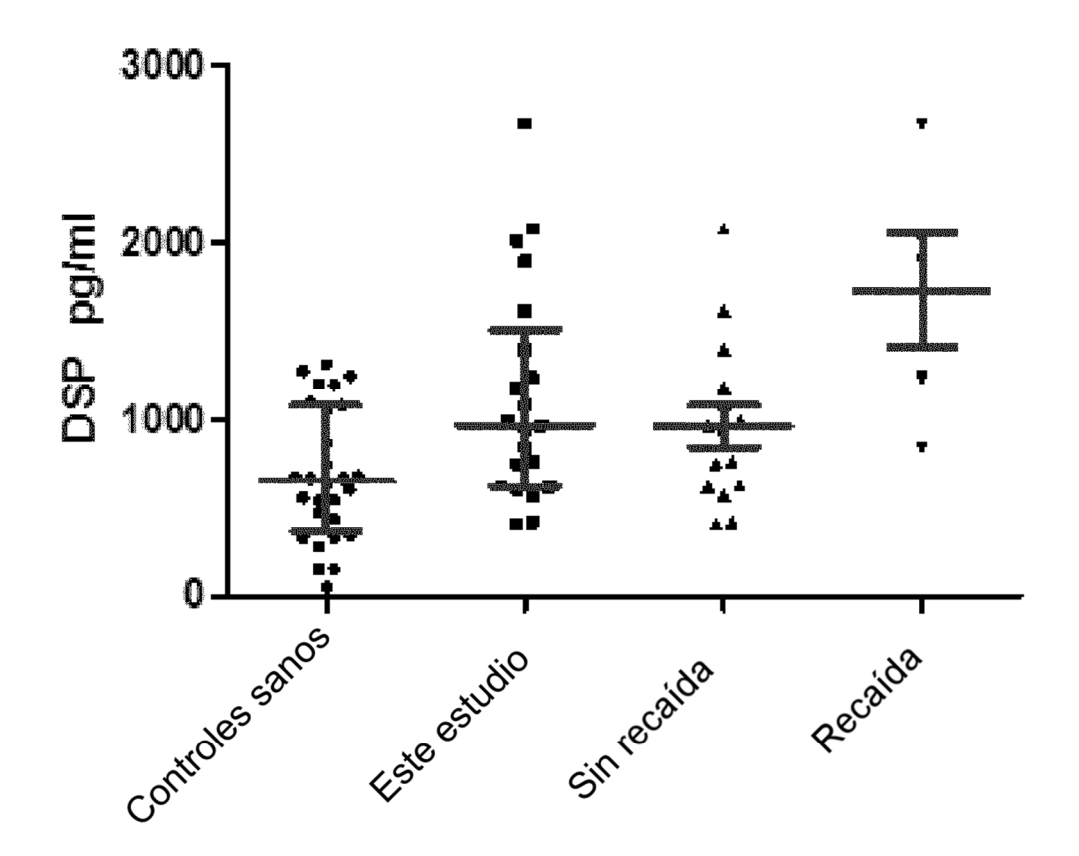


Figura 9